

การศึกษาการใช้เถ้าแกลบดำเป็นสารตัวเติมฐานชีวภาพในยางไนไตรด์

**STUDY OF BLACK RICE HUSK ASH
AS BIO-BASED FILLER IN NITRILE RUBBER**



วิทยานิพนธ์นี้เป็นส่วนหนึ่งของการศึกษาตามหลักสูตรปริญญาวิทยาศาสตรมหาบัณฑิต

สาขาเทคโนโลยีพอลิเมอร์

คณะวิทยาศาสตร์

สถาบันเทคโนโลยีพระจอมเกล้าเจ้าคุณทหารลาดกระบัง

พ.ศ. 2558

KMITL-2015-SC-M-014-002

การศึกษาการใช้เถ้าแกลบดำเป็นสารตัวเติมฐานชีวภาพในยางไนไตรล์

**STUDY OF BLACK RICE HUSK ASH
AS BIO-BASED FILLER IN NITRILE RUBBER**



วิทยานิพนธ์นี้เป็นส่วนหนึ่งของการศึกษาตามหลักสูตรปริญญาวิทยาศาสตรมหาบัณฑิต

สาขาเทคโนโลยีพอลิเมอร์

คณะวิทยาศาสตร์

สถาบันเทคโนโลยีพระจอมเกล้าเจ้าคุณทหารลาดกระบัง

พ.ศ. 2558

KMITL-2015-SC-M-014-002

เอกสารนี้เป็นเอกสารที่สงวนไว้สำหรับการใช้งานเพื่อการศึกษาเท่านั้น ไม่อนุญาตให้นำไปใช้ประโยชน์ด้านการค้า
ไม่ว่ากรณีใดๆ ทั้งสิ้น อีกทั้งห้ามมิให้ดัดแปลงเนื้อหา และต้องอ้างอิงถึงเจ้าของเอกสารทุกครั้งที่มีการนำไปใช้

**STUDY OF BLACK RICE HUSK ASH
AS BIO-BASED FILLER IN NITRILE RUBBER**



**A THESIS SUBMITTED IN PARTIAL FULFILLMENT
OF THE REQUIREMENT FOR THE DEGREE OF
MASTER OF SCIENCE IN POLYMER TECHNOLOGY**

FACULTY OF SCIENCE

KING MONGKUT'S INSTITUTE OF TECHNOLOGY LADKRABANG

2015

KMITL-2015-SC-M-014-002

เอกสารนี้เป็นเอกสารที่สงวนไว้สำหรับการใช้งานเพื่อการศึกษาเท่านั้น ไม่อนุญาตให้นำไปใช้ประโยชน์ด้านการค้า
ไม่ว่ากรณีใดๆ ทั้งสิ้น อีกทั้งห้ามมิให้ดัดแปลงเนื้อหา และต้องอ้างอิงถึงเจ้าของเอกสารทุกครั้งที่มีการนำไปใช้



COPYRIGHT 2015

FACULTY OF SCIENCE



KING MONGKUT'S INSTITUTE OF TECHNOLOGY LADKRABANG

เอกสารนี้เป็นเอกสารที่สงวนไว้สำหรับการใช้งานเพื่อการศึกษาเท่านั้น ไม่อนุญาตให้นำไปใช้ประโยชน์ด้านการค้า
ไม่ว่ากรณีใดๆ ทั้งสิ้น อีกทั้งห้ามมิให้ดัดแปลงเนื้อหา และต้องอ้างอิงถึงเจ้าของเอกสารทุกครั้งที่มีการนำไปใช้

คณะวิทยาศาสตร์
สถาบันเทคโนโลยีพระจอมเกล้าเจ้าคุณทหารลาดกระบัง
ใบรับรองวิทยานิพนธ์

หัวข้อวิทยานิพนธ์ การศึกษาการใช้เถ้าแกลบดำเป็นสารตัวเติมฐานชีวภาพในยางไนไตรล์
STUDY OF BLACK RICE HUSK ASH AS BIO-BASED FILLER IN NITRILE RUBBER

นักศึกษา นายเดชาธร ฉันทรักษ์
รหัสประจำตัว 54651109
ปริญญา วิทยาศาสตรมหาบัณฑิต
สาขาวิชา เทคโนโลยีพอลิเมอร์
อาจารย์ที่ปรึกษาวิทยานิพนธ์ รศ.ดร.อิทธิพล แจ่มชัด

คณะกรรมการสอบวิทยานิพนธ์		ลายมือชื่อ
ผศ.ดร.สุภารัตน์	รักชลธิ์	
ผศ.ดร.ชลลดา	ฤทธิรุ่งหิ์	
รศ.ดร.ทวีชัย	อมรศักดิ์ชัย	
รศ.ดร.อิทธิพล	แจ่มชัด	

วัน / เดือน / ปี ที่สอบ 26 ธันวาคม พ.ศ. 2557 เวลา 09.00 - 12.00 น.
สถานที่สอบ ณ ห้อง 316 ชั้น 3 อาคารปฏิบัติการใหม่

คณะวิทยาศาสตร์รับรองแล้ว

(รองศาสตราจารย์ ดร.ศษณิ์ ธนะบริพัตน์)
คณบดีคณะวิทยาศาสตร์

วันที่.....๒๐.....เดือน.....พ.ศ.....๕๘.....

เอกสารนี้เป็นเอกสารที่สงวนไว้สำหรับการใช้งานเพื่อการศึกษาเท่านั้น ไม่อนุญาตให้นำไปใช้ประโยชน์ด้านการค้า
ไม่ว่ากรณีใดๆ ทั้งสิ้น อีกทั้งห้ามมิให้ดัดแปลงเนื้อหา และต้องอ้างอิงถึงเจ้าของเอกสารทุกครั้งที่มีการนำไปใช้

หัวข้อวิทยานิพนธ์	การศึกษาการใช้เถ้าแกลบดำเป็นสารตัวเติมฐานชีวภาพในยางไนไตรล์
นักศึกษา	นายเดชาธร ฉันทภักย์
รหัสประจำตัว	54651109
ปริญญา	วิทยาศาสตรมหาบัณฑิต
สาขาวิชา	เทคโนโลยีพอลิเมอร์
พ.ศ.	2558
อาจารย์ที่ปรึกษาวิทยานิพนธ์	รศ.ดร. อธิพิณ แจ่มชัด

บทคัดย่อ

งานวิจัยนี้เป็นการศึกษาการใช้เถ้าแกลบดำ (Black Rice Husk Ash; BRHA) จากโรงไฟฟ้าพลังชีวมวลเป็นสารตัวเติมฐานชีวภาพในยางไนไตรล์ (Acrylonitrile Butadiene Rubber; NBR) โดยเน้นศึกษาปัจจัยบางประการที่มีผลต่อสมบัติของยาง ได้แก่ ผลของการปรับปรุงผิวเถ้าแกลบดำด้วยสารกลุ่มควาไซเลน Si-69 และพอลิเอทิลีนไกลคอล (PEG) ผลของขนาดอนุภาคเถ้าแกลบดำ ผลของปริมาณเถ้าแกลบดำ และเปรียบเทียบการใช้เถ้าแกลบดำกับสารตัวเติมชนิดอื่นๆ สามารถเตรียมตัวอย่างโดยการผสมยางกับเถ้าแกลบดำ และสารเติมแต่งต่างๆ ด้วยเครื่องผสมแบบสองลูกกลิ้ง (Two-roll mill) จากนั้นทำการหาพฤติกรรมการเชื่อมโยงแล้วเตรียม ขึ้นยางตัวอย่างด้วยการอัดขึ้นรูปเพื่อทดสอบสมบัติเชิงกล สมบัติความร้อนเชิงกลพลวัตและศึกษาฐานฐานวิทยา จากการวิเคราะห์พบว่า BRHA ที่ใช้ในงานวิจัยนี้มีขนาดอยู่ในช่วง 6.1-128.9 μm มีพื้นที่ผิวจำเพาะ 6.18-17.30 m^2/g มีซิลิกาเป็นองค์ประกอบหลัก ในปริมาณ 74 % และมีหมู่ฟังก์ชันไฮดรอกซิลกับไฮดรอกเซนเหมือนกับซิลิกาชนิดตกตะกอน การปรับปรุงเถ้าแกลบดำด้วย PEG และสารกลุ่มควาไซเลน Si-69 ส่งผลต่อเวลาเริ่มเชื่อมโยง และเวลาเชื่อมโยงยาง NBR ลดลง ในด้านสมบัติเชิงกลการปรับปรุงเถ้าแกลบดำด้วย PEG และสารกลุ่มควาไซเลน Si-69 ส่งผลให้มีค่าความแข็งแรงดึง ค่ามอดุลัสของยางที่ 100 เปอร์เซนต์ดิงยีด (M100) และค่าความแข็งแรงฉีกขาดเพิ่มขึ้น ค่าการเสีรูปลถวารหลังการกดอัดลดลง และจากสมบัติความร้อนเชิงกลพลวัตพบว่าเมื่อปรับปรุงผิวเถ้าแกลบดำด้วย PEG และสารกลุ่มควาไซเลน Si-69 ทำให้ยางผสมสูตรมีค่ามอดุลัสสะสมมากกว่าและค่า $\tan \delta$ น้อยกว่ายางผสมสูตรที่ไม่ปรับปรุงเถ้าแกลบดำ ขนาดอนุภาค BRHA ที่แตกต่างกันไม่ส่งผลต่อพฤติกรรมการ

เอกสารนี้เป็นเอกสารที่สงวนไว้สำหรับการใช้งานเพื่อการศึกษาเท่านั้น ไม่อนุญาตให้นำไปใช้ประโยชน์ด้านการค้า ไม่ว่าจะกรณีใดๆ ทั้งสิ้น อีกทั้งห้ามมิให้ดัดแปลงเนื้อหา และต้องอ้างอิงถึงเจ้าของเอกสารทุกครั้งที่มีการนำไปใช้

เชื่อมโยงของยางผสมสูตรอย่างมีนัยสำคัญ ยกเว้นยางผสมสูตรที่ใช้เส้นใยเคลือบดำบดละเอียดมีเวลา
เชื่อมโยงลดลงเล็กน้อย และเมื่อ BRHA มีขนาดอนุภาคเล็กลงส่งผลให้มีสมบัติเชิงกลต่างๆ ดีขึ้น
เมื่อเพิ่มปริมาณ BRHA ส่งผลให้มีค่าความหนืดมูนนี้ ค่าทอร์กสูงสุด และเกิดการเสียหายแบบเกิด
การเชื่อมโยง (Marching) มีแนวโน้มสูงขึ้น ในด้านสมบัติเชิงกลพบว่าการใช้ BRHA ปริมาณมาก
ขึ้นส่งผลให้สมบัติเชิงกลโดยรวมดีขึ้น จนมีปริมาณ BRHA 100 phr ให้ค่าดีที่สุด เมื่อเปรียบเทียบกับ
กับสารตัวเติมทางการค้าพบว่า BRHA จัดเป็นสารตัวเติมชนิดกึ่งเสริมแรง โดยสามารถลดต้นทุน
และปรับปรุงสมบัติบางประการของยางไนไตรล์ได้

คำสำคัญ: ยางไนไตรล์, ยางเอ็นपीอาร์, เส้นใยเคลือบดำ, สารคู่ควบ, สารตัวเติมฐานชีวภาพ



เอกสารนี้เป็นเอกสารที่สงวนไว้สำหรับการใช้งานเพื่อการศึกษาเท่านั้น ไม่อนุญาตให้นำไปใช้ประโยชน์ด้านการค้า
ไม่ว่ากรณีใดๆ ทั้งสิ้น อีกทั้งห้ามมิให้ดัดแปลงเนื้อหา และต้องอ้างอิงถึงเจ้าของเอกสารทุกครั้งที่มีการนำไปใช้

Thesis Title	STUDY OF BLACK RICE HUSK ASH AS BIO-BASED FILLER IN NITRILE RUBBER
Student	Mr. Daechatorn Chantaruk
Student ID	54651109
Degree	Master of Science
Program	Polymer Technology
Year	2015
Thesis Advisor	Assoc. Prof. Dr. Ittipol Jangchud

ABSTRACT

In this thesis, Black Rice Husk Ash (BRHA) from a biomass power plant was studied as a bio-based filler for Acrylonitrile Butadiene Rubber (NBR). Various factors were investigated such as surface modification of BRHA by silane coupling agent (Si-69) and polyethylene glycol (PEG), particle sizes of BRHA and BRHA loading. Comparative study between BRHA and commercial fillers was also carried out. NBR was first mixed with BRHA and other additives by a two-roll mill. Compounds were then tested for cure characteristics and shaped by compression molding technique to study mechanical properties, dynamic mechanical thermal properties and morphology. Particle sizes of BRHA were in a range of 6.1 – 128.9 μm and specific surface area of BRHA was in a range of 6.18 – 17.30 m^2/g . Silica composition in BRHA was about 74%. From FT-IR, it was found that silanol and siloxane groups of BRHA were taken place similar to precipitated silica. It was found that the surface modification of BRHA affected cure characteristics of NBR by decreasing scorch and cure times. When the treated BRHA was used, tensile strength, rubber modulus (M100) and tear strength of vulcanized NBR were increased, whereas, compression set was decreased. In addition, the rubber compounds with BRHA treated by both silane coupling agent and PEG had higher storage modulus and lower tan delta values than those with untreated BRHA. Particle sizes of BRHA had insignificant effect to cure characteristics of NBR whereas cure time of NBR with ground BRHA had slightly decreased effect. Moreover, smaller particle sizes of BRHA yielded an increase in mechanical properties

เอกสารนี้เป็นเอกสารทรัพย์สินทางปัญญาหรือสิทธิบัตรของมหาวิทยาลัยเทคโนโลยีพระจอมเกล้าธนบุรี ไม่อนุญาตให้เผยแพร่หรือใช้โดยไม่ได้รับอนุญาต
ไม่ว่ากรณีใดๆ ทั้งสิ้น อีกทั้งห้ามมิให้ดัดแปลงเนื้อหา และต้องอ้างอิงถึงเจ้าของเอกสารทุกครั้งที่มีการนำไปใช้

dramatically. Furthermore, increasing amount of BRHA was found that the Mooney viscosity, maximum torque and marching cure behavior of NBR had an increasing trend. Addition of BRHA 100 phr seemed to be the optimum loading to yield rubbers with good mechanical properties. In other words, BRHA seems to be a promising candidate as semi-reinforcing and cost-effective filler for NBR.

Keywords: Acrylonitrile butadiene rubber, NBR, Black rice husk ash (BRHA), Coupling agent and Bio-filler



เอกสารนี้เป็นเอกสารที่สงวนไว้สำหรับการใช้งานเพื่อการศึกษาเท่านั้น ไม่อนุญาตให้นำไปใช้ประโยชน์ด้านการค้า
ไม่ว่ากรณีใดๆ ทั้งสิ้น อีกทั้งห้ามมิให้ดัดแปลงเนื้อหา และต้องอ้างอิงถึงเจ้าของเอกสารทุกครั้งที่มีการนำไปใช้

กิตติกรรมประกาศ

ขอขอบคุณ รศ.ดร.อิทธิพล แจ่มชัด ที่กรุณาอบรมสั่งสอนให้ความรู้คำปรึกษาข้อเสนอแนะและความเอาใจใส่เป็นอย่างดีมาโดยตลอด

ขอขอบคุณ ผศ.ดร.สุภารัตน์ รักชลธิ ผศ.ดร.ชลลดา ฤตวิรุพห์ และ รศ.ดร.ทวีชัย อมรศักดิ์ชัย ที่กรุณาสละเวลาให้คำปรึกษา และแก้ไขวิทยานิพนธ์ฉบับนี้ให้มีความสมบูรณ์ยิ่งขึ้น

ขอขอบคุณ บริษัท เอส .เค. โพลีเมอร์ จำกัด ที่กรุณาอนุเคราะห์สารเคมีสำหรับใช้ใน
งานวิจัย

ขอขอบคุณ โรงไฟฟ้าชีวมวล บริษัท ไบโอ -แมส เพาเวอร์ จำกัด จ.ชัยนาท ที่กรุณา
อนุเคราะห์ได้แก่ลดค่าสำหรับใช้ในงานวิจัย

ขอขอบคุณ คุณกฤษณะ เกษประดิษฐ์ คุณสุคดี สอนสะอาด คุณปราณี บุญวัฒน์ และ
เจ้าหน้าที่ศูนย์บริการเครื่องมือวิทยาศาสตร์ คณะวิทยาศาสตร์ สถาบันเทคโนโลยีพระจอมเกล้าเจ้า -
คุณทหารลาดกระบังที่อำนวยความสะดวกในการใช้เครื่องมือ

ขอขอบคุณเพื่อนๆ ชาวพอลิเมอร์ทุกคนสำหรับความช่วยเหลือ การชี้แนะ และเป็นกำลังใจ
และบุคคลอีกหลายท่านที่ไม่ได้กล่าวถึงไว้ ณ ที่นี้ที่มีส่วนช่วยเหลือ และให้ข้อเสนอแนะอันเป็น
ประโยชน์ต่องานวิจัย

ขอกราบขอบพระคุณบิดา มารดา ที่เป็นกำลังใจและช่วยเหลือสนับสนุนการทำวิทยานิพนธ์
ฉบับนี้มาตลอดจนสำเร็จสมบูรณ์

เดชาธร นันทรักษ์

สารบัญ

หน้า

บทคัดย่อภาษาไทย.....	I
บทคัดย่อภาษาอังกฤษ.....	III
กิตติกรรมประกาศ.....	V
สารบัญ.....	VI
สารบัญตาราง.....	XI
สารบัญรูป.....	XIII
บทที่ 1 บทนำ.....	1
1.1 ที่มา และความสำคัญของงานวิจัย.....	1
1.2 วัตถุประสงค์ของงานวิจัย.....	4
1.3 ขอบเขตของงานวิจัย.....	4
1.4 ประโยชน์ที่คาดว่าจะได้รับ.....	5
บทที่ 2 ทฤษฎี และงานวิจัยที่เกี่ยวข้อง	6
2.1 ยางไนไตรล์.....	6
2.1.1 โครงสร้างทางเคมี และสมบัติ.....	7
2.1.2 การจัดเกรดยางไนไตรล์.....	8
2.1.3 การผสมเคมียางไนไตรล์.....	9
2.1.4 การใช้งานยางไนไตรล์.....	10
2.2 สารเติมแต่ง (Additives).....	11
2.2.1 สารเชื่อมโยง (Crosslinking agents).....	12
2.2.2 สารเร่งปฏิกิริยาการเชื่อมโยง (Accelerators).....	14
2.2.3 สารกระตุ้นการเชื่อมโยง (Activators).....	15
2.2.4 สารแอนติออกซิแดนต์ (Antioxidants).....	15
2.2.5 สารคู่ควบ (Coupling agents).....	16

เอกสารนี้เป็นเอกสารที่สงวนไว้สำหรับการใช้งานเพื่อการศึกษาเท่านั้น ไม่อนุญาตให้นำไปใช้ประโยชน์ด้านการค้า
ไม่ว่ากรณีใดๆ ทั้งสิ้น อีกทั้งห้ามมิให้ดัดแปลงเนื้อหา และต้องอ้างอิงถึงเจ้าของเอกสารทุกครั้งที่มีการนำไปใช้

สารบัญ (ต่อ)

หน้า

2.2.6 สารตัวเติม (Fillers).....	16
2.3 เถ้าแกลบ.....	19
2.3.1 สัณฐานวิทยาของแกลบ.....	19
2.3.2 องค์ประกอบของแกลบ.....	20
2.3.3 การแบ่งประเภทของเถ้าแกลบ.....	22
2.3.4 ประโยชน์ของแกลบ.....	23
2.4 ซิลิกา (Silica).....	24
2.4.1 ลักษณะโดยทั่วไปของซิลิกา.....	28
2.4.2 ลักษณะทางเคมีของพื้นผิว.....	29
2.4.3 ปัญหาของการใช้ซิลิกาเป็นสารตัวเติม.....	29
2.4.4 สารกึ่งควบไซเลน.....	30
2.4.5 บทบาทของสารกึ่งควบไซเลน.....	31
2.5 เขม่าดำ (Carbon black).....	33
2.5.1 ชนิด และวิธีการผลิตเขม่าดำ.....	33
2.5.2 รูปร่าง และ โครงสร้างของเขม่าดำ.....	34
2.5.3 ยางบาวด์ (Bound rubber).....	35
2.5.4 ยางออกคลูด์ (Occluded rubber).....	35
2.6 แคลเซียมคาร์บอเนต (Calcium carbonate).....	36
2.7 งานวิจัยที่เกี่ยวข้อง.....	38
บทที่ 3 วิธีการดำเนินงานวิจัย.....	46
3.1 แผนการดำเนินงาน.....	46
3.2 สารเคมี.....	47
3.3 อุปกรณ์ และเครื่องมือ.....	49
3.4 วิธีการทดลอง.....	50

เอกสารนี้เป็นเอกสารที่สงวนไว้สำหรับการใช้งานเพื่อการศึกษาเท่านั้น เมื่ออนุญาตให้นำไปใช้ประโยชน์ด้านการค้า
ไม่ว่ากรณีใดๆ ทั้งสิ้น อีกทั้งห้ามมิให้ดัดแปลงเนื้อหา และต้องอ้างอิงถึงเจ้าของเอกสารทุกครั้งที่มีการนำไปใช้

สารบัญ (ต่อ)

หน้า

3.4.1 การเตรียมแก้วเคลือบดำ.....	50
3.4.2 การบดละเอียดแก้วเคลือบดำ.....	51
3.4.3 การตรวจสอบ และวิเคราะห์แก้วเคลือบดำ.....	51
3.4.4 การเตรียมแก้วเคลือบดำที่ปรับปรุงพื้นผิวด้วยสารกลุ่มควาซิลิโคน Si-69.....	52
3.4.5 การเตรียมยางผสมสูตร.....	52
3.5 การทดสอบยางผสมสูตร.....	55
3.5.1 การทดสอบความหนืดมูนนี่ (Mooney viscosity).....	55
3.5.2 พฤติกรรมการเชื่อมโยงของยางผสมสูตร (Cure characteristic).....	55
3.5.3 การขึ้นรูปยางเชื่อมโยง.....	57
3.5.4 การทดสอบสมบัติเชิงกลของยางเชื่อมโยง.....	58
3.5.4.1 การทดสอบแรงดึง (Tensile tests).....	58
3.5.4.2 การทดสอบความแข็งแรงฉีกขาด.....	60
3.5.4.3 การทดสอบความแข็งกด.....	60
3.5.4.4 การทดสอบการเสียรูปถาวรหลังการกดอัด (Compression set).....	61
3.5.4.5 การทดสอบการสึกหรอ.....	61
3.5.5 การทดสอบสมบัติทางความร้อนเชิงกลพลวัตด้วยเทคนิค DMTA.....	62
3.5.6 การศึกษาการบวมตัวของยางผสมสูตรในตัวทำละลาย.....	62
3.5.7 การศึกษาสัณฐานวิทยา.....	63
บทที่ 4 ผลการทดลอง และอภิปรายผล.....	64
4.1 การวิเคราะห์แก้วเคลือบดำ.....	65
4.2 ผลของการปรับปรุงแก้วเคลือบดำด้วย PEG และสารกลุ่มควาซิลิโคน Si-69.....	69
4.2.1 การยืนยันการปรับปรุงแก้วเคลือบดำด้วยสารกลุ่มควาซิลิโคน Si-69.....	69
4.2.2 พฤติกรรมการเชื่อมโยงของยางผสมสูตร.....	71

เอกสารนี้เป็นเอกสารที่สงวนไว้สำหรับการใช้งานเพื่อการศึกษาเท่านั้น ไม่อนุญาตให้นำไปใช้ประโยชน์ด้านการค้า
ไม่ว่ากรณีใดๆ ทั้งสิ้น อีกทั้งห้ามมิให้ดัดแปลงเนื้อหา และต้องอ้างอิงถึงเจ้าของเอกสารทุกครั้งที่มีการนำไปใช้

สารบัญ (ต่อ)

หน้า

4.2.3 การบวมตัวของยางผสมสูตรในตัวทำละลาย.....	73
4.2.4 สมบัติเชิงกลของยางผสมสูตร.....	74
4.2.5 สัณฐานวิทยาของยางที่มีแก้วเคลือบค้ำเป็นสารตัวเติม.....	78
4.2.6 สมบัติทางความร้อนเชิงกลพลวัตของยางผสมสูตร.....	80
4.3 ผลของขนาดอนุภาคแก้วเคลือบค้ำ.....	82
4.3.1 พฤติกรรมการเชื่อมโยงของยางผสมสูตร.....	82
4.3.2 สมบัติเชิงกลของยางผสมสูตร.....	83
4.4 ผลของปริมาณแก้วเคลือบค้ำ.....	88
4.4.1 พฤติกรรมการเชื่อมโยงของยางผสมสูตร.....	88
4.4.2 สมบัติเชิงกลของยางผสมสูตร.....	90
4.5 ผลของการใช้แก้วเคลือบค้ำเป็นสารตัวเติมในยางไนไตรล์เทียบกับสารตัวเติมชนิดอื่น	95
4.5.1 การยืนยันการปรับปรุงสมบัติทางกลก่อนด้วยสารคู่ควบไซเลน Si-69.....	96
4.5.2 พฤติกรรมการเชื่อมโยงของยางผสมสูตร.....	97
4.5.3 สมบัติเชิงกลของยางผสมสูตร.....	98
4.5.4 สมบัติทางความร้อนเชิงกลพลวัตของยางผสมสูตร.....	100
4.5.5 การวิเคราะห์ต้นทุน และสมบัติของยางผสมสูตร.....	102
บทที่ 5 สรุปผลการวิจัย และข้อเสนอแนะ.....	105
5.1 สรุปผลการวิจัย.....	105
5.2 ข้อเสนอแนะ.....	106
เอกสารอ้างอิง.....	108
ภาคผนวก.....	113

ภาคผนวก ก ขนาดอนุภาคโดยเฉลี่ยของแก้วเคลือบค้ำ..... 114

เอกสารนี้เป็นเอกสารที่สงวนไว้สำหรับการใช้งานเพื่อการศึกษาเท่านั้น เมื่อนุญาตให้นำไปใช้ประโยชน์ด้านการค้า

ไม่ว่ากรณีใดๆ ทั้งสิ้น อีกทั้งห้ามมิให้ดัดแปลงเนื้อหา และต้องอ้างอิงถึงเจ้าของเอกสารทุกครั้งที่มีการนำไปใช้

สารบัญ (ต่อ)

	หน้า
ภาคผนวก ข การทดสอบสมบัติเชิงกล.....	119
ภาคผนวก ค การทดสอบการบวมตัว.....	123
ภาคผนวก ง การทดสอบสมบัติทางความร้อนเชิงกลพลวัต.....	126
ภาคผนวก จ การคำนวณราคาค่าต้นทุนวัตถุดิบ.....	129
ภาคผนวก ช ขนาดตะแกรงร่อน.....	133
ประวัติผู้เขียน.....	134



เอกสารนี้เป็นเอกสารที่สงวนไว้สำหรับการใช้งานเพื่อการศึกษาเท่านั้น ไม่อนุญาตให้นำไปใช้ประโยชน์ด้านการค้า
ไม่ว่ากรณีใดๆ ทั้งสิ้น อีกทั้งห้ามมิให้ดัดแปลงเนื้อหา และต้องอ้างอิงถึงเจ้าของเอกสารทุกครั้งที่มีการนำไปใช้

สารบัญตาราง

ตารางที่	หน้า
2.1 ตัวอย่างรายชื่อของผู้ผลิตยางไนไตรล์.....	6
2.2 แสดงอัตราส่วนระหว่างสารเร่งปฏิกิริยาการเชื่อมโยงกับกำมะถันในระบบต่างๆ.....	13
2.3 องค์ประกอบของแกลบ.....	20
2.4 องค์ประกอบทางเคมีของเถ้าแกลบ.....	23
2.5 องค์ประกอบของซิลิกาจากธรรมชาติชนิดต่างๆ.....	25
2.6 สมบัติบางประการของซิลิกาจากธรรมชาติชนิดต่างๆ.....	26
2.7 องค์ประกอบของซิลิกาจากการสังเคราะห์ชนิดต่างๆ.....	27
2.8 สมบัติบางประการของซิลิกาจากการสังเคราะห์ชนิดต่างๆ.....	27
2.9 สมบัติบางประการของแคลเซียมคาร์บอเนตชนิดต่างๆ.....	38
3.1 สมบัติบางประการของซิลิกา (Tokusil® 255).....	48
3.2 สมบัติบางประการของเขม่าดำ (N 330).....	48
3.3 สมบัติบางประการของแคลเซียมคาร์บอเนตเกรด GCC.....	48
3.4 สูตรยางที่ใช้ในการศึกษาปัจจัยต่างๆ.....	54
4.1 อักษรย่อที่ใช้ในงานวิจัย.....	64
4.2 ปริมาณของเถ้าแกลบค้ำขนาดต่างๆ จากโรงงานผลิตไฟฟ้าชีวมวล.....	65
4.3 องค์ประกอบทางเคมีของเถ้าแกลบค้ำจากโรงงานผลิตไฟฟ้าชีวมวล.....	66
4.4 ขนาดอนุภาค โดยเฉลี่ย และพื้นที่ผิวจำเพาะของเถ้าแกลบค้ำในแต่ละขนาด	69
4.5 ผลของการปรับปรุงเถ้าแกลบค้ำที่มีต่อพฤติกรรมการเชื่อมโยง และความหนืดมูนนี้ของ ยางผสมสูตร โดยมีเถ้าแกลบค้ำเป็นสารตัวเติมปริมาณ 20 phr.....	72
4.6 ผลของการปรับปรุงเถ้าแกลบค้ำที่มีต่ออุณหภูมิเปลี่ยนสถานะคล้ายแก้ว.....	81
4.7 สมบัติเชิงกลของเถ้าแกลบค้ำบดละเอียด.....	83

เอกสารนี้เป็นเอกสารที่สงวนไว้สำหรับการใช้งานเพื่อการศึกษาเท่านั้น ไม่อนุญาตให้นำไปใช้ประโยชน์ด้านการค้า
ไม่ว่ากรณีใดๆ ทั้งสิ้น อีกทั้งห้ามมิให้ดัดแปลงเนื้อหา และต้องอ้างอิงถึงเจ้าของเอกสารทุกครั้งที่มีการนำไปใช้

สารบัญตาราง (ต่อ)

ตารางที่	หน้า
4.7 ผลของขนาดอนุภาคเข้าเคลือบดำที่มีต่อพฤติกรรมการเชื่อมโยง และความหนืดมูนี้ของ ยางผสมสูตร โดยมีเข้าเคลือบดำที่ปรับปรุงด้วย PEG และสารกลุ่มควาไซเลน Si-69 เป็น สารตัวเติมปริมาณ 20 phr.....	84
4.8 ผลของปริมาณเข้าเคลือบดำที่มีต่อพฤติกรรมการเชื่อมโยง และความหนืดมูนี้ของยาง ผสมสูตรที่มี BRHA-G, P+S เป็นสารตัวเติมในปริมาณต่างๆ.....	90
4.9 ขนาดอนุภาคเฉลี่ย พื้นที่ผิวจำเพาะ และความหนาแน่นรวมของสารตัวเติมชนิดต่างๆ.....	96
4.10 ผลของการเปรียบเทียบเข้าเคลือบดำกับสารตัวเติมชนิดอื่นๆ ที่มีต่อพฤติกรม การเชื่อมโยง และความหนืดมูนี้ของยางผสมสูตร โดยมีสารตัวเติมปริมาณ 60 phr.....	98
4.11 ความแข็งแรงดึง เปอร์เซ็นต์การดึงยืด ณ จุดขาด และมอดุลัสของยางที่ 100 เปอร์เซ็นต์ ดึงยืด ความแข็งแรงกักขาด และค่าความแข็งแรงกดของยางผสมสูตร.....	99
4.12 อุณหภูมิเปลี่ยนสถานะคล้ายแก้วของยางผสมสูตรเมื่อใช้สารตัวเติมชนิดต่างๆ ในปริมาณ 60 phr.....	102
4.13 ราคาวัตถุดิบรวมที่ใช้ในการผลิตยางผสมสูตร.....	103
4.14 สมบัติต่างๆ และราคาของยางผสมสูตรที่มีสารตัวเติมเทียบกับยางผสมสูตรที่ไม่มี สารตัวเติม.....	104

เอกสารนี้เป็นเอกสารที่สงวนไว้สำหรับการใช้งานเพื่อการศึกษาเท่านั้น ไม่อนุญาตให้นำไปใช้ประโยชน์ด้านการค้า
ไม่ว่ากรณีใดๆ ทั้งสิ้น อีกทั้งห้ามมิให้ดัดแปลงเนื้อหา และต้องอ้างอิงถึงเจ้าของเอกสารทุกครั้งที่มีการนำไปใช้

สารบัญรูป

รูปที่	หน้า
2.1 โครงสร้างของยางไนไตรล์.....	8
2.2 ตัวอย่างผลิตภัณฑ์ยางไนไตรล์.....	11
2.3 ชนิดการเชื่อมโยงกำมะถัน	13
2.4 โครงสร้างของเมล็ดข้าว.....	19
2.5 โครงสร้างของเซลลูโลส.....	21
2.6 โครงสร้างของเฮมิเซลลูโลส.....	22
2.7 โครงสร้างของลิกนิน.....	22
2.8 การเกาะกลุ่มกันของอนุภาคซิลิกา.....	28
2.9 ลักษณะของหมู่ไซทานอลบนพื้นผิวของซิลิกา.....	29
2.10 โครงสร้างทางเคมีของสารคู่ควบไซเลน Si-69.....	32
2.11 ปฏิกิริยาระหว่างซิลิกากับสารคู่ควบไซเลน Si-69.....	32
2.12 โครงสร้างของเขม่าดำ.....	35
2.13 ภาพวาดแสดงโครงสร้างของเขม่าดำ Bound rubber และ Occluded rubber รวมเป็น ส่วนเสริมแรง (Reinforcing entity).....	36
3.1 เครื่องแยกขนาด.....	50
3.2 เครื่องผสมแบบสองลูกกลิ้ง.....	52
3.3 เครื่องวัดความหนืดมูนนี่.....	55
3.4 เครื่องวัดการเชื่อมโยงแบบไร้งานหมุน.....	56
3.5 กราฟเชื่อมโยง (Cure curve) ของยางผสมสูตรแสดงเวลาเชื่อมโยง และเวลาเริ่มเชื่อมโยง...	56
3.6 ลักษณะขึ้นทดสอบการเสียรูปถาวรหลังการกดอัด.....	57
3.7 ลักษณะขึ้นงานทดสอบการสึกหรอ.....	58
3.8 เครื่องทดสอบอเนกประสงค์.....	59
3.9 ตัวอย่างกราฟความเค้น – ความเครียด (Stress-strain curve) ของตัวอย่างประเภทยาง.....	59

เอกสารนี้เป็นเอกสารที่สงวนไว้สำหรับการใช้งานเพื่อการศึกษาเท่านั้น ไม่อนุญาตให้นำไปใช้ประโยชน์ด้านการค้า
ไม่ว่ากรณีใดๆ ทั้งสิ้น อีกทั้งห้ามมิให้ดัดแปลงเนื้อหา และต้องอ้างอิงถึงเจ้าของเอกสารทุกครั้งที่มีการนำไปใช้

สารบัญรูป (ต่อ)

รูปที่	หน้า
3.10 เครื่องวัดความแข็งกด.....	60
3.11 อุปกรณ์ที่ใช้ทดสอบการเสียรูปถาวรหลังการกดอัด.....	61
4.1 สเปกตรา FTIR ของ ก) เถ้าแกลบดำ และ ข) ซิลิกาชนิดตกตะกอน.....	66
4.2 ลักษณะสัณฐานวิทยาของเถ้าแกลบดำจาก SEM ของ ก) F-BRHA(#1), (ข) F-BRHA(#2), (ค) F-BRHA(#3), ที่กำลังขยาย 500 (ซ้าย) และ 5000 (ขวา).....	67
4.3 ลักษณะสัณฐานวิทยาของเถ้าแกลบดำจาก SEM ของ (ก) F-BRHA(#4) และ (ข) F-BRHA-G ที่กำลังขยาย 500 (ซ้าย) และ 5000 (ขวา).....	68
4.4 สเปกตรา FTIR ของ ก) เถ้าแกลบดำไม่ได้ปรับปรุงผิว และ ข) เถ้าแกลบดำที่ปรับปรุง พื้นผิวด้วยสารก่อกวนไซเลน Si-69.....	70
4.5 ปฏิกริยาของซิลิกาในเถ้าแกลบดำ และชนิดตกตะกอนกับด้วยสารก่อกวนไซเลน Si-69.....	71
4.6 ผลของการปรับปรุงเถ้าแกลบดำที่มีต่อพฤติกรรมกรรมการเชื่อมโยงของยางผสมสูตร โดยมี เถ้าแกลบดำเป็นสารตัวเติมปริมาณ 20 phr.....	72
4.7 ผลของการปรับปรุงเถ้าแกลบดำที่มีต่อพฤติกรรมกรรมการบวมตัวในตัวทำละลายไดคลอโร- มีเทนของยางผสมสูตร โดยมีเถ้าแกลบดำเป็นสารตัวเติมปริมาณ 20 phr.....	73
4.8 ผลของการปรับปรุงเถ้าแกลบดำที่มีต่อเปอร์เซ็นต์การบวมตัวในตัวทำละลายไดคลอโร- มีเทน เป็นเวลา 3 วัน ของยางผสมสูตร โดยมีเถ้าแกลบดำเป็นสารตัวเติมปริมาณ 20 phr.....	74
4.9 ผลของการปรับปรุงเถ้าแกลบดำที่มีต่อค่าความแข็งแรงดึงของยางผสมสูตร โดยมี เถ้าแกลบดำเป็นสารตัวเติมปริมาณ 20 phr.....	75
4.10 ผลของการปรับปรุงเถ้าแกลบดำที่มีต่อค่าเปอร์เซ็นต์การดึงยืด ณ จุดขาดของยางผสม สูตร โดยมีเถ้าแกลบดำเป็นสารตัวเติมปริมาณ 20 phr.....	75
4.11 ผลของการปรับปรุงเถ้าแกลบดำที่มีต่อค่ามอดูลัสของยางที่ 100 เปอร์เซ็นต์ดึงยืดของ ยางผสมสูตร โดยมีเถ้าแกลบดำเป็นสารตัวเติมปริมาณ 20 phr.....	76
4.12 ผลของการปรับปรุงเถ้าแกลบดำที่มีต่อค่าความแข็งแรงลักษณะของยางผสมสูตร โดยมี เถ้าแกลบดำเป็นสารตัวเติมปริมาณ 20 phr.....	76

เอกสารนี้เป็นเอกสารที่สงวนไว้สำหรับการใช้งานเพื่อการศึกษาเท่านั้น ไม่อนุญาตให้นำไปใช้ประโยชน์ด้านการค้า
ไม่ว่ากรณีใดๆ ทั้งสิ้น อีกทั้งห้ามมิให้ดัดแปลงเนื้อหา และต้องอ้างอิงถึงเจ้าของเอกสารทุกครั้งที่มีการนำไปใช้

สารบัญรูป (ต่อ)

รูปที่	หน้า
4.13 ผลของการปรับปรุงเง้าแถบดำที่มีต่อค่าความแข็งกด (Shore A) ของยางผสมสูตรโดยมีเง้าแถบดำเป็นสารตัวเติมปริมาณ 20 phr.....	77
4.14 ผลของการปรับปรุงเง้าแถบดำที่มีต่อค่าการเสียรูปถาวรหลังการกดอัดเป็นเวลา 22 ชั่วโมง ที่อุณหภูมิ 70°C ของยางผสมสูตรโดยมีเง้าแถบดำเป็นสารตัวเติมปริมาณ 20 phr.....	77
4.15 แสดงสัณฐานวิทยาของยางผสมสูตรจาก SEM (ก) BRHA(#4); (ข) BRHA(#4), S; (ค) BRHA(#4), P และ (ง) BRHA(#4), P+S ที่กำลังขยาย 1000 (ซ้าย) และ 5000 (ขวา) เท่า.....	79
4.16 ผลของการปรับปรุงเง้าแถบดำที่มีต่อค่ามอดูลัสสะสมของยางผสมสูตร โดยมีเง้าแถบดำเป็นสารตัวเติมปริมาณ 20 phr.....	80
4.17 ผลของการปรับปรุงเง้าแถบดำที่มีต่อค่า $\tan \delta$ ของยางผสมสูตร โดยมีเง้าแถบดำเป็นสารตัวเติมปริมาณ 20 phr.....	81
4.18 ผลของขนาดอนุภาคเง้าแถบดำที่มีต่อพฤติกรรมการเชื่อมโยงของยางผสมสูตร โดยมีเง้าแถบดำที่ปรับปรุงด้วย PEG และสารคู่ควบไซเลน Si-69 เป็นสารตัวเติมปริมาณ 20 phr.....	83
4.19 ผลของขนาดอนุภาคเง้าแถบดำที่มีต่อค่าความแข็งแรงดึงของยางผสมสูตร โดยมีเง้าแถบดำที่ปรับปรุงด้วย PEG และสารคู่ควบไซเลน Si-69 เป็นสารตัวเติมปริมาณ 20 phr.....	84
4.20 ผลของขนาดอนุภาคเง้าแถบดำที่มีต่อค่าเปอร์เซ็นต์การดึงยืด ณ จุดขาดของยางผสมสูตร โดยมีเง้าแถบดำที่ปรับปรุงด้วย PEG และสารคู่ควบไซเลน Si-69 เป็นสารตัวเติมปริมาณ 20 phr.....	85
4.21 ผลของขนาดอนุภาคเง้าแถบดำที่มีต่อค่าความมอดูลัสของยางที่ 100 เปอร์เซ็นต์ดึงยืดของยางผสมสูตร โดยมีเง้าแถบดำที่ปรับปรุงด้วย PEG และสารคู่ควบไซเลน Si-69 เป็นสารตัวเติมปริมาณ 20 phr.....	85

เอกสารนี้เป็นเอกสารที่สงวนไว้สำหรับการใช้งานเพื่อการศึกษาเท่านั้น ไม่อนุญาตให้นำไปใช้ประโยชน์ด้านการค้าไม่ว่ากรณีใดๆ ทั้งสิ้น อีกทั้งห้ามมิให้ดัดแปลงเนื้อหา และต้องอ้างอิงถึงเจ้าของเอกสารทุกครั้งที่มีการนำไปใช้

สารบัญรูป (ต่อ)

รูปที่	หน้า
4.22 ผลของขนาดอนุภาคแก้วเคลือบดำที่มีต่อค่าความแข็งแรงถึกขาดของยางผสมสูตร โดยมี แก้วเคลือบดำที่ปรับปรุงด้วย PEG และสารก่อกวนไซเลน Si-69 เป็นสารตัวเติมปริมาณ 20 phr.....	86
4.23 ผลของขนาดอนุภาคแก้วเคลือบดำที่มีต่อค่าความแข็งกด (Shore A) ของยางผสมสูตร โดยมีแก้วเคลือบดำที่ปรับปรุงด้วย PEG และสารก่อกวนไซเลน Si-69 เป็นสารตัวเติม ปริมาณ 20 phr.....	86
4.24 ผลของขนาดอนุภาคแก้วเคลือบดำที่มีต่อค่าการเสีรูปลถาวรหลังการกดอัดเป็นเวลา 22 ชั่วโมงที่อุณหภูมิ 70°C ของยางผสมสูตรที่มีแก้วเคลือบดำที่ปรับปรุงด้วย PEG และ สารก่อกวนไซเลน Si-69 เป็นสารตัวเติมปริมาณ 20 phr.....	87
4.25 ลักษณะสัณฐานวิทยาของแก้วเคลือบดำจาก SEM ของ F-BRHA(#1) (ซ้าย) และ F-BRHA-G (ขวา) ที่กำลังขยาย 5000 เท่า.....	88
4.26 ผลของปริมาณแก้วเคลือบดำที่มีต่อพฤติกรรมการเชื่อมโยงของยางผสมสูตร โดยมี BRHA-G, P+S เป็นสารตัวเติมในปริมาณต่างๆ.....	89
4.27 ผลของปริมาณแก้วเคลือบดำที่มีต่อค่าความแข็งแรงดึงของยางผสมสูตร โดยมี BRHA-G, P+S เป็นสารตัวเติมในปริมาณต่างๆ.....	91
4.28 ผลของปริมาณแก้วเคลือบดำที่มีต่อค่าเปอร์เซ็นต์การดึงยึด ณ จุดขาดของยางผสมสูตร โดยมี BRHA-G, P+S เป็นสารตัวเติมในปริมาณต่างๆ.....	92
4.29 ผลของปริมาณแก้วเคลือบดำที่มีต่อค่าความแข็งแรงถึกขาดของยางผสมสูตร โดยมี BRHA-G, P+S เป็นสารตัวเติมในปริมาณต่างๆ.....	92
4.30 ผลของปริมาณแก้วเคลือบดำที่มีต่อค่าความมอดูลัสของยางที่ 100 เปอร์เซ็นต์ดึงยึดของ ยางผสมสูตร โดยมี BRHA-G, P+S เป็นสารตัวเติมในปริมาณต่างๆ.....	93
4.31 ผลของปริมาณแก้วเคลือบดำที่มีต่อค่าความแข็งกด (Shore A) ของยางผสมสูตร โดยมี BRHA-G, P+S เป็นสารตัวเติมในปริมาณต่างๆ.....	93

เอกสารนี้เป็นเอกสารที่สงวนไว้สำหรับการใช้งานเพื่อการศึกษาเท่านั้น ไม่อนุญาตให้นำไปใช้ประโยชน์ด้านการค้า
ไม่ว่ากรณีใดๆ ทั้งสิ้น อีกทั้งห้ามมิให้ดัดแปลงเนื้อหา และต้องอ้างอิงถึงเจ้าของเอกสารทุกครั้งที่มีการนำไปใช้

สารบัญรูป (ต่อ)

รูปที่	หน้า
4.32 ผลของปริมาณเถ้าเคลือบดำที่มีต่อค่าการเสียดรูปถาวรหลังการกดอัดเป็นเวลา 22 ชั่วโมง ที่อุณหภูมิ 70°C ของยางผสมสูตร โดยมี BRHA-G, P+S เป็นสารตัวเติมในปริมาณต่างๆ.....	94
4.33 สเปกตรัม FT-IR ของ ก) ซิลิกาชนิดตกตะกอนไม่ได้ปรับปรุงพื้นผิว และ ข) ซิลิกาชนิดตกตะกอนที่ปรับปรุงพื้นผิวด้วยสารคู่ควบไซเลน Si-69.....	96
4.34 ผลของการเปรียบเทียบเถ้าเคลือบดำกับสารตัวเติมชนิดอื่นๆ ที่มีต่อพฤติกรรมการเชื่อมโยงของยางผสมสูตร โดยมีสารตัวเติมปริมาณ 60 phr.....	98
4.35 ค่ามอดูลัสสะสมของยางผสมสูตรเมื่อใช้สารตัวเติมชนิดต่างๆ ในปริมาณ 60 phr.....	101
4.36 ค่า $\tan \delta$ ของยางผสมสูตรเมื่อใช้สารตัวเติมชนิดต่างๆ ในปริมาณ 60 phr.....	102

บทที่ 1

บทนำ

1.1 ที่มาและความสำคัญของงานวิจัย

แม้ปัจจุบันข้าวจะไม่ใช้สินค้าที่ทำรายได้หลักเข้าประเทศเหมือนเช่นในอดีต แต่ประเทศไทยยังเป็นประเทศผู้ส่งออกข้าวรายใหญ่ของโลก ซึ่งชี้ให้เห็นว่าประเทศไทยมีผลผลิตข้าวมากเพียงใด จากข้อมูลในปัจจุบัน (พ.ศ. 2556-2557) ประเทศไทยมีการผลิตข้าวเป็นจำนวนมากถึง 36 ล้านตันต่อปี และจากข้อมูลขององค์การอาหารและเกษตรแห่งสหประชาชาติ ทั่วโลกมีการเกี่ยวข้าวมากกว่า 750 ล้านตันต่อปี [1] ข้าวเปลือกที่เก็บเกี่ยวได้เมื่อนำมาผ่านกระบวนการสีจะได้เมล็ดข้าวกับเปลือกข้าวหรือแกลบ ซึ่งแกลบจะมีน้ำหนักประมาณ 22.5-25.2% ของข้าวเปลือก [2] ซึ่งจากกระบวนการผลิตข้าวนั้นจะมีแกลบเป็นของเหลือจากกระบวนการผลิตเป็นจำนวนมากตามปริมาณข้าวที่เก็บเกี่ยวได้ โดยทั่วไปแกลบจะถูกนำมาใช้ประโยชน์ ซึ่งวิธีที่นิยมคือ การนำมาใช้เป็นเชื้อเพลิงในการผลิตไฟฟ้าในโรงงานไฟฟ้าชีวมวล เพราะแกลบมีค่าความร้อนเฉลี่ย 3,880 กิโลแคลอรีต่อกิโลกรัม (kcal/kg) เมื่อเทียบกับค่าความร้อนเฉลี่ยที่ได้จากไม้พืน ที่มีค่า 4,475 kcal/kg ซึ่งมีความมากกว่าเล็กน้อยนอกจากนี้แกลบยังได้รับความนิยมนำมาใช้เป็นเชื้อเพลิงมากที่สุดในบรรดาชีวมวล (Biomass) ทั้งหมด เพราะแกลบมีความชื้นต่ำและไม่ต้องผ่านเครื่องย่อยก่อนนำไปเผาไหม้ อย่างไรก็ตาม สิ่งที่เป็นความแตกต่างอย่างชัดเจนระหว่างการเผาแกลบกับไม้พืนคือ ปริมาณเถ้า โดยแกลบจะให้เถ้าออกมามากกว่าไม้พืนถึง 7 เท่า ทำให้มีเถ้าแกลบที่หลงเหลือจากกระบวนการเผาเป็นจำนวนมากด้วยเช่นกัน และเถ้าแกลบนั้น สามารถฟุ้งกระจายได้ปัจจุบัน มีการกำจัดเถ้าแกลบด้วยวิธีการกองเก็บ และฝังกลบ ทำให้เถ้าแกลบกลายเป็นปัญหาสำคัญสำหรับโรงงานสีข้าว และโรงไฟฟ้าชีวมวลที่ใช้แกลบเป็นเชื้อเพลิงเนื่องจากก่อให้เกิดมลภาวะทางอากาศ และเป็นภาระในการบำบัด

นักวิทยาศาสตร์พบว่า ในเถ้าแกลบมีซิลิกา (Silica; SiO₂) เป็นองค์ประกอบประมาณ 70-90 % [3] และเถ้าแกลบมีความพรุน (Porosity) มากน้ำหนักเบา มีพื้นที่ผิวมาก มีสมบัติดูดซับ (Absorbent) ดีอีกทั้งมีสมบัติเป็นฉนวนด้วยแกลบที่เผาในระบบเปิดจะได้เถ้าแกลบ 2 ชนิดคือ เถ้าแกลบดำ (Black rice husk ash; BRHA) และเถ้าแกลบขาว (White rice husk ash; WRHA) ขึ้นอยู่กับอุณหภูมิของเตาเผาและสภาวะการเผาที่มีต่อความสมบูรณ์ของการสันดาปในเตาเผา

เอกสารนี้เป็นเอกสารที่สงวนไว้สำหรับการใช้งานเพื่อการศึกษาเท่านั้น ไม่อนุญาตให้นำไปใช้ประโยชน์ด้านการค้าไม่ว่ากรณีใดๆ ทั้งสิ้น อีกทั้งห้ามมิให้ดัดแปลงเนื้อหา และต้องอ้างอิงถึงเจ้าของเอกสารทุกครั้งที่มีการนำไปใช้

โดยถ้าเกิดจากการเผาที่อุณหภูมิต่ำจะมีซิลิกาเป็นองค์ประกอบหลัก และมีองค์ประกอบของคาร์บอนร่วมอยู่ด้วยเนื่องจากการเผาที่ไม่สมบูรณ์ (Incompletd combustion) ในขณะที่เมื่อใช้อุณหภูมิในการเผาที่สูงขึ้นทำให้เกิดการเผาที่สมบูรณ์มากขึ้น จะมีเถ้าแกลบขาวในปริมาณที่เพิ่มขึ้น และพบปริมาณซิลิกาที่สูงกว่าเถ้าแกลบดำ แต่มีความหนาแน่นรวมที่น้อยทำให้เกิดการฟุ้งกระจายได้ง่าย [4] ในปัจจุบันจึงมีงานวิจัยการนำเถ้าแกลบมาใช้ประโยชน์ในอุตสาหกรรมต่างๆ เช่น อุตสาหกรรมคอนกรีต เซรามิก และการนำเถ้าแกลบมาสกัดเอาซิลิกา เพื่อนำไปใช้ในอุตสาหกรรมอิเล็กทรอนิกส์ เป็นต้น ซึ่งเป็นการใช้ทรัพยากรอย่างคุ้มค่าและลดผลกระทบต่อสิ่งแวดล้อม นอกจากนี้ที่กล่าวมาข้างต้นแล้ว ยังได้การมีวิจัยการนำเถ้าแกลบมาใช้ประโยชน์เป็นสารตัวเติมในยางด้วยเช่นกันซึ่งมีงานวิจัยการนำเถ้าแกลบดำไปใช้เป็นสารตัวเติม เช่น งานวิจัยของ Pattamaprom C. et.al. [5] ทำการศึกษาผลของการใช้เถ้าแกลบดำเป็นสารตัวเติมในยางธรรมชาติ คัดแปร เช่น ยางธรรมชาติกราฟ มาเลอิกแอนไฮไดรด์ (Maleated natural rubber; MNR) ยางธรรมชาติอีพอกซีไดซ์ (Epoxidized natural rubber; ENR) และยางธรรมชาติผสมยางเอทิลีน-พรอพิลีนไดอีน (Natural rubber blend ethylene-propylene diene rubber; NR/EPDM) เมื่อใส่สารตัวเติมเถ้าแกลบ ที่มีขนาดอนุภาคเฉลี่ยประมาณ 75 μm ในปริมาณ 45 phr ส่งผลให้สมบัติเชิงกลของยางทุกชนิดไม่ได้เปลี่ยนแปลงไปมากจากยางที่ไม่ได้ใส่สารตัวเติม เมื่อเปรียบเทียบสารตัวเติมเถ้าแกลบกับซิลิกาชนิดตกตะกอนในปริมาณเท่ากันซิลิกาชนิดตกตะกอน สามารถปรับปรุงสมบัติเชิงกลได้ ดีกว่า เถ้าแกลบดำ อย่าง เห็นได้ ชัดเจน และจากงานวิจัยที่ผ่านมาของ รสิมาจันทร์จำปา [6] ได้ทำการศึกษการนำเถ้าแกลบดำมาใช้เป็นสารตัวเติมในยางธรรมชาติพบว่า เถ้าแกลบดำมีองค์ประกอบหลักเป็นซิลิกา และ หาปริมาณคาร์บอนอินทรีย์ในเถ้าแกลบดำด้วยเครื่องวิเคราะห์ปริมาณอินทรีย์คาร์บอน (Total organic carbon analyzer; TOC) พบว่ามีปริมาณคาร์บอนอินทรีย์ในเถ้าแกลบดำ 4.45% การใช้พอลิเอทิลีน ไกลคอล (Polyethylene glycol; PEG) และ สารคู่ควบไซเลนชนิดเมอร์แคปโท (Mercaptosilane; Si-69) ปรับปรุงเถ้าแกลบดำส่งผลต่อพฤติกรรมเชื่อมโยง และสมบัติเชิงกลไม่แตกต่างกันอย่างมีนัยสำคัญ เถ้าแกลบดำที่มีขนาดเล็กให้สมบัติเชิงกลที่ดีกว่าขนาดใหญ่ เมื่อเพิ่มปริมาณเถ้าแกลบดำ (5-100 phr) ทำให้พฤติกรรมเชื่อมโยงเร็วขึ้น แต่สมบัติเชิงกลส่วนใหญ่ด้อยลง และจากการเปรียบเทียบกับสารตัวเติมทางการค้าชนิดอื่นๆ สามารถกล่าวได้ว่าเถ้าแกลบดำจัดเป็นสารตัวเติมชนิดไม่เสริมแรงในยางธรรมชาติ จากงานวิจัยที่ผ่านมา เถ้าแกลบดำไม่สามารถเสริมแรงให้กับยางธรรมชาติได้ ทั้งนี้เนื่องจากเถ้าแกลบดำ

เอกสารนี้เป็นเอกสารที่สงวนไว้สำหรับการใช้งานเพื่อการศึกษาเท่านั้น ไม่อนุญาตให้นำไปใช้ประโยชน์ด้านการค้าไม่ว่ากรณีใดๆ ทั้งสิ้น อีกทั้งห้ามมิให้ตัดแปลงเนื้อหา และต้องอ้างอิงถึงเจ้าของเอกสารทุกครั้งที่มีการนำไปใช้

ที่ใช้มีขนาดอนุภาคใหญ่ (41-279 μm) และมืองค์ประกอบ ของซิลิกาที่ขั้วสูงส่งผลให้มีความ ไม่เข้า กับยางธรรมชาติที่ไม่มีขั้ว

ในปัจจุบัน อุตสาหกรรมยางในประเทศไทยใช้ยางไนไตรล์ (Acrylonitrile butadiene rubber; NBR) ปริมาณมากถึง 26,000 ตันต่อปี [7] เนื่องจากยางไนไตรล์เป็นยางที่มีขั้ว จึงถูกเลือกใช้งานในวัสดุที่ต้องการให้ทนทานต่อน้ำมันและจาระบี ที่ไม่มีขั้ว ในอุตสาหกรรมเครื่องจักรกลหรือยานยนต์ เช่น ชิ้นส่วนในเครื่องยนต์ชุดเกียร์ส่งกำลังที่มีน้ำมันหล่อลื่นเป็นสารหล่อลื่นหรือรถแทรกของต้องใช้น้ำมันเป็นตัวส่งถ่ายกำลังดังนั้นผลิตภัณฑ์ซีล (Seals) หรือยางทนน้ำมัน ยาง NBR จึงมีบทบาทความสำคัญในการใช้งานในชิ้นส่วนอุปกรณ์ยานยนต์หรือเครื่องจักรกล ซึ่ง ในอุตสาหกรรมการผลิตผลิตภัณฑ์ยางจะมีการใช้สารตัวเติมชนิดต่างๆ เพื่อปรับปรุงสมบัติของยาง และเพื่อลดต้นทุนในการผลิต การเลือกชนิดและปริมาณของสารตัวเติม ขึ้นอยู่กับการ นำไปใช้งานของผลิตภัณฑ์เป็นปัจจัยหลัก [8] โดยสารตัวเติมที่มีการใช้อยู่ในปัจจุบันคือเขม่าดำ (Carbon black) ซิลิกาและแคลเซียมคาร์บอเนต (Calcium carbonate; CaCO_3) เป็นต้นเขม่าดำเป็นสารตัวเติมที่มีการใช้งานในทางอุตสาหกรรมมากที่สุดเนื่องจากมีสมบัติการเสริมแรงที่ดีแต่เขม่าดำได้มาจากการเผาของน้ำมันปิโตรเลียมและแก๊สธรรมชาติซึ่งเป็นวัตถุดิบที่หมดไป (Non-renewable source) และใช้พลังงานในการผลิตสูงมีราคาขึ้นลงตามราคาน้ำมัน ในขณะที่ซิลิกาจัดเป็นสารเสริมแรงอีกตัวหนึ่งที่มีการใช้งานมากเนื่องจากให้สมบัติเชิงกลที่ดีรองจากเขม่าดำ และสามารถปรับแต่งสีขึ้นงานได้ง่ายแต่ซิลิกาเป็นสารตัวเติมที่มีขั้วสูงก่อให้เกิดปัญหาในเรื่องการเกาะกลุ่มกัน และการดูดซับสารเร่งปฏิกิริยาการเชื่อมโยง อีกทั้งยังมีราคาต่อหน่วยที่ค่อนข้างสูงซึ่งจากโครงสร้างของเม็ดเขม่าดำที่มีมืองค์ประกอบหลักทางเคมีที่มีขั้วสูงอย่างซิลิกาทำให้เกิดปัญหา เช่นเดียวกับสารตัวเติมซิลิกาเนื่องจากที่ผิว ซิลิกาประกอบไปด้วยหมู่ซิลานอล (Silanol) ที่สามารถดูดซับสารเร่งปฏิกิริยาการเชื่อมโยงและซิงค์ออกไซด์ (Zinc oxide; ZnO) ที่เติมลงไปเพื่อเร่งปฏิกิริยาการเชื่อมโยง ทำให้ประสิทธิภาพการทำงานของสารเร่งปฏิกิริยาการเชื่อมโยงลดลงส่งผลให้ระบบต้องใช้เวลาในการเชื่อมโยงยาวนานขึ้นและไม่สามารถควบคุมความสม่ำเสมอของเวลาในการเชื่อมโยงอย่างที่แน่นอนได้ทั้งยังลดความหนาแน่นเชื่อมโยงของชิ้นงานส่งผลให้ความแข็งแรงของชิ้นงานลดลง [9] มีผู้วิจัยศึกษาเกี่ยวกับซิลิกาเสริมแรงมากมายโดยพยายามหาวิธีในการปรับปรุงสมบัติพื้นผิวของซิลิกาทั้งการใช้ความร้อนสารเคมีหรือการใช้สารคู่ควบ (Coupling agent) [10-11] ซึ่งจากวิธีดังกล่าวข้างต้นการใช้สารคู่ควบเป็นวิธีที่ได้รับความนิยมมากที่สุดและการใช้ไซเลนเป็นสารคู่ควบได้รับ

ความนิยมอย่างมากในอุตสาหกรรมยาง

เอกสารนี้เป็นเอกสารที่สงวนไว้สำหรับการใช้งานเพื่อการศึกษาเท่านั้น ไม่อนุญาตให้นำไปใช้ประโยชน์ด้านการค้า ไม่ว่าจะกรณีใดๆ ทั้งสิ้น อีกทั้งห้ามมิให้ดัดแปลงเนื้อหา และต้องอ้างอิงถึงเจ้าของเอกสารทุกครั้งที่มีการนำไปใช้

จะเห็นได้ว่า จากที่กล่าวมาข้างต้นแล้วกลายเป็นของเหลือจากภาคเกษตรกรรมสามารถนำมาใช้เป็นสารตัวเติม ได้เพราะถ้าแล้วแต่เดิมมีองค์ประกอบส่วนใหญ่เป็นซิลิกา นอกจากนี้ยังมีคาร์บอนที่เกิดจากการเผาไหม้ไม่สมบูรณ์ร่วมอยู่ด้วย ซึ่งเป็นองค์ประกอบที่สามารถเสริมแรงในยางได้ และอาจทำให้ยางที่ใช้แล้วแต่เดิมมีสมบัติต่างๆ อยู่ระหว่างการใช้อยู่ซิลิกากับเขม่าดำเป็นสารตัวเติมในยาง จากงานวิจัยก่อนหน้านี้ แล้วแต่เดิมนั้น ไม่สามารถเสริมแรงได้ในยางธรรมชาติ ทั้งนี้อาจเนื่องมาจากแล้วแต่เดิมกับยางธรรมชาติมีความเป็นขั้วที่แตกต่างกัน และยังมีขนาดอนุภาคที่ใหญ่เกินไป ในงานวิจัยนี้จึงได้ทำการศึกษาการใช้แล้วแต่เดิมเป็นสารตัวเติมในยางไนไตรล์ ซึ่งเป็นยางที่มีขั้ว อาจส่งผลให้มีอันตรกิริยากับแล้วแต่เดิมที่ดีกว่ายางธรรมชาติ โดยนำแล้วแต่เดิมจากโรงไฟฟ้าชีวมวล . ใช้นาพมาทำการปรับปรุงด้วยพอลิเอทิลีนไกลคอล (PEG) เพื่อป้องกันการดูดสารเร่งปฏิกิริยาการเชื่อมโยงและสารคู่ควบ ไชเลน Si-69 ที่นิยมใช้ในอุตสาหกรรมยางเพื่อช่วยในการยึดเกาะระหว่างอนุภาคสารตัวเติมกับยาง และศึกษาผลของการปรับปรุงพื้นผิวแล้วแต่เดิมดำ ขนาดและปริมาณของแล้วแต่เดิมดำ แล้วทำการเปรียบเทียบกับสารตัวเติมชนิดอื่นๆ เพื่อปรับปรุงสมบัติยางไนไตรล์ลดต้นทุนในการผลิต และเพื่อนำวัสดุเหลือใช้ (แล้วแต่เดิมดำ) มาใช้ประโยชน์ให้มีประสิทธิภาพมากที่สุด

1.2 วัตถุประสงค์ของงานวิจัย

ศึกษาการใช้แล้วแต่เดิมดำเป็นสารตัวเติมในยางไนไตรล์(NBR)โดยศึกษาการปรับปรุงพื้นผิวแล้วแต่เดิมดำด้วยพอลิเอทิลีนไกลคอล (PEG) และสารคู่ควบ ไชเลน Si-69ผลของขนาดแล้วแต่เดิมดำ ผลของปริมาณแล้วแต่เดิมดำและการเปรียบเทียบกับสารตัวเติมชนิดอื่นๆ

1.3ขอบเขตของงานวิจัย

1. ทำการวิเคราะห์แล้วแต่เดิมดำได้แก่ขนาดอนุภาคพื้นที่ผิวจำเพาะองค์ประกอบทางเคมี และหมู่ฟังก์ชัน
2. ศึกษาปัจจัยบางประการที่มีผลต่อสมบัติของยาง ได้แก่ ผลของการปรับปรุงพื้นผิวแล้วแต่เดิมดำด้วยPEG และสารคู่ควบ ไชเลน Si-69 ในปริมาณ 5 และ 3% โดยน้ำหนักของแล้วแต่เดิมดำตามลำดับ โดยทำการเปรียบเทียบระหว่างแล้วแต่เดิมดำที่ปรับปรุงและไม่ได้ปรับปรุง พื้นผิวผลของขนาดอนุภาคแล้วแต่เดิมดำ ได้แก่ 100-150, 150-200, 200-250 และน้อยกว่า 250 meshและ

เถ้าเคลบดำชนิดบดละเอียด และผลของปริมาณเถ้าเคลบดำที่ใช้เป็นสารตัวเติมได้แก่ 0, 20, 40, 60, 80, 100 และ 120phr

3. ศึกษาเปรียบเทียบสมบัติต่างๆ ของการใช้เถ้าเคลบดำกับสารตัวเติมทางการค้าชนิดอื่นในยางไนไตรล์ได้แก่ แคลเซียมคาร์บอเนต เขม่าดำ และซิลิกา

โดยศึกษาสมบัติต่างๆของยางที่เตรียมได้ได้แก่

- พฤติกรรมการเชื่อมโยง (Cure characteristics) ได้แก่ เวลาเริ่มเชื่อมโยง (Scorch time; t_{s2}) เวลาเชื่อมโยง (Cure time; t_{90}) และดัชนีความเร็วเชื่อมโยง (Cure rate index; CRI)
- สมบัติเชิงกล ได้แก่ ความแข็งแรงดึง (Tensile strength) เปอร์เซ็นต์การดึงยืดจนขาด (%Elongation at break) มอดูลัสของยางที่ 100 เปอร์เซ็นต์ดึงยืด (M100) ความแข็งแรงฉีกขาด (Tear strength) ความแข็งกด (Hardness) และการเสียรูปถาวรหลังการกดอัด (Compression set)
- สมบัติความร้อนเชิงกลพลวัต (Dynamic mechanical thermal analysis; DMTA)
- สันฐานวิทยาด้วยกล้องจุลทรรศน์อิเล็กตรอนแบบส่องกราด (Scanning electron microscope; SEM)

1.4 ประโยชน์ที่คาดว่าจะได้รับ

1. เถ้าเคลบดำสามารถเป็นสารตัวเติมชนิดเสริมแรงในยางไนไตรล์และช่วยลดต้นทุนได้
2. เพื่อเพิ่มมูลค่าพัฒนาการใช้ประโยชน์เถ้าเคลบดำและลดปัญหาสิ่งแวดล้อมที่เกิดจากการทิ้งของเสียจากโรงไฟฟ้าชีวมวล (ใช้เคลบเป็นเชื้อเพลิง)
3. เพื่อเป็นแนวทางที่ใช้ในการศึกษาสารตัวเติมเถ้าเคลบดำในการนำไปประยุกต์ใช้ในพอลิเมอร์ชนิดอื่นๆต่อไป

บทที่ 2

หลักการและทฤษฎีที่เกี่ยวข้อง

2.1 ยางไนไตรล์

ยางไนไตรล์นับเป็นยางใช้งานเฉพาะอย่างเพื่อวัตถุประสงค์หลัก โดยเฉพาะด้านการทนน้ำมัน ทนต่อตัวทำละลายเชื้อเพลิงและจาระบี ยางไนไตรล์เป็นยางที่สามารถใช้เทคโนโลยีตามแบบยางทั่วไป หลังจากการค้นพบวิธีการโคพอลิเมอไรเซชัน (Co-polymerization) ของสไตรีน (Styrene) และบิวทาไดอีน (Butadiene) ในปี พ.ศ. 2472 ทำให้สามารถเตรียมโคพอลิเมอร์ (Copolymer) ระหว่างอะคริโลไนไตรล์ (Acrylonitrile) และบิวทาไดอีนได้สำเร็จในห้องปฏิบัติการ ในปี พ.ศ. 2473 หลังจากนั้นจึงได้ผลิตทางการค้าออกสู่ตลาดในชื่อของ Buna[®] N โดยบริษัท ไบเบอร์ จำกัด ในปี พ.ศ. 2483 และใช้ชื่อนี้มาจนถึงปัจจุบัน [12-13]

ปัจจุบันปริมาณการใช้ยางไนไตรล์ประมาณ 2 แสนตันต่อปี โดยมีผู้ผลิตมากกว่า 30 บริษัท ในชื่อทางการค้าต่างๆ ดังแสดงในตารางที่ 2.1 ยางไนไตรล์เป็นวัสดุหลักที่ใช้งานในกรณีที่ต้องการให้ทนต่อน้ำมัน ดังนั้นงานส่วนใหญ่ของยางไนไตรล์จะใช้เป็นอุปกรณ์ในเครื่องยนต์เครื่องจักร เครื่องพิมพ์และอุตสาหกรรมอาหารในรูปของซีล ปะเก็น ท่อลูกกลิ้ง และยางบุเบรค (Brake-lining) เป็นต้น [12-13]

ตารางที่ 2.1 ตัวอย่างรายชื่อของผู้ผลิตยางไนไตรล์ [14]

บริษัทผู้ผลิต	ชื่อทางการค้า	สถานที่ตั้ง
Dwory SA	KER [®]	Poland, Oswiecim
Carom SA	Carom [®]	Romania
Eliokem Chemicals	Chemigum [®]	France, Le Havre USA, Akron
Hyundai Petrochemical Co., Ltd.	Seetec [®]	Korea, Daesan
Industrias Negromex SA de CV	Emulprene [®]	Mexico
JSR Corporation	JSR [®]	Japan, Yokkaichi
Korea KumhoPetrochemical Co., Ltd.	Kosyn [®]	Korea, Seoul

เอกสารนี้เป็นเอกสารที่สงวนไว้สำหรับการใช้งานเพื่อการศึกษาเท่านั้น ไม่อนุญาตให้นำไปใช้ประโยชน์ด้านการค้า ไม่ว่าจะกรณีใดๆ ทั้งสิ้น อีกทั้งห้ามมิให้ดัดแปลงเนื้อหา และต้องอ้างอิงถึงเจ้าของเอกสารทุกครั้งที่มีการนำไปใช้

ตารางที่ 2.1 (ต่อ)

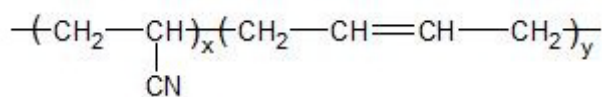
บริษัทผู้ผลิต	ชื่อทางการค้า	สถานที่ตั้ง
Lanxess Elastomers	Krynac [®]	France, La Wantzenau
Lanxess Inc.	Krynac [®]	Canada, Sarnia
Lanzhou Chemical Industry	NBR [®]	China
Nantes Industry Co., Ltd.	Nantex [®]	Taiwan, Kaohsiung
Negromex Industrias, SA de CV	N-xxxx [®]	Mexico
Nitriflex Industria e Comercio SA	Nitriflex [®] N	Brazil, Rio de Janeiro
ParaTec Elastomers LLC	Paracril Paraclean Paracril OZO [®]	Mexico, Altamira
Petrobras Energia SA	Amipol [®]	Argentina, Buenos Aires
PetroChina Jilin Petrochemical Co., Ltd.	NBR [®]	China, Jilin
Petroflex Industria e Comercio SA	Petroflex [®]	Brazil
Polimeri Europa S. p. A.	Europrene [®] N	Italy, Milan
Sibur Krasnoyarsky zavod SK	SKN [®]	Russia, Krasnoyarsk
Sibur Voronezhsyntezkauchuk	Sibur Nitrilast [®]	Russia, Voronezh
Zeon Chemicals Europe Ltd.	Breon Nipol Polyblack [®]	Wales, Sully South Glamorgan
Zeon Chemicals LP	Nipol [®]	USA, Louisville
Zeon Corporation	Nipol [®]	Japan, Kawasaki

2.1.1 โครงสร้างทางเคมีและสมบัติ [15]

ยางไนไตรล์เป็นโคพอลิเมอร์ของมอนอเมอร์อะคริโลไนไตรล์ (Acrylonitrile monomer) และมอนอเมอร์บิวทาไดอีน (Butadiene monomer) ซึ่งประกอบด้วยอะคริโลไนไตรล์ตั้งแต่ 18-51 % จากโครงสร้างโมเลกุล จะเห็นได้ว่าในส่วนของอะคริโลไนไตรล์มีหมู่ฟังก์ชัน $-CN$ อยู่ทำให้โมเลกุลของยางชนิดนี้มีความเป็นขั้วสูง ยางชนิดนี้จึงมีสมบัติเด่นคือทนต่อน้ำมันปิโตรเลียม และตัวทำละลายที่ไม่มีขั้วต่างๆ ได้ดี ในขณะที่ส่วนของบิวทาไดอีนที่มีอยู่โมเลกุลเป็นส่วนที่ทำให้

เอกสารนี้เป็นเอกสารที่สงวนไว้สำหรับการใช้งานเพื่อการศึกษาเท่านั้น ไม่อนุญาตให้นำไปใช้ประโยชน์ด้านการค้า ไม่ว่าจะกรณีใดๆ ทั้งสิ้น อีกทั้งห้ามมิให้ดัดแปลงเนื้อหา และต้องอ้างอิงถึงเจ้าของเอกสารทุกครั้งที่มีการนำไปใช้

ความยืดหยุ่น และเป็นตำแหน่งที่โมเลกุลยางเกิดการเชื่อมโยงในปฏิกิริยาเชื่อมโยง โดยที่โครงสร้างทางเคมีของยางไนไตรล์แสดงในรูปที่ 2.1



รูปที่ 2.1 โครงสร้างของยางไนไตรล์

สมบัติของยางไนไตรล์แปรผันโดยตรงตามสัดส่วนของปริมาณอะคริโลไนไตรล์ที่มีอยู่ในโมเลกุล โดยทั่วไปเมื่อปริมาณของอะคริโลไนไตรล์เพิ่มสูงขึ้น ทำให้สมบัติของยางไนไตรล์เปลี่ยนไปดังนี้

- ความทนทานต่อน้ำมันปิโตรเลียม และตัวทำละลายไฮโดรคาร์บอนสูงขึ้น
- การกระเดื่องกระดอนต่ำลง
- การเปลี่ยนรูปถาวรต่ำลง
- การซึมผ่านของก๊าซลดลง
- ความทนทานต่อความร้อนสูงขึ้น
- ความทนทานต่อโอโซนสูงขึ้น
- ความแข็งและความทนทานต่อแรงดึงสูงขึ้น
- ความต้านทานการขูดถูเพิ่มขึ้น
- ความหนาแน่นสูงขึ้น

นอกจากสมบัติต่างๆ ดังกล่าวข้างต้นแล้ว ปริมาณอะคริโลไนไตรล์ยังส่งผลโดยตรงต่อค่าอุณหภูมิของการเปลี่ยนสถานะคล้ายแก้ว (T_g) อีกด้วย กล่าวคือค่า T_g สูงขึ้นตามปริมาณอะคริโลไนไตรล์ที่เพิ่มขึ้น โดยทั่วไปค่า T_g ของยางไนไตรล์อยู่ในช่วง -35 ถึง 0°C

2.1.2 การจัดเกรดยางไนไตรล์ [14]

ยางไนไตรล์มีหลายเกรดเนื่องจากการผลิตต่างๆ กันออกไป เช่น

- มีการแปรสัดส่วนระหว่างอะคริโลไนไตรล์กับบิวทาไดอีนทำให้ได้ยางที่มีความทนทานต่อน้ำมันต่างๆ กัน
- มีการผสมกับพอลิเมอร์อื่น เช่น พีวีซี เป็นต้น เพื่อให้ได้ยางที่แปรรูปได้ดีขึ้น และทนทานต่อโอโซน

เอกสารนี้เป็นเอกสารที่สงวนไว้สำหรับใช้ทำงานเพื่อการศึกษาเท่านั้น ไม่อนุญาตให้นำไปใช้ประโยชน์ด้านการค้าไม่ว่ากรณีใดๆ ทั้งสิ้น อีกทั้งห้ามมิให้ดัดแปลงเนื้อหา และต้องอ้างอิงถึงเจ้าของเอกสารทุกครั้งที่มีการนำไปใช้

- มีการเติมพลาสติกไซเซออร์ เช่น ไดเอทิลเฮกซิลฟทาเลต (Di-(2-ethylhexyl) phthalate; DOP) ในปริมาณมากเข้าไปในโมเลกุลทำนองเดียวกับ Oil-extended rubber เพื่อลดต้นทุน และเพื่อผสมกับพีวีซีได้ง่าย
- มีการเติมมอนอเมอร์คาร์บอกซีเลต (Carboxylated monomer) เข้าไปทำให้ยางมีลักษณะพิเศษในการเชื่อมโยง และความทนทานต่อการสึกหรอ
- มีการเติมอนุมูลอิสระไดไวนิลเบนซีน (Divinyl benzene) ลงไปได้เป็นแบบยางที่มีการเชื่อมโยง (Crosslink rubber) เพื่อทำให้ยางสามารถมีการแปรรูปได้ง่าย เป็นต้น
- มีการเติมไฮโดรเจน (Hydrogen; H_2) เข้าไปในโมเลกุลทำให้ยางมีสมบัติต้านทน ต่อความร้อน และโอโซนดีขึ้น

นอกจากนี้มีการแบ่งเกรดย่อยออกไปตาม ค่าความหนืด (Viscosity) ของยางตามขนาดโมเลกุลอีกด้วย [13]

2.1.3 การผสมเคมียางไนไตรล์ [15]

โดยภาพรวมแล้ว การผสมเคมียางไนไตรล์ จะคล้ายคลึงกับยางธรรมชาติและยางสไตรีนบิวทาไดอีน อย่างไรก็ตาม เนื่องจากยาง NBR มีความเป็นขั้วสูง ดังนั้น จึงจำเป็นต้องพิจารณาถึงความเข้ากันได้ของสารเคมีที่ใช้กับยางไนไตรล์ด้วย สารเคมี 2 กลุ่มที่ต้องพิจารณาเป็นพิเศษ ได้แก่

1. สารกลุ่มที่ทำให้ยางเกิดการเชื่อมโยง โดยเฉพาะกำมะถัน เพราะกำมะถันจะเข้ากันกับยางไนไตรล์ได้ยาก ดังนั้น ในการออกสูตรการผสมเคมีของยางไนไตรล์ จึงควรใช้กำมะถันในปริมาณที่ต่ำ (เมื่อเปรียบเทียบกับยางธรรมชาติหรือยางสไตรีนบิวทาไดอีน) หรืออาจใช้สารเร่งปฏิกิริยาการเชื่อมโยงที่สามารถแตกตัวให้กำมะถันแทนการใช้กำมะถัน (ใช้ระบบการคงรูปแบบกึ่งประสิทธิภาพ (semi-EV) หรือแบบประสิทธิภาพ (EV)) ซึ่งระบบการคงรูปแบบหลังนี้จะช่วยทำให้ยางเชื่อม โยงที่ได้มีความทนทานต่อการเสื่อมสภาพอันเนื่องมาจากความร้อนได้ดี และมีค่าการเสียรูปถาวรจากการกดอัดต่ำ นอกจากนี้ เนื่องจากบิวทาไดอีนในยางไนไตรล์ มีความว่องไวในการทำปฏิกิริยากรรูปซ้ากว่าไอโซพรีน ดังนั้นในการออกสูตรยางควรใช้สัดส่วนของสารเร่งปฏิกิริยาการเชื่อมโยงต่อกำมะถันสูงกว่าสัดส่วนที่ใช้ในยางธรรมชาติ สารตัวเร่งปฏิกิริยาการเชื่อมโยงที่นิยมใช้กับยางไนไตรล์ ได้แก่ MBTS ซัลฟิनाไมด์ ไธยูเรม ไดโซโอคาร์บาเมต และกำนิดิน สำหรับในกรณีที่ต้องการยางเชื่อมโยงที่มีความทนทานต่อความร้อนสูงมากๆ อาจใช้ TMTD อย่างเดียวได้โดยไม่ต้องใช้กำมะถันหรืออาจเติมกำมะถันลงไปเล็กน้อย (0.25 phr) หรือใช้สารเร่งปฏิกิริยาการ

เชื่อมโยงที่สามารถแตกตัวแล้วให้กำมะถันประมาณ (0.5 phr) แทนได้ เนื่องจากกำมะถันสามารถละลายในยางไนไตรล์ได้ยาก ทำให้กำมะถันกระจายตัวเข้าไปในเนื้อยางได้ไม่ดีซึ่งอาจส่งผลให้ยางเกิดการเชื่อมโยงได้ไม่สม่ำเสมอทั่วทั้งก้อน ดังนั้นในระหว่างการผสมจึงต้องทำการเติมกำมะถันเข้าไปในช่วงต้นของการผสมเพื่อเพิ่มระยะเวลาการผสมให้กำมะถันเข้ากับยางได้มากขึ้นหรืออาจเลือกใช้กำมะถันเกรดพิเศษที่มีแมกนีเซียมคาร์บอเนตเคลือบอยู่ที่พื้นผิว (MC-sulfur) แทนการใช้กำมะถันเกรดทั่วไป

2. สารกลุ่มที่ทำให้ยางนิ่ม เช่น น้ำมัน ฯลฯ สารกลุ่มนี้ใช้เติมลงไปในยางไนไตรล์เพื่อช่วยในกระบวนการแปรรูป (ลดความหนืดของยาง) ปรับปรุงสมบัติด้านต่างๆ โดยเฉพาะสมบัติความเหนียวติด สมบัติการหักงอที่อุณหภูมิต่ำ และความยืดหยุ่นของยาง เป็นต้น สำหรับสารทำให้ยางนิ่มที่นิยมใช้กันมากกับยางไนไตรล์ได้แก่ น้ำมันอะโรมาติก และสารเคมีในกลุ่มอีเทอร์หรือเอสเทอร์ เช่น DOP หรือ Tritolyl phosphate เป็นต้น ส่วน Xylene formaldehyde resin และ Coumarone resin เป็นสารที่ช่วยเพิ่มสมบัติความเหนียวติดกันให้แก่ยางไนไตรล์ได้เป็นอย่างดี ส่วนสารทำให้ยางนิ่มที่นิยมใช้กับยางธรรมชาติ และยางสังเคราะห์ที่ไม่มีขั้วอื่นๆ เช่น น้ำมันพาราฟิน หรือเนพทานิกนั้นสามารถเข้ากับยางไนไตรล์ได้น้อยมาก เนื่องจากยางไนไตรล์มีความเป็นขั้วสูง แม้ว่าการเติมสารกลุ่มนี้ทำให้ยางนิ่มจะช่วยปรับปรุงสมบัติหลายๆ ด้านของยางไนไตรล์ แต่ในเวลาเดียวกันการเติมสารกลุ่มนี้ทำให้สมบัติเชิงกลรวมถึงความทนทานต่อน้ำมัน และสารเคมีของยางลดลง นอกจากนี้เมื่อถูกใช้งานที่อุณหภูมิสูง สารกลุ่มนี้อาจจะเหยียดออกไปทำให้สมบัติเชิงกลต่างๆ และขนาดของผลิตภัณฑ์เปลี่ยนแปลงไป ซึ่งส่งผลโดยตรงต่อประสิทธิภาพการใช้งานของผลิตภัณฑ์นั้นๆ ด้วยเหตุนี้การเลือกใช้สารกลุ่มเหล่านี้จึงควรทำด้วยความระมัดระวัง และต้องพิจารณาถึงสภาพการใช้งานจริงของผลิตภัณฑ์ด้วย สำหรับในกรณีที่ต้องการใช้งานผลิตภัณฑ์ยางไนไตรล์ที่สถานะอุณหภูมิสูง ควรเลือกใช้สารทำให้ยางนิ่มชนิดที่ระเหยได้ยากซึ่งส่วนใหญ่เป็นสารที่มีน้ำหนักโมเลกุลสูง เช่น พอลิเมอร์ เป็นต้น ตัวอย่างของสารระเหยยากได้แก่ Polypropylene sebacate และ Dibutyl carbitol formal เป็นต้น แต่สารทำให้ยางนิ่มที่ระเหยยากเหล่านี้มักมีราคาแพงกว่าสารทำให้ยางนิ่มทั่วไปมาก

2.1.4 การใช้งานยางไนไตรล์ [15]

ยางชนิดนี้ส่วนใหญ่ถูกใช้ในการผลิตผลิตภัณฑ์ที่ต้องสัมผัสกับน้ำมัน ทนทานต่อความร้อน และต้านทานการขูดฉุดได้ดี ตัวอย่างของผลิตภัณฑ์ที่ทำจากยางไนไตรล์ได้แก่ ปะเก็นน้ำมัน

เอกสารนี้เป็นเอกสารที่สงวนไว้สำหรับการใช้งานเพื่อการศึกษาเท่านั้น ไม่อนุญาตให้นำไปใช้ประโยชน์ด้านการค้า ไม่ว่าจะกรณีใดๆ ทั้งสิ้น อีกทั้งห้ามมิให้ดัดแปลงเนื้อหา และต้องอ้างอิงถึงเจ้าของเอกสารทุกครั้งที่มีการนำไปใช้

ยางโอริง ยางซีล ยางเชื่อมข้อต่อ สายพานลำเลียง ท่อดูดหรือส่งน้ำมัน ท่อยางเสริมแรง ยางบุ ยางเคลือบลูกกลิ้ง รองเท้าบูท พื้นและส้นรองเท้า เป็นต้น ดังแสดงในรูปที่ 2.2



รูปที่ 2.2 ตัวอย่างผลิตภัณฑ์ยางไนไตรล์ [16]

2.2 สารเติมแต่ง (Additives) [8]

สารเติมแต่งของยาง หมายถึงสารเคมีต่างๆ ที่ผสมลงไปนยางเพื่อให้ได้ผลิตภัณฑ์ยางที่มีสมบัติตามต้องการ การให้สารเคมีทำปฏิกิริยากับยางสามารถเร่งได้โดยการให้ความร้อน ยางที่ยังไม่เกิดปฏิกิริยากับสารเคมี เรียกว่า ยางดิบหรือยางไม่เชื่อมโยง (Green rubber หรือ Uncured rubber) ส่วนยางที่เข้าทำปฏิกิริยาเคมีแล้วเรียกว่า ยางเชื่อมโยง (Vulcanized rubber) สารเคมีต่างๆ ที่ใช้ผสมลงไปนยางเพื่อให้ได้ผลิตภัณฑ์ยางที่มีสมบัติตามต้องการอาจจำแนกเป็นประเภทต่างๆ ได้ดังนี้

1. สารเชื่อมโยง (Crosslinking agents) เช่น กำมะถัน สารประเภทที่มีกำมะถันเป็นส่วนประกอบ และสารประเภทเปอร์ออกไซด์
2. สารเร่งปฏิกิริยา การเชื่อมโยง (Accelerators) คือ สารเคมีที่ใส่ในยางเพื่อเร่งการเกิดปฏิกิริยาให้เร็วขึ้น
3. สารกระตุ้นการเชื่อมโยง (Activators) เช่น กรดสเตียริก และซิงค์ออกไซด์
4. สารตัวเติม (Fillers) ได้แก่ เคลย์ ซิลิกา เขม่าดำ และแคลเซียมคาร์บอเนต เป็นต้น
5. พลาสติไซเซอร์ (Plasticizers) คือ อาจเป็นสารที่ทำให้ยางนิ่มโดยทางเคมี หรือสารทำให้

ยางนิ่มโดยทางกายภาพ

เอกสารนี้เป็นเอกสารที่สงวนไว้สำหรับการใช้งานเพื่อการศึกษาเท่านั้น ไม่อนุญาตให้นำไปใช้ประโยชน์ด้านการค้าไม่ว่ากรณีใดๆ ทั้งสิ้น อีกทั้งห้ามมิให้ดัดแปลงเนื้อหา และต้องอ้างอิงถึงเจ้าของเอกสารทุกครั้งที่มีการนำไปใช้

6. สารป้องกันการเสื่อมสภาพ (Protective agents) เช่น สารต้านทานปฏิกิริยาออกซิเดชัน (Antioxidants) และสารต้านทานปฏิกิริยาโอโซน (Antiozonants)

7. สารพิเศษอื่นๆ (Miscellaneous ingredients) ได้แก่ สารที่ทำให้เกิดสี (Colorants) สารทำให้เกิดฟอง (Blowing agents) และสารหน่วง (Retarders) เป็นต้น

2.2.1 สารเชื่อมโยง (Crosslinking agents)

สารเชื่อมโยงที่สำคัญของยาง ได้แก่ กำมะถัน (Sulfur) เปอร์ออกไซด์ (Peroxides) และสารประกอบออกไซด์ของโลหะบางชนิด นิยมใช้สารเร่งปฏิกิริยา การเชื่อมโยง และสารกระตุ้นการเชื่อมโยงผสมเข้ากับยาง แล้วให้อุณหภูมิสูงภายหลังการขึ้นรูปเป็นรูปร่างผลิตภัณฑ์ที่ต้องการ อุณหภูมิสูงทำให้สารเชื่อมโยงต่างๆ เกิดปฏิกิริยาวัลคาไนเซชัน (Vulcanization) เชื่อมโยงโครงสร้างโมเลกุลยางแล้วเปลี่ยนโครงสร้างเส้นตรงเป็นโครงสร้างร่างแหสามมิติ มีเสถียรภาพของรูปร่าง และมีสมบัติเชิงกลดีขึ้น การเชื่อมโยงยางทำให้ยางมีสมบัติเปลี่ยนไป คือ

- มีความแข็งแรง (Strength) เพิ่มขึ้น
- มีมอดุลัส (Modulus) เพิ่มขึ้น
- มีความยืดหยุ่น (Elasticity) ดีขึ้น
- มีฮิสเทอรีซิส (Hysteresis) ลดลง
- มีการเปลี่ยนรูปร่างถาวร (Permanent set) ลดลง หรือมีเสถียรภาพของรูปร่างเพิ่มขึ้น
- เหนียวติด (Sticky) น้อยลง
- เปลี่ยนเป็นเทอร์โมเซต ไม่ละลายในตัวทำละลายใดๆ ทนต่ออุณหภูมิ แสง และการใช้งานนานขึ้น

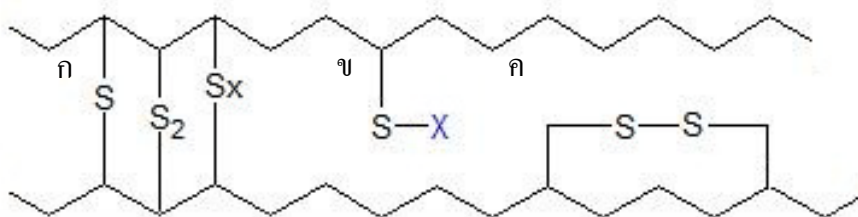
การเชื่อมโยงด้วยกำมะถัน

กำมะถันเป็นสารทำให้ยางคงรูปหรือสารเชื่อมโยงที่นิยมใช้มากที่สุด ประมาณ 90 % และนิยมใช้กับยางที่ไม่อิ่มตัว (Unsaturated rubber) ได้แก่ ยางธรรมชาติ ยางสไตรีนบิวทาไดอีน (Styrene Butadiene Rubber; SBR) ยางบิวทาไดอีน (BR) และยางไนไตรล์ (NBR) เป็นต้น เมื่อเติมกำมะถันเข้าไปในยางแล้วให้ความร้อน กำมะถันทำหน้าที่เป็นตัวเชื่อมระหว่างโมเลกุลของยาง เรียกว่า เกิดการเชื่อมโยง ทำให้ยางคงรูป

โดยทั่วไปปริมาณของกำมะถันที่เติมในผลิตภัณฑ์ยางอยู่ในช่วง 0.5-3.0 phr ปริมาณที่ใช้

ขึ้นอยู่กับชนิด และปริมาณของสารเร่งปฏิกิริยา การเชื่อมโยง โดยสมบัติต่างๆ ของยางที่เชื่อมโยง เอกสารนี้เป็นเอกสารที่สงวนไว้สำหรับการใช้งานเพื่อการศึกษาเท่านั้น ไม่นิยมนำไปใช้ประโยชน์ด้านการค้า ไม่ว่าจะกรณีใดๆ ทั้งสิ้น อีกทั้งห้ามมิให้ตัดแปลงเนื้อหา และต้องอ้างอิงถึงเจ้าของเอกสารทุกครั้งที่มีการนำไปใช้

ด้วยกำมะถันนั้นมีความแตกต่างกันขึ้นอยู่กับชนิดของการเชื่อมโยง (Type of crosslink) และจำนวนของการเชื่อมโยง (Degree of crosslink) ดังแสดงในรูปที่ 2.3



รูปที่ 2.3 ชนิดการเชื่อมโยงกำมะถัน [17]

- ก. การเชื่อมโยงของกำมะถันแบบโมโนซัลไฟดิก (Monosulfidic) ไดซัลไฟดิก (Disulfidic) และพอลิซัลไฟดิก (Polysulfidic) ตามลำดับ
- ข. การเชื่อมโยงของกำมะถันแบบเพนแดนท์ (Pendant sulfur)
- ค. การเชื่อมโยงของกำมะถันภายในสายโซ่โมเลกุลของยาง (Intramolecular linkage)

ชนิดของการเชื่อมโยงด้วยกำมะถันขึ้นอยู่กับชนิดของ สารเร่งปฏิกิริยา การเชื่อมโยง และอัตราส่วนของ สารเร่งปฏิกิริยา การเชื่อมโยงกับกำมะถัน ดังนั้นการเชื่อมโยงยางด้วยกำมะถันจึงมีระบบการเชื่อมโยงใหญ่ๆ 3 ระบบ คือ

1. ระบบทั่วไป (Conventional vulcanization; CV)
2. ระบบกึ่งประสิทธิภาพ (Semi-efficient vulcanization; SEV)
3. ระบบประสิทธิภาพ (Efficient vulcanization; EV)

สำหรับอัตราส่วนของสารเร่งปฏิกิริยาการเชื่อมโยงกับกำมะถันในระบบต่างๆ แสดงในตารางที่ 2.2

ตารางที่ 2.2 อัตราส่วนระหว่างสารเร่งปฏิกิริยาการเชื่อมโยงกับกำมะถันในระบบต่างๆ [18]

ระบบ	ปริมาณกำมะถัน (phr)	ปริมาณสารเร่งปฏิกิริยาการเชื่อมโยง (phr)	อัตราส่วนสารเร่งปฏิกิริยาการเชื่อมโยงต่อกำมะถัน
ระบบทั่วไป (CV)	2.0-3.5	1.2-0.4	0.1-0.6
ระบบกึ่งประสิทธิภาพ (SEV)	1.0-1.7	2.5-1.2	0.7-2.5
ระบบประสิทธิภาพ (EV)	0.4-0.8	5.0-2.0	2.5-1.2

เอกสารนี้เป็นเอกสารที่สงวนไว้สำหรับการใช้งานเพื่อการศึกษาเท่านั้น ไม่อนุญาตให้นำไปใช้ประโยชน์ด้านการค้าไม่ว่ากรณีใดๆ ทั้งสิ้น อีกทั้งห้ามมิให้ดัดแปลงเนื้อหา และต้องอ้างอิงถึงเจ้าของเอกสารทุกครั้งที่มีการนำไปใช้

การเติมกำมะถันลงในยางควรเติมหลังจากเติมสารเคมีทั้งหมดแล้ว เพื่อป้องกันไม่ให้เกิดการเชื่อมโยงก่อนกำหนด แต่ยางบางชนิด เช่น NBR ซึ่งกำมะถันมีความสามารถในการกระจายในยางได้ไม่ดี จำเป็นต้องใส่กำมะถันเข้าไปตั้งแต่เริ่มต้นเพื่อช่วยให้มีการกระจายเพิ่มขึ้น การผสมกำมะถันเข้าไปในยางในปริมาณมาก เมื่อตั้งทิ้งไว้กำมะถันที่เป็นส่วนเกินจะแพร่ออกมาที่ผิวยาง เรียกว่า เกิดการบลูม (Blooming) การแก้ปัญหาของการที่กำมะถันเกิดการเคลื่อนที่มาอยู่ที่ผิวยางสามารถทำได้โดยผสมกำมะถันเข้าไปในยางที่อุณหภูมิต่ำที่สุดเท่าที่ทำได้ หรืออาจใช้กำมะถันชนิดไม่ละลาย (Insoluble sulfur) แทนกำมะถันธรรมดาซึ่งเป็นชนิดละลาย (Soluble sulfur) แต่กำมะถันชนิดไม่ละลาย ไม่คงตัว จึงมีการเปลี่ยนรูปเป็นกำมะถันชนิดละลายอย่างช้าๆ ที่อุณหภูมิห้อง และถ้าอุณหภูมิสูงขึ้นจะเปลี่ยนเป็นกำมะถันชนิดละลายภายใน 10-20 นาที ดังนั้นในกระบวนการแปรรูปยาง ต้องให้อุณหภูมิต่ำเพื่อป้องกันไม่ให้เกิดการเคลื่อนที่ของกำมะถันชนิดไม่ละลายเปลี่ยนรูปในการนำไปใช้งาน อาจใช้กำมะถันชนิดไม่ละลายปนกับกำมะถันชนิดละลายได้ เช่น ใช้กำมะถันชนิดไม่ละลาย 70 % ของปริมาณทั้งหมด ทำให้ลดการตกผลึกของกำมะถันที่ผิวยางได้ ข้อดีของการใช้กำมะถัน คือ กำมะถันมีราคาถูกกว่าซิงค์ ทำให้ต้นทุนต่ำ และการกระจายตัวในยางได้ดี

ข้อเสียของการใช้กำมะถัน คือ มีแนวโน้มทำให้เกิดการเคลื่อนที่มาอยู่ที่ผิวยาง มีการติดสีของซัลไฟด์ เมื่อนำยางที่ผสมกำมะถันไปอบ มีความต้านทานต่อความร้อนไม่ดี และไม่สามารถใช้ร่วมกับยางที่อิมตัว

2.2.2 สารเร่งปฏิกิริยาการเชื่อมโยง (Accelerators)

สารเร่งปฏิกิริยา การเชื่อมโยงเป็นสิ่งจำเป็นสำหรับระบบการเชื่อมโยงด้วยกำมะถันเพราะปฏิกิริยาระหว่างกำมะถัน และยางเกิดขึ้นได้ช้ามาก การเติมสารเร่งปฏิกิริยาการเชื่อมโยงลงไป ปริมาณเพียงเล็กน้อยช่วยเร่งให้อัตราการเกิดปฏิกิริยาเชื่อมโยงเร็วขึ้น ส่งผลให้ลดระยะเวลาที่ใช้ในการเชื่อมโยง สารเร่งปฏิกิริยา การเชื่อมโยงส่วนใหญ่เป็นสารอินทรีย์ที่มีไนโตรเจน และกำมะถัน เป็นองค์ประกอบ หลักเกณฑ์ทั่วไปในการเลือกใช้สารเร่งปฏิกิริยาการเชื่อมโยง ได้แก่

1. สารเร่งปฏิกิริยาการเชื่อมโยงที่ใช้ต้องทำให้ยางคอมพาวด์ที่ได้มีระยะเวลา เริ่มเชื่อมโยงที่ยาวเพียงพอที่ไม่ก่อให้เกิดปัญหาตายในระหว่างกระบวนการผลิต
2. เมื่อปฏิกิริยาเชื่อมโยงเริ่มเกิดขึ้น สารเร่งปฏิกิริยา การเชื่อมโยง ที่ดีต้องทำให้ยางคอมพาวด์มีอัตราเร็วในการเชื่อมโยงที่สูง และยางที่ได้มีความหนาแน่นของการเชื่อมโยงสูงด้วยเช่นกัน

เอกสารนี้เป็นเอกสารที่สงวนไว้สำหรับการใช้งานเพื่อการศึกษาเท่านั้น ไม่อนุญาตให้นำไปใช้ประโยชน์ด้านการค้า ไม่ว่าจะกรณีใดๆ ทั้งสิ้น อีกทั้งห้ามมิให้ดัดแปลงเนื้อหา และต้องอ้างอิงถึงเจ้าของเอกสารทุกครั้งที่มีการนำไปใช้

3. สารเร่งปฏิกิริยา การเชื่อมโยงที่ใช้ต้องเหมาะสมกับอุณหภูมิ และระยะเวลาที่ใช้ในการเชื่อมโยง

4. สารเร่งปฏิกิริยา การเชื่อมโยงที่ใช้ต้องไม่ก่อให้เกิดปัญหาการบวม

2.2.3 สารกระตุ้นการเชื่อมโยง (Activators)

สารกระตุ้นการเชื่อมโยงเป็นสารเคมีที่ทำหน้าที่กระตุ้น หรือเพิ่มประสิทธิภาพการทำงานของสารเร่งปฏิกิริยา การเชื่อมโยง ดังนั้นอาจเรียกสารนี้ว่าสารกระตุ้นสารเร่ง ลักษณะสำคัญของตัวกระตุ้นคือมีความเป็นด่าง (Alkaline) นอกจากนี้ใช้ซิงค์ออกไซด์ (ZnO) เป็นตัวกระตุ้นแล้ว อาจใช้ลิเทียมออกไซด์ (Li₂O) แมกนีเซียมออกไซด์ (MgO) และสารจำพวกเอมีน (Amine) โดยปกติในอุตสาหกรรมใช้ซิงค์ออกไซด์เป็นสารกระตุ้นการเชื่อมโยงประมาณ 2-5 phr แต่ถ้าใช้มากกว่า 5 phr ขึ้นไปแสดงว่ามีจุดมุ่งหมายอื่นนอกเหนือจากการใช้เป็นสารกระตุ้นการเชื่อมโยง การใช้ซิงค์ออกไซด์ปริมาณสูงทำให้การถ่ายเทความร้อนในยางรวดเร็วขึ้นเหมาะสมกับการทำชิ้นงานที่มีความหนา โดยเฉพาะกับการบ่มแบบใช้อากาศร้อน โดยสารกระตุ้นการเชื่อมโยง ที่ใช้ร่วมกับซิงค์ออกไซด์ คือ กรดไขมัน (Fatty acid) ที่มีจำนวนคาร์บอน 12-18 อะตอม เช่น กรดสเตียริก เกิดเป็นซิงค์สเตียเรต (Zinc stearate) และ กรดลอริก เกิดเป็นซิงค์ลอริเอต (Zinc laurate) โดยปกติใช้กรดสเตียริกในอุตสาหกรรมยางประมาณ 1-3 phr นอกจากกรดสเตียริกทำหน้าที่เป็นสารกระตุ้นการเชื่อมโยงแล้วยังทำหน้าที่เป็นสารหล่อลื่น (Lubricants) ในการผสมยางทำให้ความหนืดของยางลดลง

2.2.4 สารแอนติออกซิแดนซ์ (Antioxidants)

แอนติออกซิแดนซ์เป็นสารต้านการเสื่อมของยาง ใสเพื่อหน่วงให้อายุการเสื่อมของยางอันเนื่องจากการกระตุ้นของออกซิเจน โอโซน ความร้อน แสง โลหะ และการหักงอไปมาซ้ำลง ซึ่งมีผลทำให้หน้ายางแตก การใส่สารแอนติออกซิแดนซ์นับว่าจำเป็น เพื่อปรับปรุงสมบัติด้านอายุของยาง แม้แต่ยางสังเคราะห์บางชนิดที่มีสมบัติต้านอายุในตัวของมันเอง เช่น ยางคลอโรพรีน ยางอีพ็อกซี และอีพดีเอ็ม เป็นต้น ยังแนะนำให้ใส่สารต้านการเสื่อมลงไปปริมาณเล็กน้อย

สารต้านทานการเสื่อมสภาพแบ่งเป็นสองประเภทใหญ่ๆ ตามการตกสี คือ ชนิดตกสี (Staining antioxidant) ซึ่งเป็นสารประกอบประเภทเอมีน เช่น ฟีนิล -เบตา-แนฟทิลามีน (Phenyl-β-naphthylamine; PBN) และชนิดไม่ตกสี (Non-staining antioxidant) ซึ่งเป็นสารประกอบประเภทฟีนอล สารประกอบประเภทเอมีนจะมีประสิทธิภาพสูงกว่าประเภทฟีนอล มีราคาถูกลงกว่า แต่ทำให้

ยางมีสีคล้ำกว่า โดยที่ใช้ในประมาณ 1 phr

เอกสารนี้เป็นเอกสารที่สงวนไว้สำหรับการใช้งานเพื่อการศึกษาเท่านั้น ไม่อนุญาตให้นำไปใช้ประโยชน์ด้านการค้าไม่ว่ากรณีใดๆ ทั้งสิ้น อีกทั้งห้ามมิให้ตัดแปลงเนื้อหา และต้องอ้างอิงถึงเจ้าของเอกสารทุกครั้งที่มีการนำไปใช้

2.2.5 สารคู่ควบ (Coupling agents)

สารคู่ควบเป็นตัวช่วยยึดระหว่างสารตัวเติมกับยางให้ยึดกันได้ดีขึ้น ทำให้สมบัติทางกายภาพดีขึ้น เช่น ผลของสารคู่ควบไซเลนทำให้มอดุลัส ความต้านทานต่อการสึกหรอ การเปลี่ยนรูปถาวรของยางที่ใช้ซิลิกาเป็นสารตัวเติมดีขึ้นมาก

ไซเลนเป็นสารที่มีสูตรทั่วไปเป็น $R-Si-(OR)_3-R$ เป็นหมู่อะมิโนเมอร์แคปโต ไวนิลอีพอกซี หรือ Methacryloxy เป็นต้น $-OR$ เป็นหมู่ Alkoxy ในการใช้งาน Alkoxy ถูกไฮโดรไลซ์เกิดเป็นไซลานอล



ไซลานอลสามารถเกิดปฏิกิริยากับสารตัวเติมชนิดอนินทรีย์ เช่น ผิวของซิลิกา เคลย์ หรือ โลหะออกไซด์ เป็นต้น ส่วนอีกด้านหนึ่ง คือ R- ซึ่งเป็นหมู่ฟังก์ชันที่ สามารถเกิดอันตรกิริยากับยางได้ดี ดังนั้น ไซเลนจึงทำหน้าที่เป็นตัวยึดหรือประสานให้ยางกับสารตัวเติมอนินทรีย์ โดยที่วิธีการใช้ไซเลนทำได้โดยผสมกับสารตัวเติม ซึ่งสารคู่ควบไซเลนมีหลายชนิด เช่น γ -Aminopropyltrimethoxy silane ($H_2NC_3H_6Si(OC_2H_5)_3$) และ β -Mercaptoethyltriethoxy silane ($HSC_2H_4Si(OC_2H_5)_3$) เป็นต้น

2.2.6 สารตัวเติม (Fillers)

สารตัวเติมเป็นวัสดุที่อยู่ในรูปของแข็ง มีขนาดอนุภาคเล็ก เช่น เขม่าดำ ซิลิกา และ แคลเซียมคาร์บอเนต เป็นต้น สารเหล่านี้ใส่ลงไปเพื่อวัตถุประสงค์ต่างๆ กันดังนี้

1. เพื่อลดต้นทุนการผลิต โดยจะต้องมีราคาถูกกว่ายาง
2. เพื่อปรับปรุงเปลี่ยนแปลงสมบัติทางกายภาพของยาง โดยทำให้ยางมีความแข็งเพิ่มขึ้น และมอดุลัสสูงขึ้น ส่วนสมบัติอื่นๆ เช่น ความทนแรงดึง ความต้านทานการสึกหรอ อาจเพิ่มขึ้นหรือลดลงขึ้นกับชนิดของยาง และชนิดของสารตัวเติม
3. เพื่อช่วยลดปัญหาที่เกิดขึ้นในกระบวนการผลิต เช่น ทำให้ยางที่ผ่านการอัดรีดมีผิวเรียบ หรือช่วยควบคุมความหนาในการทำยางแผ่น
4. เพื่อลดการพองตัวของยางในน้ำ

สารตัวเติมส่วนใหญ่แบ่งออกได้ 2 กลุ่มคือ

1. สารตัวเติมเสริมประสิทธิภาพ (Reinforcing filler) คือสารตัวเติมที่ใส่เข้าไปในยางหรืออีลาสโตเมอร์แล้วช่วยให้อย่างหรืออีลาสโตเมอร์มีความทนทานต่อแรงดึง (Tensile strength) ทนต่อการสึกหรอ (Abrasion resistance) และความต้านทานต่อการฉีกขาด (Tear strength) สูงขึ้น ส่วนใหญ่มีขนาดอนุภาค 180-600 อังสตรอม (Å)
2. สารตัวเติมไม่เสริมประสิทธิภาพ (Diluent filler) สารตัวเติมชนิดนี้มีราคาถูกมีขนาดอนุภาคใหญ่ตั้งแต่ 10,000 Å ขึ้นไป

ปัจจัยที่มีผลต่อการเสริมแรงของสารตัวเติม [8, 18]

ในการเติมสารตัวเติมเพื่อเสริมแรงให้กับยางมีหลายปัจจัยที่ต้องพิจารณาเนื่องจากจะมีผลอย่างมากต่อสมบัติของยาง ปัจจัยที่สำคัญ ได้แก่

1. ขนาดอนุภาค และพื้นที่ผิวจำเพาะ (Particle size and Specific surface area)
สารตัวเติมที่มีอนุภาคขนาดเล็กให้การเสริมแรงแก่ยางได้ดีเพราะสารตัวเติมที่มีอนุภาคขนาดเล็กมีพื้นที่ผิวต่อหนึ่งหน่วยของน้ำหนัก (หรือเรียกว่าพื้นที่ผิวจำเพาะ) สูง จึงทำให้พื้นที่ที่จะเกิดแรงกระทำระหว่างยางกับสารตัวเติมเพิ่มสูงขึ้น ดังนั้นสมบัติต่างๆ เช่น ความแข็งแรงดึง ความแข็งแรงฉีกขาด ความแข็งกด และความต้านทานต่อการสึกหรอ จึงสูงขึ้นตามพื้นที่ผิวจำเพาะของสารตัวเติม โดยทั่วไปแล้วสารตัวเติมเสริมแรง เช่น เขม่าดำมีขนาดอนุภาคปฐมภูมิเล็กมาก และขนาดอนุภาคปฐมภูมิลำนี้ไม่อยู่กันอย่างเดี่ยวๆ แต่จะหลอม (Fused) หรืออยู่รวมกันเป็นก้อนที่เรียกว่าแอกกรีเกต (Aggregate) อย่างไรก็ตามก็เนื่องจากแอกกรีเกตแต่ละกลุ่มมีแรงดึงดูดซึ่งกันและกัน ดังนั้นแอกกรีเกตจึงจับตัวกันเป็นกลุ่มก้อนที่มีขนาดใหญ่ขึ้นเรียกว่าแอกโกลเมอเรต (Agglomerate)

2. โครงสร้างของสารตัวเติม (Filler structure)

โครงสร้างของสารตัวเติมมีอิทธิพลต่อการเสริมแรง เนื่องจาก อนุภาคของสารตัวเติมบางชนิด เช่น เขม่าดำไม่อยู่กันอย่างเดี่ยวๆ แต่อยู่รวมกันเป็นก้อนแอกกรีเกต ซึ่งการรวมกันเป็นกลุ่มก้อนดังกล่าว ทำให้เกิดเป็นโครงสร้างของสารตัวเติมที่เรียกว่าโครงสร้างสารตัวเติมปฐมภูมิ (Primary filler structure) โครงสร้างสารตัวเติมปฐมภูมิที่เกิดขึ้นนี้มีความแข็งแรงสูงมาก และไม่สามารถถูกทำลายได้ด้วยแรงเชิงกลในระหว่างกระบวนการผสม การรวมกลุ่มกันของก้อนแอกกรีเกตทำให้เกิดเป็นโครงสร้างของสารตัวเติมที่เรียกว่าโครงสร้างของสารตัวเติมทุติยภูมิ

เอกสารนี้เป็นเอกสารที่สงวนไว้สำหรับการใช้งานเพื่อการศึกษาเท่านั้น ไม่อนุญาตให้นำไปใช้ประโยชน์ด้านการค้าไม่ว่ากรณีใดๆ ทั้งสิ้น อีกทั้งห้ามมิให้ดัดแปลงเนื้อหา และต้องอ้างอิงถึงเจ้าของเอกสารทุกครั้งที่มีการนำไปใช้

(Secondary filler structure) ซึ่งโครงสร้างแบบนี้ไม่แข็งแรง และสามารถถูกทำลายได้ง่ายด้วยแรงเชิงกล

3. ความว่องไวทางปฏิกิริยาของพื้นผิว (Specific surface activity)

ปกติสารตัวเติมมีหมู่ฟังก์ชันเคมีชนิดต่างๆ เกาะติดหรือถูกดูดซับอยู่บนพื้นผิว เช่น บนพื้นผิวของเขม่าดำมีหมู่ฟังก์ชันเคมีมากมาย เช่น ฟีนอลิก (Phenolic; C_6H_5OH) ไฮดรอกซิล (Hydroxyl; $-OH$) ควิโนน (Quinone) คาร์บอกซิล (Carboxyl; $-COOH$) และแลคโตน (Lactone) รวมถึงอนุมูลอิสระที่สามารถทำปฏิกิริยาทางเคมีกับโมเลกุลของยางได้ แต่สำหรับสารตัวเติมที่มีสีขาว เช่น ซิลิกาส่วนใหญ่มีหมู่ฟังก์ชันเคมีจำพวกออกไซด์ (Oxide) ของโลหะหรือหมู่ไฮดรอกซิล (Silanol group; $-SiOH$) เป็นองค์ประกอบอยู่บนพื้นผิวที่มีความเป็นขั้วสูง เช่น ยางไนไตรล์ และยางคลอโรพรีน เป็นต้น ทำปฏิกิริยาได้ดีกับพื้นผิวของสารตัวเติมที่มีหมู่ฟังก์ชันที่มีขั้ว เช่น หมู่ไฮดรอกซิลหรืออะตอมของคลอรีน (Chlorine; Cl) เป็นต้น ถ้าความว่องไวทางปฏิกิริยาของสารตัวเติมลดลงจะทำให้ประสิทธิภาพในการเสริมแรงด้อยลง เช่น เมื่อทำการปรับสภาพพื้นผิวของเขม่าดำด้วยกระบวนการที่เรียกว่า Graphitization โดยการนำเขม่าดำไปเผาที่อุณหภูมิสูงประมาณ 1,600 ถึง 3,000°C เป็นเวลาหลายชั่วโมง ความร้อนที่สูงมากเช่นนี้ทำให้หมู่ฟังก์ชันเคมีบนพื้นผิวของเขม่าดำสลายตัวไป จึงทำให้เขม่าดำสูญเสียความว่องไวทางปฏิกิริยา ซึ่งส่งผลทำให้ประสิทธิภาพการเสริมแรงของเขม่าดำลดลง โดยค่าความว่องไวทางปฏิกิริยาของพื้นผิวบ่งบอกด้วยปริมาณของยางบาวด์ (Bound rubber) ซึ่งยางบาวด์คือส่วนของยางที่ไม่สามารถถูกสกัดออกจากสารตัวเติมได้โดยใช้ตัวทำละลายที่เหมาะสม (ตัวทำละลายที่สามารถละลายยางได้ดี) ยางส่วนนี้เกาะติดอยู่กับสารตัวเติมในลักษณะคล้ายเจล

4. ค่าความเป็นกรด-เบส (pH value)

แม้ว่าค่าความเป็นกรด-เบส ของสารตัวเติมไม่ได้มีอิทธิพลโดยตรงต่อการเสริมแรงในยาง แต่เนื่องจากค่าความเป็นกรด-เบส ของสารตัวเติมส่งผลกระทบโดยตรงต่อพฤติกรรมของการเชื่อมโยงของยาง สารตัวเติมที่มีฤทธิ์เป็นกรด สามารถหน่วง (Retard) ปฏิกิริยาเชื่อมโยง ดังนั้นค่าความเป็นกรด-เบส ของสารตัวเติมจึงส่งผลโดยตรงต่อสมบัติของยางเชื่อมโยง

2.3 เถ้าแกลบ

แกลบข้าว (Rice husk; RH) คือ ผลผลิตที่ได้จากการสีข้าวเป็นเปลือกของข้าวสาร เป็นส่วนที่เหลือใช้จากการผลิตข้าวสาร ซึ่งเป็นวัสดุเหลือใช้ทางการเกษตรที่สำคัญชนิดหนึ่งในการสีข้าวจะได้ปริมาณแกลบเป็นสัดส่วนโดยตรงกับปริมาณเปลือกข้าว ในข้าวเปลือกมีแกลบประมาณ 22.5-25.2 % [2] เมล็ดมีลักษณะเป็นรูปทรงรีมีเดยวาลีเหลืองมน้ำตาลหรือเหลืองนวลแล้วแต่ภูมิภาคประเทศที่มีการปลูกข้าว ซึ่งมีโครงสร้างดังรูปที่ 2.4 แกลบเมื่อนำไปเผาเป็นเชื้อเพลิงในโรงไฟฟ้าชีวมวลแล้วกลายเป็นเถ้าแกลบ (RHA) ซึ่งมีองค์ประกอบหลักทางเคมี คือ ซิลิกาโดย สามารถนำไปทำให้บริสุทธิ์ด้วยกระบวนการทางเคมี และการเผาที่อุณหภูมิสูงซิลิกาในเถ้าแกลบมีทั้งที่เป็นซิลิกาผลึก (Crystalline silica) และซิลิกาอสัณฐาน (Amorphous silica) โดยซิลิกาผลึกสามารถแบ่งย่อยเป็นหลายชนิดตามความแตกต่างของรูปร่าง ลักษณะผลึก และความหนาแน่นของซิลิกา รูปร่างของผลึกมีหลายแบบ เช่น สามเหลี่ยม สี่เหลี่ยม หกเหลี่ยม สี่เหลี่ยมลูกบาศก์ และเส้นยาว [19]



รูปที่ 2.4 โครงสร้างของเมล็ดข้าว [20]

2.3.1 สัณฐานวิทยาของแกลบ [19]

ผิวหนังของแกลบมีลักษณะเป็นเซลล์ที่เป็นรูปเหลี่ยม ซึ่งมีความเข้มข้นของซิลิกาสูง ถูกปิดทับด้วยคิวติเคิล (Cuticle) หนา และมีขนสั้นๆ อยู่บนผิว ภายในประกอบด้วยเส้นใยและเซลล์ที่ประกอบด้วยเส้นใยต่างๆ ชั้นกลางมีปริมาณซิลิกายู่นต่ำกว่าชั้นนอก โดยทั่วไปอาจสรุปโครงสร้างเนื้อเยื่อของแกลบได้ดังนี้

เอกสารนี้เป็นเอกสารที่สงวนไว้สำหรับการใช้งานเพื่อการศึกษาเท่านั้น ไม่อนุญาตให้นำไปใช้ประโยชน์ด้านการค้า ไม่ว่าจะกรณีใดๆ ทั้งสิ้น อีกทั้งห้ามมิให้ดัดแปลงเนื้อหา และต้องอ้างอิงถึงเจ้าของเอกสารทุกครั้งที่มีการนำไปใช้

1. ผนังเซลล์ชั้นนอก (Primary cell wall) ประกอบด้วยเซลล์ลักษณะเป็นปุ่มที่มีปริมาณซิติกาอยู่สูง
 - สเคอร์เรนไคมา (Sclerenchyma) ประกอบด้วยเส้นใยต่างๆ อันประกอบด้วยลิกนิน และซิติกา
 - พารเรนไคมา (Parenchyma) เป็นเซลล์ลักษณะคล้ายฟองน้ำมีรูพรุน และมีรูปร่างแตกต่างกันไป
2. ผนังเซลล์ชั้นใน (Secondary cell wall) ประกอบด้วยเส้นใยที่มีจุดศูนย์กลางร่วมกัน

2.3.2 องค์ประกอบของเกลบ [21]

เกลบมีลักษณะเหนียว แข็งคล้ายไม้ มีคุณค่าทางโภชนาการต่ำ และมีปริมาณเถ้าสูง โดยทั่วไปเกลบจะมีขนาด 5-10 mm กว้างประมาณ 1-2 mm หนาประมาณ 0.5 mm ซึ่งเกลบมีองค์ประกอบตามตารางที่ 2.3

ตารางที่ 2.3 องค์ประกอบของเกลบ [22]

สมบัติ	ร้อยละ
ความชื้น	8.1-11.5
สารประกอบอนินทรีย์	16.4-18.3
กำมะถัน	0.1-0.2
เซลลูโลส	42.1-46.6
ลิกนิน	19.1-22.8
เพนโทแซน	13.9-18.3
แป้ง	7.6-7.9
โปรตีน	1.8-1.9
ไขมัน	0.28-0.31

เอกสารนี้เป็นเอกสารที่สงวนไว้สำหรับการใช้งานเพื่อการศึกษาเท่านั้น ไม่อนุญาตให้นำไปใช้ประโยชน์ด้านการค้า ไม่ว่าจะกรณีใดๆ ทั้งสิ้น อีกทั้งห้ามมิให้ดัดแปลงเนื้อหา และต้องอ้างอิงถึงเจ้าของเอกสารทุกครั้งที่มีการนำไปใช้

แกลบมีองค์ประกอบทางเคมีดังนี้

1. คาร์โบไฮเดรต (Carbohydrate) ส่วนใหญ่เป็นเซลลูโลส (Cellulose) และเฮมิ-เซลลูโลส (Hemicellulose) เฮมิเซลลูโลสคือ กลูโคไซเลน (Glucosylan) ที่สามารถสลายตัวด้วยน้ำ (Hydrolysis) ไปเป็นไซโลส (Xylose) ได้ ส่วนแบ่งนั้นมีอยู่ในแกลบเพียงเล็กน้อย ซึ่งแสดงได้ดังตารางที่ 2.3 โครงสร้างของเซลลูโลส และเฮมิเซลลูโลส แสดงได้ดังในรูปที่ 2.5 และ 2.6 ตามลำดับ

2. โปรตีนในแกลบมีอยู่ประมาณ 1.8–1.9 %

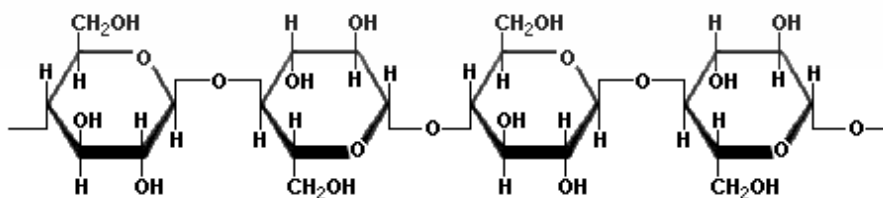
3. ไขมัน (Lipids) ปริมาณที่พบอยู่ในแกลบมีอยู่ตั้งแต่ 0.28-0.31 % โดยปกติแล้วส่วนของแกลบมีไขมัน เป็นองค์ประกอบอยู่ไม่เกิน 1 % ไขมันส่วนเกินนั้นพบว่ามาจากรำข้าวที่ติดอยู่หลังจากผ่านกระบวนการสีข้าว

4. ลิกนิน (Lignin) และคิวติน (Cutin) ส่วนใหญ่จะพบลิกนินอยู่ร่วมกับเฮมิเซลลูโลส พบมากในบริเวณผนังเซลล์ คือ ประมาณ 70 % ของทั้งหมด ซึ่งโครงสร้างของลิกนินแสดงได้ดังรูปที่

2.7 คิวตินเป็นสารพอลิเมอร์ชนิดหนึ่งที่มีชื่อเรียกว่า กรดไฮดรอกซีโมนอคาร์บอกซิลิก (Hydroxymonocarboxylic acid) มีสมบัติเป็นสารที่มีความลื่น และสามารถกั้นน้ำได้ ปกคลุมอยู่บริเวณผิวภายนอกของแกลบ

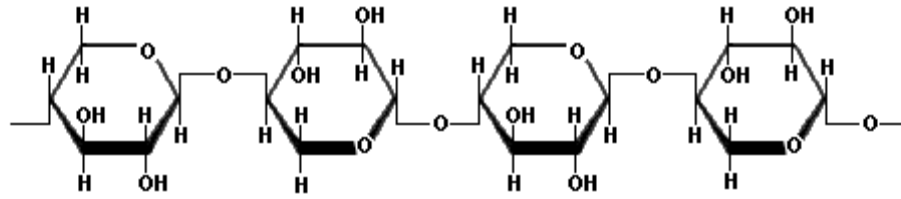
5. วิตามิน และกรดอินทรีย์ วิตามินที่พบในแกลบ ได้แก่ ไทอามิน (Thiamin) ไรโบฟลาวิน (Riboflavin) และไนอาซิน (Niacine) กรดอินทรีย์ที่พบมาก ได้แก่ กรดออกซาลิก (Oxalic acid) และกรดซิตริก (Citric acid) ส่วนกรดอินทรีย์ชนิดอื่นๆ ได้แก่ กรดแอซิติก (Acetic acid) กรดฟอร์มิก (Formic acid) กรดมาลิก (Malic acid) และกรดของสารประกอบวงแหวน

6. สารประกอบอินทรีย์ ในแกลบที่ได้จากการเผาไหม้สารอินทรีย์อยู่ ซึ่งมีปริมาณ 16.4–18.3 % โดยน้ำหนัก ในแกลบมีซิลิกาเป็นองค์ประกอบหลัก คือ มีประมาณ 85 % [22] ที่เหลือเป็นสารประกอบออกไซด์ของโลหะอีกหลายชนิด

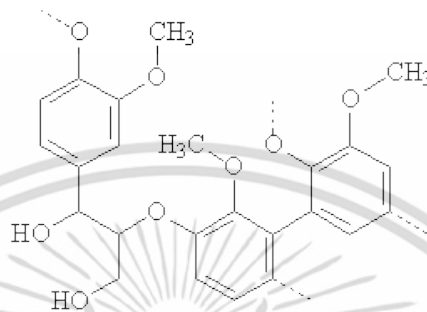


รูปที่ 2.5 โครงสร้างของเซลลูโลส [23]

เอกสารนี้เป็นเอกสารที่สงวนไว้สำหรับการใช้งานเพื่อการศึกษาเท่านั้น ไม่อนุญาตให้นำไปใช้ประโยชน์ด้านการค้า ไม่ว่าจะกรณีใดๆ ทั้งสิ้น อีกทั้งห้ามมิให้ดัดแปลงเนื้อหา และต้องอ้างอิงถึงเจ้าของเอกสารทุกครั้งที่มีการนำไปใช้



รูปที่ 2.6 โครงสร้างของเฮมิเซลลูโลส [23]



รูปที่ 2.7 โครงสร้างของลิกนิน [23]

2.3.3 การแบ่งประเภทของเถ้าแกลบ [22, 24]

เถ้าแกลบที่ได้มีอนุภาคสีดำปนเทา ซึ่งเป็นผลมาจากการเผาไหม้คาร์บอนของเถ้าแกลบในอากาศ โดยทั่วไปจะก่อให้เกิดเถ้าซิลิกาซึ่งมีตั้งแต่สีเทาจนดำขึ้นอยู่กับสารเจือปนอินทรีย์ และสารที่ไม่เกิดการเผาไหม้ ได้แบ่งประเภทของเถ้าแกลบเป็น เถ้าที่มีคาร์บอนสูง (High carbon char) เถ้าสีเทาที่มีคาร์บอนต่ำ (Low-carbon ash) และเถ้าสีขาวที่ไม่มีคาร์บอน (Carbon-free pink หรือ White ash)

แกลบข้าวประกอบด้วยเส้นใยโพลีस्टิก (Floristic) โปรตีน (Protein) และมีหมู่ฟังก์ชันของคาร์บอกซี และไฮดรอกซิล เป็นต้น ซึ่งทำให้สามารถใช้เป็นตัวดูดซึมได้ และเมื่อเผาแกลบข้าวโดยควบคุมอุณหภูมิให้ต่ำกว่า 700°C จะเถ้าที่ได้มีสีดำ (BRHA) นั้นประกอบด้วย Amorphous silica แต่ถ้าทำการเผาเกิน 850°C แล้วจะเถ้าที่ได้มีสีขาว (WRHA) ประกอบด้วย Crystalline silica โดย Amorphous silica มีขนาดอนุภาค 25 μm มีสีเทา และพีเอช เท่ากับ 8 และเมื่อเผาที่อุณหภูมิต่างกัน ทำให้เกิดส่วนประกอบอื่นๆ ที่ต่างกัน ไปดังตารางที่ 2.4 ขนาดของอนุภาคแกลบข้าวที่มีขนาดเล็กมากเพียง 25 μm และมีรูพรุนจำนวนมาก ทำให้มีความสามารถในการดูดซึมและกระจายตัวได้ดีเมื่อนำไปผสมกับพลาสติก ทำให้พลาสติกที่ผสมเถ้าแกลบข้าวมีความแข็งแรงมากขึ้น เถ้าแกลบข้าวถือว่าเป็นปอซโซแลน (Pozzolan) เป็นวัสดุที่มีซิลิกาประกอบอยู่มากกว่า 85 % [22] จึงนิยมนำมาใช้ในการเสริมแรง นอกจากนั้นพบว่า วัสดุที่นำเอาเถ้าแกลบข้าวไปผสมนั้นยังมีการชึมน้ำที่

เอกสารนี้เป็นเอกสารที่สงวนไว้สำหรับการใช้งานเพื่อการศึกษาเท่านั้น ไม่อนุญาตให้นำไปใช้ประโยชน์ด้านการค้า ไม่ว่าจะกรณีใดๆ ทั้งสิ้น อีกทั้งห้ามมิให้ดัดแปลงเนื้อหา และต้องอ้างอิงถึงเจ้าของเอกสารทุกครั้งที่มีการนำไปใช้

ต่ำ ทนต่อกรดและมีความสามารถในการรับแรงที่เพิ่มขึ้น 10-20 % ซึ่งสมบัติดังกล่าวนี้ให้ผล เหมือนกับการใช้ผงซิลิกา

ตารางที่ 2.4 องค์ประกอบทางเคมีของเถ้าแกลบ [22]

องค์ประกอบ	ร้อยละ	
	เถ้าแกลบขาว	เถ้าแกลบดำ
SiO ₂	97.00	74.85
K ₂ O	1.05	1.22
Na ₂ O	0.30	0.13
MgO	0.53	0.38
Fe ₂ O ₃	0.25	0.13
CaO	0.77	0.40
MnO	0.14	0.16
TiO ₂	0.01	0.01
Al ₂ O ₃	0.27	0.23
P ₂ O ₅	1.00	0.96
Loss on ignition (LOI)	0.20	21.00

2.3.4 ประโยชน์ของแกลบ [24]

ประโยชน์ของแกลบส่วนใหญ่จะนำมาใช้ประโยชน์โดยตรง เช่น

1. ใช้เป็นเชื้อเพลิง แกลบจะให้พลังงานความร้อนประมาณ 3,800 kcal/kg ซึ่งใกล้เคียงกับ ถ่านไม้ที่ให้พลังงานความร้อนประมาณ 4,500-5,000 kcal/kg จึงใช้แกลบแทนถ่านไม้ได้
2. ใช้ผสมกับดินเหนียวทำอิฐ จะทำให้อิฐที่ได้แข็งแรงและสามารถตัดเจาะรูหรือตอกตะปู ได้
3. ใช้ผสมกับดิน ทำให้นดินร่วนซุย ไม่แน่นทึบ และช่วยให้นดินอุ้มน้ำดีขึ้น
4. ใช้ในฟาร์มเลี้ยงสัตว์ เช่น ไก่หรือสุกร โดยใช้แกลบรองพื้น ทำให้พื้น ไม่แฉะ และไม่มี กลิ่นเหม็น
5. ใช้เป็นส่วนผสมของอาหารสัตว์ เช่น เป็ด ไก่ วัว ควาย เพื่อลดต้นทุน

เอกสารนี้เป็นเอกสารที่สงวนไว้สำหรับการใช้งานเพื่อการศึกษาเท่านั้น ไม่อนุญาตให้นำไปใช้ประโยชน์ด้านการค้า ไม่ว่ากรณีใดๆ ทั้งสิ้น อีกทั้งห้ามมิให้ดัดแปลงเนื้อหา และต้องอ้างอิงถึงเจ้าของเอกสารทุกครั้งที่มีการนำไปใช้

6. เป็นแหล่งธาตุอาหารของพืช โดยใช้ผสมกับปุ๋ยแอมโมเนียมฟอสเฟต (Ammonium phosphate; $(\text{NH}_4)_3\text{PO}_4$) ช่วยให้ผลผลิตข้าวเพิ่มขึ้นจากการใช้ปุ๋ยอย่างเดียว 5-24 %
7. ใช้เป็นฉนวนความร้อน เช่น ควบคุมน้ำแข็งไม่ให้ละลายง่าย แกลบที่ใช้งานแล้วสามารถนำไปคลุมโคนต้นไม้ เพื่อช่วยให้ความชุ่มชื้น และช่วยป้องกันการสูญเสียน้ำจากดินได้
8. ใช้เป็นสารตัวเติม และสารเติมแต่ง
9. ใช้ทำกระดาษแต่ไม่เป็นที่นิยม เนื่องจากเส้นใยมีขนาดสั้นเกินไปทำให้ได้กระดาษที่มีคุณภาพไม่ดี
10. ใช้เป็นตัวพา และสารดูดซับ แกลบที่มีความละเอียดแตกต่างกันสามารถนำมาใช้งาน เป็นสารตัวพาและสารดูดซับสำหรับวิตามิน ยาฆ่าแมลง ยาปฏิชีวนะ และแร่ธาตุได้
11. เป็นแหล่งของซิลิกา ในแกลบมีซิลิกาเป็นองค์ประกอบประมาณ 20 % ซึ่งเป็นซิลิกาที่มีสารปนเปื้อนต่ำ และสามารถนำไปใช้ประโยชน์ได้ดี

2.4 ซิลิกา (Silica) [8, 18, 25]

ซิลิกาเป็นสารตัวเติมที่สามารถเสริมแรงได้ดีที่สุดเมื่อเทียบกับสารตัวเติมสีไม่ดำอื่นๆ โดยเฉพาะซิลิกาที่ขนาดอนุภาคเล็ก ข้อดีของซิลิกาคือช่วยปรับปรุงสมบัติบางประการของยาง เช่น เพิ่มความแข็งแรงเชิงขาด ลดความร้อนสะสม เพิ่มความต้านทานการ สึกหรือ และเพิ่มการยึดเกาะกับองค์ประกอบอื่นๆ ในยางเป็นต้น เมื่อเทียบกับเขม่าดำที่มีพื้นที่ผิวเท่ากันแล้วซิลิกาทำให้ยางมีสมบัติเชิงกลที่ดีกว่าเขม่าดำ เมื่อเปรียบเทียบกับยางธรรมชาติ โดยเฉพาะค่ามอดูลัส และค่าความต้านทานต่อการสึกหรือ เนื่องจากซิลิกามีอันตรกิริยากับยางธรรมชาติต่ำกว่าเขม่าดำ การใช้งานซิลิกาจึงนิยมใช้สารคู่ควบเติมลงไปด้วย เช่น สารคู่ควบไซเลน (Silane coupling agent) ทำหน้าที่เคลือบผิวอนุภาคซิลิกาเพื่อเพิ่มความแข็งแรงในการยึดเกาะระหว่างวัฏภาคทำให้สมบัติของยางดีขึ้น

ซิลิกาเป็นสารตัวเติมที่ได้จากทั้งธรรมชาติ และการสังเคราะห์ สมบัติของซิลิกาขึ้นกับหลายปัจจัยได้แก่

- ขนาดอนุภาค และพื้นที่ผิว
- ปริมาณน้ำในโครงสร้าง (Extent of hydration)
- สมบัติทางกายภาพ เช่น พีเอช องค์ประกอบทางเคมี การดูดซับน้ำมัน ฯลฯ

เอกสารนี้เป็นเอกสารที่สงวนไว้สำหรับการใช้งานเพื่อการศึกษาเท่านั้น ไม่อนุญาตให้นำไปใช้ประโยชน์ด้านการค้า ไม่ว่าจะกรณีใดๆ ทั้งสิ้น อีกทั้งห้ามมิให้ดัดแปลงเนื้อหา และต้องอ้างอิงถึงเจ้าของเอกสารทุกครั้งที่มีการนำไปใช้

เนื่องจากซิลิกาประกอบด้วยอะตอมของซิลิกอน และออกซิเจนจึงมีหมู่ไฮดรอกซิลชนิดต่างๆ บนพื้นผิวของอนุภาคซิลิกา ปริมาณหมู่ฟังก์ชันบนพื้นผิวจะมีผลโดยตรงต่อปริมาณน้ำที่สามารถเกาะติดบนพื้นผิว และยังมีผลต่อความเป็นกรดบนพื้นผิวของซิลิกาอีกด้วย จากความมีขี้วหรือความชอบน้ำ (Hydrophilic) ของซิลิกาทำให้สารตัวเติมชนิดนี้สามารถเสริมแรงได้ดีในยางที่มีขี้ว เช่น ยางไนไตรล์หรือยางคลอโรพรีนมากกว่ายางที่ไม่มีขี้ว เช่น ยางธรรมชาติ และยางเอสปีอาร์

ซิลิกาสามารถแบ่งได้หลายชนิดดังนี้

1. ซิลิกาจากธรรมชาติ หรือซิลิกาชนิดบด (Ground silica)

ซิลิกาจากธรรมชาติ หรือซิลิกาชนิดบด เป็นซิลิกาที่ได้จากธรรมชาติโดยการขุดจากเหมืองแล้วทำการบดให้มีขนาดเล็กเป็นผลึกโดยธรรมชาติ ซิลิกาชนิดบดนิยมใช้เติมเพื่อลดต้นทุนเนื่องจากมีราคาถูก และช่วยเพิ่มสมบัติการทนความร้อน สามารถแบ่งย่อยได้ 3 ชนิดคือ ซิลิกาผลึก (Crystalline silica) ซิลิกาผลึกเล็ก (Microcrystalline silica) และซิลิกาไดอะตอมเมเชียส (Diatomaceous silica) ซึ่งแสดงองค์ประกอบ และสมบัติของซิลิกาจากธรรมชาติในตารางที่ 2.5-2.6

ตารางที่ 2.5 องค์ประกอบของซิลิกาจากธรรมชาติชนิดต่างๆ [25]

องค์ประกอบ	Crystalline silica	Microcrystalline silica	Diatomaceous silica
SiO ₂	99.7	99.9	86.9
Al ₂ O ₃	0.101	0.18	3.1
Fe ₂ O ₃	0.023	0.02	1.1
CaO	<0.01	0.04	0.41
MgO	<0.01	0.01	0.65
TiO ₂	0.019	-	0.18
LiO	0.25	0.25	3.8

เอกสารนี้เป็นเอกสารที่สงวนไว้สำหรับการใช้งานเพื่อการศึกษาเท่านั้น ไม่อนุญาตให้นำไปใช้ประโยชน์ด้านการค้าไม่ว่ากรณีใดๆ ทั้งสิ้น อีกทั้งห้ามมิให้ดัดแปลงเนื้อหา และต้องอ้างอิงถึงเจ้าของเอกสารทุกครั้งที่มีการนำไปใช้

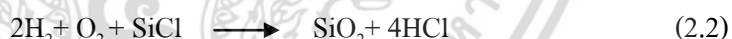
ตารางที่ 2.6 สมบัติบางประการของซิลิกาจากธรรมชาติชนิดต่างๆ [25]

สมบัติ	Crystalline silica	Microcrystalline silica	Diatomaceous silica
Average particle size (µm)	1.9-8.8	2.1-8.2	3.0-8.0
Density (g/cm ³)	2.65	2.05	-
Surface area; BET N ₂ (m ² /g)	0.54-2.06	3.6-6.0	-
Oil absorption; ASTM D-281	24.1-36.2	26.0-30.0	105-135
Mohs hardness	6.5-7.0	6.5-7.0	6.5-7.0

2. ซิลิกาชนิดสังเคราะห์ (Synthetic silica)

ซิลิกาชนิดสังเคราะห์ที่มีลักษณะเป็นผงสีขาวขนาดเล็กสามารถแบ่งย่อยได้ 2 ชนิดคือ ซิลิกาชนิดไอ (Fumed silica) และซิลิกาชนิดตกตะกอน (Precipitated silica)

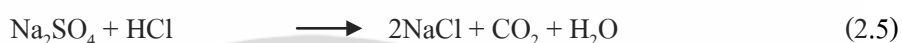
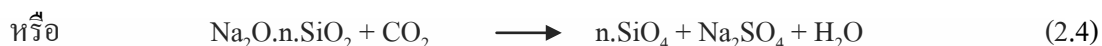
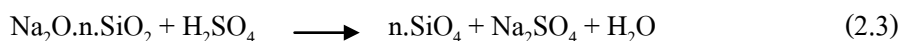
- ซิลิกาชนิดไอหรือซิลิกาชนิดไพโรเจนิค (Pyrogenic silica) เตรียมได้จากปฏิกิริยาเคมีในสถานะเป็นไอที่อุณหภูมิสูงเกิดจากซิลิกอนเตตระคลอไรด์ (Silicon tetrachloride; SiCl₄) เกิดปฏิกิริยาไฮโดรไลซิส (Hydrolysis) ในตะกิ้งเผาของไฮโดรเจน และออกซิเจนควันหรือไอของผลิตภัณฑ์ควบแน่นกลายเป็นก้อนซิลิกานาขนาดเล็ก มาก ประมาณ 20 nm คัดที่ผิวลูกกลิ้งหมุน สรุปลงเป็นสมการเคมีดังนี้



อนุภาคซิลิกาชนิดนี้เกิดการหลอมรวมกันเป็นกลุ่มก้อนแอกกรีเกตและอาจเกิดการรวมกลุ่มเป็นก้อนแอกไกลเมอร์เรต ขนาด และพื้นที่ผิวของซิลิกาชนิดนี้สามารถควบคุมได้จากอัตราส่วนของสารตั้งต้นจากปฏิกิริยา จากนั้นเป็นขั้นตอนการแยกขนาดโดยลมหมุน (Cyclone) หรือตะแกรงร่อน กรดไฮโดรคลอริก (Hydrochloric acid; HCl) ที่ตกค้างจากปฏิกิริยาอาจดูดซับที่ผิวของอนุภาคสามารถกำจัดออกได้ด้วยการผ่านอากาศร้อนชื้น (Humid hot-air) ซิลิกาชนิดนี้มีความบริสุทธิ์หรือปริมาณซิลิกอนไดออกไซด์สูง มีปริมาณความชื้นต่ำ (ประมาณ 1-2 %) และมีอนุภาคขนาดเล็กจึงมีประสิทธิภาพการเสริมแรงสูง

เอกสารนี้เป็นเอกสารที่สงวนไว้สำหรับการใช้งานเพื่อการศึกษาเท่านั้น ไม่อนุญาตให้นำไปใช้ประโยชน์ด้านการค้าไม่ว่ากรณีใดๆ ทั้งสิ้น อีกทั้งห้ามมิให้ดัดแปลงเนื้อหา และต้องอ้างอิงถึงเจ้าของเอกสารทุกครั้งที่มีการนำไปใช้

- ซิลิกาชนิดตกตะกอนสามารถเตรียมได้จากปฏิกิริยาในสถานะของเหลวซึ่งมีต้นทุนการผลิตต่ำกว่าในสถานะไอ ซิลิกาชนิดนี้ได้จากการตกตะกอนสารละลายโซเดียมซิลิเกต (Sodium silicate) ด้วยสารละลายกรดซัลฟูริก (Sulfuric acid; H₂SO₄) หรือของผสมของกรดเกลือร่วมกับคาร์บอนไดออกไซด์ (CO₂) ดังสมการ



สมบัติของซิลิกาชนิดนี้สามารถควบคุมได้จากหลายปัจจัย เช่น ความเข้มข้นสารตั้งต้น อัตราการใส่สารตั้งต้น อุณหภูมิความเป็นกรด-เบส ฯลฯ ผลิตภัณฑ์ที่ได้ถูกกรองล้างทำความสะอาดทำให้แห้ง และบดให้มีขนาดที่ต้องการซิลิกาชนิดตกตะกอนมีปริมาณซิลิกอนไดออกไซด์น้อยกว่า และมีปริมาณความชื้นสูง ซึ่งแสดงองค์ประกอบและสมบัติของซิลิกาสังเคราะห์ในตารางที่ 2.7-2.8

ตารางที่ 2.7 องค์ประกอบของซิลิกาจากการสังเคราะห์ชนิดต่างๆ [25]

องค์ประกอบ	Fumed silica	Precipitated silica
SiO ₂	> 98.3	94.0
Al ₂ O ₃	0.3-1.3	-
CaO	-	0.63
Na ₂ O	-	0-1.5
NaCl	-	1.7
LiO	2	5

ตารางที่ 2.8 สมบัติบางประการของซิลิกาจากการสังเคราะห์ชนิดต่างๆ [25]

สมบัติ	Fumed silica	Precipitated silica
Primary particle size (µm)	0.007-0.040	0.01-0.30
Average particle size (µm)	0.8	8.0-10.0
Density (g/cm ³)	2.2	2.2

เอกสารนี้เป็นเอกสารที่สงวนไว้สำหรับการใช้งานเพื่อการศึกษาเท่านั้น ไม่อนุญาตให้นำไปใช้ประโยชน์ด้านการค้าไม่ว่ากรณีใดๆ ทั้งสิ้น อีกทั้งห้ามมิให้ดัดแปลงเนื้อหา และต้องอ้างอิงถึงเจ้าของเอกสารทุกครั้งที่มีการนำไปใช้

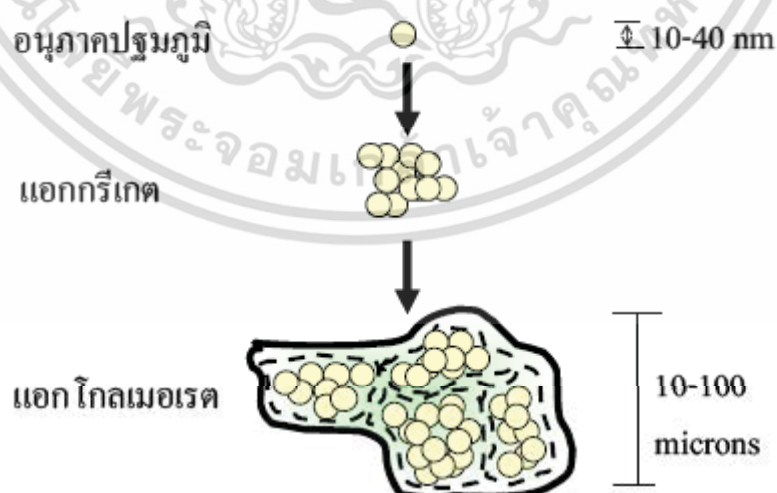
ตารางที่ 2.8 (ต่อ)

สมบัติ	Fumed silica	Precipitated silica
% Moisture	<1.5	6
Silanol group (no./nm ²)	2.4	1.5-10.0
Surface area; BET N ₂ (m ² /g)	50-400	60-300
Oil absorption; ASTM D-281	150-250	160-200
Mohs hardness	6.5-7.0	6.5-7.0

จากการเปรียบเทียบสมบัติของซิลิกาจากธรรมชาติ (ตารางที่ 2.6) และซิลิกาจากการสังเคราะห์ (ตารางที่ 2.8) เห็นได้ว่าซิลิกาจากการสังเคราะห์มีพื้นที่ผิวมากกว่าเพราะมีขนาดเล็ก จึงมีประสิทธิภาพการเสริมแรงดีกว่าแต่ดูดความชื้นจากบรรยากาศมากกว่า [25]

2.4.1 ลักษณะโดยทั่วไปของซิลิกา

โครงสร้างซิลิกาที่ใช้กันมากในอุตสาหกรรมยาง มีขนาดอนุภาคปฐมภูมิอยู่ในช่วง 10-40 nm ซิลิกาไม่อยู่อย่างเดี่ยวๆ ในรูปของอนุภาคปฐมภูมิ แต่จับกลุ่มรวมกันเป็นก้อนเรียกว่า แอกรีเกต เกิดเป็นโครงสร้างปฐมภูมิซึ่งโครงสร้างนี้ไม่ถูกทำลายได้ในระหว่างกระบวนการผสม นอกจากนี้แอกรีเกตของซิลิกายังชอบจับกลุ่มกันเป็นก้อนขนาดใหญ่มากขึ้น เรียกว่าแอโกเมอร์ - เรต เกิดเป็นโครงสร้างทุติยภูมิ ดังแสดงในรูปที่ 2.8

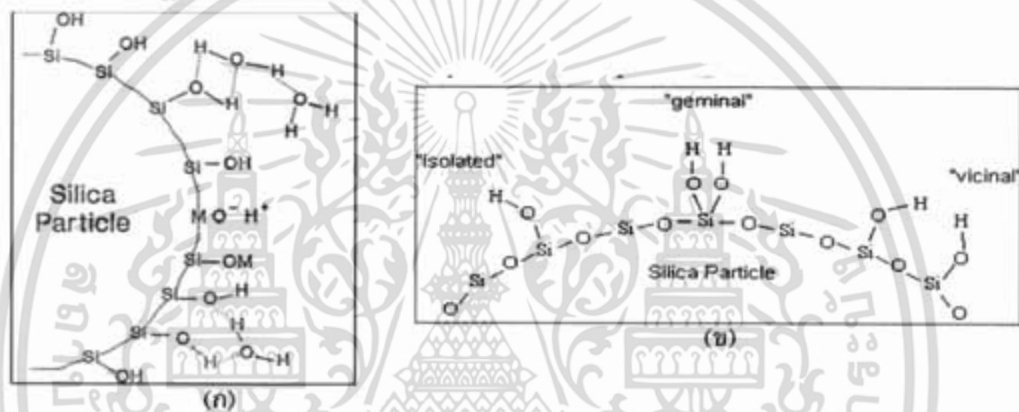


รูปที่ 2.8 การเกาะกลุ่มกันของอนุภาคซิลิกา [26]

เอกสารนี้เป็นเอกสารที่สงวนไว้สำหรับการใช้งานเพื่อการศึกษาเท่านั้น ไม่อนุญาตให้นำไปใช้ประโยชน์ด้านการค้า ไม่ว่ากรณีใดๆ ทั้งสิ้น อีกทั้งห้ามมิให้ดัดแปลงเนื้อหา และต้องอ้างอิงถึงเจ้าของเอกสารทุกครั้งที่มีการนำไปใช้

2.4.2 ลักษณะทางเคมีของพื้นผิว

ลักษณะทางเคมีของพื้นผิวซิลิกาเป็นปัจจัยสำคัญอีกอย่างหนึ่งที่ควบคุมระดับการเสริมแรงของซิลิกา เพราะลักษณะทางเคมีของพื้นผิวเป็นตัวบ่งชี้ระดับของอันตรกิริยาระหว่างยางกับซิลิกา โดยทั่วไปบนพื้นผิวซิลิกาประกอบด้วยหมู่ไฮดรอกซิลกลุ่มอยู่อย่างหนาแน่น (4-5 หมู่ต่อ 100 Å) ซึ่งหมู่ไฮดรอกซิลบนพื้นผิวของซิลิกานี้เกาะอยู่ในหลายลักษณะดังแสดงในรูปที่ 2.9 หมู่ไฮดรอกซิลทำให้พื้นผิวซิลิกาที่มีความเป็นกรด และมีความว่องไวต่อปฏิกิริยาเคมี เมื่ออุณหภูมิสูงขึ้น หมู่ไฮดรอกซิลสามารถทำปฏิกิริยากับสารเคมีต่างๆ ที่มีอยู่ในยางคอมพาวด์ได้ เช่น สารก่อกวนไซเลน น้ำ หรือไกลคอล เป็นต้น



รูปที่ 2.9 ลักษณะของหมู่ไฮดรอกซิลบนพื้นผิวของซิลิกา [8]

2.4.3 ปัญหาของการใช้ซิลิกาเป็นสารตัวเติม

เนื่องจากบนพื้นผิวซิลิกามีหมู่ไฮดรอกซิลในปริมาณมาก ซึ่งหมู่ไฮดรอกซิลนี้ทำให้อุณหภูมิของซิลิกามีอันตรกิริยาระหว่างกันสูง ซิลิกาจึงอยู่รวมกันเป็นกลุ่มก้อนขนาดใหญ่อย่างเหนียวแน่น เพราะอันตรกิริยาหรือแรงดึงดูดที่ยึดกลุ่มก้อนซิลิกาเข้าด้วยกันคือพันธะไฮโดรเจน ซึ่งมีความแข็งแรงค่อนข้างมากด้วยเหตุนี้ ซิลิกาแตกตัวและกระจายตัวในยางได้ยากกว่าเขม่าดำ สำหรับในกรณีที่เติมซิลิกาลงไปในยางในปริมาณค่อนข้างมาก กลุ่มก้อนของซิลิกาเข้ามาอยู่ใกล้กันมากจนทำให้เกิดแรงดึงดูดระหว่างกลุ่มก้อนของซิลิกาด้วยกันเอง เกิดเป็น โครงสร้างตาข่ายของสารตัวเติมนี้ ทำให้ยางคอมพาวด์มีความหนืดสูงขึ้น ทำให้กระบวนการผลิตเป็นไปด้วยความยากลำบากและทำให้สิ้นเปลืองพลังงานในการผลิตมากยิ่งขึ้น การเติมสารเติมแต่งบางชนิดที่สามารถเข้าไปจับกับหมู่ไฮดรอกซิลได้ง่ายลงไป ช่วยทำให้กลุ่มก้อนของซิลิกาแตกตัวออกได้ง่ายยิ่งขึ้น ความหนืดของยางคอมพาวด์จึงลดลง ทำให้กระบวนการผสม และการขึ้นรูปเป็นไปได้ง่ายยิ่งขึ้น ตัวอย่างของ

เอกสารนี้เป็นเอกสารที่สงวนไว้สำหรับการใช้งานเพื่อการศึกษาเท่านั้น ไม่อนุญาตให้นำไปใช้ประโยชน์ด้านการค้า ไม่ว่าจะกรณีใดๆ ทั้งสิ้น อีกทั้งห้ามมิให้ดัดแปลงเนื้อหา และต้องอ้างอิงถึงเจ้าของเอกสารทุกครั้งที่มีการนำไปใช้

สารเติมแต่งดังกล่าว ได้แก่ ซิงค์ออกโทเอต (Zinc octoate) หรือ เฮกซะเมทิลีนเททราเมีน (HEXA) รวมถึงสารเร่งปฏิกิริยาการเชื่อมโยงในกลุ่มกัวนิติน เช่น ไดฟีนิลกัวนิติน (DPG) เป็นต้น นอกจากนี้หมู่ไซลันอลบนพื้นผิวซิลิกายังสามารถดูดความชื้นจากอากาศได้ดี โดยทั่วไปซิลิกามีความชื้นประมาณ 4-7 % ซึ่งความชื้นที่จับอยู่กับหมู่ไซลันอลบนพื้นผิวซิลิกานี้นอกจากจะทำให้ซิลิกาแตกตัว และกระจายตัวในยางได้ยากขึ้นเล็กน้อยแล้ว ยังส่งผลกระทบต่อปฏิกิริยาการควบรูปของยางได้อีกด้วย โดยทั่วไปถ้าปริมาณความชื้นในซิลิกาสูงขึ้น เวลาที่ใช้ในการควบรูปยางในระบบที่ใช้กัมมะถันยาวขึ้น เพราะซิลิกาที่อึดตัวด้วยน้ำสามารถหน่วงปฏิกิริยาการควบรูป ทำให้ต้องใช้สารเร่งปฏิกิริยาการเชื่อมโยงมากขึ้น อย่างไรก็ตามความชื้นบางส่วนถูกไล่ออกไปในระหว่างกระบวนการผสมยางเพราะอุณหภูมิของยางในระหว่างการผสมสูง ทำให้น้ำหรือความชื้นบางส่วนระเหยออกไปด้วยเหตุนี้ การผสมยางที่อุณหภูมิแตกต่างกันจึงสามารถทำให้เกิดความแปรปรวนของอัตราเร็วในการเกิดปฏิกิริยาการควบรูปได้เช่นกัน

หนึ่งปัญหาสำคัญอีกอย่างหนึ่งที่มักพบเมื่อใช้ซิลิกาเป็นสารตัวเติมคือปัญหาเรื่องการควบรูปยาง เพราะบนพื้นผิวซิลิกามีหมู่ไซลันอลที่สามารถดูดซับสารตัวเร่งปฏิกิริยาการเชื่อมโยงที่มีฤทธิ์เป็นด่าง เช่น DPG รวมไปถึงสารประกอบเชิงซ้อนของซิงค์ (Zinc complex) ซึ่งทำหน้าที่เป็นสารกระตุ้นการเชื่อมโยงสำหรับปฏิกิริยาเชื่อมโยงด้วยกัมมะถัน การดูดซับดังกล่าวทำให้สารเร่งปฏิกิริยาการเชื่อมโยงหรือสารประกอบเชิงซ้อนของซิงค์มีปริมาณลดลง ซึ่งส่งผลทำให้ยางมีระดับของการควบรูปลดลงด้วยเช่นกัน โดยทั่วไปผู้ผสมยางสามารถลดปัญหาดังกล่าวได้โดยการเติมสารประกอบในกลุ่มไกลคอลหรือกลุ่มเอมีนลงไป เพราะสารประกอบเหล่านี้สามารถทำปฏิกิริยากับหมู่ไซลันอลบนพื้นผิวของซิลิกา ทำให้สารเร่งปฏิกิริยาการเชื่อมโยงหรือสารประกอบเชิงซ้อนของซิงค์ที่ถูกดูดซับ โดยหมู่ไซลันอลมีปริมาณลดลง ปฏิกิริยาเชื่อมโยงสามารถเกิดได้เร็วขึ้น ตัวอย่างที่สำคัญของสารประกอบเหล่านี้ได้แก่ ไดเอทิลีนไกลคอล (DEG) พอลิเอทิลีนไกลคอล (PEG) ไตรเอทาโนลามีน และ HEXA เป็นต้น นอกจากการเติมสารประกอบดังกล่าวแล้ว การปรับลำดับการเติมสารเคมีในระหว่างการผสม สามารถช่วยลดปัญหาการดูดซับสารประกอบเชิงซ้อนของซิงค์ได้ด้วยเช่นกัน

2.4.4 สารคู่ควบไซเลน

สารคู่ควบไซเลน เป็นสารที่เพิ่มความสามารถในการยึดติดกันระหว่างพอลิเมอร์ ที่เป็นสารอินทรีย์กับพื้นผิวอนินทรีย์ นอกจากนี้สารคู่ควบยังใช้เป็นตัวเคลือบพื้นผิวหรือปรับปรุงสภาพ

เอกสารนี้เป็นเอกสารที่สงวนไว้สำหรับการใช้งานเพื่อการศึกษาเท่านั้น ไม่อนุญาตให้นำไปใช้ประโยชน์ด้านการค้า ไม่ว่าจะกรณีใดๆ ทั้งสิ้น อีกทั้งห้ามมิให้ดัดแปลงเนื้อหา และต้องอ้างอิงถึงเจ้าของเอกสารทุกครั้งที่มีการนำไปใช้

พื้นผิวอีกด้วยความหนาของชั้นสารกลุ่มควบไซเลนที่มีประสิทธิภาพต่อการเพิ่มการยึดติดของพื้นผิว เท้ากับความหนาของการจัดเรียงตัวแบบชั้นเดียวซึ่งเปลี่ยนไปตามประเภทของสารตัวอย่าง สารกลุ่มควบที่นิยมใช้ เช่น ออกาโนฟังก์ชันแนลไซเลน (Organofunctional silane) นำมาใช้ในการ ปรับปรุงสมบัติการยึดติดเส้นใยแก้วกับพอลิเมอร์หลายชนิด และยังถูกใช้ในการปรับปรุง ความสามารถในการเข้ากัน (Compatibility) ของซิลิเซียสฟิลเลอร์ (Siliceous fillers) ในพวกรซิน (Resin) และพอลิเมอร์

การเติมสารกลุ่มควบไซเลนลงไปในยางที่มีซิลิกาเป็นสารตัวเติมช่วยให้ยางมีสมบัติต่างๆ ดี ขึ้น จากการเปรียบเทียบประสิทธิภาพในการเสริมแรงของซิลิกาเกรด HS-200 และเขม่าดำเกรด N-285 ซึ่งมีขนาดอนุภาคใกล้เคียงกัน คือ ประมาณ 20-22 nm พบว่าเมื่อไม่ได้ใส่สารกลุ่มควบ เมอร์-แคปโทไซเลน ในยาง เอสบีอาร์ ที่ใช้ซิลิกาเป็นสารตัวเติมเสริมแรงมีค่าความร้อนสะสมสูง ค่าการเสีรูปร่างหลังการกดอัดสูง ค่ามอดูลัสต่ำ และค่าความต้านทานต่อการ ลีกรหรือ ต่ำกว่ายาง เอสบีอาร์ ที่ใช้ผงเขม่าดำเป็นสารตัวเติมเสริมแรง แต่ถ้ามีการเติม เมอร์แคปโทไซเลน ลงไปเพียง 1.5 phr หรือประมาณ 2.5 % ของน้ำหนักซิลิกาช่วยทำให้ค่าความร้อนสะสม และการเสีรูปร่าง หลังการกดอัดต่ำลง ในขณะที่มีค่ามอดูลัส และค่าความต้านทานต่อการลีกรหรือสูงขึ้นใกล้เคียงกับ เมื่อใช้เขม่าดำ [8]

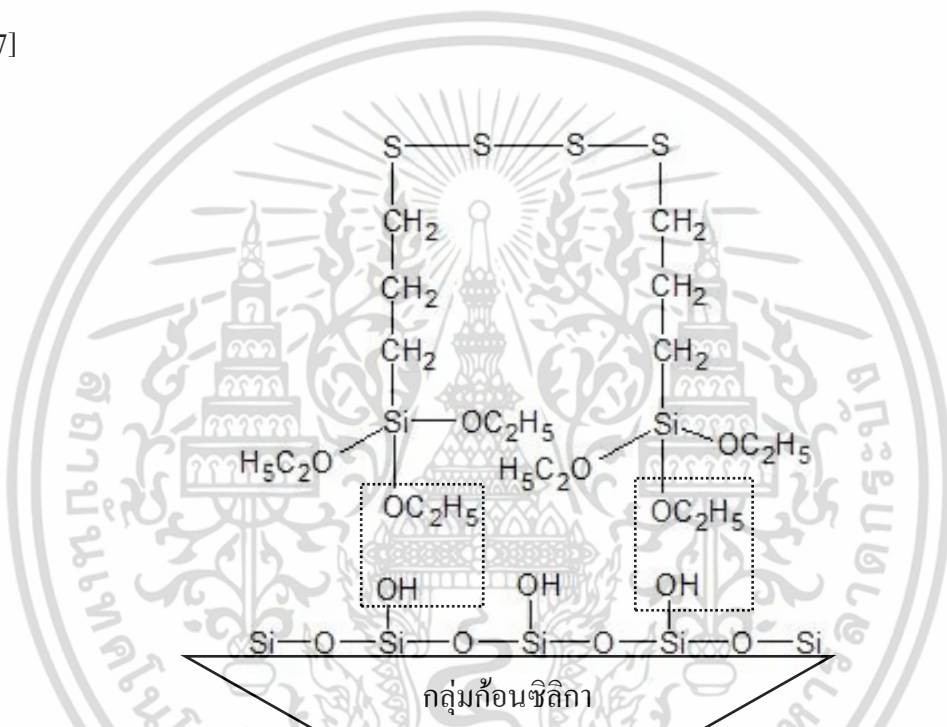
2.4.5 บทบาทของสารกลุ่มควบไซเลน

ปัจจุบันได้มีการพัฒนาเทคโนโลยีเพื่อเพิ่มประสิทธิภาพในการเสริมแรงของซิลิกา และลดปัญหาต่างๆ เมื่อใช้ซิลิกาเป็นสารตัวเติม เทคโนโลยีที่นิยมใช้กันในปัจจุบันคือการใช้สาร กลุ่มควบไซเลน โดยทั่วไปการเติมสารกลุ่มควบไซเลนลงไปจะทำให้อันตรกิริยาระหว่างยางและซิลิกา สูงขึ้นเพราะสารกลุ่มควบไซเลนประกอบด้วยหมู่ฟังก์ชันเคมี 2 หมู่ที่แตกต่างกัน คือ หมู่อัลคอกซี (Alkoxy (-OR)) เช่น หมู่เมทอกซี (-OCH₃) หรือ หมู่เอทอกซี (-OC₂H₅) และหมู่ที่เป็นสารอินทรีย์ (Organo-functional group) เมื่อเติมสารกลุ่มควบไซเลนลงไป หมู่อัลคอกซีซึ่งอยู่ที่ปลายด้านหนึ่งของ โมเลกุลเข้าไปทำปฏิกิริยากับหมู่ซิลานอลบนพื้นผิวของซิลิกาเกิดเป็นพันธะซิลอกเซนที่มีความ เสถียร และมีการปลดปล่อยแอลกอฮอล์ออกมา ดังแสดงในรูปที่ 2.10 ทำให้ซิลิกามีความเป็นขั้ว และมีอันตรกิริยาระหว่างกันลดลง ซิลิกาจึงเข้ากับยาง ไม่มีขั้วได้ดีขึ้น และสามารถแตกตัวกระจาย ตัวในยางได้ง่ายยิ่งขึ้น ทำให้ความหนืดลดลง สามารถไหลและขึ้นรูปได้ง่ายขึ้น ส่วนหมู่ที่เป็น สารอินทรีย์ซึ่งอยู่ที่ปลายอีกด้านหนึ่งช่วยให้ ซิลิกาเข้ากับยางได้ง่ายเพราะหมู่ที่เป็นสารอินทรีย์นี้

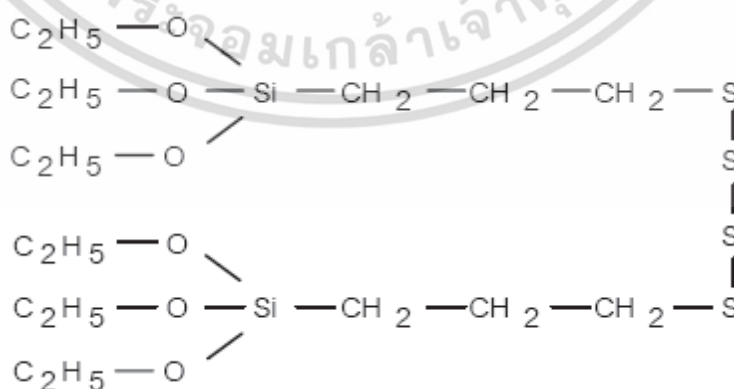
เอกสารนี้เป็นเอกสารที่สงวนไว้สำหรับการใช้งานเพื่อการศึกษาเท่านั้น ไม่อนุญาตให้นำไปใช้ประโยชน์ด้านการค้า ไม่ว่ากรณีใดๆ ทั้งสิ้น อีกทั้งห้ามมิให้ดัดแปลงเนื้อหา และต้องอ้างอิงถึงเจ้าของเอกสารทุกครั้งที่มีการนำไปใช้

มีความเป็นขั้วต่ำจึงเข้ากับยาง ไม่มีขั้วได้ง่าย นอกจากนี้ในหมู่ที่เป็นสารอินทรีย์ยังมีกำมะถันเป็นองค์ประกอบ โดยกำมะถันในสารคู่ควบไซเลนเข้าไปมีส่วนร่วมในปฏิกิริยาการเชื่อมโยงทางเคมีขึ้นด้วยเหตุนี้สารคู่ควบไซเลนจึงทำหน้าที่เปรียบเสมือนสะพานเชื่อมระหว่างซิลิกากับยาง ทำให้อันตรกิริยาระหว่างยางกับซิลิกาสูงขึ้น ประสิทธิภาพการเสริมแรงของซิลิกาจึงสูงขึ้น ส่งผลให้ยางผสมสูตรมีสมบัติเชิงกลต่างๆ ดีขึ้น

สารคู่ควบที่เป็นที่รู้จักกันดี ได้แก่ สารคู่ควบไซเลน Si-69 (Bis-(3-triethoxysilylpropyl tetrasulfide); TESPT) (รูปที่ 2.11) และ Si-264 (3-Thiocyanatopropyl-triethoxy silane; TCPTS) [27]



รูปที่ 2.10 ปฏิกิริยาระหว่างซิลิกากับสารคู่ควบไซเลน Si-69 [8]



รูปที่ 2.11 โครงสร้างทางเคมีของสารคู่ควบไซเลน Si-69 [26]

เอกสารนี้เป็นเอกสารที่สงวนไว้สำหรับการใช้งานเพื่อการศึกษาเท่านั้น ไม่อนุญาตให้นำไปใช้ประโยชน์ด้านการค้าไม่ว่ากรณีใดๆ ทั้งสิ้น อีกทั้งห้ามมิให้ดัดแปลงเนื้อหา และต้องอ้างอิงถึงเจ้าของเอกสารทุกครั้งที่มีการนำไปใช้

2.5 เขม่าดำ (Carbon black)

เขม่าดำได้จากกระบวนการเผาไหม้ที่ไม่สมบูรณ์ หรือการแตกตัว เนื่องจากความร้อน (Thermal cracking) ของสารประกอบไฮโดรคาร์บอน เช่น น้ำมันเชื้อเพลิงก๊าซธรรมชาติ ฯลฯ เขม่าดำจัดเป็นสารตัวเติมที่สำคัญที่สุดและมีปริมาณการใช้มากที่สุดในอุตสาหกรรมยาง เนื่องจากเขม่าดำมีราคาถูกสามารถใส่เขม่าดำในยางได้ในปริมาณมาก (มากกว่า 50 phr) และที่สำคัญที่สุดคือเขม่าดำสามารถช่วยเสริมแรงให้กับยางอย่างมากอาจทำให้ความแข็งแรง (Strength) ของยางเพิ่มขึ้นมากกว่า 10 เท่า นอกจากนี้ยังช่วยเพิ่มความสามารถในการขึ้นรูป (Processability) ของยาง เช่น ลดความยืดหยุ่นของของไหล (Melt elasticity) ลดการหดตัว (Shrinkage) และการบิดเบี้ยว (Distortion) ของผลิตภัณฑ์ยางหลังการขึ้นรูป เป็นต้น การใช้เขม่าดำมีข้อเสียคือผลิตภัณฑ์ยางที่ใส่สารตัวเติมเขม่าดำจะมีสีดำ เช่น ยางรถยนต์ และสายพาน เป็นต้น [8]

2.5.1 ชนิด และวิธีการผลิตเขม่าดำ

1. เขม่าดำชนิดเฟอรัส (Furnace blacks)

เขม่าดำชนิดเฟอรัสเป็นชนิดที่นิยมใช้แพร่หลายทั่วไป และมีปริมาณการใช้งานมากที่สุด เขม่าดำชนิดนี้ผลิตได้จากปฏิกิริยาการเผาไหม้ที่ไม่สมบูรณ์ของเชื้อเพลิงไฮโดรคาร์บอนเชื้อเพลิงคือ ก๊าซธรรมชาติ หรือน้ำมันเชื้อเพลิง (Fuel oil) เผาไหม้ภายใต้บรรยากาศที่มีออกซิเจนที่มากเกินไปจนเกิดเป็นอากาศร้อนหมุนวนภายในเตาเผาบริเวณเผาไหม้ (Combustion zone) น้ำมันวัตถุดิบนิยมใช้เป็นน้ำมันหนักที่เหลือจากกระบวนการกลั่นน้ำมัน (Refinery heavy oil) ที่มีสารอะโรมาติกปริมาณมากถูกฉีดเข้าไป ทำให้เกิดการเผาไหม้ที่ไม่สมบูรณ์ กลายเป็นกาคาร์บอนลักษณะเป็นก้อนเขม่าดำปริมาณมากซึ่งถูกทำให้เย็นอย่างรวดเร็ว (Quench) ด้วยน้ำ เขม่าดำชนิดเฟอรัสมีโครงสร้างเป็นก้อนกลมติดกันเป็นกลุ่มก้อนขนาดใหญ่ที่เรียกว่า “แอกกรีเกต” มีโครงสร้างมากขนาดเล็ก (ประมาณ 10-100 nm) มีปริมาณออกซิเจนต่ำ (มีน้อยกว่า 1 %) เนื่องจากเกิดปฏิกิริยาออกซิเดชันบนพื้นผิวเกิดเป็นสารไฮโดรคาร์บอน (Hydrocarbon) ที่มีหมู่ฟังก์ชันอะตอมออกซิเจนบางประเภทหรือออกซิไฮโดรคาร์บอน (Oxyhydrocarbons) ปริมาณเล็กน้อย พื้นผิวของเขม่าดำเป็นกลางหรือเป็นเบสเล็กน้อย (พีเอชประมาณ 8)

2. เขม่าดำชนิดเทอร์มอล (Thermal blacks)

เขม่าดำชนิดเทอร์มอลเกิดจากการแตกตัว (Cracking) ของน้ำมันหรือก๊าซธรรมชาติภายใต้บรรยากาศที่ปราศจากออกซิเจนที่บริเวณผิวร้อนภายในเตาเผาอุณหภูมิสูงได้เป็นเขม่าดำที่ไม่ถูก

เอกสารนี้เป็นเอกสารที่สงวนไว้สำหรับการใช้งานเพื่อการศึกษาเท่านั้น ไม่อนุญาตให้นำไปใช้ประโยชน์ด้านการค้าไม่ว่ากรณีใดๆ ทั้งสิ้น อีกทั้งห้ามมิให้ตัดแปลงเนื้อหา และต้องอ้างอิงถึงเจ้าของเอกสารทุกครั้งที่มีการนำไปใช้

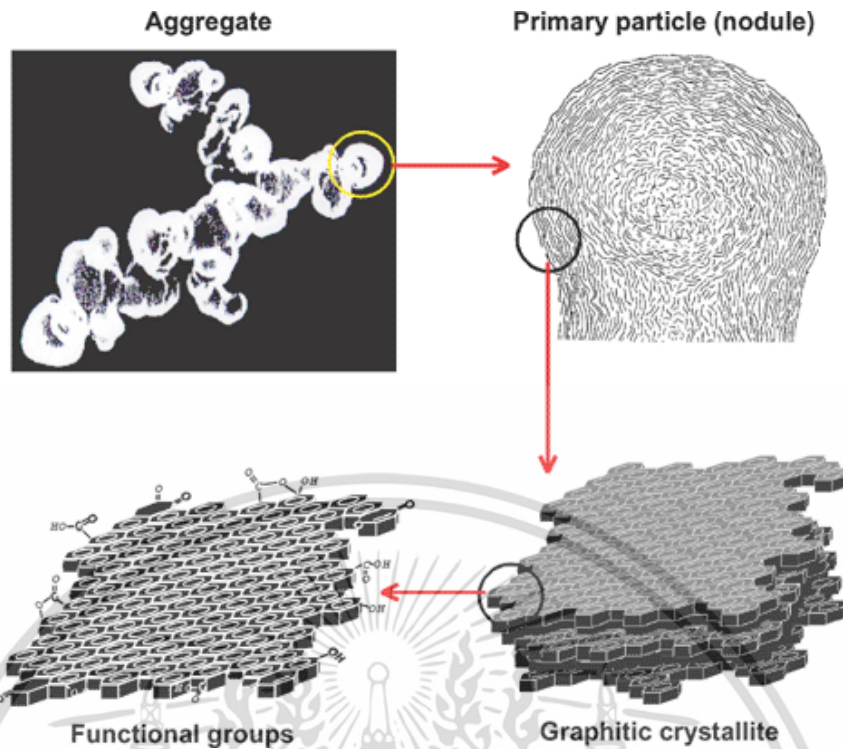
ออกซิไดซ์ (Unoxidized blacks) เขม่าดำชนิดนี้มีขนาดใหญ่ (ประมาณ 100-150 nm) ลักษณะเป็นก้อนกลมโครงสร้างน้อยและมีพื้นที่ผิวน้อย

3. เขม่าดำชนิดซัลเฟต (Channel blacks)

เขม่าดำชนิดซัลเฟต มีกระบวนการผลิตเขม่าดำชนิดนี้ค่อนข้างเก่าล้าสมัยจึงไม่เป็นที่นิยมใช้ เกิดจากการเผาไหม้ที่ไม่สมบูรณ์ของก๊าซธรรมชาติที่ตะกียงเผาทำให้เกิดเขม่าเกาะสะสมที่ผิวภายในท่อเหล็ก (Channel iron) เย็นที่ต่อยาวไปมาเป็นอนุกรม ทำให้ได้เขม่าดำชนิดซัลเฟตมีพื้นที่ผิวที่ถูกออกซิไดซ์มีความเป็นกรด ขนาดเล็กมาก (ประมาณ 1-3 nm) การใช้เขม่าดำชนิดนี้มีผลห่วงปฏิบัติการเชื่อมโยงของยางเนื่องจากมีความเป็นกรด

2.5.2 รูปร่าง และโครงสร้างของเขม่าดำ

ลักษณะทางสัณฐานวิทยาของเขม่าดำที่ถ่ายด้วยกล้องจุลทรรศน์อิเล็กตรอนแบบส่องผ่าน (Transmission electron microscope; TEM) เห็นว่าเขม่าดำมีลักษณะเป็นกลุ่มก้อนกลมติดกันอย่างไม่เป็นระเบียบมีรูปร่างคล้ายพวงองุ่น (Grape-like structure) กลุ่มก้อนของอนุภาคที่ติดกันนี้คือ “แอกริเกต” เกิดจากการหลอมติดของอนุภาคขนาดเล็กๆ ที่เรียกว่า “โนดูล” (Nudules) ซึ่งเป็นหน่วยที่เล็กที่สุดของเขม่าดำแต่ละโนดูลเกิดจากการเรียงตัวหลายๆ ชั้นของแผ่นแกรไฟต์ (Graphitic layer planes) เป็นผลึกเรียงเป็นวงขยายออกตามแนวรัศมีโครงสร้างผลึกของเขม่าดำไม่เป็นระเบียบเหมือนแกรไฟต์ เช่น มีระยะห่างระหว่างชั้นมากกว่า (ประมาณ 3.5 Å) มีอะตอมที่หายไป (Missing atoms) และอาจมีหมู่ฟังก์ชันหรืออะตอมของธาตุอื่นด้วย เช่น ออกซิเจน โครงสร้างของเขม่าดำแสดงดังรูปที่ 2.12



รูปที่ 2.12 โครงสร้างของเขม่าดำ [28]

2.5.3 ยางบาวด์ (Bound rubber)

ยางบาวด์คือ ยางส่วนที่ติดอยู่กับโครงสร้างของเขม่าดำยางบาวด์จะยึดติดกับโครงสร้างเขม่าดำอย่างแข็งแรงมากจะไม่หลุดออกแม้ว่าทำการสกัดยางผสมเขม่าดำด้วยตัวทำละลายที่ดี การเกิดยางบาวด์เป็นหลักฐานที่เด่นชัดว่ายางเกิดอันตรกิริยากับเขม่าดำ เช่น เกิดการยึดเกาะทางกายภาพ (Physical adhesion) เกิดพันธะเคมีเกิดการยึดเกาะทางเคมีหรือ การดูดซับทางเคมี (Chemisorption) ฯลฯ ทำให้ยางเกิดการยึดเกาะที่คืบพันผิวหรือภายในช่องว่างของโครงสร้างเขม่าดำไม่ถูกตัวทำละลายที่ดีสกัดออก

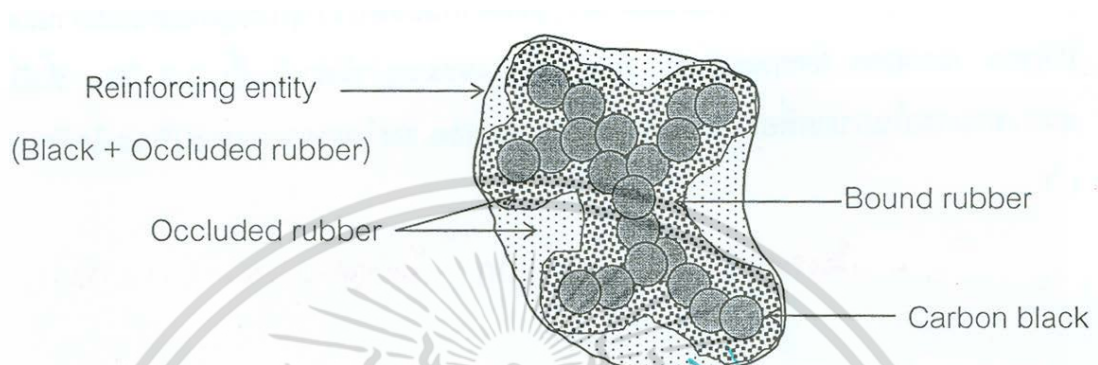
ปริมาณยางบาวด์ในยางผสมเขม่าดำจะสัมพันธ์กับลักษณะของเขม่าดำกล่าวคือ เขม่าดำที่มีโครงสร้างมาก และมีขนาดเล็กหรือพื้นที่ผิวสูงเกิดยางบาวด์ปริมาณมากส่งผลให้เกิดการเสริมแรงของเขม่าดำมากขึ้น

2.5.4 ยางออกคลู๊ด (Occluded rubber)

ยางออกคลู๊ดคือ ยางส่วนที่แทรกตัวอยู่ในช่องว่าง (Voids) ในโครงสร้างแอกกรีเกตของเขม่าดำดังรูปที่ 2.13 ยางออกคลู๊ดมีความหมายกว้าง และครอบคลุมส่วนของยางบาวด์กล่าวคือ ยางออกคลู๊ดมีความหมายรวมยางที่อยู่ภายในช่องว่างของเขม่าดำที่ไม่เกิดอันตรกิริยาใดๆ รวมกับยางที่เกิดอันตรกิริยา เช่น พันธะเคมีการยึดเกาะเชิงกลฯ ข้อดีของยางออกคลู๊ดคือยางออกคลู๊ดที่แทรกอยู่

เอกสารนี้เป็นเอกสารที่สงวนลิขสิทธิ์หรือสงวนเพื่อการค้าเท่านั้น เมื่อผู้ใช้งานเอกสารนี้โดยไม่ได้รับอนุญาตจากเจ้าของลิขสิทธิ์ใดๆ ทั้งสิ้น อีกทั้งห้ามมิให้ดัดแปลงเนื้อหา และต้องอ้างอิงถึงเจ้าของเอกสารทุกครั้งที่มีการนำไปใช้

ในช่องว่างของเขม่าดำในยางมากขึ้นหรือเพิ่มอัตราส่วนโดยปริมาตรของเขม่าดำในยาง (Effective volume fraction of carbon black) ทำให้ยางผสมเขม่าดำมีความแข็งแรงเพิ่มขึ้น ปริมาณยางออกกัตุดีสัมพัทธ์โดยตรงกับปริมาตรช่องว่างในเขม่าดำ ดังนั้นเขม่าดำที่มีโครงสร้างมาก ทำให้เกิดยางออกกัตุดีมากขึ้น [25]



รูปที่ 2.13 ภาพวาดแสดง โครงสร้างของเขม่าดำ Bound rubber และ Occluded rubber รวมเป็นส่วนเสริมแรง (Reinforcing entity) [25]

2.6 แคลเซียมคาร์บอเนต (Calcium carbonate) [8, 25]

แคลเซียมคาร์บอเนตเป็นสารตัวเติมสีขาวที่ได้จากธรรมชาติเกิดจากการสะสมตะกอนเป็นเวลานาน เช่น ซากเปลือกหอยต่างๆ เป็นองค์ประกอบสำคัญของเปลือกโลกที่มีมากชนิดหนึ่ง แคลเซียมคาร์บอเนตเป็นสารเพิ่มเนื้อที่นิยมใส่ผสมพอลิเมอร์เพื่อลดต้นทุนการผลิต เช่น พลาสติก ยาง สี สิ่งทอ กาว ทราย ฯลฯ เนื่องจากมีความขาว (Whiteness) สมบัติความเสียดทานต่ำ มีหลายขนาดให้เลือกใช้ และมีราคาถูก แต่มีข้อจำกัดคือมีความหนาแน่นสูง (ประมาณ 2.72 g/cm^3) ไม่ทนกรด ไม่สามารถใช้ผลิตผลิตภัณฑ์ที่สัมผัสกับกรด เนื่องจากจะเกิดก๊าซคาร์บอนไดออกไซด์จากการทำปฏิกิริยากับกรด แคลเซียมคาร์บอเนตเป็นสารตัวเติมอนินทรีย์ มักจับตัวเป็นก้อนจึงนิยมใช้สารช่วยกระจายตัว เช่น กรดสเตียริกเคลือบสารตัวเติมเพื่อเพิ่มความสามารถในการกระจายตัว นอกจากนี้ยังไม่มีประสิทธิภาพการเสริมแรง (Non-reinforcing filler) หรือสามารถเสริมแรงเพียงเล็กน้อย จึงนิยมใช้ผสมเพื่อเพิ่มปริมาณหรือลดต้นทุนการผลิตเพียงอย่างเดียว

แคลเซียมคาร์บอเนตสามารถเตรียมได้จากการบดแห้ง (Dry grinding) บดเปียก (Wet grinding) และการตกตะกอน (Precipitation) การบดแห้งมีกระบวนการผลิตที่ง่าย โดยการให้แรงบดให้แตก (Crushing) ทำให้เป็นผง (Pulverizing) และแยกขนาดโดยใช้ลมเป่า แคลเซียม

คาร์บอเนตชนิดบดแห้งมีความบริสุทธิ์ต่ำ และมีขนาดใหญ่ (ขนาดมากกว่า $12 \mu\text{m}$) กระบวนการบดเอกสารนี้เป็นเอกสารที่สงวนไว้สำหรับการใช้งานเพื่อการศึกษาเท่านั้น ไม่อนุญาตให้นำไปใช้ประโยชน์ด้านการค้า ไม่ว่าจะกรณีใดๆ ทั้งสิ้น อีกทั้งห้ามมิให้ดัดแปลงเนื้อหา และต้องอ้างอิงถึงเจ้าของเอกสารทุกครั้งที่มีการนำไปใช้

เป็ยกจะทำการชะล้างสิ่งเจือปนที่มีสี และแยกขนาดโดยการหมุนปั่นความเร็วสูง จะได้แคลเซียมคาร์บอเนตขนาดเล็กลง และมีความบริสุทธิ์สูงกว่า

แคลเซียมคาร์บอเนตชนิดตกตะกอนสามารถผลิตได้หลายวิธี เช่น กระบวนการโซลเวย์ (Solvay) รีคาร์บอนชัน (Recarbonation) และโซเดียมไฮดรอกไซด์ (Sodium hydroxide) ตัวอย่างการผลิตโดยกระบวนการรีคาร์บอนชันเป็นวิธีที่สำคัญ และง่ายที่สุด สามารถแสดงได้ดังสมการ



กระบวนการผลิตเริ่มต้นด้วยปฏิกิริยาแคลซิเนชัน (Calcination) ของหินปูน (Limestone) ที่ประมาณ 900°C เพื่อให้ได้แคลเซียมออกไซด์ และก๊าซคาร์บอนไดออกไซด์ จากนั้นเป็นขั้นตอนการทำปฏิกิริยากับน้ำ ให้ได้สารละลายสีขาวคล้ายน้ำนมของแคลเซียมไฮดรอกไซด์ ในขั้นตอนที่สามเป็นปฏิกิริยาคาร์บอนชัน โดยการให้ก๊าซคาร์บอนไดออกไซด์ผ่านสารละลายแคลเซียมไฮดรอกไซด์ในถังปฏิกรณ์ที่เรียกว่าคาร์บอนเตออร์ (Carbonator) การละลายแล้วตกตะกอนใหม่ทำให้ได้แคลเซียมคาร์บอเนตที่มีความบริสุทธิ์สูง อนุภาคขนาดเล็ก ช่วยเสริมแรงเมื่อใช้เป็นสารตัวเติมในพอลิเมอร์ แต่มีราคาแพง

แคลเซียมคาร์บอเนตชนิดบด (ธรรมชาติ) มีปริมาณ CaCO_3 ประมาณ 94 % ในขณะที่แคลเซียมคาร์บอเนตชนิดตกตะกอนมีปริมาณ CaCO_3 มากกว่า 98 % แคลเซียมคาร์บอเนตเป็นสารอนินทรีย์มีขี้ สามารถเข้ากับยางที่มีขี้มากกว่ายางที่ไม่มีขี้ และอาจจับตัวเป็นก้อนไม่กระจายตัวในยางเช่นเดียวกับสารตัวเติมอนินทรีย์อื่นๆ ดังนั้นการเคลือบสารบางประเภท เช่น กรดสเตียริก หรือชันสน เพื่อช่วยเพิ่มกระจายตัวของสารตัวเติมในยาง สมบัติบางประการของแคลเซียมคาร์บอเนตชนิดต่างๆ ดังแสดงในตารางที่ 2.9

ตารางที่ 2.9 สมบัติบางประการของแคลเซียมคาร์บอเนตชนิดต่างๆ [25]

สมบัติ	Ground CaCO ₃		Precipitated CaCO ₃
	Fine	Coarse	
Average particle size (µm)	3-14	17	0.07
Desity (g/cm ³)	2.71	2.71	2.55-2.65
Surface area, BET (m ² /g)	0.9-2.2	-	11-26
Oil absoption, ASTM D-281	5-21	5-6	28-58
Mohs hardness	2.5-3	3	2.5-3

2.7 งานวิจัยที่เกี่ยวข้อง

Sae-Oui P. et.al. [29] ศึกษาการใช้เถ้าแกลบเป็นสารตัวเติมในยางธรรมชาติโดยเปรียบเทียบกับสารตัวเติมทางการค้าอื่นๆ เถ้าแกลบมีส่วนประกอบของซิลิกา และเหมือนเขม่าดำ เพราะเถ้าแกลบเป็นของเหลือจากการเผาไหม้ที่ไม่สมบูรณ์ทั้งซิลิกา และเขม่าดำได้รับการยอมรับว่าเป็นสารตัวเติมเสริมแรงหลักที่ใช้ในอุตสาหกรรมยางเพื่อเพิ่มสมบัติบางอย่างของยาง เช่น มอดูลัสและความแข็งแรงดึง ในการศึกษาครั้งนี้มีเถ้าแกลบ 2 เกรด (เกรดที่มีคาร์บอนต่ำ และคาร์บอนสูง) เมื่อใช้ที่ล็กัม เกลย์ แคลเซียมคาร์บอเนต ซิลิกา เขม่าดำ และเถ้าแกลบ พบว่าการใช้เถ้าแกลบเป็นสารตัวเติมในยางธรรมชาติทำให้ยางเชื่อมโยงมีสมบัติเชิงกลที่ด้อยกว่า (ค่าความแข็งแรงดึง ความแข็งแรงฉีกขาด มอดูลัส ความแข็งกด และความต้านทานต่อการ ลีกรหรือ) เมื่อเทียบกับการใช้สารตัวเติมเสริมแรงอย่างซิลิกา และเขม่าดำ จัดได้ว่าเถ้าแกลบดำเป็นสารตัวเติมที่ไม่เสริมแรงแม้ว่าจะทำการปรับปรุงพื้นผิวเถ้าแกลบด้วยการเติมสารคู่ควบไซเลน Si-69 แต่มีผลเพียงเล็กน้อยต่อสมบัติของยาง เพราะเถ้าแกลบมีอนุภาคขนาดใหญ่ และบนพื้นผิวเถ้าแกลบมีหมู่ไซลานอลน้อยกว่าบนผิวของซิลิกาทางการค้าทำให้สารคู่ควบไซเลนที่เติมลงไปเกิดอันตรกิริยาได้ไม่ดีเท่าที่ควร

Arayapranece W. et.al. [30] ศึกษาการประยุกต์ใช้เถ้าแกลบเป็นสารตัวเติมในยางธรรมชาติ โดยทำการเปรียบเทียบกับสารตัวเติมทางการค้า (ซิลิกา และเขม่าดำ) พบว่าเถ้าแกลบมีส่วนประกอบของซิลิกา และยังมีองค์ประกอบของคาร์บอนเหมือนเขม่าดำแต่มีขนาดอนุภาคที่ใหญ่กว่าเมื่อเปรียบเทียบกับซิลิกา และเขม่าดำ ผลของพฤติกรรมเชื่อมโยง และสมบัติเชิงกลของยางผสมสูตร พบว่าเมื่อเพิ่มปริมาณเถ้าแกลบ (0-40 phr) ความหนืดมุนนี้ และเวลาเชื่อมโยงยางลดลง

เอกสารนี้เป็นเอกสารที่สงวนไว้สำหรับการใช้งานเพื่อการศึกษาเท่านั้น ไม่อนุญาตให้นำไปใช้ประโยชน์ด้านการค้าไม่ว่ากรณีใดๆ ทั้งสิ้น อีกทั้งห้ามมิให้ดัดแปลงเนื้อหา และต้องอ้างอิงถึงเจ้าของเอกสารทุกครั้งที่มีการนำไปใช้

ค่าความแข็งกดเพิ่มขึ้น แต่ความแข็งแรงดึง และความแข็งแรงนิกษาคลดลง ค่ามอดูลัส และความต้านทานต่อการ สึกหรอนั้นไม่มีการเปลี่ยนแปลงอย่างมีนัยสำคัญ แต่เมื่อใช้ถ้ำาแลกเปลี่ยนเป็น สารตัวเติมในยางธรรมชาติ จะส่งผลให้สมบัติต่างๆ มีค่าน้อยกว่าเมื่อเปรียบเทียบกับเขม่าดำและ ซิลิกา เนื่องจากซิลิกา และเขม่าดำมีอนุภาคที่เล็ก และพื้นที่ผิวที่มากกว่า จากผลโดยรวมแสดงให้เห็นว่าถ้ำาแลกเปลี่ยนสามารถใช้เป็นสารตัวเติมที่ถูกลงกว่าสำหรับยางเชื่อม โยงที่ไม่ต้องการการเสริมแรง

เอกชัย วิมลมาลา และคณะ [31] ศึกษาผลของการปรับปรุงถ้ำาลอย (Fly ash; FA) ด้วยสาร คู่ควบไซเลน Si-69 เพื่อเป็นสารเติมแต่งในยางเอสปีอาร์ ทำการวิเคราะห์หมู่ฟังก์ชันและ องค์ประกอบทางเคมีของถ้ำาลอยด้วยเทคนิค (Fourier transform infrared spectroscopy; FT-IR) และ (X-ray fluorescence spectroscopy; XRF) ตามลำดับ จากนั้นทำศึกษา พฤติกรรมการเชื่อม โยง และสมบัติเชิงกลของยางผสมสูตร จากการทดลองพบว่าถ้ำาลอยมีองค์ประกอบของซิลิกา และ โลหะออกไซด์อื่นๆ เป็นองค์ประกอบและมีหมู่ฟังก์ชันใกล้เคียงกับซิลิกาเกรดการค้า โดยพบหมู่ ฟังก์ชันกลุ่มไซลานอล การใช้ถ้ำาลอยเป็นสารตัวเติมส่งผลให้เวลาเชื่อม โยงลดลง เนื่องจากใน องค์ประกอบของถ้ำาลอยมีกลุ่ม โลหะออกไซด์ อาทิเช่น อะลูมิเนียมออกไซด์ แคลเซียมออกไซด์ และเหล็กออกไซด์ เป็นต้น ซึ่งสามารถทำหน้าที่เป็นสารกระตุ้น การ เชื่อม โยง จึงทำให้เกิด Zinc complex เร็วขึ้น ส่งผลให้ยางเชื่อม โยงเร็วขึ้นด้วย และการปรับปรุงถ้ำาลอยด้วย สารคู่ควบไซเลน Si-69 ส่งผลให้เวลาเชื่อม โยงยางลดลง เนื่องจากอนุมูลอิสระของกำมะถันจาก สารคู่ควบไซเลนพร้อมจะเข้าทำปฏิกิริยาเชื่อม โยงกับยาง ส่งผลให้เกิดการเชื่อม โยงสมบูรณ์ได้เร็ว ขึ้น และการปรับปรุงถ้ำาลอยส่งผลให้มีสมบัติเชิงกลต่างๆ มากกว่าการใช้ถ้ำาลอยไม่ปรับปรุงด้วย สารคู่ควบไซเลน Si-69 เนื่องจากการปรับปรุงถ้ำาลอยด้วยสารคู่ควบไซเลน Si-69 ทำให้การยึดเกาะ ระหว่างวัฏภาคของยางกับถ้ำาลอยดีขึ้น ทำให้มีช่องว่างระหว่างวัฏภาคของยางกับถ้ำาลอยน้อยลง

Sombatsompop N. et.al. [27] ศึกษาผลของการใช้ถ้ำาลอย และซิลิกาชนิดคตะกอน เป็นสารตัวเติมในยางไนไตรล์ โดยทำการศึกษาพฤติกรรมการเชื่อม โยง สมบัติเชิงกล และความ ต้านทานน้ำมัน (Oil resistance) ของยางไนไตรล์ที่มีปริมาณ เขม่าดำ 60 phr และปริมาณที่แตกต่างกันของซิลิกาจากถ้ำาลอย และซิลิกาชนิดคตะกอน จากการทดลองพบว่าการใช้ เขม่าดำ และซิลิกา ชนิดคตะกอนเป็นสารตัวเติมในยางไนไตรล์จะช่วยลดเวลาเริ่มเชื่อม โยงและเวลาเชื่อม โยง และ ส่งผลให้ค่ามอดูลัสเพิ่มขึ้น และพบว่ายางไนไตรล์มีค่าความแข็งแรงมากขึ้นเมื่อเพิ่มปริมาณของสาร

ตัวเติมทุกชนิด ซึ่งการใช้ซิลิกาชนิดคตะกอนกับเขม่าดำเป็นสารตัวเติมในยางไนไตรล์ให้สมบัติที่ เอกสารนี้เป็นเอกสารที่สงวนไว้สำหรับการใช้งานเพื่อการศึกษาเท่านั้น ไม่อนุญาตให้นำไปใช้ประโยชน์ด้านการค้า ไม่ว่ากรณีใดๆ ทั้งสิ้น อีกทั้งห้ามมิให้ดัดแปลงเนื้อหา และต้องอ้างอิงถึงเจ้าของเอกสารทุกครั้งที่มีการนำไปใช้

ดีกว่าการใช้ซิลิกาจากถ้ำลอยกับเขม่าดำเป็นสารตัวเติมในยางไนไตรล์ เพราะซิลิกาชนิดตกตะกอนกับซิลิกาจากถ้ำลอยมีอนุภาคขนาดใหญ่ และจำนวนหมู่ฟังก์ชันของไซลันอลน้อยกว่าซิลิกาชนิดตกตะกอน ซึ่งสามารถสรุปได้จากผลการทดลองว่า อนุภาคซิลิกาจากถ้ำลอยสามารถนำมาเพิ่มมูลค่าโดยการนำมาใช้เป็นสารตัวเติมเพื่อลดต้นทุนในยางไนไตรล์ได้

Pattamaprom C. et.al. [5] ทำการศึกษาผลของการใช้ถ้ำกลบ เป็นสารตัวเติมในยางธรรมชาติดัดแปลง โดยทำการวิเคราะห์ถ้ำกลบและดัดแปลงยางธรรมชาติ เป็นยางธรรมชาติกราฟมาเลอิกแอนไฮโดรด์ (MNR) ยางธรรมชาติอีพ็อกซีไคซ์ (ENR) และยางธรรมชาติผสมยางเอทิลีนพรอพิลีนไดอีน (NR/EPDM) โดย จากการทดลองพบว่า ถ้ำกลบมีขนาดอนุภาคประมาณ 75 μm พื้นที่ผิวจำเพาะ 8.15 m^2/g และเมื่อใส่สารตัวเติมถ้ำกลบในปริมาณ 45 phr ส่งผลให้สมบัติทางกายภาพของยางทุกชนิดไม่ได้เปลี่ยนแปลงไปมากจากยางที่ไม่ได้ใส่สารตัวเติม พบว่าค่ามอดูลัสของ MNR และ ENR มีค่าสูงกว่า NR แต่ทำให้ค่าความแข็งแรงดิ่งลดลง การใช้ถ้ำกลบเป็นสารตัวเติมจะให้สมบัติเชิงกลที่ดีที่สุดในปริมาณ 5 phr ซึ่งถือว่าเป็นปริมาณ ที่น้อย แต่เมื่อเปรียบเทียบกับการใช้ซิลิกาชนิดตกตะกอนเป็นสารตัวเติมส่งผลให้สมบัติเชิงกล ของยางเชื่อมโยงดีขึ้นอย่างชัดเจน เนื่องจากถ้ำกลบมีขนาดอนุภาคใหญ่ และ หมู่ฟังก์ชันไซลันอล น้อย เมื่อเปรียบเทียบกับซิลิกาชนิดตกตะกอน

ชูลิพันธ์ พันธุ์เอี่ยม [32] ศึกษาสมบัติของวัสดุยางผสมระหว่างยางไนไตรล์ กับยางไฮโดรจิเนตอะไคริโลไนไทรล์บิวทาไดอีน (Hydrogenated Acrylonitrile Butadiene; HNBR) ที่มีเขม่าดำเป็นสารตัวเติมหลัก ปริมาณ 80 phr และปรับเปลี่ยนปริมาณสัดส่วนของ ยาง NBR ในปริมาณ 10-30 phr โดยศึกษาถึงระบบการเชื่อมโยง 2 แบบ ดังนี้ การเชื่อมโยงระบบ กำมะถัน และระบบเปอร์ออกไซด์ ในงานนี้ใช้สารตัวเติมผงถ้ำลอย และผงซิลิกาเกรดการค้า (ในช่วง 0-50 phr) ที่ปรับปรุงพื้นผิวด้วยสารก่อกวนไซเลนปริมาณ 4 % โดยน้ำหนักของซิลิกาที่เป็นสารตัวเติมรอง (Secondary filler) ทำการทดสอบสมบัติการไหล และพฤติกรรมการเชื่อมโยง สมบัติเชิงกล สมบัติทางกายภาพ การทดสอบความต้านทานการบวมตัวในน้ำมันไฮดรอลิก การบ่มเร่งด้วยความร้อนในน้ำมันไฮดรอลิกที่มีต่อสมบัติของวัสดุยางผสม และการทดสอบสภาวะการใช้งานจริงด้วยเครื่องทดสอบชีด รวมถึงการนำวัสดุยางผสมสูตรวิจัยมาเปรียบเทียบกับผลิตภัณฑ์โอริงทางการค้า ผลการทดสอบพบว่า การเติม HNBR ใน NBR ไม่ส่งผลต่อสมบัติโดยรวมของวัสดุยางผสม ทั้งระบบการเชื่อมโยงด้วยกำมะถัน และเปอร์ออกไซด์ และการเติมสารแอนติออกซิเดนต์ ไม่ส่งผลเอกสารนี้เป็นเอกสารที่สงวนไว้สำหรับการใช้งานเพื่อการศึกษาเท่านั้น ไม่อนุญาตให้นำไปใช้ประโยชน์ด้านการค้าไม่ว่ากรณีใดๆ ทั้งสิ้น อีกทั้งห้ามมิให้ดัดแปลงเนื้อหา และต้องอ้างอิงถึงเจ้าของเอกสารทุกครั้งที่มีการนำไปใช้

ต่อสมบัติโดยรวมของวัสดุยางผสมที่ใช้การเชื่อมโยงระบบ กัมมะถัน แต่สามารถปรับปรุงสมบัติเชิงกลภายหลังการบ่มเร่งสภาวะด้วยความร้อนในน้ำมันไฮดรอลิก แต่ทำให้สมบัติทางด้านกรไหล และการเชื่อมโยง สมบัติเชิงกลของยางที่ใช้การเชื่อมโยงระบบเปอร์ออกไซด์ลดลง สำหรับผลของการเติมสารตัวเติมซิลิกาพบว่า การเติมซิลิกาเกรดการค้าในยางผสม NBR กับ HNBR ที่มีผงเขม่าดำเป็นสารตัวเติม มีสมบัติเชิงกลโดยรวมดีกว่าการเติมซิลิกาจากถ้ำลอย สมบัติเชิงกลโดยรวมของยางผสมไม่เปลี่ยนแปลง เมื่อทดสอบแช่ชิ้นงานในน้ำมันไฮดรอลิก ในขณะที่การบ่มเร่งด้วยความร้อนในน้ำมันส่งผลทำให้ค่ามอดูลัส ความแข็งแรงเพิ่มขึ้น แต่ความแข็งแรงดึง ความแข็งแรงฉีกขาด และเปอร์เซ็นต์การดึงยืด ณ จุดขาดลดลง การทดสอบสภาวะการใช้งานจริงด้วยเครื่องทดสอบซีล พบว่า ยางผสมสูตรวิจัยมีสมบัติต่างๆ ใกล้เคียงกับผลิตภัณฑ์โอริงทางการค้า ยางผสมในงานวิจัยนี้ที่เหมาะสม คือ ยางผสมที่มีการเชื่อมโยงระบบ กัมมะถันที่สัดส่วนยางไนไตรล์กับ HNBR เท่ากับ 90:10 และมีสารตัวเติมซิลิกาเกรดการค้าที่ 30 phr และผงถ้ำลอยที่ 20 phr ส่วนในยางผสมที่มีการเชื่อมโยงระบบเปอร์ออกไซด์ที่สัดส่วน NBR กับ HNBR เท่ากับ 90:10 ที่ไม่มีการเติมสารเติมแต่ง โดยพิจารณาจากสมบัติด้านต่างๆ และต้นทุนวัตถุดิบ

วีรยา วรกันธ์ และคณะ [33] ศึกษาการเสริมแรงของยางธรรมชาติด้วยซิลิกาผสมระหว่างถ้ำลอย กับซิลิกาชนิดตกตะกอน โดยทำการปรับปรุงพื้นผิวถ้ำลอยด้วยสารกลุ่มควาไซเลน Si-69 ปริมาณ 2 % โดยน้ำหนักของถ้ำลอย มาทำการศึกษาปริมาณถ้ำลอย 0-40 phr และขนาดอนุภาคถ้ำลอยช่วงต่างๆ ที่น้อยกว่า 150 μm จากนั้นทำการเลือกปริมาณซิลิกาของถ้ำลอย และขนาดอนุภาคถ้ำลอยที่เหมาะสมไปศึกษาต่อด้วยการนำไปใช้เป็นสารเสริมแรงร่วมกับซิลิกาชนิดตกตะกอนเป็นซิลิกาผสม (ถ้ำลอย : ซิลิกาชนิดตกตะกอน) ด้วยสัดส่วนต่างๆ ดังนี้ 100:0, 75:25, 50:50, 25:75 และ 0:100 ซึ่งทำการศึกษาทั้งระบบที่ไม่ปรับปรุง และปรับปรุงพื้นผิวซิลิกาชนิดตกตะกอนด้วยสารกลุ่มควาไซเลน Si-69 ปริมาณ 2 % โดยน้ำหนักของซิลิกาผสม โดยทำการตรวจสอบสมบัติต่างๆ ของยางผสมสูตร ได้แก่ พฤติกรรมการเชื่อมโยง ความแข็งแรงดึง ความแข็งแรงฉีกขาด และความต้านทานการสึกหรอ จากการทดลองพบว่า ผลจากปริมาณถ้ำลอยที่แตกต่างกันให้ค่าความแข็งแรงดึง ความแข็งแรงฉีกขาด และความต้านทานการสึกหรอลดลงตามปริมาณถ้ำลอยที่มากขึ้น ผลจากขนาดอนุภาคถ้ำลอยพบว่าการใช้ถ้ำลอยขนาดอนุภาค 25 μm ทำให้สมบัติเชิงกลต่างๆ สูงที่สุด และในการผสมถ้ำลอยกับซิลิกาชนิดตกตะกอนนั้น การเติมซิลิกาผสมปริมาณ 10 phr ทั้งกรณีไม่ปรับปรุง และปรับปรุงพื้นผิวซิลิกาชนิดตกตะกอนให้พฤติกรรมการ

เอกสารนี้เป็นเอกสารที่สงวนไว้สำหรับการใช้งานเพื่อการศึกษาเท่านั้น ไม่อนุญาตให้นำไปใช้ประโยชน์ด้านการค้า ไม่ว่าจะกรณีใดๆ ทั้งสิ้น อีกทั้งห้ามมิให้ดัดแปลงเนื้อหา และต้องอ้างอิงถึงเจ้าของเอกสารทุกครั้งที่มีการนำไปใช้

เชื่อมโยงยาง และสมบัติเชิงกลโดยรวมของยางเชื่อมโยงที่ไม่แตกต่างกันในทุกสัดส่วนของซิลิกาผสม ในขณะที่ยางธรรมชาติที่เติมซิลิกาผสมปริมาณ 40 phr ที่มีสัดส่วนของเถ้าลอยต่อซิลิกาชนิดตกตะกอน เท่ากับ 50:50, 25:75 และ 0:100 จะมีสมบัติเชิงกลด้านต่างๆ แตกต่างกันอย่างเห็นได้ชัดระหว่างระบบที่ไม่ปรับปรุงพื้นผิวกับปรับปรุงพื้นผิวซิลิกาตกตะกอน ซึ่งสามารถสรุปได้ว่าอนุภาคเถ้าลอยที่มีขนาดเล็กให้สมบัติเชิงกลดีกว่าขนาดใหญ่ และการปรับปรุงด้วยสารคู่ควบไซเลน Si-69 ช่วยเพิ่มประสิทธิภาพของสมบัติเชิงกล

ปิยะภรณ์ นิลทัย และคณะ [34] ศึกษาสมบัติความร้อนเชิงกลพลวัต พฤติกรรมการคืนกลับตัว (Elastic recovery) ทางอีลาสติก (Elastic) ของยางไนไตรล์ที่มีสารเสริมแรงด้วยสารตัวเติมกลุ่มซิลิกา สำหรับงานระบบไฮดรอลิกโดยการเติมสารตัวเติมกลุ่มซิลิกา 2 ชนิดคือ ซิลิกาชนิดตกตะกอนและผงซิลิติน (Sillitin) ซึ่ง ซิลิตินคือ สารตัวเติมที่ได้จากแร่ควอทซ์ (Quartz) และแร่กาไลไนต์ (Kaolinite) มีซิลิกาเป็นองค์ประกอบหลักสูงถึง 70 % และมีกลุ่มของสารประกอบโลหะออกไซด์เป็นองค์ประกอบรอง โดยทำการศึกษาในปริมาณ 0, 10, 20, 30, 40 และ 50 phr ที่มีเขม่าดำเป็นสารตัวเติมหลักที่ปริมาณ 50 phr และน้ำมันอะโรมาติก 10 phr ทำการพิสูจน์เอกลักษณ์ของสารตัวเติม โดยศึกษาขนาดรูปร่างตรวจสอบหมู่ฟังก์ชันทางเคมีด้วยเทคนิค FT-IR วิเคราะห์องค์ประกอบทางเคมีด้วยเทคนิค XRF และศึกษาการกระจายตัวของขนาดอนุภาคด้วย SEM ศึกษาสมบัติการไหล และพฤติกรรมเชื่อมโยงสมบัติเชิงกลทางการ เสียรูปถาวรหลังการ กดอัด และสมบัติความร้อนเชิงกลพลวัต จากผลการทดลองพบว่า การเติมสารตัวเติมกลุ่มซิลิกาไม่ส่งผลต่อเวลาการไหลในแม่พิมพ์ และเวลาการเชื่อมโยง ยางไนไตรล์ที่มีสารตัวเติมผงซิลิติน มีค่าการเสียรูปถาวรหลังการกดอัดน้อยกว่าซิลิกาชนิดตกตะกอน นอกจากนี้ยางไนไตรล์ที่มีสารตัวเติมซิลิกาชนิดตกตะกอนมีค่ามอดูลัสสะสมสูง และมีค่า $\tan \delta$ ต่ำกว่าการเติมผงซิลิติน ซึ่งแสดงถึงสมบัติอีลาสติกของยางไนไตรล์เพิ่มขึ้น เนื่องจากซิลิกาชนิดตกตะกอนมีองค์ประกอบของซิลิกาในปริมาณมากและมีอนุภาคขนาดเล็ก จึงส่งผลทำให้มีปริมาณหมู่ฟังก์ชันไซลานอล บนพื้นผิวของอนุภาคมาก และสามารถเกิดปฏิกิริยาระหว่างยางกับสารคู่ควบไซเลนดีกว่าผงซิลิติน ส่งผลให้สายโซ่โมเลกุลยางเลื่อนไถล และสามารถเก็บพลังงานเพื่อคืนกลับตัวได้ดีกว่า สำหรับอุณหภูมิการเปลี่ยนสถานะคล้ายแก้ว (T_g) ของยางไนไตรล์ที่มีสารตัวเติมผงซิลิตินสูงกว่าสารตัวเติมซิลิกาชนิดตกตะกอน เนื่องจากผงซิลิตินมีปริมาณซิลิกาเพียง 72.60 % ทำให้ต้องใส่ในปริมาณที่มากกว่า

เพื่อให้ได้ปริมาณซิลิกาเท่ากับซิลิกาชนิดตกตะกอน จึงส่งผลให้สายโซ่โพลิเมอร์ถูกจำกัดอิสระ ต้องใช้พลังงานความร้อนที่มากกว่าในการทำให้โพลิเมอร์หลอมละลาย

Wang L. L. et.al. [35] ศึกษาคอมโพสิตระหว่างยางไนไตรล์กับเขม่าดำ (NBR/CB) ซึ่งใช้แผ่นกราฟไฟต์ (Expanded graphite; EG) ที่มีขนาดแตกต่างกัน คือ อนุภาคไมโครเมตรและนาโนเมตรเป็นสารเสริมแรงในคอมโพสิต เพื่อศึกษาผลของสมบัติเชิงกล และสมบัติการขัดถูคือ ค่าสัมประสิทธิ์แรงเสียดทาน (Coefficient of friction; COF) และอัตราการสึกหรอ (Specific wear rate; Ws) โดยเปรียบเทียบกับคอมโพสิตระหว่างยางไนไตรล์กับเขม่าดำ ในขณะที่ผลกระทบของการกระจายตัว และปริมาณของกราฟไฟต์ที่ใช้มีผลต่อสมบัติการสึกหรอภายใต้สภาวะแห้ง หลังจากผ่านการทดสอบการสึกหรอ พื้นผิวที่เสียดทานจะถูกนำมาทดสอบด้วยกล้องจุลทรรศน์อิเล็กตรอนแบบส่องกราด เพื่อศึกษากลไกของการสึกหรอของชิ้นงาน จากผลการทดลองพบว่าเมื่อใช้ปริมาณกราฟไฟต์เพียงเล็กน้อยมีประสิทธิภาพที่สามารถลดค่าสัมประสิทธิ์แรงเสียดทานและอัตราการสึกหรอของคอมโพสิตได้ และเมื่อเพิ่มปริมาณของกราฟไฟต์ของคอมโพสิต จะแสดงแนวโน้มที่ลดลงของค่าสัมประสิทธิ์แรงเสียดทานและอัตราการสึกหรอ จากการศึกษาผลของขนาดสารเสริมแรงที่ใช้พบว่า เมื่อใช้กราฟไฟต์ที่มีขนาดอนุภาคระดับไมโครเมตร ส่งผลให้สมบัติเชิงกลและสมบัติการสึกหรอ ที่ด้อยกว่าการใช้กราฟไฟต์ที่มีขนาดอนุภาคระดับนาโนเมตร เนื่องจากการกระจายตัวที่ไม่ดีของกราฟไฟต์ที่มีขนาดอนุภาคระดับไมโครเมตร จากการศึกษาข้างต้นสามารถสรุปได้ว่าการนำกราฟไฟต์ที่มีขนาดอนุภาคระดับนาโนจะทำให้เกิดการกระจายตัวดี มีความเสียดทานต่ำ และคงทนต่อการสึกหรอได้ดี

นฤมล ศิริประจันทร์ และคณะ [36] ทำการศึกษาความเป็นไปได้ในการนำเถาปาล์มดำ (Black Palm Ash; BPA) มาใช้เป็นสารตัวเติมในยางธรรมชาติ โดยศึกษาปัจจัยต่างๆ ที่มีผลต่อการใช้งาน ได้แก่ แหล่งเถาปาล์มดำ การใช้พอลิเอทิลีนไกลคอล (PEG) ผลของปริมาณการเติมเถาปาล์มดำ และผลของขนาดเถาปาล์มดำ โดยเน้นศึกษาผลของปัจจัยต่างๆ ที่มีผลต่อพฤติกรรมการเชื่อมโยง ของยาง และสมบัติเชิงกลของยาง จากการทดลองพบว่า เถาปาล์มดำทั้งสองแหล่ง (โรงไฟฟ้าชีวมวล และ โรงงานปาล์มน้ำมัน) ไม่แตกต่างกันในองค์ประกอบเคมี โดยพบว่าเถาปาล์มดำนั้นมีส่วนประกอบของซิลิกาเป็นหลัก จากศึกษาการปรับปรุงพื้นผิวเถาปาล์มดำ พบว่าการปรับปรุงพื้นผิวด้วย PEG ทำให้พฤติกรรมการเชื่อมโยง และสมบัติเชิงกลดีกว่าอย่างเห็นได้ชัด จากการศึกษา

ผลของปริมาณเถาปาล์มดำ (10, 30, 50 และ 70 phr) พบว่า ปริมาณเถาปาล์มดำไม่มีผลต่อพฤติกรรม

เอกสารนี้เป็นเอกสารที่สงวนไว้สำหรับการใช้งานเพื่อการศึกษาเท่านั้น ไม่อนุญาตให้นำไปใช้ประโยชน์ด้านการค้า ไม่ว่าจะกรณีใดๆ ทั้งสิ้น อีกทั้งห้ามมิให้ตัดแปลงเนื้อหา และต้องอ้างอิงถึงเจ้าของเอกสารทุกครั้งที่มีการนำไปใช้

การเชื่อมโยง แต่มีผลให้สมบัติเชิงกลของยางลดลง ในการศึกษาขนาดอนุภาคเก้าปาล์มดำ (100-150, 150-200, 200-250 และเล็กกว่า 250 mesh) พบว่า เก้าปาล์มดำขนาดเล็กให้พฤติกรรม การเชื่อมโยงและสมบัติเชิงกลที่ดีกว่าเก้าปาล์มดำขนาดใหญ่ จากการศึกษาสัณฐานวิทยาด้วยกล้องจุลทรรศน์อิเล็กตรอนแบบส่องกราด พบว่า เก้าปาล์มดำกระจายได้ดีในยางธรรมชาติ และมีการยึดติดกันได้ดี ไม่พบช่องว่างบริเวณรอยต่อ ดังนั้นอาจกล่าวได้ว่า สามารถใช้เก้าปาล์มดำขนาดใหญ่ที่เคลือบ PEG เป็นสารเพิ่มเนื้อลดต้นทุน หรือเป็นสารตัวเติมชนิดไม่เสริมแรง

รสิมา จันทร์จำปา [6] ทำการศึกษาการใช้เก้าแถบดำ (BRHA) จากโรงไฟฟ้าพลังชีวมวล เป็นสารตัวเติมในยางโดยเน้นศึกษาปัจจัยบางประการที่มีผลต่อสมบัติของยาง ได้แก่ ผลของปริมาณ สารตัวเติม (5-100 phr) และผลของขนาดอนุภาคในงานวิจัยนี้ได้ใช้ยางธรรมชาติเกรด RSS 3 เป็นตัวแทนยาง เตรียมตัวอย่างโดยการผสมยางธรรมชาติกับเก้าแถบดำในอัตราส่วนต่างๆ ด้วยเครื่องผสมแบบสองลูกกลิ้ง จากนั้นทำการหาพฤติกรรมเชื่อมโยงแล้วเตรียมแผ่นยางตัวอย่างด้วยการอัดขึ้นรูปเพื่อทดสอบสมบัติเชิงกลและศึกษาสัณฐานวิทยาด้วยกล้องจุลทรรศน์อิเล็กตรอนแบบส่องกราด จากการตรวจสอบ และวิเคราะห์เก้าแถบดำ พบว่ามีขนาดอยู่ในช่วง 41-279 μm และมีพื้นที่ผิว 0.024-0.212 m^2/g มีซิลิกาเป็นองค์ประกอบหลัก 74 % นอกจากนี้เก้าแถบดำยังมีองค์ประกอบของคาร์บอนร่วมอยู่ด้วย เมื่อเพิ่มปริมาณเก้าแถบดำ (5-100 phr) พบว่าเวลาเริ่มเชื่อมโยง เวลาเชื่อมโยงเนื่องจากเมื่อปริมาณเก้าแถบดำเพิ่มขึ้นจะเป็นการลดความเป็นฉนวนความร้อนของยาง ผสมสูตร จึงทำให้ยางนำความร้อนได้ดีขึ้น ส่งผลให้สามารถเชื่อมโยงได้เร็วขึ้น และมีค่าความแข็งแรงดึงและค่าเปอร์เซ็นต์การดึงยืด ณ จุดขาดมีแนวโน้มลดลงเนื่องจากเก้าแถบดำที่ใช้มีอนุภาคที่ใหญ่และพื้นที่ผิวน้อย เกิดการแทรกสอดเป็นยางบาวด์ได้น้อย ส่งผลให้เกิดตำหนิของชิ้นงานในการเกิดการเสียสภาพเมื่อรับแรงได้มากขึ้น แต่ ค่ามอดุลัสที่ 100 เปอร์เซ็นต์การดึงยืด และค่าความแข็งกมมีแนวโน้มเพิ่มขึ้นเนื่องจากมีอัตราส่วนของอนุภาคของแข็งเพิ่มขึ้น เมื่อทำการเทียบสมบัติโดยรวมกับสารตัวเติมซิลิกาและเขม่าดำ พบว่าเก้าแถบดำให้การเสริมแรงที่ด้อยกว่า เนื่องจากเก้าแถบดำมีขนาดอนุภาคที่ใหญ่และพื้นที่ผิวน้อยกว่าซิลิกา และเขม่าดำ จึงสรุปได้ว่าเก้าแถบดำแสดงสมบัติเป็นสารตัวเติมชนิดไม่เสริมแรงในยางธรรมชาติ

จากงานวิจัยข้างต้น พบว่ามีการนำเก้าแถบดำมาใช้เป็นสารตัวเติมในยางอย่างแพร่หลาย ซึ่งจากการวิเคราะห์เก้าแถบดำด้วยเทคนิคต่างๆ นั้น พบว่าเก้าแถบดำมีองค์ประกอบซิลิกา เป็น

ส่วนมาก และพบหมู่ฟังก์ชันไฮดรอกซิล ซึ่งมีความคล้ายคลึงกับซิลิกาทางการค้า นอกจากนี้เอกสารนี้เป็นเอกสารที่สงวนไว้สำหรับการใช้งานเพื่อการศึกษาเท่านั้น ไม่อนุญาตให้นำไปใช้ประโยชน์ด้านการค้าไม่ว่ากรณีใดๆ ทั้งสิ้น อีกทั้งห้ามมิให้ดัดแปลงเนื้อหา และต้องอ้างอิงถึงเจ้าของเอกสารทุกครั้งที่มีการนำไปใช้

เก้าแกลบดำยังมีองค์ประกอบของคาร์บอนร่วมอยู่ด้วย และการปรับปรุงเก้าแกลบดำด้วยสารคู่ควมไซเลน Si-69 ส่งผลให้สมบัติเชิงกลโดยรวมดีขึ้น และเวลาเชื่อมโยงน้อยลงเล็กน้อยเมื่อเปรียบเทียบกับเก้าแกลบดำที่ไม่ได้ผ่านการปรับปรุง พื้นผิว แต่การใช้เก้าแกลบดำเป็นสารตัวเติมนั้นยังแสดงสมบัติเป็นสารตัวเติมชนิดไม่เสริมแรง เนื่องจากเก้าแกลบดำมีขนาดอนุภาคใหญ่ และมีพื้นที่ผิวจำเพาะน้อย และจากงานวิจัยก่อนหน้านี้ พบว่าการปรับปรุงเก้าแกลบดำด้วย PEG และ Si-69 ยังไม่เห็นผลที่ชัดเจน และการใช้เก้าแกลบดำเป็นสารตัวเติมนั้น ไม่สามารถเสริมแรงได้ในยางธรรมชาติ ทั้งนี้อาจเนื่องมาจากเก้าแกลบดำกับยางธรรมชาติมีความเป็นขั้วที่แตกต่างกัน และยังมีขนาดอนุภาคที่ใหญ่เกินไป ในงานวิจัยนี้จึงมีแนวคิดที่จะนำเก้าแกลบดำมาเป็นสารตัวเติมในยางไนไตรล์ ซึ่งเป็นยางชนิดที่มีขั้ว อาจส่งผลให้มีอันตรกิริยากับเก้าแกลบดำที่ดีกว่ายางธรรมชาติ แล้วทำการลดขนาดอนุภาคของเก้าแกลบดำให้มีขนาดเล็กลง เพื่อให้มีพื้นที่ในการเกิดอันตรกิริยากับยางได้มากขึ้น



เอกสารนี้เป็นเอกสารที่สงวนไว้สำหรับการใช้งานเพื่อการศึกษาเท่านั้น ไม่อนุญาตให้นำไปใช้ประโยชน์ด้านการค้าไม่ว่ากรณีใดๆ ทั้งสิ้น อีกทั้งห้ามมิให้ดัดแปลงเนื้อหา และต้องอ้างอิงถึงเจ้าของเอกสารทุกครั้งที่มีการนำไปใช้

บทที่ 3

วิธีการดำเนินงานวิจัย

3.1 แผนการดำเนินงาน

งานวิจัยนี้เป็นการศึกษาสูตรยางที่ใช้เส้นใยแก้วเคลือบด้าเป็นสารตัวเติมเพื่อศึกษาการใช้ประโยชน์เส้นใยแก้วเคลือบด้าเป็นสารตัวเติมในยางสังเคราะห์ โดยใช้ยางไนไตรล์ ซึ่งงานวิจัยนี้มีขั้นตอนและวิธีดำเนินการของงานวิจัยดังต่อไปนี้

ตอนที่ 1 การตรวจสอบ และวิเคราะห์เส้นใยแก้วเคลือบด้า

ตอนที่ 2 ศึกษาผลของการปรับปรุงผิวเส้นใยแก้วเคลือบด้าด้วย PEG ที่ 5 % โดยน้ำหนักของเส้นใยแก้วเคลือบด้าเปรียบเทียบกับสูตรที่ไม่ใช้ PEG และผลของการเติมสารตัวเติมซิลิกา Si-69 ที่ 3 % โดยน้ำหนักของเส้นใยแก้วเคลือบด้า

ตอนที่ 3 ศึกษาผลของขนาดเส้นใยแก้วเคลือบด้าที่ขนาด 100-150, 150-200, 200-250, เล็กกว่า 250 mesh และเส้นใยแก้วเคลือบด้าบดละเอียด

ตอนที่ 4 ศึกษาผลของปริมาณเส้นใยแก้วเคลือบด้าที่เหมาะสมในการเตรียมยางผสมสูตรที่ 0, 20, 40, 60, 80, 100 และ 120 phr

ตอนที่ 5 ศึกษาผลการเสริมแรงของเส้นใยแก้วเคลือบด้าเทียบกับสารตัวเติมเขม่าดำ ซิลิกา และแคลเซียมคาร์บอเนต

ทดสอบสมบัติของยางที่เตรียมได้ ดังนี้

1. การทดสอบสมบัติเชิงกล

- ความแข็งแรงดึง
- เปอร์เซนต์การดึงยืด ณ จุดขาด
- โมดูลัสของยางที่ 100 เปอร์เซนต์ดึงยืด
- ความแข็งแรงฉีกขาด
- ความแข็งกด
- การเสียรูปถาวรหลังการกดอัด

2. ศึกษาการบวมตัว (Swell) ของยางผสมสูตรในตัวทำละลาย

เอกสารนี้เป็นเอกสารที่สงวนไว้สำหรับการใช้งานเพื่อการศึกษาเท่านั้น ไม่อนุญาตให้นำไปใช้ประโยชน์ด้านการค้าไม่ว่ากรณีใดๆ ทั้งสิ้น อีกทั้งห้ามมิให้ดัดแปลงเนื้อหา และต้องอ้างอิงถึงเจ้าของเอกสารทุกครั้งที่มีการนำไปใช้

3. การทดสอบสมบัติความร้อนเชิงกลพลวัตด้วย Dynamic mechanical thermal analyzer (DMTA)

4. การศึกษาลักษณะฐานวิทยาด้วย Scanning electron microscope (SEM)

3.2 สารเคมี

1. ยางไนไตรต์ (NBR) : KRYNAC[®] 3950 F บริษัท Lanxess (thailand) จำกัด
2. ถ่านแกลบดำ (BRHA) จากโรงไฟฟ้าชีวมวล บริษัท Bio-mass power จำกัด
3. ซิลิกา (Silica) เกรด Tokusil[®] 255 บริษัท Tokuyama siam siliga จำกัด
4. เขม่าดำ (Carbon black) เกรด N330 บริษัท Thai carbon black public จำกัด
5. แคลเซียมคาร์บอเนต (Calcium carbonate) เกรด Ground Calcium Carbonate (GCC) บริษัท Thaipolychemicals จำกัด
6. สารควบแน่นซิลิโคน (Bis(3-triethoxysilylpropyl)-tetrasulfide; Si-69) เกรดการค้า บริษัท Evonik industries จำกัด
7. พอลิเอทิลีนไกลคอล (Polyethylene glycol; PEG) : PEG 4000 บริษัท Condea จำกัด
8. สารป้องกันการเสื่อมสภาพของยาง (Antioxidant) : TMQ บริษัท Lanxess deutschland gmbh จำกัด
9. น้ำมัน Parlenox W บริษัท Chemical solution จำกัด
10. ซิงค์ออกไซด์ (Zinc oxide; ZnO) เกรดการค้า บริษัท Univenture จำกัด
11. กรดสเตียริก (Stearic acid) บริษัท Pt. Cisadane raya chemical จำกัด
12. สารเชื่อมโยงกำมะถัน (Sulfur; S) เกรดการค้า บริษัท Best T.J. group จำกัด
13. สารเร่งปฏิกิริยาเชื่อมโยง (N-cyclohexyl-2-benzothiazolesulfenamide; CBS) บริษัท Uniroyal chemical จำกัด
14. สารเร่งปฏิกิริยาเชื่อมโยง (Mercaptobenzothiazole disulfide; MBTS) บริษัท Uniroyal chemical จำกัด
15. สารเร่งปฏิกิริยาเชื่อมโยง (Tetramethylthiuram disulfide; TMTD) บริษัท Flexsys additive จำกัด
16. เอทานอล (Ethanol) 95 % เกรดการค้า องค์การอุตสาหกรรมสรรพาสามิต
17. ไคลอโรมีเทน (Dichloromethane) เกรดวิเคราะห์ บริษัท Merck Thailand จำกัด

เอกสารนี้เป็นเอกสารที่สงวนไว้สำหรับการใช้งานเพื่อการศึกษาเท่านั้น ไม่อนุญาตให้นำไปใช้ประโยชน์ด้านการค้า ไม่ว่าจะกรณีใดๆ ทั้งสิ้น อีกทั้งห้ามมิให้ดัดแปลงเนื้อหา และต้องอ้างอิงถึงเจ้าของเอกสารทุกครั้งที่มีการนำไปใช้

18. ไนโตรเจนเหลว (Liquid nitrogen) บริษัท Lab solution and engineering จำกัด
19. กรดอะซิติก (Acetic acid) เข้มข้น 85 % เกรดวิเคราะห์ บริษัท Merck Thailand จำกัด
20. น้ำปราศจากไอออน (Deionized water)
21. โพแทสเซียมโบรไมด์ (Potassium bromide; KBr) เกรดวิเคราะห์ บริษัท Carlo erba จำกัด

ตารางที่ 3.1 สมบัติบางประการของซิลิกา (Tokusil® 255)

สมบัติ	ค่าที่ได้
พื้นที่ผิวจำเพาะ (BET surface area)	165 m ² /g
pH (5% suspension)	7
ความหนาแน่น (Density)	2.2 g/cm ³
ขนาดอนุภาค (Particle size)	0.018 μm
SiO ₂ (Hydrated base)	88 %
Ignition loss	4.7 %

ตารางที่ 3.2 สมบัติบางประการของเขม่าดำ (N 330)

สมบัติ	ค่าที่ได้
ปริมาณคาร์บอน (Carbon content)	94.8 %
ปริมาณเถ้า (Ash content)	0.7 %
สารระเหย (Volatile matter)	2.0 %
พื้นที่ผิวจำเพาะ (BET surface area)	71-85 m ² /g
ความชื้น (Moisture)	2.5 %
ความหนาแน่น (Density)	1.8 g/cm ³
ขนาดอนุภาค (Particle size)	0.02-0.03 μm

ตารางที่ 3.3 สมบัติบางประการของแคลเซียมคาร์บอเนต เกรด GCC

สมบัติ	ค่าที่ได้
ปริมาณแคลเซียมคาร์บอเนต	98.5 %
พื้นที่ผิวจำเพาะ (BET surface area)	9.0 m ² /g
ความชื้น (Moisture)	<0.2%
ความหนาแน่น (Density)	2.7 g/cm ³
ขนาดอนุภาค (Particle size)	2.90 μm

เอกสารนี้เป็นเอกสารที่สงวนไว้สำหรับการใช้งานเพื่อการศึกษาเท่านั้น ไม่อนุญาตให้นำไปใช้ประโยชน์ด้านการค้า ไม่ว่าจะกรณีใดๆ ทั้งสิ้น อีกทั้งห้ามมิให้ดัดแปลงเนื้อหา และต้องอ้างอิงถึงเจ้าของเอกสารทุกครั้งที่มีการนำไปใช้

3.3 อุปกรณ์ และเครื่องมือ

1. เครื่องผสมชนิดสองลูกกลิ้ง (Two-roll mill) รุ่น LRM 200 บริษัท Labtech Engineering จำกัด
2. เครื่องกดอัดขึ้นรูป (Compression molding machine) รุ่น FOR LP-200 บริษัท Labtechengineering จำกัด
3. เครื่องวัดความหนืดมูนนี่ (Mooney viscometer) รุ่น SMV-201 บริษัท Shimizu จำกัด
4. เครื่องวัดการเชื่อมโยงแบบไร้อานหมุน (Moving die rheometer; MDR) รุ่น II F 150 บริษัท นิชิโกโซวจิ จำกัด
5. เครื่องทดสอบแรงดึง (Universal testing machine; UTM) รุ่น LR 5K บริษัท ลอยด์อินสตรูเมนต์ จำกัด
6. เครื่องวัดความแข็งกดแบบคูโรมิเตอร์ (Durometer hardness tester) รุ่น SE-104DC บริษัท เอทีเอสฟาร์เอสพี เอ จำกัด
7. เครื่องวิเคราะห์ปริมาณอินทรีย์คาร์บอน (Total organic carbon analyzer; TOC) รุ่น SOLID SAMPLE MODULE SSM-5000 A บริษัท Shimizu จำกัด
8. เครื่องทดสอบสมบัติทางความร้อน DMTA (Dynamic mechanical thermal analyzer) รุ่น DMTA-V บริษัท Metec instrument จำกัด
9. กล้องจุลทรรศน์อิเล็กตรอนแบบส่องกราด (Scanning electron microscope; SEM) รุ่น S-3400N บริษัท Hitachi high-technologies Europe จำกัด
10. เครื่องมือวิเคราะห์หาปริมาณธาตุองค์ประกอบ (XRF) รุ่น SRS 3400 บริษัท บรูเคอร์ เอ จี จำกัด
11. เครื่องอินฟราเรดสเปกโทรโฟโตมิเตอร์ (FT-IR) รุ่น SPECTRUM GX บริษัท Perkin Elmer Spectrum จำกัด
12. เครื่องวัดขนาดอนุภาค (Particle size analyzer) รุ่น Mastersizer 3000 บริษัท Malvern จำกัด
13. เครื่องวัดพื้นที่ผิวจำเพาะด้วยวิธี Brunauer-emmett-teller (BET) รุ่น Auto SORB-1 บริษัท ควันทาโครม จำกัด
14. เครื่องวัดการสึกหรอ (Akron abrasion tester) รุ่น YC-2130 บริษัท Scilution จำกัด
15. เครื่องวัดความหนาแน่น (Density) รุ่น MD-200S บริษัท สิทธิพร แอสโซซิเอต จำกัด

เอกสารนี้เป็นเอกสารที่สงวนไว้สำหรับการใช้งานเพื่อการศึกษาเท่านั้น ไม่อนุญาตให้นำไปใช้ประโยชน์ด้านการค้า ไม่ว่าจะกรณีใดๆ ทั้งสิ้น อีกทั้งห้ามมิให้ดัดแปลงเนื้อหา และต้องอ้างอิงถึงเจ้าของเอกสารทุกครั้งที่มีการนำไปใช้

16. เครื่องแยกขนาด (Sieve shaker) (ขนาด 100, 150, 200 และ 250 เมช) บริษัท นัมเฮง จำกัด

17. เครื่องบดความเร็วสูงชนิดบอลมิล (High speed ball mill) บริษัท Cerawan จำกัด

18. เครื่องอัดแรงลม บริษัท Ceast Co., Ltd.

19. แม่แบบ (Mold) ขนาด $150 \times 150 \times 2 \text{ mm}^3$

20. แม่แบบสำหรับชิ้นงานการเสีรูปลถวรหลังการกดอัด

21. อุปกรณ์ทดสอบการเสีรูปลถวรหลังการกดอัด

22. ตู้อบความร้อน (Hot air oven) บริษัท Scientific promotion จำกัด

23. เครื่องชั่งละเอียด 4 ตำแหน่ง (Analysis balance) รุ่น 404 MSCS บริษัท Precisa จำกัด

24. เครื่องปั่นกวนชนิดใบพัด

25. อุปกรณ์เครื่องแก้ว

3.4 วิธีการทดลอง

3.4.1 การเตรียมเต้าแกลบดำ

นำเต้าแกลบดำที่ได้มาจากโรงงาน ไฟฟ้าชีวมวล มาร้อนผ่านตะแกรง กรองจำนวน 4 ชั้น เพื่อให้ได้เต้าแกลบดำขนาด ดังนี้ 100-150, 150-200, 200-250 และเล็กกว่า 250 mesh โดยใช้เครื่องร่อนแยกขนาด (รูปที่ 3.1) และอบเต้าแกลบดำที่อุณหภูมิ 100°C เป็นเวลา 24 ชั่วโมง



รูปที่ 3.1 เครื่องแยกขนาด

เอกสารนี้เป็นเอกสารที่สงวนไว้สำหรับการใช้งานเพื่อการศึกษาเท่านั้น ไม่อนุญาตให้นำไปใช้ประโยชน์ด้านการค้า ไม่ว่าจะกรณีใดๆ ทั้งสิ้น อีกทั้งห้ามมิให้ดัดแปลงเนื้อหา และต้องอ้างอิงถึงเจ้าของเอกสารทุกครั้งที่มีการนำไปใช้

3.4.2 การบดละเอียดแก้วกลมดำ

นำแก้วกลมดำขนาดอนุภาคเล็กกว่า 250 mesh มาบดละเอียดด้วยเครื่องบดความเร็วสูง ชนิดบอลมิล โดยที่หม้อบดและลูกบดทำจากไฮอะลูมินา (High alumina) นำแก้วกลมดำ 200 กรัม และน้ำปราศจากไอออน 400 กรัม ใส่ในหม้อบดขนาดบรรจุ 900 กรัม ทำการบดที่ความเร็ว 500 รอบต่อนาที เป็นเวลา 30 นาที จากนั้นนำแก้วกลมดำที่ได้ไปอบที่อุณหภูมิ 100°C เป็นเวลา 24 ชั่วโมง

3.4.3 การตรวจสอบและวิเคราะห์แก้วกลมดำ

1. วิเคราะห์หาองค์ประกอบทางเคมีของแก้วกลมดำด้วยเครื่องเอกซเรย์ฟลูออเรสเซนส์ สเปกโตรมิเตอร์ (XRF) เตรียมตัวอย่างโดยชั่งแก้วกลมดำ 0.5 กรัม ผสมกับกรดบอริก 4.5 กรัม นำมาบดด้วย เครื่องบด 1 นาที จากนั้นนำมาอัดเม็ดด้วยความดัน 150 กิโลนิวตัน เป็นเวลา 5 นาที จากนั้นทำ ทดสอบหาองค์ประกอบทางเคมี ด้วย เครื่อง XRF โดยทำการทดสอบที่ศูนย์บริการ เครื่องมือวิทยาศาสตร์ คณะวิทยาศาสตร์ สถาบันเทคโนโลยีพระจอมเกล้าเจ้าคุณทหารลาดกระบัง
2. วิเคราะห์หมู่ฟังก์ชันของ แก้วกลมดำด้วย เครื่องอินฟราเรดสเปกโทรโฟโตมิเตอร์ (FT-IR) โดยนำแก้วกลมดำ 3 มิลลิกรัมมาบดรวมกับ KBr แล้วนำไปอัดให้เป็นแผ่น สภาวะที่ใช้คือ ที่ความยาวคลื่น 4000-600 cm^{-1} โดยทำการสแกน 6 ครั้งต่อตัวอย่างความละเอียด ที่ใช้คือ 4 cm^{-1}
3. วิเคราะห์หาขนาดอนุภาคแก้วกลมดำ ที่มีขนาด 100-150, 150-200, 200-250, เล็กกว่า 250 เมช และแก้วกลมดำบดละเอียดด้วยเครื่องวัดขนาดอนุภาค โดยนำแก้วกลมดำปริมาณ 5-10 กรัม มาทำให้อนุภาคกระจายตัวในน้ำปราศจากไอออน และทำการตรวจวัดขนาดอนุภาคด้วย แสงเลเซอร์ จากแหล่งกำเนิดแสง He-Ne (He-Ne Laser) ที่ความยาวคลื่น 633 นาโนเมตร โดยทำการตรวจวัด 3 ครั้งต่อตัวอย่าง
4. วิเคราะห์หาพื้นที่ผิวจำเพาะแก้วกลมดำ ที่มีขนาด 100-150, 150-200, 200-250, เล็กกว่า 250 เมช และแก้วกลมดำบดละเอียดด้วยวิธี Brunauer-emmett-teller (BET) เตรียมตัวโดยการอบแก้วกลมดำที่อุณหภูมิ 300°C เป็นเวลา 3 ชั่วโมง เพื่อไล่ความชื้นและสารระเหยต่างๆ ทำการทดสอบที่อุณหภูมิ 77.3 K โดยใช้ปริมาณแก้วกลมดำประมาณ 0.02-0.05 กรัม
5. วิเคราะห์ลักษณะทางสัณฐานวิทยาของแก้วกลมดำ ที่มีขนาด 100-150, 150-200, 200-250, เล็กกว่า 250 เมช และแก้วกลมดำบดละเอียดด้วยกล้องจุลทรรศน์อิเล็กตรอนแบบส่อง

กราด (SEM) เตรียมตัวอย่างโดยนำแก้วเคลือบดำแต่ละขนาดมาโปรยบนเป็นติดชิ้นงาน แล้วทำการเคลือบทองคำ

3.4.4 การเตรียมแก้วเคลือบดำ หรือซิลิกาที่ปรับปรุงด้วยสารคู่ควบไซเลน Si-69 [31, 33]

1. ชั่งสารคู่ควบไซเลน Si-69 ปริมาณ 3 กรัม และละลายเอทานอล 50 มิลลิลิตร ในบีกเกอร์ขนาด 500 มิลลิลิตร
2. ปั่นกวน และปรับพีเอชให้มีค่าประมาณ 5 ด้วยกรดอะซิติก
3. ปั่นกวนต่อเป็นเวลา 15 นาที ที่อุณหภูมิห้อง
4. สเปรย์สารละลายไซเลน Si-69 จนหมดลงบนแก้วเคลือบดำ หรือซิลิกาปริมาณ 100 กรัมให้ทั่วถึง
5. อบที่อุณหภูมิ 100°C เป็นเวลา 12 ชั่วโมง เพื่อระเหยตัวทำละลาย

3.4.5 การเตรียมยางผสมสูตร

1. ชั่งยางไนไตรล์ และสารเคมีต่างๆ ตามตารางที่ 3.4
2. ทำการผสมด้วยเครื่อง ผสมยางแบบสองลูกกลิ้ง ดังรูปที่ 3.2 โดยใส่ยางไนไตรล์เพื่อทำให้ยางพันรอบลูกกลิ้ง และเติม TMQ ทำการผสมโดยการกรีดและพับยาง (Cut and fold) เพื่อให้เกิดการกระจายตัว ใช้เวลาประมาณ 2 นาที (ในกรณีของยางผสมสูตรที่ไม่มีสารตัวเติม ข้ามไปข้อ 4)



รูปที่ 3.2 เครื่องผสมแบบสองลูกกลิ้ง

3. ใส่สารตัวเติมแก้วเคลือบดำ แคลเซียมคาร์บอเนต ซิลิกา หรือเขม่าดำ (ในกรณีของสารตัวเติมแก้วเคลือบดำ และซิลิกา จะใส่ PEG ในขั้นตอนนี้ด้วย) ทำการผสมให้เข้ากันโดย

การกรีดและพับยางเพื่อให้เกิดการกระจายตัว ใช้เวลาประมาณ 5 นาที เอกสารนี้เป็นเอกสารที่สงวนลิขสิทธิ์ไว้เพื่อการศึกษาเท่านั้น เมื่ออนุญาตให้นำไปใช้ประโยชน์ด้านการค้า ไม่ว่าจะกรณีใดๆ ทั้งสิ้น อีกทั้งห้ามมิให้ดัดแปลงเนื้อหา และต้องอ้างอิงถึงเจ้าของเอกสารทุกครั้งที่มีการนำไปใช้

4. ใส่น้ำมัน Parlenox W โดยค่อยๆ ใ้ระหว่างลูกกลิ้ง ทำการผสมให้เข้ากัน โดยการกรีดและพับยางเพื่อให้เกิดการกระจายตัว ใช้เวลาประมาณ 5 นาที
5. เติม กำมะถัน กรดสเตียริก ซิงค์ออกไซด์ และ ตัวเร่งปฏิกิริยาเชื่อมโยง ต่างๆ โดยค่อยๆ ใ้ระหว่างลูกกลิ้ง ทำการผสมให้เข้ากัน โดยการกรีดและพับยาง เพื่อให้เกิดการกระจายตัวพร้อมทั้งใ้สารต่างๆ ที่เหลือจากกระบวนการผสม ใช้เวลาประมาณ 10 นาที
6. ทำการผสมโดยการกรีดและพับยางอย่างต่อเนื่อง เพื่อให้สารต่างๆ เกิดกระจายตัวอย่างสม่ำเสมอ จนกระทั่งเวลาในการผสมครบ 30 นาที



เอกสารนี้เป็นเอกสารที่สงวนไว้สำหรับการใช้งานเพื่อการศึกษาเท่านั้น ไม่อนุญาตให้นำไปใช้ประโยชน์ด้านการค้า ไม่ว่าจะกรณีใดๆ ทั้งสิ้น อีกทั้งห้ามมิให้ดัดแปลงเนื้อหา และต้องอ้างอิงถึงเจ้าของเอกสารทุกครั้งที่มีการนำไปใช้

ตารางที่ 3.4 สูตรยางที่ใช้ในการศึกษาปัจจัยต่างๆ

สารเคมี	ปริมาณ (phr)										
	สูตรที่ 1	สูตรที่ 2	สูตรที่ 3	สูตรที่ 4	สูตรที่ 5	สูตรที่ 6	สูตรที่ 7	สูตรที่ 8	สูตรที่ 9	สูตรที่ 10	สูตรที่ 11
NBR	100										
F-BRHA(#1)	-	-	-	-	20	-	-	-	-	-	-
F-BRHA(#2)	-	-	-	-	-	20	-	-	-	-	-
F-BRHA(#3)	-	-	-	-	-	-	20	-	-	-	-
F-BRHA(#4)	20	20	20	20	-	-	-	-	-	-	-
F-BRHA-G	-	-	-	-	-	-	-	20, 40, 60,... ,120	-	-	-
Carbon black	-	-	-	-	-	-	-	-	60	-	-
Silica	-	-	-	-	-	-	-	-	-	60	-
Calcium carbonate	-	-	-	-	-	-	-	-	-	-	60
Si-69*	-	-	3	3	3	3	3	3	-	3	-
PEG 4000*	-	5	-	5	5	5	5	5	-	5	-
Parlenox W	20										
TMQ	1										
Zinc oxide	5										
Stearic acid	2										
Sulfur	1										
CBS	1										
TMTD	0.3										
MBTS	1										

หมายเหตุ : *Si-69 และ PEG 4000 คำนวณเป็นเปอร์เซ็นต์โดยน้ำหนักของเส้นใย

F-BRHA(#1) หมายถึงเส้นใยที่ผ่านการแยกขนาด 100-150 mesh

F-BRHA(#2) หมายถึงเส้นใยที่ผ่านการแยกขนาด 150-200 mesh

F-BRHA(#3) หมายถึงเส้นใยที่ผ่านการแยกขนาด 200-250 mesh

F-BRHA(#4) หมายถึงเส้นใยที่ผ่านการแยกขนาดเล็กกว่า 250 mesh

F-BRHA-G หมายถึงเส้นใยที่ผ่านการบดละเอียด

เอกสารนี้เป็นเอกสารที่สงวนไว้สำหรับการใช้งานเพื่อการศึกษาเท่านั้น ไม่อนุญาตให้นำไปใช้ประโยชน์ด้านการค้า ไม่ว่าจะกรณีใดๆ ทั้งสิ้น อีกทั้งห้ามมิให้ดัดแปลงเนื้อหา และต้องอ้างอิงถึงเจ้าของเอกสารทุกครั้งที่มีการนำไปใช้

3.5 การทดสอบยางผสมสูตร

สมบัติของยางผสมสูตร ทดสอบตามมาตรฐานต่างๆ ดังนี้

3.5.1 การทดสอบความหนืดมูนนี่ (Mooney viscosity)

การหาค่าความหนืดมูนนี่ ทำตามมาตรฐาน ASTM D1646 [37] ด้วยเครื่องวัดความหนืดมูนนี่ ดังรูปที่ 3.3 โดยใช้จานหมุนขนาดใหญ่ (L) ที่อุณหภูมิ 100°C โดยชิ้นงานมีความหนาประมาณ 1 cm เส้นผ่านศูนย์กลางประมาณ 4-5 cm จำนวน 2 ชิ้น ใช้เวลาในการ ตามมาตรฐาน ML 1+4 (100°C)



รูปที่ 3.3 เครื่องวัดความหนืดมูนนี่

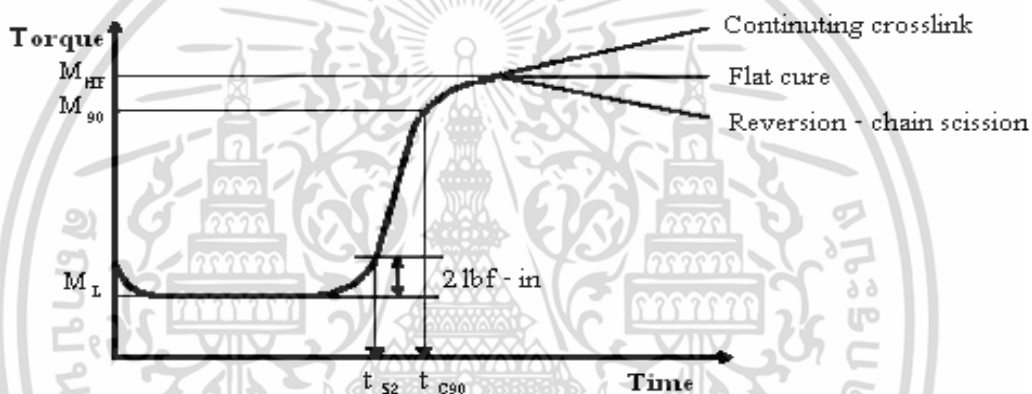
3.5.2 พฤติกรรมการเชื่อมโยงของยางผสมสูตร (Cure characteristic)

ศึกษาพฤติกรรมการเชื่อมโยงด้วยเครื่องวัดการเชื่อมโยงแบบไร้จานหมุน (MDR) ดังรูปที่ 3.4 ตามมาตรฐานการทดสอบ ASTM D 2084-11 [38] โดยตัดชิ้นยางผสมสูตรที่มีความหนาประมาณ 1 cm ทดสอบด้วยเครื่องวัดการเชื่อมโยงแบบไร้จานหมุน ที่อุณหภูมิ 150°C งานสั้นหมุน ทำมุม ± 3 องศา ทำการหาเวลาเริ่มเชื่อมโยง (t_2) เวลาเชื่อมโยง ($t_{c(90)}$) ของยางแต่ละสูตร ดังรูปที่ 3.5 และดัชนีอัตราการเชื่อมโยง (CRI) ซึ่งคำนวณได้จากสมการที่ 3.1

เอกสารนี้เป็นเอกสารที่สงวนไว้สำหรับการใช้งานเพื่อการศึกษาเท่านั้น ไม่อนุญาตให้นำไปใช้ประโยชน์ด้านการค้า ไม่ว่าจะกรณีใดๆ ทั้งสิ้น อีกทั้งห้ามมิให้ดัดแปลงเนื้อหา และต้องอ้างอิงถึงเจ้าของเอกสารทุกครั้งที่มีการนำไปใช้



รูปที่ 3.4 เครื่องวัดการเชื่อมโยงแบบไร้อานหมุน



รูปที่ 3.5 กราฟเชื่อมโยง (Cure curve) ของยางผสมสูตร แสดงเวลาเชื่อมโยง และเวลาเริ่มเชื่อมโยง [38]

- เมื่อ M_L คือ ค่าแรงบิดต่ำสุด (Minimum torque)
- M_{HF} คือ ค่าแรงบิดสูงสุดเมื่อเส้นกราฟคงที่ที่จุดสูงสุด (Plateau torque)
- M_{HR} คือ ค่าแรงบิดสูงสุดของเส้นกราฟที่สูงสุดแล้วลดลง (Reversion)
- M_H คือ ค่าแรงบิดสูงสุดของเส้นกราฟในเวลาทดสอบ เมื่อกราฟเพิ่มขึ้น (Marching)
- M_{90} คือ ค่าแรงบิดที่ 90 % ของการเชื่อมโยง สามารถคำนวณได้จาก
- $$M_{90} = M_L + 0.9(M_{HF} - M_L)$$
- t_{s2} คือ เวลาเริ่มเชื่อมโยงหรือสกอร์ช เป็นเวลาที่ใช้ในการเชื่อมโยง
- จนแรงบิดเพิ่ม 2 kgf.cm เทียบกับแรงบิดต่ำสุด

เอกสารนี้เป็นเอกสารที่สงวนไว้สำหรับการใช้งานเพื่อการศึกษาเท่านั้น ไม่อนุญาตให้นำไปใช้ประโยชน์ด้านการค้า ไม่ว่าจะกรณีใดๆ ทั้งสิ้น อีกทั้งห้ามมิให้ดัดแปลงเนื้อหา และต้องอ้างอิงถึงเจ้าของเอกสารทุกครั้งที่มีการนำไปใช้

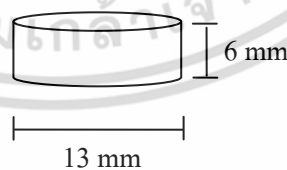
$t_{c(90)}$ คือ เวลาที่ใช้ในการเชื่อมโยงจากจุดเริ่มต้นจนถึงจุดที่มีการเชื่อมโยง 90 %
(Optimum cure time)

$$\text{Cure Rate Index (CRI)} = \frac{100}{t_{c(90)} - t_{s2}} \quad (3.1)$$

เนื่องจากในงานวิจัยนี้มีลักษณะของ กราฟเชื่อมโยง เป็นการเสียดสภาพแบบเกิดการเชื่อมโยง หรือมีความชันเพิ่มสูงขึ้น ซึ่งเกิดการเปลี่ยนแปลงความชันระหว่างช่วงการเชื่อมโยงสมบูรณ์ (Curing phase) กับช่วงหลังเชื่อมโยงสมบูรณ์ (Overcure phase) ที่ไม่ชัดเจน ผู้ทำวิจัยจึงได้ทำการ กำหนดค่าแรงบิดสูงสุดด้วยการลากกราฟเพื่อหาจุดตัดการเปลี่ยนแปลงความชันของกราฟเชื่อมโยง ในช่วงการเชื่อมโยงสมบูรณ์

3.5.3 การขึ้นรูปยางเชื่อมโยง

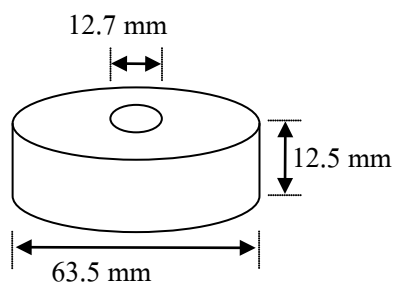
1. ตัดแผ่นยางผสมสูตรที่ได้ใส่แม่แบบสำหรับอัดเป็นแผ่น $150 \times 150 \times 2$ mm³ แล้วนำแม่แบบใส่เครื่องกดอัดขึ้นรูป (Compression molding machine) เพื่อทำการขึ้นรูปให้เป็นแผ่น โดยทำการกดอัดที่อุณหภูมิ 150°C เป็นเวลาเท่ากับ $t_{c(90)} \times 1.2$ (คูณ 1.2 เนื่องจากมีการถ่ายเทความร้อนผ่านแม่แบบไปสู่ชิ้นงานยาง)
2. นำยางผสมสูตรที่เตรียมได้มากดอัดขึ้นรูปในแม่แบบสำหรับชิ้นงานที่ใช้ทดสอบการเสียดรูปถาวรหลังการกดอัด ใส่เครื่องกดอัดขึ้นรูปที่อุณหภูมิ 150°C เป็นเวลา $t_{c(90)} + 2$ นาที (เนื่องจากแม่แบบที่ใช้มีความหนาของเหล็ก และชิ้นงานมีความหนาจึงจำเป็นต้องเพิ่มเวลาให้เกิดการเชื่อมโยงที่สมบูรณ์) ซึ่งชิ้นงานทดสอบที่ได้มีลักษณะดังรูปที่ 3.6



รูปที่ 3.6 ลักษณะชิ้นทดสอบการเสียดรูปถาวรการกดอัด [39]

3. นำยางผสมสูตรที่เตรียมได้มากดอัดขึ้นรูปในแม่แบบสำหรับชิ้นงานทดสอบการสึกหรอ ใส่ในเครื่องกดอัดขึ้นรูปที่อุณหภูมิ 150°C เป็นเวลา $t_{c(90)} + 5$ นาที (เนื่องจากแม่แบบที่ใช้มีความหนาของเหล็ก และชิ้นงานมีความหนาจึงจำเป็นต้องเพิ่มเวลาให้เกิดการเชื่อมโยงที่สมบูรณ์) โดยทำการอัดขึ้นรูปที่บริษัท Rubber Intertrade จำกัด ซึ่งชิ้นงานทดสอบที่ได้มีลักษณะดังรูปที่ 3.7

เอกสารนี้เป็นเอกสารที่สงวนไว้สำหรับการใช้งานเพื่อการศึกษาเท่านั้น ไม่อนุญาตให้นำไปใช้ประโยชน์ด้านการค้า ไม่ว่าจะกรณีใดๆ ทั้งสิ้น อีกทั้งห้ามมิให้ดัดแปลงเนื้อหา และต้องอ้างอิงถึงเจ้าของเอกสารทุกครั้งที่มีการนำไปใช้



รูปที่ 3.7 ลักษณะชิ้นงานทดสอบการสึกหรอ

3.5.4 การทดสอบสมบัติเชิงกลของยางเชื่อมโยง

3.5.4.1 การทดสอบแรงดึง (Tensile tests)

ทำการทดสอบด้วยเครื่อง ทดสอบอเนกประสงค์ (UTM) ดังรูปที่ 3.8 ตามมาตรฐาน ASTM D412 [40] โดยนำแผ่นยางเชื่อมโยงที่เตรียมได้จาก 3.5.3 (1) มาตัดเป็นรูปดัมเบลล์ (Dumbbell shape)

กำหนดสภาวะเครื่องทดสอบดังนี้

ความเร็วในการดึงยึด	500 mm/min
ความยาวเกจ หรือความยาวเริ่มต้น	25 mm
ค่าแรงสูงสุดที่เครื่องรับได้	5 kN
จำนวนชิ้นงานตัวอย่างที่ทดสอบ	8 ชิ้น



รูปที่ 3.8 เครื่องทดสอบอเนกประสงค์

เอกสารนี้เป็นเอกสารที่สงวนไว้สำหรับการใช้งานเพื่อการศึกษาเท่านั้น ไม่อนุญาตให้นำไปใช้ประโยชน์ด้านการค้า ไม่ว่าจะกรณีใดๆ ทั้งสิ้น อีกทั้งห้ามมิให้ดัดแปลงเนื้อหา และต้องอ้างอิงถึงเจ้าของเอกสารทุกครั้งที่มีการนำไปใช้

ผลการทดสอบ (รูปที่ 3.9) ที่ได้นำมาหาค่าต่างๆ ดังต่อไปนี้

- ความแข็งแรงดึง (Tensile strength) เท่ากับความเค้นสูงสุด (Maximum stress) ของวัสดุที่ได้รับได้เมื่อให้แรงดึง (หน่วยเป็นแรงต่อพื้นที่) หาได้จากสมการ

$$\text{ความแข็งแรงดึง} = F/A \quad (3.2)$$

เมื่อ F = แรงที่ใช้ในการดึง ณ จุดสูงสุด (N)

A = พื้นที่หน้าตัดของชิ้นงาน (mm^2)

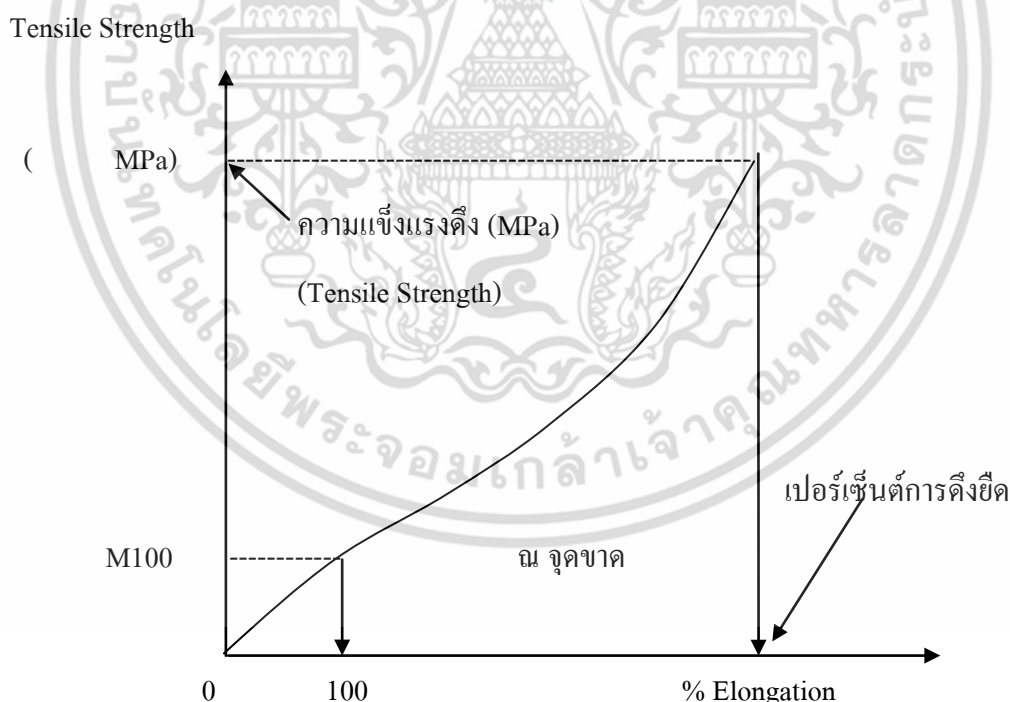
- เปอร์เซ็นต์การยืด ณ จุดขาด (Elongation at break) หาได้จากสมการ

$$\text{เปอร์เซ็นต์การยืด ณ จุดขาด} = \frac{l-l_0}{l_0} \times 100 \quad (3.3)$$

เมื่อ l = ความยาวสุดท้าย ณ จุดขาดของชิ้นงาน (mm)

l_0 = ความยาวเริ่มต้นของชิ้นงาน (mm)

- ค่ามอดูลัสของยาง (Rubber modulus) เป็นค่าความเค้น (Stress) ที่เปอร์เซ็นต์ความเครียดหนึ่งๆ เช่น M100 คือ ความเค้นที่ 100 % การดึงยืด ดังรูปที่ 3.9



รูปที่ 3.9 ตัวอย่างกราฟความเค้น – ความเครียด (Stress-strain curve) ของตัวอย่างประเภทยาง [25]

เอกสารนี้เป็นเอกสารที่สงวนไว้สำหรับการใช้งานเพื่อการศึกษาเท่านั้น ไม่อนุญาตให้นำไปใช้ประโยชน์ด้านการค้า ไม่ว่าจะกรณีใดๆ ทั้งสิ้น อีกทั้งห้ามมิให้ดัดแปลงเนื้อหา และต้องอ้างอิงถึงเจ้าของเอกสารทุกครั้งที่มีการนำไปใช้

3.5.4.2 การทดสอบความแข็งแรงฉีกขาด

ทำการทดสอบด้วยเครื่องทดสอบอเนกประสงค์ (UTM) ดังรูปที่ 3.8 ตามมาตรฐาน ASTM D624 [41] โดยนำแผ่นยางเชื่อมโยงที่เตรียมได้จาก 3.5.3 (1) มาตัดเป็นรูปปีกนก โดยกำหนดสภาวะเครื่องทดสอบดังนี้

ความเร็วในการดึงยึด	500 mm/min
ค่าแรงสูงสุดที่เครื่องรับได้	5 kN
จำนวนชิ้นงานตัวอย่างที่ทดสอบ	8 ชิ้น

ผลการทดสอบที่ได้นำมาหาค่าความแข็งแรงฉีกขาด (Tear strength) โดยหาได้จากสมการ

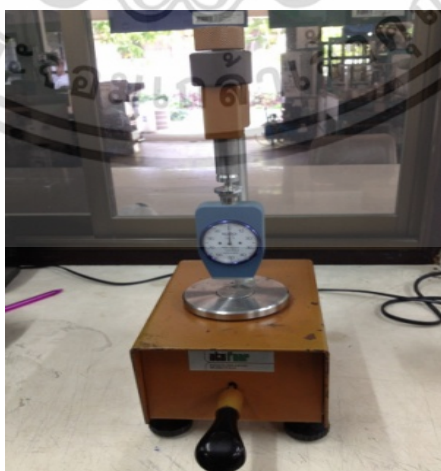
$$\text{ความแข็งแรงฉีกขาด} = F/d \quad (3.4)$$

เมื่อ F = แรงที่ใช้สูงสุดในการทำให้ชิ้นงานเสียหาย (N)

d = ความหนาของชิ้นงานโดยเฉลี่ย (mm)

3.5.4.3 การทดสอบความแข็งกด

โดย นำแผ่นยางเชื่อมโยงที่เตรียมได้จาก 3.5.3 (1) มาทดสอบด้วยเครื่องทดสอบความแข็งกดแบบน้ำหนักคงที่ (Dead load hardness tester) ชนิด Shore A ดังรูปที่ 3.10 ที่ อุณหภูมิห้องตามมาตรฐาน ASTM D2240 [42] ซึ่งอ่านค่าความแข็งกดได้โดยตรงจากเครื่อง จากการกดที่ตัวอย่าง โดยการนำแผ่นยางเชื่อมโยงที่เตรียมได้มาซ้อนกันให้ หนาอย่างน้อย 6 mm ค่าความแข็งกดอ่านได้หลังจากกดเป็นระยะเวลา 5 วินาที ใช้ชิ้นงานทดสอบจำนวน 10 ชิ้นในแต่ละสูตร โดยทำการทดสอบ 10 ครั้ง คือ 10 จุดในการกดต่อหนึ่งชิ้นงานทดสอบ



รูปที่ 3.10 เครื่องวัดความแข็งกด

เอกสารนี้เป็นเอกสารที่สงวนไว้สำหรับการใช้งานเพื่อการศึกษาเท่านั้น ไม่อนุญาตให้นำไปใช้ประโยชน์ด้านการค้า ไม่ว่าจะกรณีใดๆ ทั้งสิ้น อีกทั้งห้ามมิให้ดัดแปลงเนื้อหา และต้องอ้างอิงถึงเจ้าของเอกสารทุกครั้งที่มีการนำไปใช้

3.5.4.4 การทดสอบการเสีรูปลถวรหลังการกดอัด (Compression set)

ตามมาตรฐานการทดสอบ ASTM D 395-89 (Test Method B) [39] โดยนำแผ่นยางเชื่อมโยงที่เตรียมได้จาก 3.5.3 (2) มาวัดความหนาของชิ้นงานทดสอบ นำไปวางระหว่างแผ่นเหล็กทั้งสองของอุปกรณ์สำหรับทดสอบการอัดที่มีแท่งเหล็กกั้น (Spacer bars) เพื่อกำหนดระยะในการอัดยาง อัดชิ้นทดสอบให้มีความหนาเท่ากับแท่งเหล็กกั้น ซึ่งความหนาจะลดลงจากเดิมประมาณ 25 % ต่อมานำอุปกรณ์สำหรับทดสอบการอัดที่มีชิ้นทดสอบอยู่ซึ่งแสดงดังรูปที่ 3.11 เข้าไปในตู้อบที่มีอุณหภูมิ 70°C เป็นเวลา 22 ชั่วโมง หลังจากครบกำหนดนำชิ้นทดสอบออกจากอุปกรณ์ทดสอบ มาวางไว้ที่อุณหภูมิห้อง นาน 3.0 นาที วัดความหนาของชิ้นทดสอบโดยทดสอบ 4 ชิ้นต่อ 1 สูตร คำนวณผลดังสมการที่ 3.5

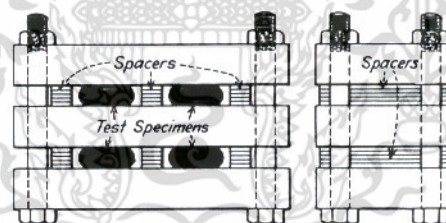
$$\% C_B = [(t_0 - t_1)/(t_0 - t_n)] \times 100 \quad (3.5)$$

เมื่อ C_B คือ การยุบตัวเนื่องจากแรงกด (%)

t_0 คือ ความหนาของชิ้นทดสอบเริ่มต้น (mm)

t_1 คือ ความหนาของชิ้นทดสอบหลังอบ (mm)

t_n คือ ความหนาของแท่งเหล็กกั้น (mm)



Device for Compression Set Test Under Constant Deflection, Test Method B

รูปที่ 3.11 อุปกรณ์ทดสอบการเสีรูปลถวรหลังการกดอัด [39]

3.5.4.5 การทดสอบการสึกหรอ

การทดสอบการสึกหรอ ตามมาตรฐาน BS-903 ด้วยเครื่อง Akron abrasion tester โดยนำแผ่นยางเชื่อมโยงที่เตรียมได้จาก 3.5.3 (3) มาทำการทดสอบที่บริษัท Rubber Intertrade จำกัด ชิ้นงานจะถูกหมุนด้วยความเร็ว 250 รอบต่อนาที และระนาบของล้อหินขัดกับระนาบของชิ้นงานจะทำมุมกัน 15 องศา หินขัดจะถูกดันด้วยแรง 45 N ก่อนการทดสอบจะทำการเปิดผิวหน้าของชิ้นงานเป็นจำนวน 300 รอบ และทำการทดสอบ 3,000 รอบ หลังจากนั้น หาน้ำหนักที่สูญเสีย

เอกสารนี้เป็นเอกสารที่สงวนไว้สำหรับการใช้งานเพื่อการศึกษาเท่านั้น ไม่อนุญาตให้นำไปใช้ประโยชน์ด้านการค้า ไม่ว่าจะกรณีใดๆ ทั้งสิ้น อีกทั้งห้ามมิให้ดัดแปลงเนื้อหา และต้องอ้างอิงถึงเจ้าของเอกสารทุกครั้งที่มีการนำไปใช้

ของชิ้นทดสอบ และคำนวณเป็นปริมาตรสูญเสีย ซึ่งสามารถคำนวณปริมาตรที่สูญเสียได้จากสมการ ดังนี้

$$\Delta V_c = \frac{\Delta m}{\rho} \quad (3.6)$$

เมื่อ ΔV_c คือ ปริมาตรของยางที่สูญเสีย
 Δm คือ น้ำหนักของชิ้นงานทดสอบที่สูญเสียไป
 ρ คือ ค่าความหนาแน่นของยาง

โดยที่ค่าความหนาแน่นของยางผสมสูตรสามารถหาได้จากการวัดด้วยเครื่องหาความหนาแน่น

3.5.5 การทดสอบสมบัติทางความร้อนเชิงกลพลวัตด้วยเทคนิค DMTA

นำแผ่นยางเชื่อมโยงที่เตรียมได้จาก 3.5.3 (1) มาตัดเป็นรูปสี่เหลี่ยม ขนาด $6 \times 40 \times 2 \text{ mm}^3$ แล้วนำไปทดสอบด้วยเครื่อง DMTA โดยใช้สภาวะในการทดลองดังนี้ [34]

รูปแบบในการทดสอบ	Tension geometry
ขนาดของกรอบยึดชิ้นงาน	Medium Frame
ความถี่	1.0 Hz
อุณหภูมิ	-150 ถึง 150 °C
อัตราการเพิ่มอุณหภูมิ	2 °C/min

โดยเครื่อง DMTA รายงานผลเป็นกราฟแสดง ค่ามอดุลัสสะสม (Storage modulus; E') ค่ามอดุลัสสูญเสีย (Loss modulus; E'') และค่าแทนเดลต้า (tan δ)

3.5.6 การศึกษาการบวมตัวของยางผสมสูตรในตัวทำละลาย

การศึกษาการบวมตัวของยางผสมสูตร ในตัวทำละลาย (Solvent swelling method) ทดสอบโดยเตรียมชิ้นงานยางเชื่อมโยงขนาด $20 \times 20 \times 2 \text{ mm}^3$ ทำการชั่งน้ำหนักของชิ้นงานก่อนนำไปแช่ลงในตัวทำละลายไดคลอโรมีเทน (Dichloromethane) ปริมาณ 25 mm จากนั้นนำชิ้นงานออกจากตัวทำละลายแล้วชั่งน้ำหนักทุก 24 ชั่วโมง [43] นำผลที่ได้มาคำนวณดังสมการ

$$S = \frac{w_i - w_0}{w_0} \times 100 \quad (3.7)$$

เมื่อ S = เปอร์เซ็นต์การบวมตัวของยางผสมสูตร

เอกสารนี้เป็นเอกสารที่สงวนไว้สำหรับการใช้งานเพื่อการศึกษาเท่านั้น ไม่อนุญาตให้นำไปใช้ประโยชน์ด้านการค้าไม่ว่ากรณีใดๆ ทั้งสิ้น อีกทั้งห้ามมิให้ดัดแปลงเนื้อหา และต้องอ้างอิงถึงเจ้าของเอกสารทุกครั้งที่มีการนำไปใช้

$$W_0 = \text{น้ำหนักของยางผสมสูตรก่อนแช่ในตัวทำละลาย (กรัม)}$$

$$W_i = \text{น้ำหนักของยางผสมสูตรหลังแช่ในตัวทำละลาย (กรัม)}$$

3.5.7 การศึกษาสัณฐานวิทยา

นำแผ่นยางเชื่อมโยงที่เตรียมได้จาก 3.5.3 (1) ไปแช่ในไนโตรเจนเหลวเป็นเวลา 30 นาที แล้วหักชิ้นงานที่อุณหภูมิต่ำ (Cryogenic crack) จากนั้นนำชิ้นงานที่เตรียมได้ไป ทำการเคลือบทองคำ แล้วศึกษาชิ้นงานด้วยกล้องจุลทรรศน์อิเล็กตรอนแบบส่องกราดเพื่อศึกษาการกระจายตัวของเถ้ากลบดำ และรอยต่อระหว่างวัฏภาคระหว่างเถ้ากลบดำกับยางไนไตรล์



เอกสารนี้เป็นเอกสารที่สงวนไว้สำหรับการใช้งานเพื่อการศึกษาเท่านั้น ไม่อนุญาตให้นำไปใช้ประโยชน์ด้านการค้า ไม่ว่าจะกรณีใดๆ ทั้งสิ้น อีกทั้งห้ามมิให้ดัดแปลงเนื้อหา และต้องอ้างอิงถึงเจ้าของเอกสารทุกครั้งที่มีการนำไปใช้

บทที่ 4

ผลการทดลอง และอภิปรายผล

งานวิจัยนี้ทำการศึกษาการใช้เส้นใยแก้วเคลือบดำ เป็นสารตัวเติม (Filler) ในยางไนไตรล์ (NBR) โดยนำเส้นใยแก้วเคลือบดำมาทำการ แยกขนาดด้วยการร่อน และทำการบดละเอียด จากนั้นนำไปผสมกับยางไนไตรล์และสารเคมีด้วยเครื่องผสมสองลูกกลิ้ง ได้ยางผสมสูตร แล้วทำการอัดขึ้นรูป จากนั้นทำการศึกษา โดยแบ่งการศึกษาออกเป็น 4 หัวข้อดังนี้

- ผลของการใช้ พอลิเอทิลีน ไกลคอล (PEG) และสารกลุ่มซิลิโคน Si-69 ในปริมาณ 5 และ 3 % โดยน้ำหนักเส้นใยแก้วเคลือบดำตามลำดับ
- ผลของขนาดเส้นใยแก้วเคลือบดำ ที่มีผลต่อยาง ไนไตรล์ ได้แก่ 100-150, 150-200, 200-250, เล็กกว่า 250 mesh และเส้นใยแก้วเคลือบดำบดละเอียด
- ผลของปริมาณเส้นใยแก้วเคลือบดำที่มีผลต่อยาง ไนไตรล์ ได้แก่ 0, 20, 40, 60, 80, 100 และ 120 phr
- ผลของการใช้เส้นใยแก้วเคลือบดำในยางไนไตรล์เทียบกับสารตัวเติมชนิดอื่น ได้แก่ แคลเซียมคาร์บอเนต เหมดำ และซิลิกา

ซึ่งได้ทำการศึกษาพฤติกรรมการเชื่อมโยงของยาง สมบัติเชิงกล สมบัติความร้อนเชิงกล พลวัต และสัณฐานวิทยา สำหรับอักษรย่อของสูตรที่ใช้ในงานวิจัย แสดงได้ดังตารางที่ 4.1

ตารางที่ 4.1 อักษรย่อที่ใช้ในงานวิจัย

อักษรย่อ	คำอธิบายอักษรย่อ
F-BRHA(#1)	เส้นใยแก้วเคลือบดำที่ผ่านการแยกขนาด 100-150 mesh (106-149 μm)
F-BRHA(#2)	เส้นใยแก้วเคลือบดำที่ผ่านการแยกขนาด 150-200 mesh (75-106 μm)
F-BRHA(#3)	เส้นใยแก้วเคลือบดำที่ผ่านการแยกขนาด 200-250 mesh (63-75 μm)
F-BRHA(#4)	เส้นใยแก้วเคลือบดำที่ผ่านการแยกขนาดเล็กกว่า 250 mesh ($>63 \mu\text{m}$)
F-BRHA-G	เส้นใยแก้วเคลือบดำที่ผ่านการบดละเอียด
BRHA(#1)	ยาง NBR ผสม F-BRHA(#1)
BRHA(#2)	ยาง NBR ผสม F-BRHA(#2)
BRHA(#3)	ยาง NBR ผสม F-BRHA(#3)
BRHA(#4)	ยาง NBR ผสม F-BRHA(#4)

เอกสารนี้เป็นเอกสารที่สงวนไว้สำหรับการใช้งานเพื่อการศึกษาเท่านั้น ไม่อนุญาตให้นำไปเผยแพร่ในวงกว้างโดยไม่ได้รับอนุญาต หากมีข้อผิดพลาดประการใด ขออภัยเป็นอย่างสูง และต้องอ้างอิงถึงเจ้าของเอกสารทุกครั้งที่มีการนำไปใช้

ตารางที่ 4.1 (ต่อ)

อักษรย่อ	คำอธิบายอักษรย่อ
BRHA-G	ยาง NBR ผสม F-BRHA-G
BRHA..., P	ยาง NBR ผสมเถ้าแกลบดำที่ปรับปรุงด้วย PEG ในปริมาณ 5 % โดยน้ำหนักเถ้าแกลบดำ
BRHA..., S	ยาง NBR ผสมเถ้าแกลบดำที่ปรับปรุงด้วยสารควบคุมหิน Si-69 ในปริมาณ 3 % โดยน้ำหนักเถ้าแกลบดำ
BRHA..., P+S	ยาง NBR ผสมเถ้าแกลบดำที่ปรับปรุงด้วย PEG และสารควบคุมหิน Si-69 ในปริมาณ 5 และ 3 % โดยน้ำหนักเถ้าแกลบดำตามลำดับ
Gum	ยาง NBR ที่ไม่มีสารตัวเติม (No Filler)
CC	ยาง NBR ผสมแคลเซียมคาร์บอเนต
Si, P+S	ยาง NBR ผสมซิลิกาที่ปรับปรุงสารตัวเติมด้วย PEG และสารควบคุมหิน Si-69 ในปริมาณ 5 และ 3 % โดยน้ำหนักซิลิกาตามลำดับ
CB	ยาง NBR ผสมเขม่าดำ

4.1 การวิเคราะห์เถ้าแกลบดำ

เถ้าแกลบดำจากโรงงานผลิตไฟฟ้าชีวมวล (จังหวัดชัยนาท) เมื่อทำการร่อนผ่านตะแกรงขนาดต่างๆ 4 ชั้นพบว่าเถ้าแกลบดำ F-BRHA(#4) ในปริมาณมากที่สุด คือ 43.89 % โดยน้ำหนัก ดังแสดงในตารางที่ 4.2 หลังจากนั้น นำมาบดละเอียดได้เถ้าแกลบดำทั้งหมด 5 ขนาดดังนี้ F-BRHA(#1), F-BRHA(#2), F-BRHA(#3), F-BRHA(#4) และ F-BRHA-G และเมื่อนำเถ้าแกลบดำมาวิเคราะห์หาสารประกอบด้วยเทคนิค XRF แสดงในตารางที่ 4.3 เห็นว่าเถ้าแกลบดำนี้มีซิลิกาเป็นองค์ประกอบหลักในปริมาณ 74 %

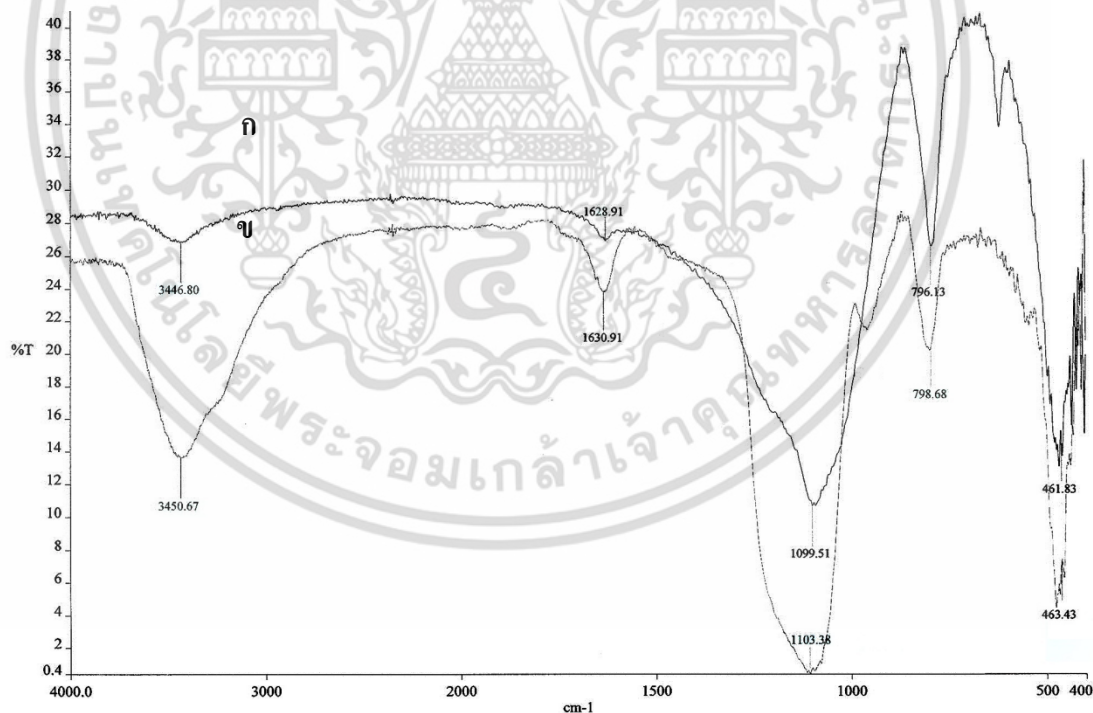
ตารางที่ 4.2 ปริมาณของเถ้าแกลบดำขนาดต่างๆ จากโรงงานผลิตไฟฟ้าชีวมวล

เถ้าแกลบดำ	ปริมาณ (% โดยน้ำหนัก)
F-BRHA(#1)	9.72
F-BRHA(#2)	18.44
F-BRHA(#3)	27.42
F-BRHA(#4)	43.89
Residue	0.53

เอกสารนี้เป็นเอกสารที่สงวนไว้สำหรับการใช้งานเพื่อการศึกษาเท่านั้น ไม่อนุญาตให้นำไปใช้ประโยชน์ด้านการค้าไม่ว่ากรณีใดๆ ทั้งสิ้น อีกทั้งห้ามมิให้ดัดแปลงเนื้อหา และต้องอ้างอิงถึงเจ้าของเอกสารทุกครั้งที่มีการนำไปใช้

ตารางที่ 4.3 องค์ประกอบทางเคมีของเถ้าแกลบดำจากโรงงานผลิตไฟฟ้าชีวมวล

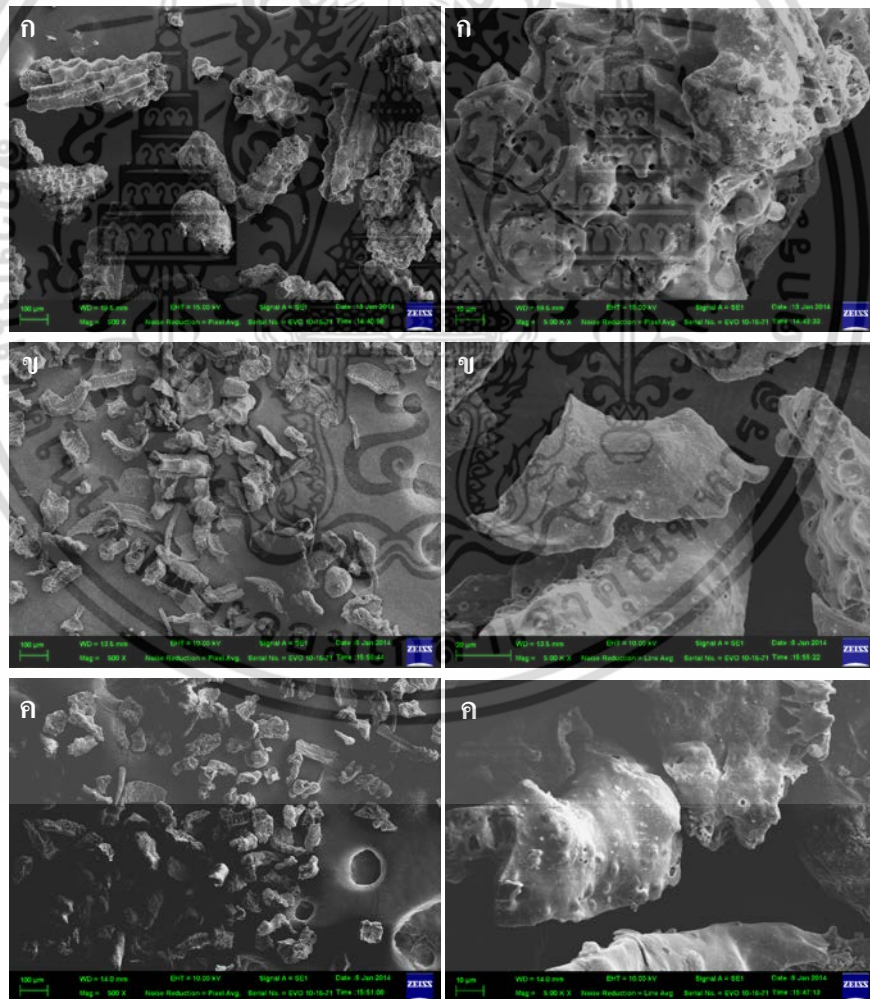
สารประกอบ	ปริมาณ(% โดยน้ำหนัก)
SiO ₂	74.00
K ₂ O	11.80
Na ₂ O	3.10
MgO	2.35
Fe ₂ O ₃	2.35
CaO	2.35
MnO	0.75
TiO ₂	1.21
Al ₂ O ₃	0.29
P ₂ O ₅	1.26
Loss on ignition (LOI)	0.54



รูปที่ 4.1 สเปกตรัม FT-IR ของ ก) เถ้าแกลบดำ และ ข) ซิลิกาชนิดตกตะกอน

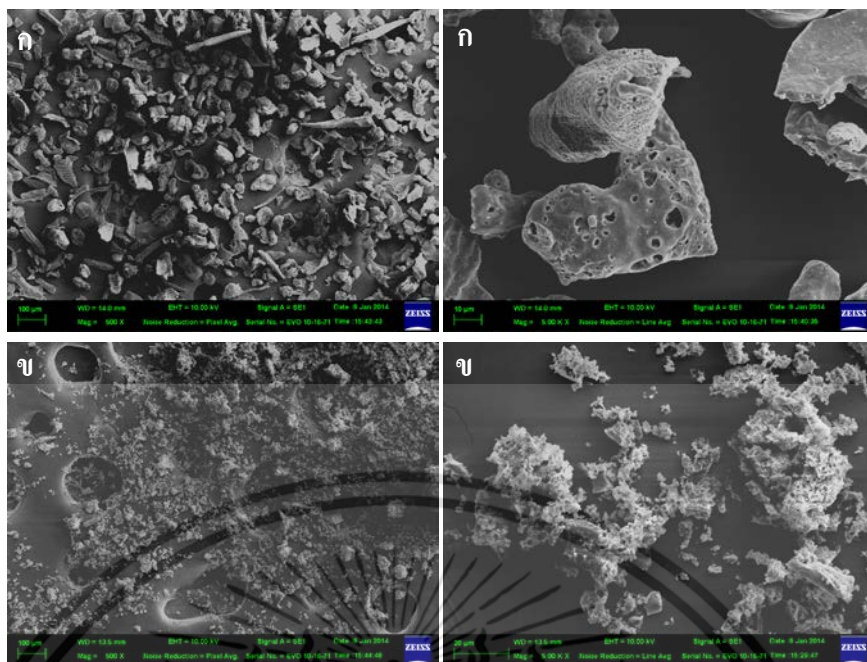
จากรูปที่ 4.1 แสดงตำแหน่งเลขคลื่นของหมู่ฟังก์ชันทางเคมีของเถ้าแกลบดำ (ก) และซิลิกาชนิดตกตะกอน (ข) โดยใช้เทคนิค FT-IR พบแถบดูดกลืนที่ประมาณ 3450 cm⁻¹ ซึ่งแสดงถึงการสั่นเอกซาสเป็นเอกซาสที่สงวนไว้สำหรับการใช้งานเพื่อการศึกษาเท่านั้น ไม่อนุญาตให้นำไปใช้ประโยชน์ด้านการค้าไม่ว่ากรณีใดๆ ทั้งสิ้น อีกทั้งห้ามมิให้ดัดแปลงเนื้อหา และต้องอ้างอิงถึงเจ้าของเอกสารทุกครั้งที่มีการนำไปใช้

แบบยืด (Stretching vibration) ของหมู่ไฮดรอกซิล แถบดูดกลืนที่ประมาณ 1103 cm^{-1} ซึ่งแสดงถึงการสั่นแบบยืดของหมู่ฟังก์ชันไฮดรอกซิลและแถบการดูดกลืนที่ประมาณ 463 และ 798 cm^{-1} แสดงถึงการสั่นแบบหักงอ (Bending vibration) ของหมู่ไฮดรอกซิล ซึ่งสามารถยืนยันได้ว่าทั้งซิติกาชนิดตกตะกอนและเถ้าแกลบคามีหมู่ฟังก์ชันทางเคมีที่เหมือนกัน แต่ซิติกาชนิดตกตะกอนมีหมู่ไฮดรอกซิลในปริมาณที่มากกว่า โดยตรวจพบการปรากฏสัญญาณอย่างเห็นได้ชัดของหมู่ฟังก์ชันไฮดรอกซิล ซึ่งผลการทดลองดังกล่าวสอดคล้องกับผลการทดลอง ที่พบจากงานวิจัยของชวยากรณ์ เพ็ชฌุไฟศัญญ์และคณะ [44]พบว่าเมื่อนำเถ้าแกลบ ไปตรวจวัดโครงสร้างทางเคมีด้วยเทคนิค FT-IR ตรวจพบสัญญาณอย่างเห็นได้ชัดของหมู่ฟังก์ชันไฮดรอกซิล (Si-O-Si) ที่ความยาวคลื่น 1076 cm^{-1} ในขณะที่ปรากฏสัญญาณของหมู่ฟังก์ชันไฮดรอกซิล (Si-OH) ที่ความยาวคลื่น $3200-3750\text{ cm}^{-1}$



รูปที่ 4.2 ลักษณะสัญญาณวิทยาของเถ้าแกลบคามีจาก SEM ของ (ก) F-BRHA(#1); (ข) F-BRHA(#2) และ (ค) F-BRHA(#3) ที่กำลังขยาย 500 (ซ้าย) และ 5000 (ขวา) เท่า

เอกสารนี้เป็นเอกสารที่สงวนไว้สำหรับการใช้งานเพื่อการศึกษาเท่านั้น ไม่อนุญาตให้นำไปใช้ประโยชน์ด้านการค้า ไม่ว่าจะกรณีใดๆ ทั้งสิ้น อีกทั้งห้ามมิให้ตัดแปลงเนื้อหา และต้องอ้างอิงถึงเจ้าของเอกสารทุกครั้งที่มีการนำไปใช้



รูปที่ 4.3 ลักษณะสัณฐานวิทยาของเปลือกไข่จาก SEM ของ (ก) F-BRHA(#4) และ (ข) F-BRHA-G ที่กำลังขยาย 500 (ซ้าย) และ 5000 (ขวา) เท่า

จาก รูปที่ 4.2-4.3 แสดงลักษณะทางสัณฐานวิทยาของ เปลือกไข่ขนาดต่างๆ ที่ได้จากการตรวจวัดด้วยเทคนิค SEM พบว่าลักษณะทางสัณฐานวิทยาของ เปลือกไข่ที่กำลังขยาย 500 และ 5000 เท่าอนุภาคของ เปลือกไข่ มีการกระจายตัว ดีไม่จับตัวรวมกันเป็นก้อน มีรูพรุน มีรูปร่างที่หลากหลายมีทั้งที่เป็นแท่งและแผ่นเหลี่ยม แต่เมื่อทำการบดละเอียดเปลือกไข่ ทำให้อนุภาคเปลือกไข่แตกออกเป็นอนุภาคเล็กๆ จากนั้นทำการตรวจสอบขนาดอนุภาคเปลือกไข่ในแต่ละขนาดด้วยเครื่องวัดขนาดอนุภาค (Particle size analyzer) และพื้นที่ผิวจำเพาะ จากเทคนิค BET ซึ่งแสดงดังตารางที่ 4.4 พบว่าเปลือกไข่เกรด F-BRHA(#1) มีขนาดอนุภาคเฉลี่ย ประมาณ $128.9 \mu\text{m}$ และมีพื้นที่ผิวจำเพาะเท่ากับ $6.1 \text{ m}^2/\text{g}$ และเมื่อนำเปลือกไข่ไปบดละเอียด (F-BRHA-G) ทำให้มีขนาดอนุภาคเล็กลงอย่างเห็นได้ชัดโดยมีขนาดอนุภาคเฉลี่ยประมาณ $6.1 \mu\text{m}$ และมีพื้นที่ผิวจำเพาะเท่ากับ $17.3 \text{ m}^2/\text{g}$ จะสังเกตได้ว่าพื้นที่ผิวจำเพาะเพิ่มขึ้นเล็กน้อย ทั้งนี้เนื่องจากสัณฐานวิทยาของเปลือกไข่มีลักษณะเป็นรูพรุน (แสดงในรูปที่ 4.2-4.3) เมื่อทำการทดสอบหาพื้นที่ผิวจำเพาะเป็น จะตรวจวัดทั้งพื้นที่ผิวสัมผัสภายนอก และพื้นที่ผิวภายในรูพรุน เมื่อทำการบดละเอียดทำให้เกิดการแตกออกของอนุภาค ส่งผลให้เปลือกไข่บดละเอียดมีพื้นที่ผิวสัมผัสมากขึ้นเมื่อเปรียบเทียบกับเปลือกไข่ขนาดอื่นๆ

เอกสารนี้เป็นเอกสารที่สงวนไว้สำหรับการใช้งานเพื่อการศึกษาเท่านั้น ไม่อนุญาตให้นำไปใช้ประโยชน์ด้านการค้า ไม่ว่าจะกรณีใดๆ ทั้งสิ้น อีกทั้งห้ามมิให้ดัดแปลงเนื้อหา และต้องอ้างอิงถึงเจ้าของเอกสารทุกครั้งที่มีการนำไปใช้

ตารางที่ 4.4 ขนาดอนุภาค โดยเฉลี่ยและพื้นที่ผิวจำเพาะของถ้ำเคลือบดำในแต่ละขนาด

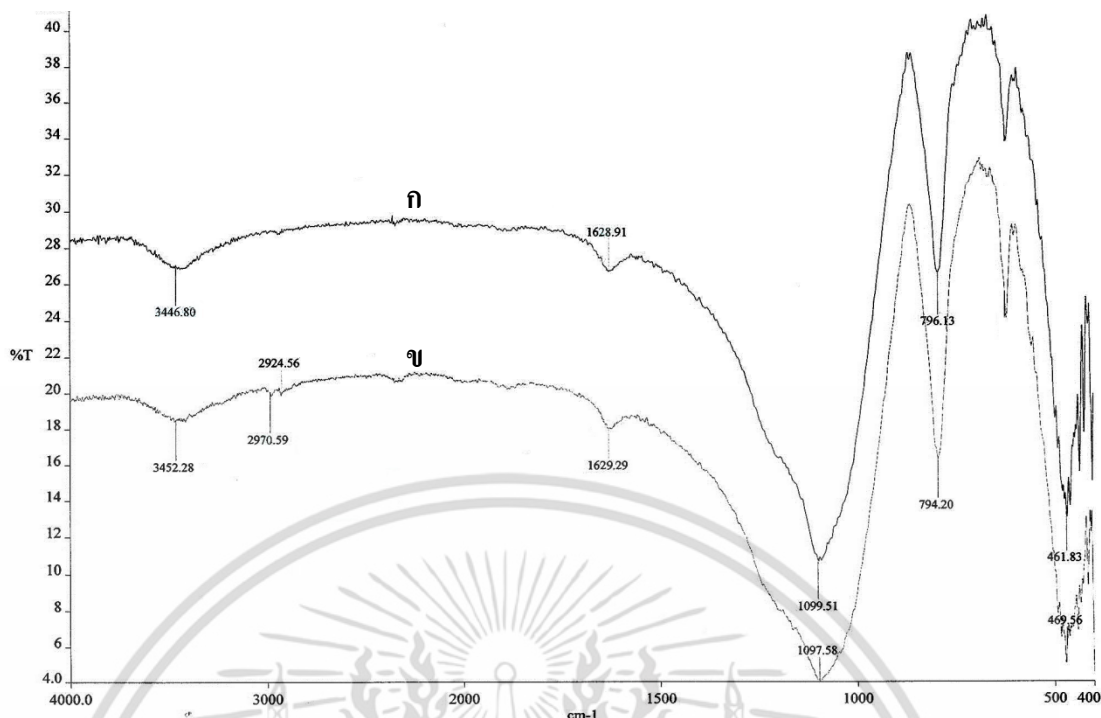
	F-BRHA (#1)	F-BRHA (#2)	F-BRHA (#3)	F-BRHA (#4)	F-BRHA-G
ขนาดอนุภาค โดยเฉลี่ย (μm)	128.9 \pm 1	87.3 \pm 1	67.7 \pm 0	41.1 \pm 1	6.1 \pm 0.9
พื้นที่ผิวจำเพาะ; BET (m^2/g)	6.1	13.8	15.9	16.3	17.3

4.2 ผลของการปรับปรุงถ้ำเคลือบดำด้วย PEG และสารกลุ่มควาไซเลน Si-69

จากการวิเคราะห์ลักษณะพื้นผิวโดยใช้เทคนิค SEM พบว่าถ้ำเคลือบดำมีโครงสร้างลักษณะเป็นรูพรุน ดังรูปที่ 4.2 นอกจากนี้ จากผลการวิเคราะห์ ถ้ำเคลือบดำด้วยเทคนิค XRF และ FT-IR ในตารางที่ 4.2 และ รูปที่ 4.1 แสดงให้เห็นว่าถ้ำเคลือบดำมีซิลิกาเป็นองค์ประกอบจำนวนมากถึงประมาณ 74% และตรวจพบหมู่ฟังก์ชันไซลานอลในถ้ำเคลือบดำ ซึ่งเป็นองค์ประกอบที่มีขั้วจึงทำการเคลือบผิวอนุภาคถ้ำเคลือบดำด้วย PEG เพื่อป้องกันการดูดซับสารเคมีเชื่อมโยงที่มีขั้ว เช่น ซิงค์ออกไซด์ และสารเร่งปฏิกิริยา การเชื่อมโยงเป็นต้นและใช้สารกลุ่มควาไซเลน Si-69 เพื่อเพิ่มอันตรกิริยาระหว่างยางกับซิลิกา [8] งานวิจัยนี้จึงทำการเปรียบเทียบผลของการปรับปรุงถ้ำเคลือบดำด้วย PEG และสารกลุ่มควาไซเลน Si-69 ที่มีผลต่อพฤติกรรมเชื่อมโยง และสมบัติเชิงกลของยางโดยใช้ถ้ำเคลือบดำ BRHA(#4) ในปริมาณ 20 phr เนื่องจากข้อจำกัดทางวัตถุดิบในการทดลอง

4.2.1 การปรับปรุงถ้ำเคลือบดำด้วยสารกลุ่มควาไซเลน Si-69

ในงานวิจัยนี้ได้ปรับปรุงถ้ำเคลือบดำด้วยสารกลุ่มควาไซเลน Si-69 ซึ่งสามารถทำการพิสูจน์เอกลักษณ์ผลของการปรับปรุงพื้นผิวของถ้ำเคลือบดำด้วยเทคนิค FT-IR ซึ่งผลการวิเคราะห์แสดงในรูปที่ 4.4

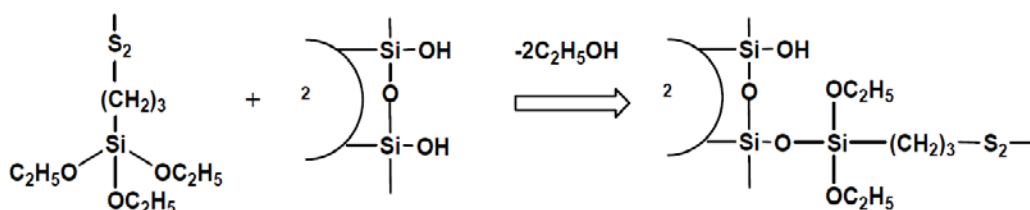


รูปที่ 4.4 สเปกตรัม FT-IR ของ ก) ถ่านแกลบดำไม่ได้ปรับปรุงพื้นผิวและ ข) ถ่านแกลบดำที่ปรับปรุงพื้นผิวด้วยสารกลุ่มควาซิลเลน Si-69

จากรูปที่ 4.4 พบว่าถ่านแกลบดำทั้งที่ปรับปรุงและไม่ได้ปรับปรุงพื้นผิวด้วยสารกลุ่มควาซิลเลน Si-69 มีแถบดูดกลืนที่ประมาณ 3450 cm^{-1} ซึ่งการดูดกลืนที่ประมาณ 1100 cm^{-1} ซึ่งแสดงถึงการสั่นแบบยืดของหมู่ไฮดรอกซิลและแถบการดูดกลืนที่ประมาณ 465 และ 795 cm^{-1} แสดงถึงการสั่นแบบหักงอของหมู่ไฮดรอกซิล แต่สำหรับแถบการดูดกลืนที่พบหลังจากทำการปรับปรุงพื้นผิวถ่านแกลบดำด้วยสารกลุ่มควาซิลเลน Si-69 คือ แถบการดูดกลืนที่ประมาณ $2927\text{-}2970\text{ cm}^{-1}$ ซึ่งแสดงถึงการสั่นแบบยืดของหมู่ฟังก์ชัน CH_2 ในโมเลกุลของสารกลุ่มควาซิลเลน Si-69 ที่อยู่บนพื้นผิวถ่านแกลบดำที่ปรับปรุงด้วยสารกลุ่มควาซิลเลน Si-69 นอกจากนี้ยังพบว่ายังมีแถบดูดกลืนที่ประมาณ 1100 cm^{-1} กว้างมากขึ้น แสดงถึงการเพิ่มขึ้นของหมู่ไฮดรอกซิล เนื่องจากหมู่อัลคอกซี (Alkoxy) ของสารกลุ่มควาซิลเลน Si-69 นั้นทำปฏิกิริยากับหมู่ไฮดรอกซิลที่อยู่บนพื้นผิวของซิลิกาในถ่านแกลบดำ ซึ่งสามารถอธิบายได้ตามปฏิกิริยาที่แสดงในรูปที่ 4.5 ซึ่งจากผลการทดลองข้างต้นสอดคล้องกับผลการทดลองในงานวิจัยของ เซวาน์ ศรีเพชรดี [45] และงานวิจัยของ ปิยะภรณ์ นิลทุ้ย และคณะ [34] ได้ทำการปรับปรุงซิลิกาชนิดตกตะกอนด้วยสารกลุ่มควาซิลเลน Si-69 แล้วทดสอบด้วยเทคนิค FT-IR พบว่าหลังจากที่ทำการปรับปรุงซิลิกาชนิดตกตะกอนด้วยสารกลุ่มควาซิลเลน Si-69 ปรากฏแถบดูดกลืนในช่วง $2800\text{-}3000$

เอกสารนี้เป็นเอกสารที่สงวนไว้สำหรับการใช้งานเพื่อการศึกษาเท่านั้น ไม่อนุญาตให้นำไปใช้ประโยชน์ด้านการค้า ไม่ว่าจะกรณีใดๆ ทั้งสิ้น อีกทั้งห้ามมิให้ดัดแปลงเนื้อหา และต้องอ้างอิงถึงเจ้าของเอกสารทุกครั้งที่มีการนำไปใช้

cm^{-1} ซึ่งเป็นการสั่นแบบยืดของหมู่ฟังก์ชัน C-H ของสารคู่ควบไซเลน Si-69 บนผิวของอนุภาคซิลิกาชนิดคตะกอน



รูปที่ 4.5 ปฏิกิริยาของซิลิกาในถ้ำเคลือบดำและชนิดคตะกอนด้วยสารคู่ควบไซเลน Si-69 [45]

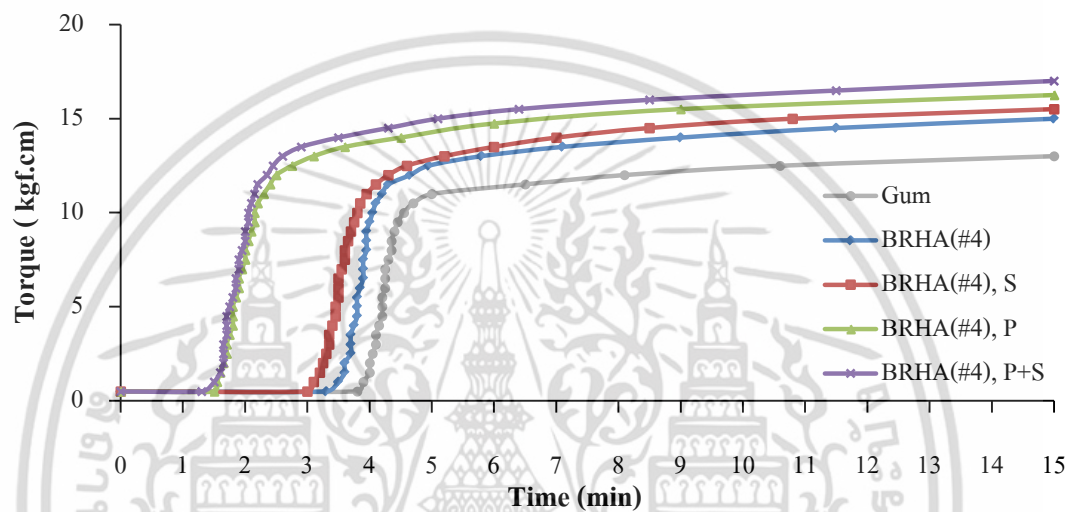
4.2.2 พฤติกรรมเชื่อมโยงของยางผสมสูตร

การศึกษาพฤติกรรมการเชื่อมโยง ของยาง ได้แก่ เวลาเริ่มเชื่อมโยง (t_{c2}) เวลาเชื่อมโยง (t_{c90}) และดัชนีอัตราเร็วการเชื่อมโยง (CRI) งานวิจัยนี้ได้ทดสอบด้วยเครื่องเอ็มเคอร์ที่อุณหภูมิ 150°C นอกจากนี้ได้ทำการทดสอบหาค่าความหนืดมูนนี้ที่สภาวะ ML (1+4) ที่อุณหภูมิ 100°C โดยที่ยางผสมสูตรถูกควบคุมขนาดของถ้ำเคลือบดำคือ BRHA(#4) ในปริมาณ 20 phr

จากรูปที่ 4.6 และตารางที่ 4.5 แสดงให้เห็นว่าเมื่อใช้ถ้ำเคลือบดำเป็นสารตัวเติม (BRHA(#4)) ทำให้มีพฤติกรรมการเชื่อมโยงที่เร็วกว่ายางผสมสูตรไม่มีสารตัวเติม ทั้งนี้เนื่องจากการใช้ถ้ำเคลือบดำเป็นสารตัวเติมทำให้สามารถนำความร้อนได้ดีกว่า เพราะมีปริมาณยางที่เป็นฉนวนทางความร้อนน้อยลงทำให้ยางผสมสูตรสามารถนำความร้อนได้ดีขึ้น นอกจากนี้ถ้ำเคลือบดำยังมีองค์ประกอบของโลหะออกไซด์ เช่น แมกนีเซียมออกไซด์ ซึ่งสามารถทำหน้าที่เป็นสารกระตุ้นการเชื่อมโยง (Activator) ได้เหมือนซิงค์ออกไซด์ เมื่อปรับปรุงถ้ำเคลือบดำด้วย PEG (BRHA(#4), P และ BRHA(#4), P+S) นั้นมีเวลาเริ่มเชื่อมโยง เวลาเชื่อมโยงน้อย กว่าและค่าดัชนีอัตราเร็วการเชื่อมโยง มากกว่ายางผสมสูตรที่ไม่ได้ปรับปรุงถ้ำเคลือบดำด้วย PEG (BRHA(#4) และ BRHA(#4), S) เนื่องจาก PEG ไปเคลือบผิวถ้ำเคลือบดำโดยไปจับหมู่ฟังก์ชัน (-OH) ของไซลานอลบนพื้นผิว จึงลดความมีขั้ว ซึ่งช่วยลดการดูดซับสารเร่งปฏิกิริยาการเชื่อมโยงหรือ สารกระตุ้นการเชื่อมโยงของถ้ำเคลือบดำ ส่งผลให้สามารถเกิดการเชื่อมโยงได้เร็วขึ้น [8] ในขณะที่ยางผสมสูตรที่ปรับปรุงถ้ำเคลือบดำด้วยสารคู่ควบไซเลน Si-69 (BRHA(#4), S และ BRHA(#4), P+S) ส่งผลให้เวลาเชื่อมโยงลดลงเพียงเล็กน้อยเมื่อเทียบกับ สูตรที่ไม่ได้ปรับปรุงถ้ำเคลือบดำด้วยสารคู่ควบไซเลน Si-69 (BRHA(#4) และ BRHA(#4), S) ซึ่งสอดคล้องกับงานวิจัยของ เอกชัย วิมลมาลา และคณะ [31] ที่การปรับปรุงถ้ำเคลือบดำด้วยสารคู่ควบไซเลน Si-69 ส่งผลให้เวลา

เอกสารนี้เป็นเอกสารที่สงวนไว้สำหรับการใช้งานเพื่อการศึกษาเท่านั้น ไม่อนุญาตให้นำไปใช้ประโยชน์ด้านการค้า ไม่ว่าจะกรณีใดๆ ทั้งสิ้น อีกทั้งห้ามมิให้ดัดแปลงเนื้อหา และต้องอ้างอิงถึงเจ้าของเอกสารทุกครั้งที่มีการนำไปใช้

เชื่อมโยงลดลงเนื่องจากอนุโมลอิสระของกำมะถันจากสารคู่ควบไซเลน Si-69 นั้นพร้อมเข้าไปเกิดพันธะเชื่อมโยงที่สมบูรณ์ได้เร็วขึ้น และจากผลการทดลองการปรับปรุงแก้้แกลบดำด้วย PEG และสารคู่ควบไซเลน Si-69 นั้นพบว่าไม่มีผลต่อค่าความหนืดมูนนี้อย่างมีนัยสำคัญและพบว่ายางผสมสูตรเกิดการเสียดสภาพในลักษณะเส้นกราฟมีความชันมากขึ้นหรือมีค่ามอดุลัสของยางมากขึ้น (Marching modulus) แสดงว่ายางมีองศาการเชื่อมโยงมากขึ้น เนื่องจากเกิดการเสียดสภาพแบบเชื่อมโยง ซึ่งเป็นที่ทราบโดยทั่วกันว่ายางไนไตรล์มีลักษณะการเสียดสภาพแบบเชื่อมโยง [17, 25]



รูปที่ 4.6 ผลของการปรับปรุงแก้้แกลบดำที่มีต่อพฤติกรรมเชื่อมโยงของยางผสมสูตรโดยมีแก้้แกลบดำเป็นสารตัวเติมปริมาณ 20 phr

ตารางที่ 4.5 ผลของการปรับปรุงแก้้แกลบดำที่มีต่อพฤติกรรมเชื่อมโยงและความหนืดมูนนีของยางผสมสูตรโดยมีแก้้แกลบดำเป็นสารตัวเติมปริมาณ 20 phr

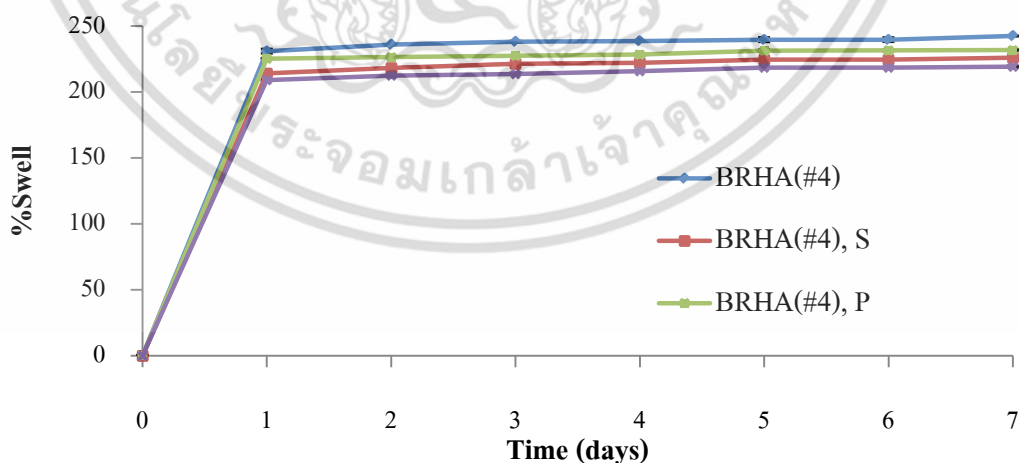
Rubber formula	Mooney viscosity (ML1+4 (100°C))	M_L (kgf.cm)	M_H (kgf.cm)	t_{s2} (min)	t_{c90} (min)	CRI (min^{-1})
Gum	21.9	1.0	10.5	3.8	4.6	125.0
BRHA(#4)	25.1	0.5	11.0	3.4	4.1	142.8
BRHA(#4), S	24.8	0.5	11.3	3.2	3.8	166.6
BRHA(#4), P	26.1	0.5	11.5	1.6	2.1	200.0
BRHA(#4), P+S	25.5	0.5	12.0	1.6	2.1	200.0

เอกสารนี้เป็นเอกสารที่สงวนไว้สำหรับการใช้งานเพื่อการศึกษาเท่านั้น ไม่อนุญาตให้นำไปใช้ประโยชน์ด้านการค้าไม่ว่ากรณีใดๆ ทั้งสิ้น อีกทั้งห้ามมิให้ดัดแปลงเนื้อหา และต้องอ้างอิงถึงเจ้าของเอกสารทุกครั้งที่มีการนำไปใช้

4.2.3 การบวมตัวของยางผสมสูตรในตัวทำละลาย

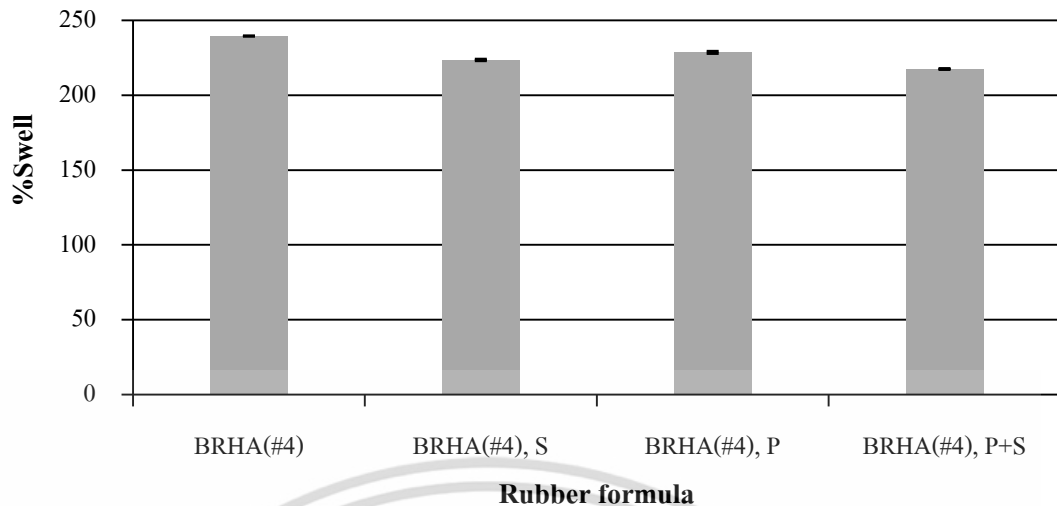
ค่าการบวมตัว (Swell) นั้นมีความสัมพันธ์กับความหนาแน่นเชื่อมโยงของยาง ซึ่งเป็นสมบัติที่ใช้บ่งบอกถึงสมบัติการเสีรูปร่างของยาง โดยยางที่มีความหนาแน่นเชื่อมโยงสูงทำให้ยางคงสมบัติของยางได้แก่ ความยืดหยุ่น ความแข็งแรง เสถียรภาพทางรูปร่าง ดังนั้นเมื่อยางได้รับแรงกระทำ ทำให้เกิดการเปลี่ยนรูปร่างและเมื่อปล่อยแรงกระทำทำให้ยางสามารถคืนสู่รูปร่างเดิมได้ดีกว่ายางที่มีความหนาแน่นเชื่อมโยงที่ต่ำกว่า ทั้งนี้ในงานวิจัยทำการ ศึกษาการบวมตัวของยางผสมสูตร ที่มีเส้นใยเป็นสารตัวเติมปริมาณ 20 phr ในตัวทำละลายไดคลอโรมีเทน โดยทำการศึกษาพฤติกรรมบวมและนำเสนอในรูปแบบเปอร์เซ็นต์การบวมตัวของยาง

จากรูปที่ 4.7-4.8 แสดงพฤติกรรมบวมในตัวในสารละลายไดคลอโรมีเทนของยางผสมสูตร พบว่ายางผสมสูตรทุกสูตรมีลักษณะการบวมตัวคงที่โดยใช้เวลา 3 วัน โดยที่ ยางผสม สูตร BRHA(#4) มีเปอร์เซ็นต์การบวมตัวสูงที่สุด และการปรับปรุงเส้นใยด้วย PEG (BRHA(#4), P) หรือสารคู่ควบไซเลน Si-69 (BRHA(#4), S) นั้นส่งผลให้เปอร์เซ็นต์การบวมตัวลดลงเล็กน้อยอย่างไม่มีนัยสำคัญแต่เมื่อทำการปรับปรุงเส้นใยด้วย PEG และสารคู่ควบไซเลน Si-69 (BRHA(#4), P+S) ส่งผลให้มีค่าการบวมตัวน้อยที่สุด ทั้งนี้เนื่องจาก PEG ช่วยลดการดูดซับสารเร่งปฏิกิริยาการเชื่อมโยงหรือสารกระตุ้นการเชื่อมโยงของเส้นใยทำให้เกิดการเชื่อมโยงที่สมบูรณ์มากขึ้นและสารคู่ควบไซเลน Si-69 มีกัมมันต์อยู่ในโครงสร้างด้วยจึงทำให้เกิดการเชื่อมโยงที่มากกว่า กล่าวคือ BRHA(#4), P+S มีความหนาแน่นการเชื่อมโยงมากกว่ายางผสมสูตรอื่นๆ



รูปที่ 4.7 ผลของการปรับปรุงเส้นใยที่มีต่อพฤติกรรมบวมตัวในตัวทำละลายไดคลอโรมีเทนของยางผสมสูตร โดยมีเส้นใยเป็นสารตัวเติมปริมาณ 20 phr

เอกสารนี้เป็นเอกสารที่สงวนไว้สำหรับการใช้งานเพื่อการศึกษาเท่านั้น ไม่อนุญาตให้นำไปใช้ประโยชน์ด้านการค้าไม่ว่ากรณีใดๆ ทั้งสิ้น อีกทั้งห้ามมิให้ดัดแปลงเนื้อหา และต้องอ้างอิงถึงเจ้าของเอกสารทุกครั้งที่มีการนำไปใช้

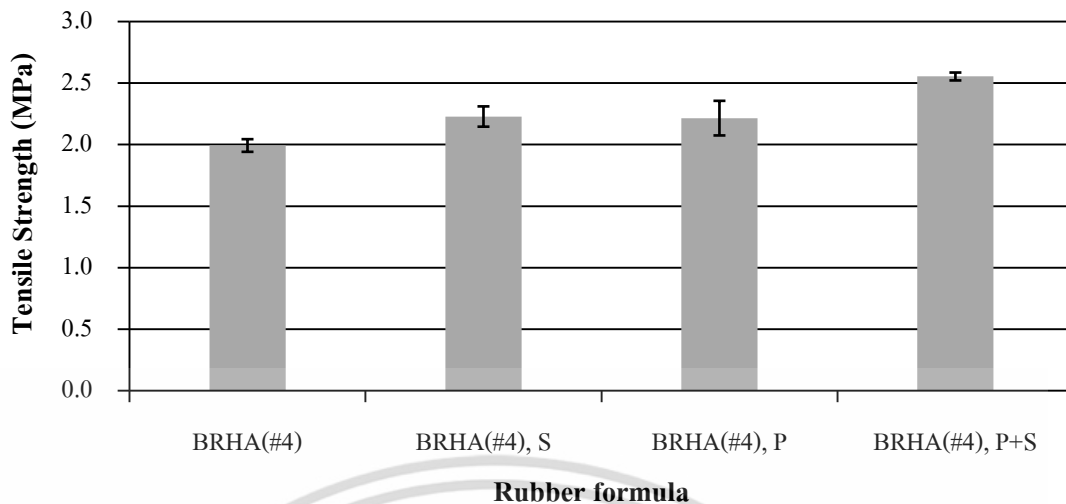


รูปที่ 4.8 ผลของการปรับปรุงเถ้าเคลบดำที่มีต่อเปอร์เซ็นต์การบวมตัวในตัวทำละลายไดคลอโรมีเทน เป็นเวลา 3 วัน ของยางผสมสูตร โดยมีเถ้าเคลบดำเป็นสารตัวเติมปริมาณ 20 phr

4.2.4 สมบัติเชิงกลของยางผสมสูตร

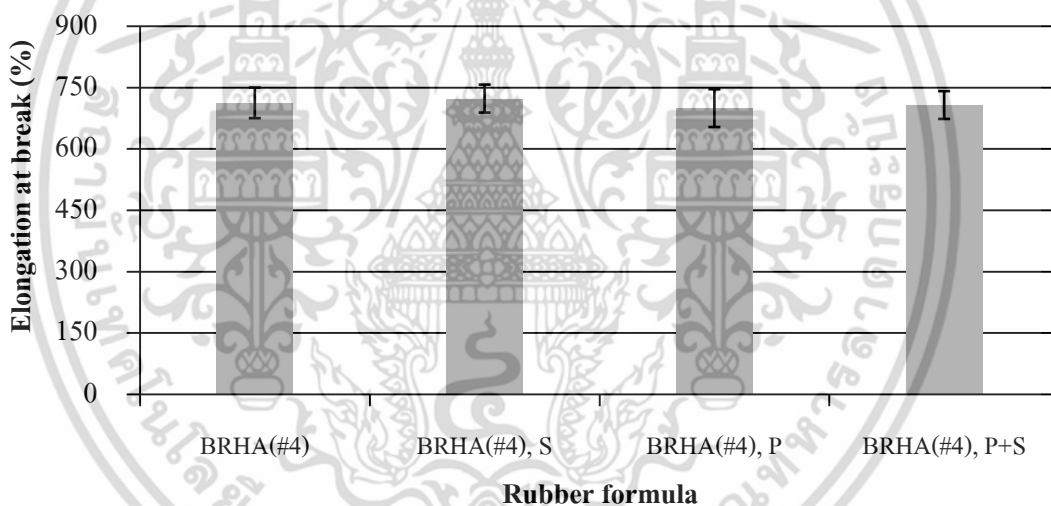
ในการศึกษาสมบัติเชิงกลต่างๆ ของยางผสมสูตรถูกควบคุมขนาดของเถ้าเคลบดำ BRHA(#4) ในปริมาณ 20 phr จากรูปที่ 4.9-4.12 เป็นการศึกษาสมบัติเชิงกลด้านความแข็งแรงดึง เปอร์เซ็นต์การดึงยืด ณ จุดขาด มอดุลัสของยางที่ 100 เปอร์เซ็นต์การดึงยืดและความแข็งแรงฉีกขาด พบว่ายางผสมสูตรที่ใช้เถ้าเคลบดำชนิดไม่ปรับปรุง (BRHA(#4)) นั้นมีค่าความแข็งแรงดึง มอดุลัสของยางที่ 100 เปอร์เซ็นต์การดึงยืดและความแข็งแรงฉีกขาดที่ต่ำกว่ายางผสมสูตรที่ใช้เถ้าเคลบดำปรับปรุงด้วย PEG (BRHA(#4), P) หรือ Si-69 (BRHA(#4), S) และเมื่อปรับปรุงเถ้าเคลบดำด้วย PEG และสารคู่ควบไซเลน Si-69 (BRHA(#4), P+S) ให้ค่าความแข็งแรงดึง มอดุลัสของยางที่ 100 เปอร์เซ็นต์การดึงยืด และความแข็งแรงฉีกขาดมากที่สุด เนื่องจาก PEG ไปเคลือบผิวเถ้าเคลบดำทำให้เกิดการเชื่อมโยงที่สมบูรณ์มากขึ้น และสารคู่ควบไซเลน Si-69 ซึ่งเป็นสารคู่ควบเมอร์แคปโทไซเลนมีหมู่ฟังก์ชันที่ปลายทั้งสองด้าน ด้านหนึ่ง เป็นหมู่อัลคอกซี (Alkoxy) ทำปฏิกิริยากับไซเลนอลบนพื้นผิวของเถ้าเคลบดำ ส่วนอีกด้านหนึ่งเป็นองค์ประกอบของกำมะถันอะตอมจึงสามารถทำปฏิกิริยาเชื่อมโยงกับยางได้ ส่งผลให้รอยต่อระหว่างวัฏภาค (Interphase) ยางกับสารตัวเติมเถ้าเคลบดำมีความแข็งแรงมากขึ้น ซึ่งสารคู่ควบไซเลน Si-69 นั้นมีกำมะถันอยู่ในโครงสร้างด้วยจึงทำให้เกิดการเชื่อมโยงที่มากกว่า แต่ การปรับปรุงเถ้าเคลบดำด้วย PEG และสารคู่ควบไซเลน Si-69 ไม่ส่งผลต่อเปอร์เซ็นต์การดึงยืด ณ จุดขาด และค่าความแข็งแรงกดของยางผสมสูตรอย่างมีนัยสำคัญ ดังที่แสดงในรูปที่ 4.10 และ 4.13

เอกสารนี้เป็นเอกสารที่สงวนไว้สำหรับการใช้งานเพื่อการศึกษาเท่านั้น ไม่อนุญาตให้นำไปใช้ประโยชน์ด้านการค้า ไม่ว่าจะกรณีใดๆ ทั้งสิ้น อีกทั้งห้ามมิให้ดัดแปลงเนื้อหา และต้องอ้างอิงถึงเจ้าของเอกสารทุกครั้งที่มีการนำไปใช้



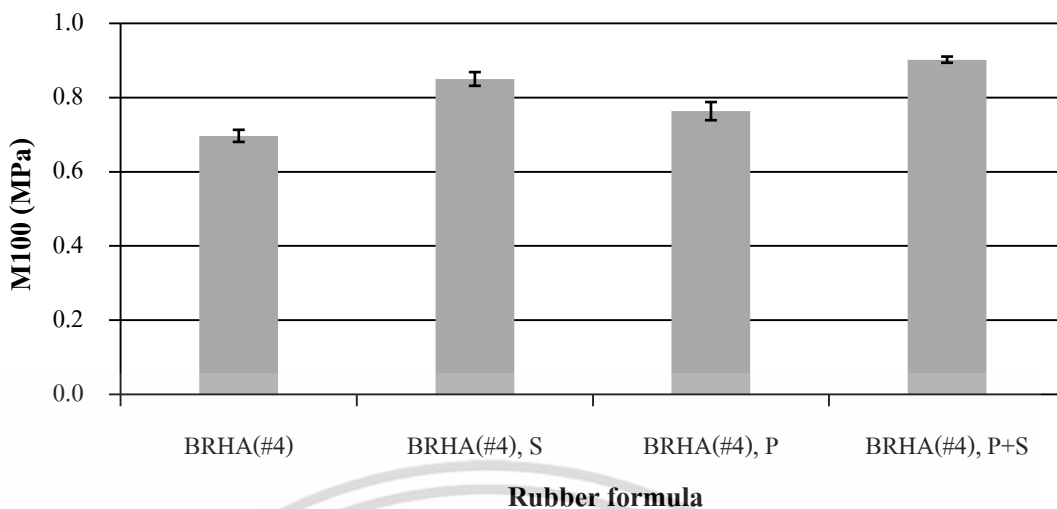
รูปที่ 4.9 ผลของการปรับปรุงเส้นแกลบดำที่มีต่อค่าความแข็งแรงดึงของยางผสมสูตร โดยมี

เส้นแกลบดำเป็นสารตัวเติมปริมาณ 20 phr

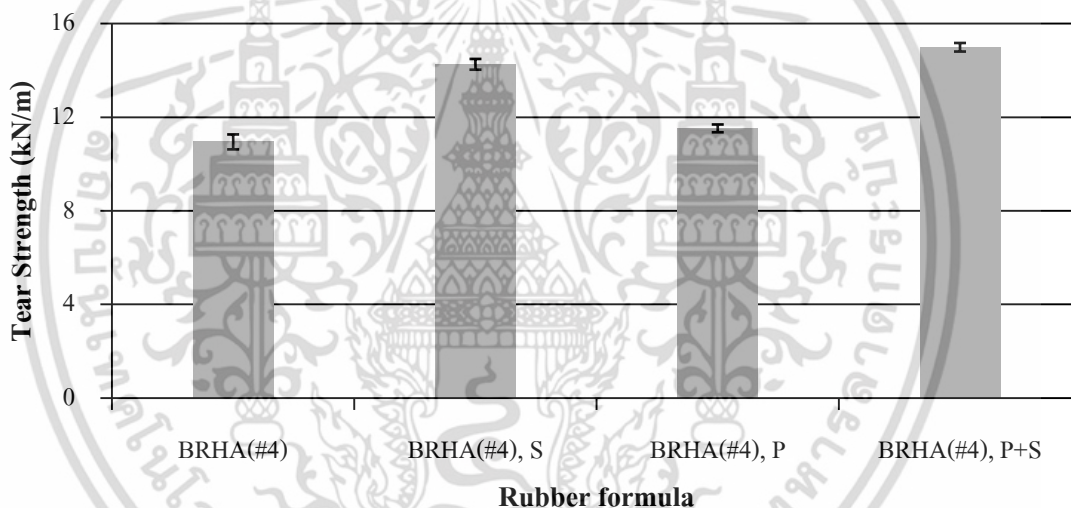


รูปที่ 4.10 ผลของการปรับปรุงเส้นแกลบดำที่มีต่อค่าเปอร์เซ็นต์การดึงยืด ณ จุดขาดของยางผสม

สูตร โดยมีเส้นแกลบดำเป็นสารตัวเติมปริมาณ 20 phr

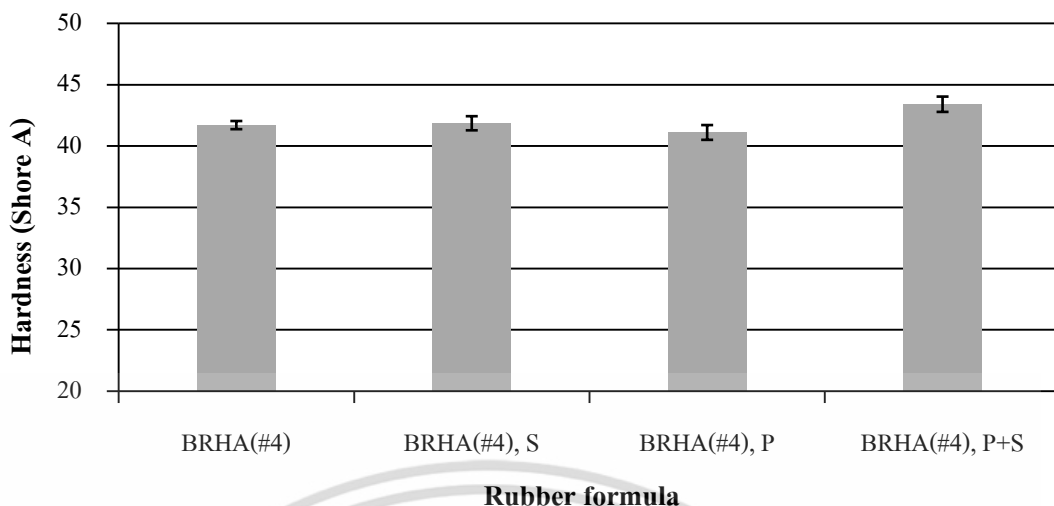


รูปที่ 4.11 ผลของการปรับปรุงเถ้าแกลบดำที่มีต่อค่ามอดุลัสของยางที่ 100เปอร์เซ็นต์ดึงยืดของยางผสมสูตรโดยมีเถ้าแกลบดำเป็นสารตัวเติมปริมาณ 20 phr

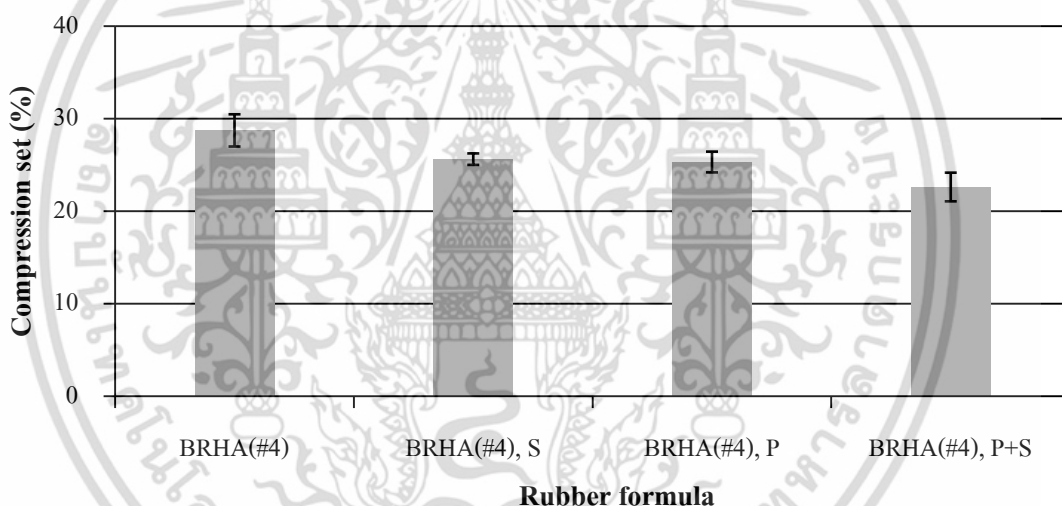


รูปที่ 4.12 ผลของการปรับปรุงเถ้าแกลบดำที่มีต่อค่าความแข็งแรงฉีกขาดของยางผสมสูตรโดยมีเถ้าแกลบดำเป็นสารตัวเติมปริมาณ 20 phr

เอกสารนี้เป็นเอกสารที่สงวนไว้สำหรับการใช้งานเพื่อการศึกษาเท่านั้น ไม่อนุญาตให้นำไปใช้ประโยชน์ด้านการค้าไม่ว่ากรณีใดๆ ทั้งสิ้น อีกทั้งห้ามมิให้ดัดแปลงเนื้อหา และต้องอ้างอิงถึงเจ้าของเอกสารทุกครั้งที่มีการนำไปใช้



รูปที่ 4.13 ผลของการปรับปรุงเส้นค่าความแข็งกด (Shore A) ของยางผสมสูตร โดยมีเส้นค่าเป็นสารตัวเติมปริมาณ 20 phr



รูปที่ 4.14 ผลของการปรับปรุงเส้นค่าการเสีรูปถาวรหลังการกดอัดเป็นเวลา 22 ชั่วโมงที่อุณหภูมิ 70°C ของยางผสมสูตร โดยมีเส้นค่าเป็นสารตัวเติมปริมาณ 20 phr

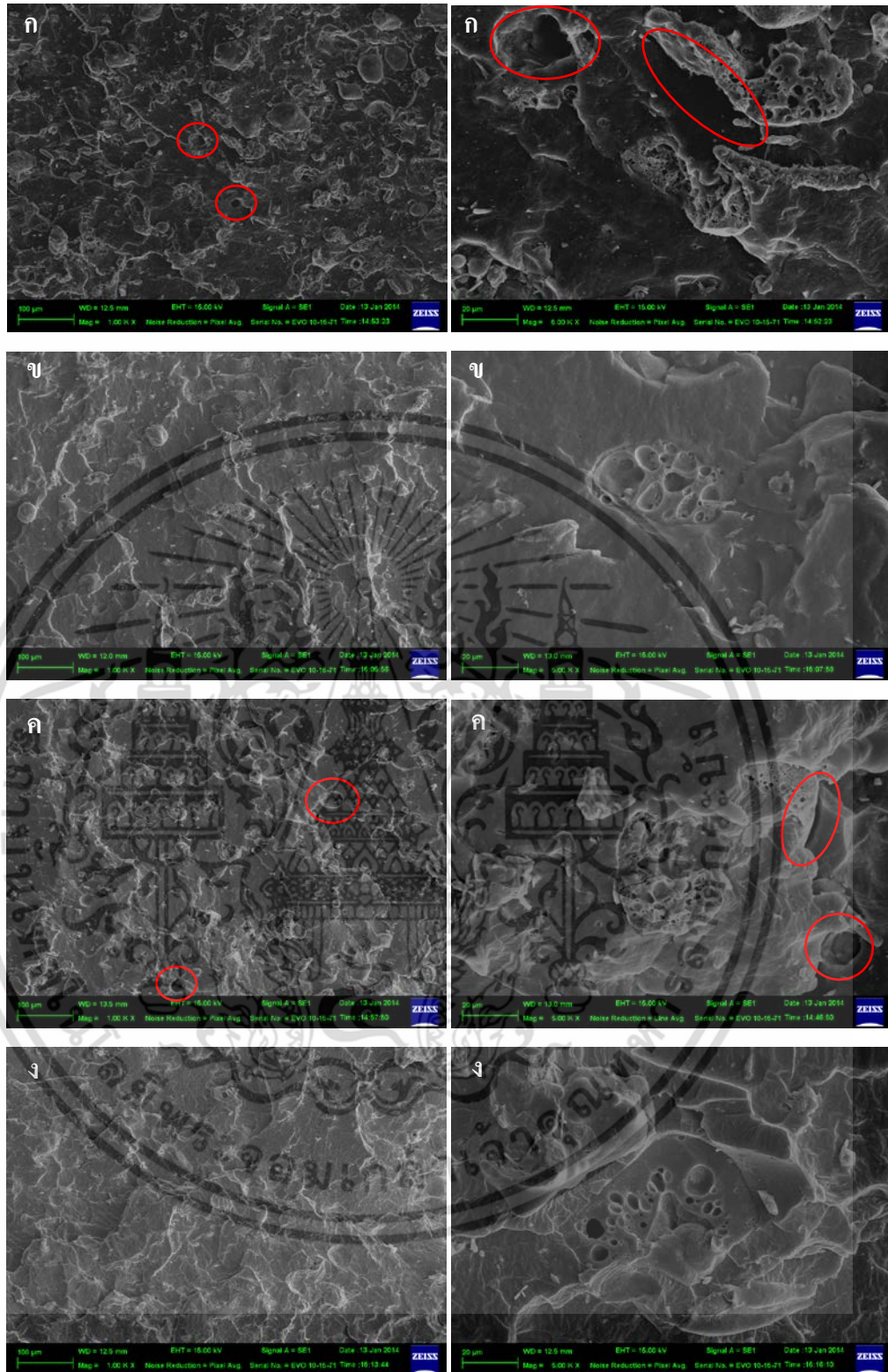
การเสีรูปถาวร (Permanent set) คือ การเปลี่ยนแปลงรูปร่างที่ยังคงอยู่หลังปลดปล่อยแรงจากภายนอกที่มากระทำ โดยในงานวิจัยนี้ทำการทดสอบการเสีรูปถาวรหลังการกดอัด (Compression set) ซึ่งโดยทั่วไปการที่ยางสามารถคืนกลับสู่รูปร่างเดิมได้เนื่องมาจากโมเลกุลของยางที่เกิดการเชื่อมโยงเป็น โครงสร้างร่างแหสามมิติ ที่ทำหน้าที่ดึงโครงสร้างกลับสู่รูปร่างเดิมเมื่อปลดปล่อยแรง ทำให้ไม่เกิดการเลื่อนผ่านอย่างไม่คืนกลับของสายโซ่ ดังนั้นความสามารถในการยึดคืน

กลับของยางสู่รูปร่างเดิมหรือการเสีรูปถาวรจึงขึ้นกับการเชื่อมโยงของยางจากรูปที่ 4.14 เอกสารนี้เป็นเอกสารที่สงวนไว้สำหรับการใช้งานเพื่อการศึกษาค้นคว้าเท่านั้น เมื่อผู้ดูแลเนื้อหาเบะใช้ประโยชน์ด้านการค้าไม่ว่ากรณีใดๆ ทั้งสิ้น อีกทั้งห้ามมิให้คัดแปลงเนื้อหา และต้องอ้างอิงถึงเจ้าของเอกสารทุกครั้งที่มีการนำไปใช้

ค่าการเสียรูปถาวรหลังการกดอัดที่อุณหภูมิ 70°C เป็นเวลา 22 ชั่วโมง นั้นพบว่าการใช้เถ้าเคลือบดำที่ไม่ผ่านการปรับปรุงพื้นผิว (BRHA(#4)) มีค่าการเสียรูปถาวรหลังการกดอัดมากที่สุด แต่เมื่อทำการปรับปรุงพื้นผิวเถ้าเคลือบดำด้วย PEG (BRHA(#4), P) หรือสารกลุ่มควบไซเลน Si-69 (BRHA(#4), S) ส่งผลให้มีค่าการเสียรูปถาวรหลังการกดอัดไม่แตกต่างกันอย่างมีนัยสำคัญ แต่ทำให้ค่าการเสียรูปถาวรลดลงเล็กน้อยจากขางผสมสูตร (BRHA(#4)) ในขณะที่การปรับปรุงพื้นผิวเถ้าเคลือบดำทั้ง PEG และสารกลุ่มควบไซเลน Si-69 (BRHA(#4), P+S) ทำให้มีค่าการเสียรูปถาวรหลังการกดอัดน้อยที่สุด ทั้งนี้เนื่องจากการปรับปรุงเถ้าเคลือบดำด้วย PEG และสารกลุ่มควบไซเลน Si-69 ส่งผลให้รอยต่อระหว่างภูมิภาคของเถ้าเคลือบดำกับขางมีความแข็งแรงมากขึ้นดังที่กล่าวไว้ข้างต้น และทำให้มีความหนาแน่นการเชื่อมโยงมากที่สุด ดังที่กล่าวไว้ในหัวข้อ 4.2.3

4.2.5 สัณฐานวิทยาของยางที่มีเถ้าเคลือบดำเป็นสารตัวเติม

ในการศึกษาพื้นผิวดัดขวางของขางผสมสูตรนั้น มีเถ้าเคลือบดำเป็นสารตัวเติมปริมาณ 20 phr ด้วยเทคนิค SEM โดยทำการเตรียมตัวอย่างที่อุณหภูมิตำจากรูปที่ 4.15 ที่กำลังขยาย 1000 เท่า พบว่าเถ้าเคลือบดำมีการกระจายตัวในขางผสมสูตรอย่างสม่ำเสมอในเมตริกซ์ทุกสูตร และที่ กำลังขยาย 5000 เท่า พบว่าขางผสมสูตรที่ใช้เถ้าเคลือบดำที่ไม่ได้ผ่านการปรับปรุง (BRHA(#4)) และเถ้าเคลือบดำปรับปรุงด้วย PEG (BRHA(#4), P) เป็นสารตัวเติมมีการหลุดออกของเถ้าเคลือบดำ ทำให้พื้นผิวดัดขวางของขางผสมสูตรมีลักษณะเป็นรูและมีช่องว่างระหว่างอนุภาคเถ้าเคลือบดำกับขางไนไตรล์ (วงกลมสีแดง) เนื่องจาก PEG นั้นไม่ได้ช่วยให้รอยต่อระหว่างภูมิภาคเถ้าเคลือบดำกับขางมีความแข็งแรงมากขึ้น เมื่อทำการปรับปรุงเถ้าเคลือบดำด้วยสารกลุ่มควบไซเลน Si-69 (BRHA(#4), S และ BRHA(#4), P+S) ไม่พบช่องว่างบริเวณรอยต่อระหว่างอนุภาคเถ้าเคลือบดำกับขางและการหลุดออกของอนุภาคแล้วทำให้เกิดหลุมของเถ้าเคลือบดำเนื่องจากสารกลุ่มควบไซเลน Si-69 ส่งผลให้รอยต่อระหว่างภูมิภาค ขางกับสารตัวเติมเถ้าเคลือบดำมีความแข็งแรงมากขึ้น ดังที่กล่าวไว้ในตอนที่ 4.2.1 เป็นหลักฐานแสดงให้เห็นว่า การยึดเกาะบริเวณรอยต่อระหว่างภูมิภาคที่ดี ซึ่งสอดคล้องกับสมบัติเชิงกลที่สูงขึ้นเมื่อปรับปรุงเถ้าเคลือบดำด้วยสารกลุ่มควบไซเลน Si-69

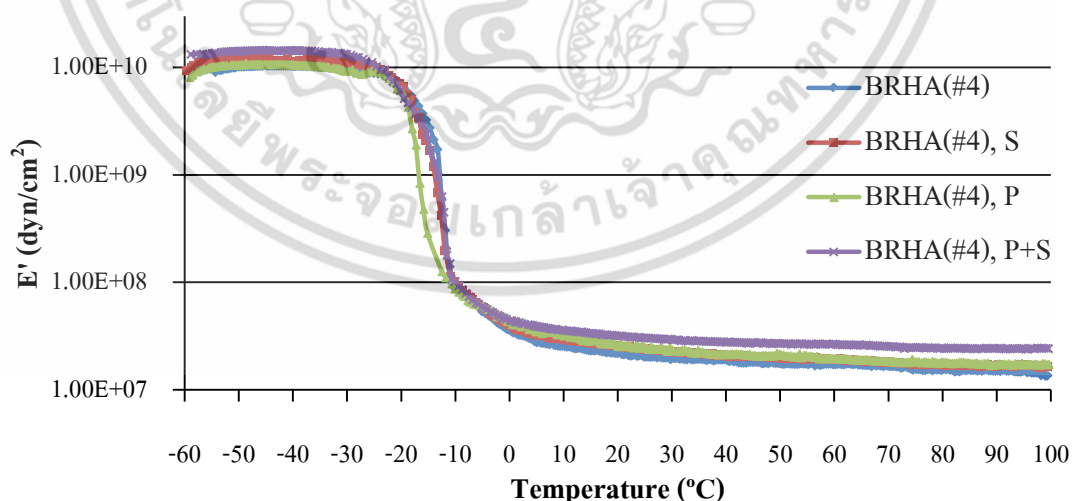


รูปที่ 4.15 สัณฐานวิทยาของยางผสมสูตรจาก SEM ของ (ก) BRHA(#4); (ข) BRHA(#4), S; (ค) BRHA-(-#4), P และ (ง) BRHA(#4), P+S ที่กำลังขยาย 1000 (ซ้าย) และ 5000 (ขวา) เท่า

เอกสารนี้เป็นเอกสารที่สงวนไว้สำหรับการใช้งานเพื่อการศึกษาเท่านั้น ไม่อนุญาตให้นำไปใช้ประโยชน์ด้านการค้า ไม่ว่าจะกรณีใดๆ ทั้งสิ้น อีกทั้งห้ามมิให้ดัดแปลงเนื้อหา และต้องอ้างอิงถึงเจ้าของเอกสารทุกครั้งที่มีการนำไปใช้

4.2.6 สมบัติทางความร้อนเชิงกลพลวัตของยางผสมสูตร

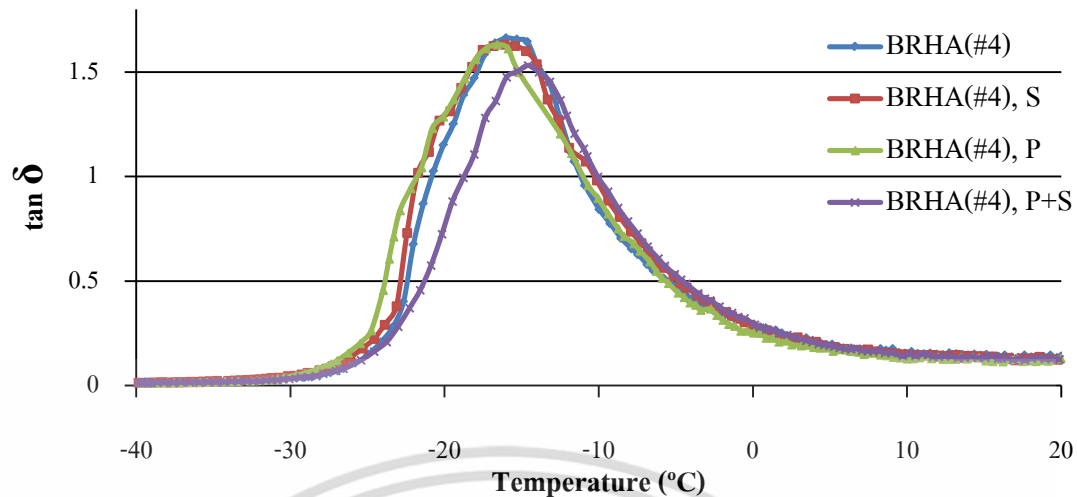
การทดสอบสมบัติทางความร้อนเชิงกลพลวัตนั้น เป็นการวิเคราะห์สมบัติของวัสดุที่ได้รับแรงสั่นอย่างต่อเนื่อง โดยในการทดสอบให้ค่ามอดุลัสสะสม (Storage modulus) และค่ามอดุลัสสูญเสีย (Loss modulus) เป็นฟังก์ชันของความถี่กับอุณหภูมิจากความสัมพันธ์ของอัตราส่วนระหว่างค่ามอดุลัสสูญเสียและค่ามอดุลัสสะสม ได้เป็นค่า $\tan \delta$ ซึ่งสามารถหาอุณหภูมิในการเปลี่ยนสถานะคล้ายแก้ว (T_g) ของวัสดุได้จากการศึกษาผลของการปรับปรุงเถ้าเคลือบค่าที่มีต่อสมบัติทางความร้อนเชิงกลพลวัตของยางผสมสูตรด้วยเครื่อง DMTA แสดงดังรูปที่ 4.16 และ 4.17 พบว่ายางผสมสูตร BRHA(#4), S และ BRHA(#4), P ส่งผลให้ค่ามอดุลัสสะสมของยางผสมสูตรเพิ่มขึ้น และค่าแอมพลิจูดของ $\tan \delta$ ลดลงเล็กน้อย และยางผสมสูตร BRHA(#4), P+S มีค่ามอดุลัสสะสมเพิ่มขึ้น และค่าแอมพลิจูดของ $\tan \delta$ ลดลงอย่างชัดเจน ทั้งนี้เนื่องจากการปรับปรุงเถ้าเคลือบด้วย PEG ทำให้ยางผสมสูตรมีการเชื่อมโยงที่สมบูรณ์มากขึ้น ซึ่งพันธะเชื่อมโยงที่มากขึ้นนั้นและในกรณีการใช้สารคู่ควบไซเลน Si-69 ปรับปรุงเถ้าเคลือบค่า ทำให้การเกิดอันตรกิริยาระหว่างเมตริกซ์ยางกับเถ้าเคลือบค่าด้วยสารคู่ควบไซเลน Si-69 ช่วยให้การยึดต่อระหว่างวัฏภาคมีความแข็งแรงมากขึ้น ส่งผลให้ยางผสมสูตรสามารถเก็บพลังงานเพื่อการคืนตัวกลับได้ดีกว่ายางผสมสูตรที่ใช้เถ้าเคลือบค่าไม่ปรับปรุงแต่ไม่ส่งผลให้อุณหภูมิในการเปลี่ยนสถานะคล้ายแก้วของยางผสมสูตรดังแสดงในตารางที่ 4.6



รูปที่ 4.16 ผลของการปรับปรุงเถ้าเคลือบค่าที่มีต่อค่ามอดุลัสสะสมของยางผสมสูตร โดยมี

เถ้าเคลือบค่าเป็นสารตัวเติมปริมาณ

20 phr



รูปที่ 4.17 ผลของการปรับปรุงแก้วเคลือบดำที่มีต่อค่า $\tan \delta$ ของยางผสมสูตร โดยมีแก้วเคลือบดำเป็นสารตัวเติมปริมาณ 20 phr

ตารางที่ 4.6 ผลของการปรับปรุงแก้วเคลือบดำที่มีต่อค่าอุณหภูมิเปลี่ยนสถานะคล้ายแก้วของยางผสมสูตร

ยางผสมสูตร	อุณหภูมิเปลี่ยนสถานะคล้ายแก้ว (°C)
BRHA(#4)	-16.8
BRHA(#4), S	-16.5
BRHA(#4), P	-16.6
BRHA(#4), P+S	-15.5

จากการศึกษาสมบัติต่างๆจากผลของการปรับปรุงแก้วเคลือบดำด้วย PEG และสารคู่คววไซเลน Si-69 สามารถสรุปได้ว่า เมื่อทำการปรับปรุงแก้วเคลือบดำด้วย PEG และสารคู่คววไซเลน Si-69 ส่งผลอย่างมีนัยสำคัญต่อ ลักษณะในการเชื่อมโยง และสมบัติเชิงกลของยางผสมสูตร เนื่องจากการใช้ PEG ป้องกันการดูดสารเร่งปฏิกิริยาการเชื่อมโยง และสารกระตุ้นการเชื่อมโยง ส่งผลให้เวลาเริ่มเชื่อมโยงและเวลาการเชื่อมโยงลดลงและยังส่งผลให้มีความหนาแน่นเชื่อมโยงมากขึ้น นอกจากนี้การใช้สารคู่คววไซเลน Si-69 ส่งผลให้รอยต่อระหว่างวัฏภาค ขงกับแก้วเคลือบดำมีความแข็งแรงมากขึ้นดังนั้นในการทดลองต่อไปจึงมีการใช้ PEG และสารคู่คววไซเลน Si-69 ปรับปรุงแก้วเคลือบดำในปริมาณ 5 และ 3 % โดยน้ำหนักของแก้วเคลือบดำตามลำดับ

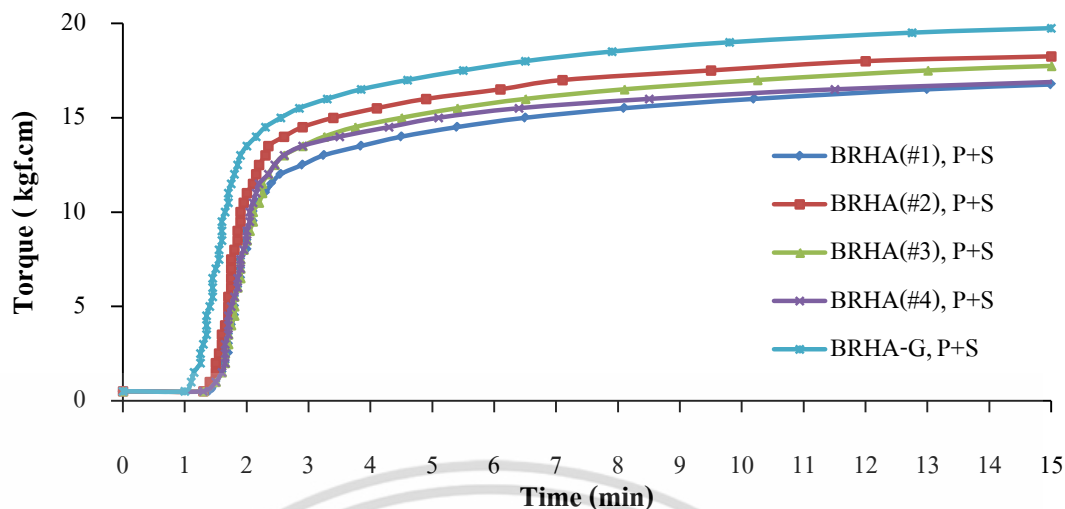
4.3 ผลของขนาดอนุภาคแก้วเคลือบดำ

ในอุตสาหกรรมยางขนาดของสารตัวเติมเป็นปัจจัยที่สำคัญในการเสริมแรงของยาง จากงานวิจัยก่อนหน้านี้ของรสิมา จันทร์จำปา [6] พบว่าการใช้แก้วเคลือบดำขนาดเล็กกว่า 250 mesh หรือ F-BRHA(#4) เป็นสารตัวเติมในยางธรรมชาติ แสดงสมบัติเป็นสารตัวเติมชนิดไม่เสริมแรง เนื่องจากแก้วเคลือบดำ F-BRHA(#4) มีขนาดอนุภาคเฉลี่ยที่ใหญ่ แต่สามารถนำมาลดต้นทุนได้ ดังนั้นในงานวิจัยนี้จึงทำการบดละเอียดแก้วเคลือบดำให้มีขนาดอนุภาคเล็กลงด้วยเครื่องบดความเร็วสูงชนิดบอลมิล เป็นเวลา 30 นาที ทำให้มีขนาดอนุภาคเฉลี่ยลดลงจาก 41.1 เหลือเพียง 6.1 μm และจากการทดลองข้างต้น โดยน้ำหนักของแก้วเคลือบดำตามลำดับพบว่ายางที่ผสมแก้วเคลือบดำมีสมบัติต่างๆ โดยรวมดีที่สุดเมื่อทำการปรับปรุงแก้วเคลือบดำด้วย PEG และสารคู่ควบไซเลน Si-69 การทดลองตอนนี้เป็นการศึกษาผลของขนาดอนุภาคแก้วเคลือบดำ ใช้แก้วเคลือบดำ F-BRHA(#1), F-BRHA(#2), F-BRHA(#3), F-BRHA(#4) และ F-BRHA-G เป็นสารตัวเติมในยางไนไตรล์ในปริมาณ 20 phr โดยทำการปรับปรุงแก้วเคลือบดำด้วย PEG และสารคู่ควบไซเลน Si-69 ในปริมาณ 5 และ 3 % โดยน้ำหนักของแก้วเคลือบดำตามลำดับ

4.3.1 พฤติกรรมการเชื่อมโยงของยางผสมสูตร

ผลของขนาดอนุภาคแก้วเคลือบดำที่มีต่อพฤติกรรมการเชื่อมโยงและความหนืดมูนนี้ของยางผสมสูตร แสดงในรูปที่ 4.18 และตารางที่ 4.7 โดยทำการปรับปรุงแก้วเคลือบดำด้วย PEG และสารคู่ควบไซเลน Si-69 ในปริมาณ 5 และ 3% ของแก้วเคลือบดำตามลำดับ จากผลการทดลองพบว่าเมื่อใช้แก้วเคลือบดำบดละเอียดส่งผลให้เวลาเริ่มเชื่อมโยง กับเวลาเชื่อมโยงลดลง เล็กน้อย เมื่อเทียบกับยางผสมสูตรที่ใช้แก้วเคลือบดำขนาดอื่นๆ เนื่องจากการวิเคราะห์ลักษณะพื้นฐานวิทยาของแก้วเคลือบดำพบว่าแก้วเคลือบดำที่มีอนุภาคขนาดใหญ่มีรูพรุนปริมาณมากทำให้อาจ PEG ไม่สามารถทำการเคลือบผิวแก้วเคลือบดำได้อย่างทั่วถึงจึงอาจเกิดการดูดสารเร่งปฏิกิริยาเชื่อมโยงหรือสารกระตุ้นการเชื่อมโยงแต่การบดละเอียดแก้วเคลือบดำให้แตกออกเป็นอนุภาคเล็กๆ ทำให้มีลักษณะเป็นรูพรุนน้อยลงดังแสดงในรูปที่ 4.4 ส่งผลให้ PEG สามารถเคลือบผิวแก้วเคลือบดำได้อย่างทั่วถึงมากขึ้นและมีค่าแรงบิดสูงสุด (M_H) สูงขึ้นอย่างเห็นได้ชัด เนื่องจากแก้วเคลือบดำบดละเอียดนั้นมีขนาดอนุภาคเล็ก และมีพื้นที่ผิวสัมผัสมากกว่าแก้วเคลือบดำขนาดอื่นๆ ทำให้มีพื้นที่ที่เกิดอันตรกิริยาระหว่างยางกับแก้วเคลือบดำเพิ่มขึ้นจึงส่งผลให้มีค่าแรงบิดสูงสุดมีค่าเพิ่มมากขึ้นแต่การใช้ยางที่ผสมแก้วเคลือบดำขนาดต่างๆ ไม่ส่งผลต่อค่าความหนืดมูนนี้อย่างมีนัยสำคัญ

เอกสารนี้เป็นเอกสารที่สงวนไว้สำหรับการใช้งานเพื่อการศึกษาเท่านั้น ไม่อนุญาตให้นำไปใช้ประโยชน์ด้านการค้า ไม่ว่าจะกรณีใดๆ ทั้งสิ้น อีกทั้งห้ามมิให้ดัดแปลงเนื้อหา และต้องอ้างอิงถึงเจ้าของเอกสารทุกครั้งที่มีการนำไปใช้



รูปที่ 4.18 ผลของขนาดอนุภาคเถ้าแกลบดำที่มีต่อพฤติกรรมการณ์เชื่อมโยงของยางผสมสูตรโดยมีเถ้าแกลบดำที่ปรับปรุงด้วย PEG และสารคู่ควบไซเลน Si-69 เป็นสารตัวเติมปริมาณ 20phr

ตารางที่ 4.7 ผลของขนาดอนุภาคเถ้าแกลบดำที่มีต่อพฤติกรรมการณ์เชื่อมโยงและความหนืดมูนนี้ของยางผสมสูตรโดยมีเถ้าแกลบดำที่ปรับปรุงด้วย PEG และสารคู่ควบไซเลน Si-69 เป็นสารตัวเติมปริมาณ 20phr

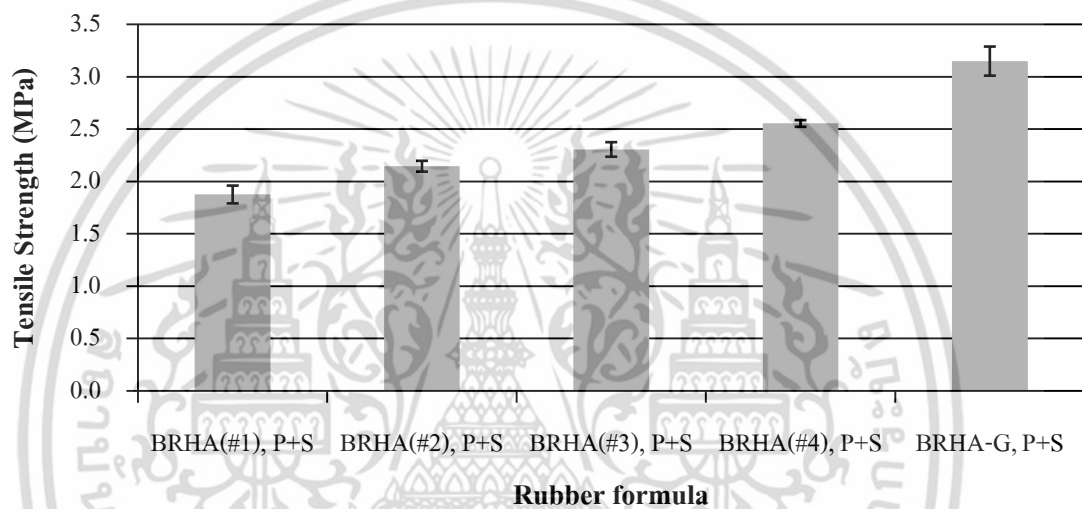
Rubber formula	Mooney viscosity	M_L (kgf.cm)	M_H (kgf.cm)	t_{s2} (min)	t_{c90} (min)	CRI (min^{-1})
BRHA(#1), P+S	23.9	0.5	13.3	1.5	2.1	166.6
BRHA(#2), P+S	24.7	0.5	13.0	1.5	2.1	166.6
BRHA(#3), P+S	24.9	0.6	12.3	1.6	2.2	174.2
BRHA(#4), P+S	25.5	0.5	12.0	1.6	2.1	200.0
BRHA-G, P+S	25.6	0.7	14.3	1.3	1.8	208.3

4.3.2 สมบัติเชิงกลของยางผสมสูตร

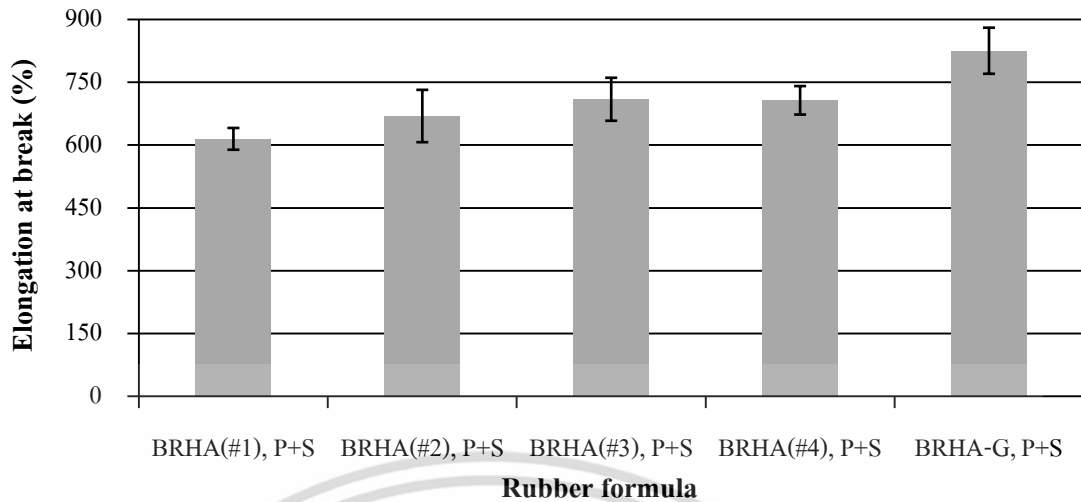
จากรูปที่ 4.19-4.22เป็นการศึกษาสมบัติเชิงกลด้านความแข็งแรงดึง เปอร์เซ็นต์การดึงยืด ณ จุดขาด มอดุลัสของยางที่ 100เปอร์เซ็นต์ดึงยืด และความแข็งแรงฉีกขาดของยางผสมสูตรที่มีเถ้าแกลบดำขนาดต่างๆ เป็นสารตัวเติม พบว่า เถ้าแกลบดำที่มีอนุภาคขนาดใหญ่ที่สุด (BRHA(#1), P+S) ส่งผลทำให้ความแข็งแรงดึง เปอร์เซ็นต์การดึงยืด ณ จุดขาด มอดุลัสของยางที่

100 เปอร์เซ็นต์ดึงยืดและความแข็งแรงฉีกขาดมีค่าน้อยที่สุดและเมื่อขนาดอนุภาคเถ้าแกลบดำเอกลสารนี้เป็นเอกสารที่สงวนลิขสิทธิ์สำหรับการใช้งานเพื่อการศึกษาด้านนี้ เมื่ออนุญาตให้เผยแพร่ในเชิงวิชาการแล้ว ไม่ว่ากรณีใดๆ ทั้งสิ้น อีกทั้งห้ามมิให้ดัดแปลงเนื้อหา และต้องอ้างอิงถึงเจ้าของเอกสารทุกครั้งที่มีการนำไปใช้

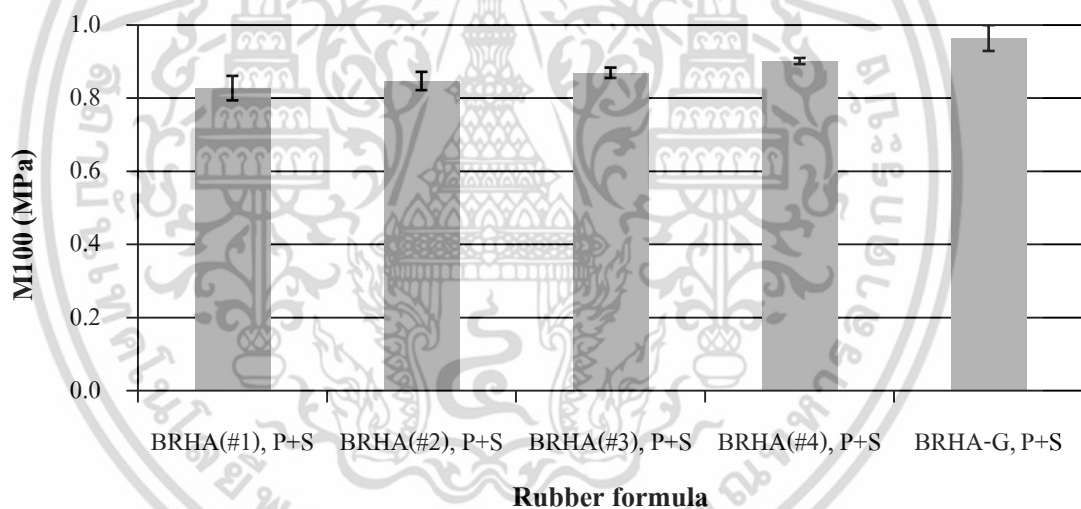
มีขนาดเล็กลง ส่งผลให้มีความมากขึ้น ซึ่งมากที่สุดเมื่อใช้ถั่วแกลบดำ (BRHA-G, P+S) เนื่องจากถั่วแกลบดำที่มีขนาดเล็กและมีพื้นที่ผิวสัมผัสมากขึ้นทำให้มีพื้นที่ที่เกิดแรงกระทำระหว่างยางกับถั่วแกลบดำเพิ่มมากขึ้น ส่งผลให้มีสมบัติเชิงกลที่ดีกว่าจากรูปที่ 4.23 เป็นการศึกษาความแข็งกด ของยางผสมสูตรที่มีถั่วแกลบขนาดต่างๆเป็นสารตัวเติม พบว่าถั่วแกลบดำทุกขนาดมีค่าความแข็งกดไม่แตกต่างกันอย่างมีนัยสำคัญเนื่องจากค่าความแข็งกดมีความสัมพันธ์กับความแข็งของวัสดุ ถึงแม้ว่ายางผสมสูตรที่ใช้ถั่วแกลบดำที่มีขนาดแตกต่างกัน แต่มีถั่วแกลบดำที่เป็นอนุภาคของแข็งในปริมาณเท่ากันจึงไม่ส่งผลต่อค่าความแข็งกด



รูปที่ 4.19 ผลของขนาดอนุภาคถั่วแกลบดำที่มีต่อค่าความแข็งแรงดึงของยางผสมสูตร โดยมีถั่วแกลบดำที่ปรับปรุงด้วย PEG และสารคู่ควบไซเลน Si-69 เป็นสารตัวเติม ปริมาณ 20 phr

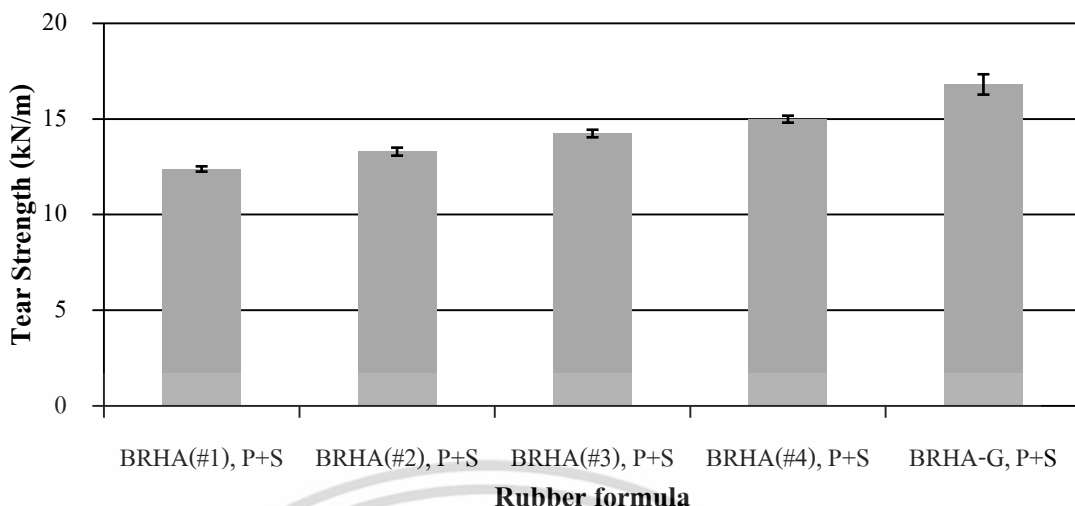


รูปที่ 4.20 ผลของขนาดอนุภาคแก้วเคลือบดำที่มีต่อค่าเปอร์เซ็นต์การดึงยืด ณ จุดขาดของยางผสมสูตร โดยมีแก้วเคลือบดำที่ปรับปรุงด้วย PEG และสารคู่ควบไซเลน Si-69 เป็นสารตัวเติม ปริมาณ 20 phr

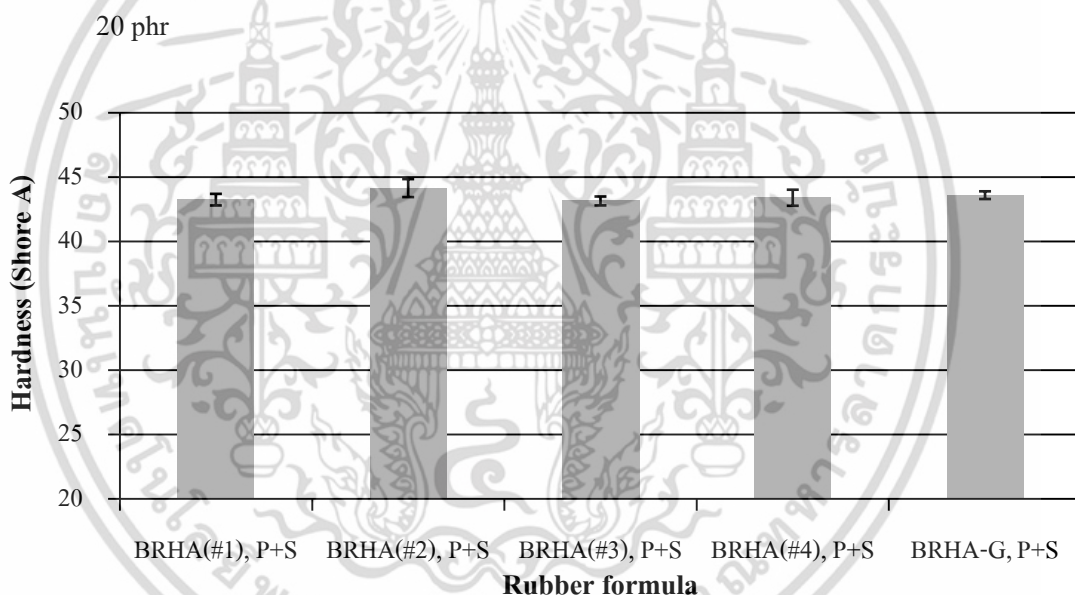


รูปที่ 4.21 ผลของขนาดอนุภาคแก้วเคลือบดำที่มีต่อค่าความมอดุลัสของยางที่ 100เปอร์เซ็นต์ดึงยืดของยางผสมสูตร โดยมีแก้วเคลือบดำที่ปรับปรุงด้วย PEG และสารคู่ควบไซเลน Si-69 เป็นสารตัวเติมปริมาณ 20 phr

เอกสารนี้เป็นเอกสารที่สงวนไว้สำหรับการใช้งานเพื่อการศึกษาเท่านั้น ไม่อนุญาตให้นำไปใช้ประโยชน์ด้านการค้าไม่ว่ากรณีใดๆ ทั้งสิ้น อีกทั้งห้ามมิให้ดัดแปลงเนื้อหา และต้องอ้างอิงถึงเจ้าของเอกสารทุกครั้งที่มีการนำไปใช้

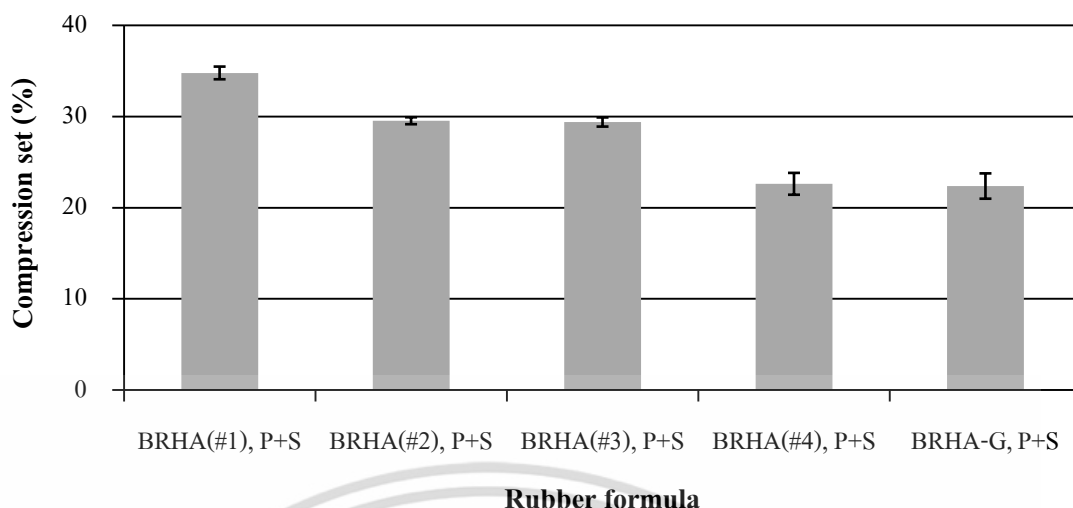


รูปที่ 4.22 ผลของขนาดอนุภาคเถ้าเคลือบดำที่มีต่อค่าความแข็งแรงฉีกขาดของยางผสมสูตร โดยมี
เถ้าเคลือบดำที่ปรับปรุงด้วย PEG และสารคู่ควบไซเลน Si-69 เป็นสารตัวเติมปริมาณ



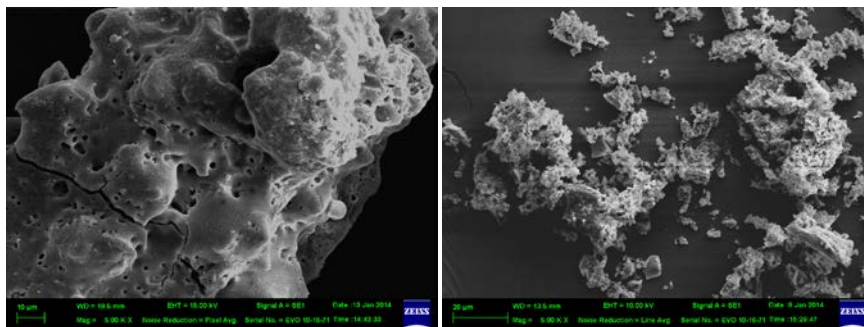
รูปที่ 4.23 ผลของขนาดอนุภาคเถ้าเคลือบดำที่มีต่อค่าความแข็งกด (Shore A) ของยางผสมสูตร โดยมี
เถ้าเคลือบดำที่ปรับปรุงด้วย PEG และสารคู่ควบไซเลน Si-69 เป็นสารตัวเติมปริมาณ
20 phr

เอกสารนี้เป็นเอกสารที่สงวนไว้สำหรับการใช้งานเพื่อการศึกษาเท่านั้น ไม่อนุญาตให้นำไปใช้ประโยชน์ด้านการค้า
ไม่ว่ากรณีใดๆ ทั้งสิ้น อีกทั้งห้ามมิให้ดัดแปลงเนื้อหา และต้องอ้างอิงถึงเจ้าของเอกสารทุกครั้งที่มีการนำไปใช้



รูปที่ 4.24 ผลของขนาดอนุภาคแก้วเคลือบดำที่มีต่อค่าการเสีรูปถาวรหลังการกดอัดที่อุณหภูมิ 70°C เป็นเวลา 22 ชั่วโมง ของยางผสมสูตรที่มีแก้วเคลือบดำ ที่ปรับปรุงด้วย PEG และ สารคู่ควบไซเลน Si-69 เป็นสารตัวเติมปริมาณ 20 phr

จากรูปที่ 4.24 เป็นการศึกษาค่าการเสีรูปถาวรหลังการกดอัดของผสมสูตรโดยที่มีแก้วเคลือบดำเป็นสารตัวเติม 20 phr ที่อุณหภูมิ 70°C เป็นเวลา 22 ชั่วโมง พบว่าเมื่อใช้แก้วเคลือบดำที่มีขนาดอนุภาคใหญ่ที่สุด (BRHA(#1), P+S) เกิดการเสีรูปถาวรหลังการกดอัดมากที่สุด และการเสีรูปถาวรหลังการกดอัดน้อยลงตามขนาดอนุภาคแก้วเคลือบดำที่เล็กลงที่ใช้เป็นสารตัวเติมในยางผสมสูตร ซึ่งมีค่าการเสีรูปถาวรหลังการกดอัดน้อยที่สุดเมื่อใช้แก้วเคลือบดำชนิดบดละเอียด (BRHA-G, P+S) เนื่องจากลักษณะวิทยาของแก้วเคลือบดำมีลักษณะเป็นรูพรุนเมื่อใช้แก้วเคลือบดำที่มีขนาดอนุภาคแตกต่างกันแก้วเคลือบดำที่มีอนุภาคขนาดใหญ่ นั้นมีรูพรุนที่มีขนาดใหญ่ โดยจากรูปที่ 4.25 แสดงให้เห็นว่าแก้วเคลือบดำ F-BRHA(#1) นั้นมีลักษณะเป็นรูพรุนขนาดใหญ่ แต่เมื่อนำแก้วเคลือบดำมาบดละเอียด (F-BRHA-G) เกิดการแตกของอนุภาคแก้วเคลือบดำส่งผลให้มีลักษณะที่เป็นรูพรุนน้อยลง ทำให้เมื่อได้รับแรงกดอัดอย่างจริงจังเข้าไปแทรกในเข้าไปอยู่ในรูพรุนของแก้วเคลือบดำอนุภาคขนาดใหญ่ได้มากกว่าแก้วเคลือบดำที่อนุภาคขนาดเล็ก จึงทำให้ค่าการเสีรูปถาวรมีแนวโน้มน้อยลงเมื่อใช้แก้วเคลือบดำที่มีขนาดเล็ก



รูปที่ 4.25 ลักษณะสัณฐานวิทยาของถ้ำแคลบดำจาก SEM ของ F-BRHA(#1)(ซ้าย) และ F-BRHA-G (ขวา) ที่กำลังขยาย 5000 เท่า

จากการศึกษาสมบัติต่างๆ จากผลของขนาดถ้ำแคลบดำ โดยใช้ถ้ำแคลบดำขนาดต่างๆ คือ F-BRHA(#1), F-BRHA(#2), F-BRHA(#3), F-BRHA(#4) และ F-BRHA-G จากนั้นทำการปรับปรุงด้วย PEG และสารคู่ควบไซเลน Si-69 สามารถสรุปได้ว่า เมื่อใช้ถ้ำแคลบดำ F-BRHA-G เป็นสารตัวเติมส่งผล อย่างมีนัยสำคัญต่อ สมบัติเชิงกลของยางผสมสูตร เนื่องจากอนุภาคถ้ำแคลบดำที่มีขนาดเล็กการกระจายตัวได้ดีกว่าและมีพื้นที่ผิวสัมผัสมากกว่า ทำให้มีพื้นที่ที่เกิดแรงกระทำระหว่างยางกับถ้ำแคลบดำมากกว่าอนุภาคถ้ำแคลบดำที่มีขนาดใหญ่ ดังนั้นในการทดลองต่อไปจึงมีการใช้ BRHA-G ในทุกสูตร

4.4 ผลของปริมาณถ้ำแคลบดำ

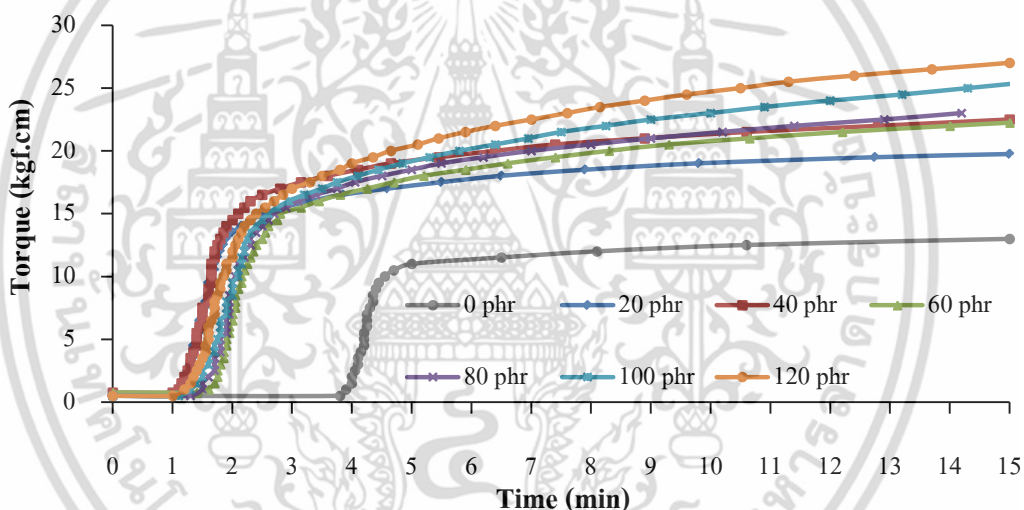
ถ้ำแคลบดำเป็นของเหลือจากโรงงานไฟฟ้าที่ใช้ชีวมวล (แคลบเป็นเชื้อเพลิง) ในการผลิตซึ่งมีปริมาณเหลือทิ้งเป็นจำนวนมากและมีราคาถูก จึงสามารถนำมาเป็นสารลดต้นทุนได้เป็นอย่างดี งานวิจัยนี้จึงทำการศึกษหาปริมาณที่ใช้ได้สูงสุดและผลกระทบต่อสมบัติต่างๆของยางผสมสูตร โดยศึกษาผลของปริมาณ ถ้ำแคลบดำในยางผสมสูตรได้แก่ 0, 20, 40, 60, 80, 100 และ 120 phr ซึ่งจากผลการทดลองข้างต้นยางผสมสูตรที่มีสมบัติโดยรวมดีที่สุด เมื่อปรับปรุงถ้ำแคลบดำด้วย PEG และสารคู่ควบไซเลน Si-69 แล้วใช้ถ้ำแคลบดำ F-BRHA-G เป็นสารตัวเติมในยางผสมสูตร ในการทดลองนี้จึง ทำการปรับปรุง ถ้ำแคลบดำ F-BRHA-G ด้วย PEG และสารคู่ควบไซเลน Si-69 ที่ 5 และ 3% โดยน้ำหนักของถ้ำแคลบดำตามลำดับ

4.4.1 พฤติกรรมการเชื่อมโยงของยางผสมสูตร

การศึกษาปริมาณถ้ำ แคลบดำที่มีผลต่อพฤติกรรมการเชื่อมโยงของยาง ผสมสูตร จากรูปที่ 4.26 และตารางที่ 4.8 พบว่ายางผสมสูตรที่ไม่มีสารตัวเติม (0 phr) จะมีเวลาเริ่มเชื่อมโยงและเวลา

เชื่อมโยงมากกว่ายางผสมสูตรที่ใช้ถ้ำแคลบดำเนื่องจากยางเป็นฉนวนทางความร้อน ทำให้ยางผสมเอกสารนี้เป็นเอกสารที่สงวนไว้สำหรับการใช้งานเพื่อการศึกษาเท่านั้น เมื่อนุญาตให้นำไปใช้ประโยชน์ด้านการค้าไม่ว่ากรณีใดๆ ทั้งสิ้น อีกทั้งห้ามมิให้ดัดแปลงเนื้อหา และต้องอ้างอิงถึงเจ้าของเอกสารทุกครั้งที่มีการนำไปใช้

สูตรที่ใช้เส้นใยเคลือบสามารถนำความร้อนได้ดีกว่า แต่ในขณะที่การใช้เส้นใยเคลือบในปริมาณที่แตกต่างกันนั้นไม่ส่งผลต่อเวลาเริ่มเชื่อมโยงและเวลาเชื่อมโยงอย่างน้อยสำคัญแต่เมื่อปริมาณเส้นใยเคลือบในยางผสมสูตรเพิ่มมากขึ้นทำให้เกิดการเสียดสีสภาพแบบเกิดการเชื่อมโยงมากขึ้น (Marching) สังเกตได้จากกราฟในช่วง Overcure มีความชันเพิ่มมากขึ้น เนื่องจากเส้นใยเคลือบเป็นอนุภาคของแข็งเมื่อมีปริมาณมากขึ้นซึ่งจะมีปริมาณของเนื้อยางลดน้อยลงทำให้ยางผสมสูตรสามารถนำความร้อนได้ดีขึ้นและจะมีพื้นที่ผิวสัมผัสในการเกิดอันตรกิริยาระหว่างเส้นใยเคลือบกับยางมากขึ้น ส่งผลให้มีค่าแรงบิดสูงสุดมีแนวโน้มสูงขึ้น และทำให้ค่าความหนืดมีแนวโน้มสูงขึ้น เนื่องจากยางผสมสูตรที่ใช้เส้นใยเคลือบปริมาณมากเส้นใยเคลือบจะเกิดการขัดขวางการเคลื่อนที่ของสายโซ่โพลิเมอร์ ทำให้สายโซ่โพลิเมอร์สามารถเคลื่อนที่ช้ากว่ายางผสมสูตรที่ใช้เส้นใยเคลือบปริมาณน้อย



รูปที่ 4.26 ผลของปริมาณเส้นใยเคลือบที่มีต่อพฤติกรรมการเชื่อมโยงของยางผสมสูตร โดยมี BRHA-G, P+S เป็นสารตัวเติมในปริมาณต่างๆ

ตารางที่ 4.8 ผลของปริมาณเถ้าเคลือบดำที่มีต่อพฤติกรรมการเชื่อมโยงและความหนืดมูนนิ่งของ
ยางผสมสูตรที่มี BRHA-G, P+S เป็นสารตัวเติมในปริมาณต่างๆ

Filler content (phr)	Mooney viscosity (ML1+4 (100°C))	M_L (kgf.cm)	M_H (kgf.cm)	t_{s2} (min)	t_{c90} (min)	CRI (min^{-1})
0	21.9	1.0	10.5	3.8	4.6	125.0
20	25.6	0.7	14.2	1.3	1.8	208.3
40	27.4	0.7	15.2	1.2	1.8	171.4
60	29.4	0.7	16.2	1.3	1.9	171.4
80	35.2	0.7	15.9	1.5	2.2	145.8
100	39.7	0.7	16.2	1.5	2.1	171.4
120	39.8	0.7	17.5	1.4	2.1	145.8

4.4.2 สมบัติเชิงกลของยางผสมสูตร

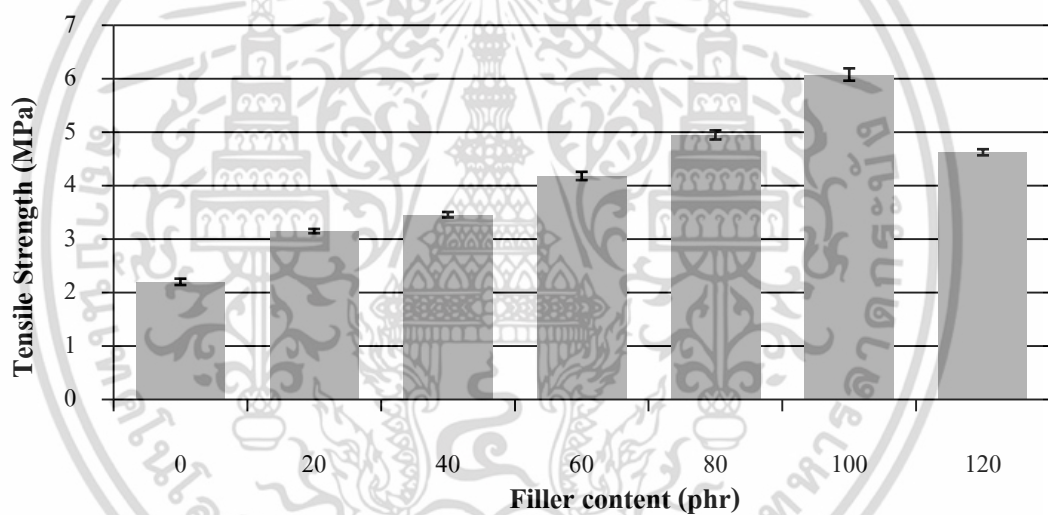
ในการศึกษาผลของปริมาณเถ้าเคลือบดำต่อสมบัติเชิงกลต่างๆ ของยางผสมสูตรถูกควบคุมขนาดของเถ้าเคลือบดำ F-BRHA-G และปรับปรุงเถ้าเคลือบดำด้วย PEG และสารคู่ควบไซเลน Si-69 จากรูปที่ 4.27-4.29เป็นการศึกษาสมบัติเชิงกลด้านความแข็งแรงดึง มอดคูลัส ของยาง ที่ 100เปอร์เซ็นต์ดิ่งยึดเปอร์เซ็นต์การดิ่งยึด ณ จุดขาดและความแข็งแรงลักษณะพบว่ามีปริมาณเถ้าเคลือบดำมากขึ้น (0, 20, 40, 60, 80 และ 100 phr) ส่งผลให้มีค่าความแข็งแรงดึงและค่าความแข็งแรงลักษณะสูงขึ้นจนถึงปริมาณ 100 phr ซึ่งมีค่าสูงที่สุด เท่ากับ 6.07 MPa และ 30.28 kN/m ตามลำดับ เนื่องจากเมื่อปริมาณเถ้าเคลือบดำมากขึ้นทำให้มีปริมาณพื้นผิวที่เกิดอัตรากิริยาระหว่างยางกับเถ้าเคลือบดำตัวเติมได้มากขึ้น ซึ่งจะ เกิดการแทรกสอดเกิดเป็นยางบาวด์ (Bound rubber) ได้มากขึ้นด้วยจึงทำให้มีสมบัติเชิงกลดีขึ้นแต่เมื่อเพิ่มปริมาณของเถ้าเคลือบดำมากขึ้นไปอีก (120 phr) ให้สมบัติความแข็งแรงดึงและความแข็งแรงลักษณะของยางผสมสูตรลดลง เนื่องจากยางผสมสูตรมีเถ้าเคลือบดำมากเกินไปพื้นที่ผิวของเถ้าเคลือบดำมีปริมาณมากจนยางล้อมรอบได้ไม่ทั่วถึงทำให้เถ้าเคลือบดำเกาะกลุ่มกันส่งผลให้มี รอยดำหนิ หรือช่องว่างของชิ้นงานซึ่งเกิดการเสียหายได้ง่ายเมื่อรับแรง

ในทางตรงกันข้ามเปอร์เซ็นต์การดิ่งยึด ณ จุดขาดนั้นมีแนวโน้มน้อยลงเมื่อยางผสมสูตรมี

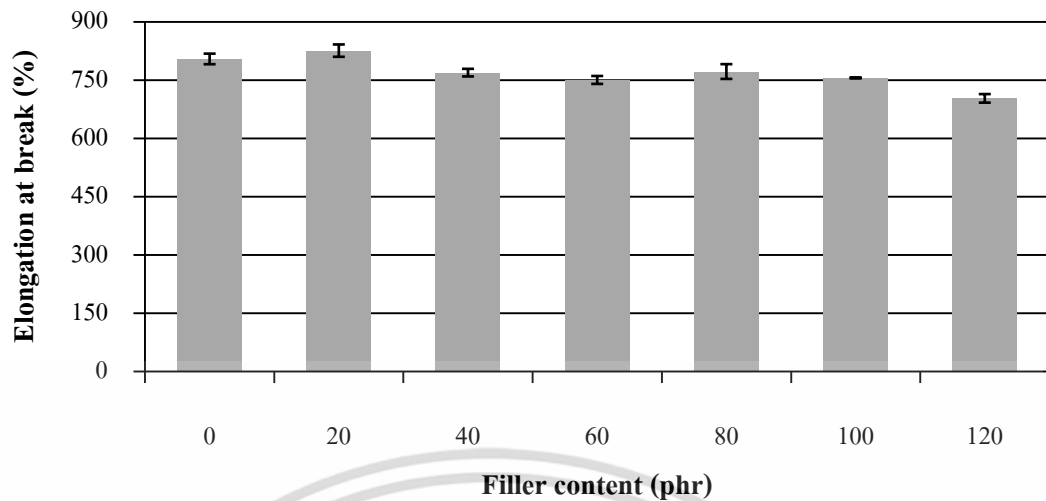
เถ้าเคลือบดำในปริมาณมากขึ้น เนื่องจากผลของปรากฏการณ์การขยายความเครียด (Strain เอกสารนี้เป็นเอกสารที่สงวนไว้สำหรับการใช้งานเพื่อการศึกษาเท่านั้น ไม่อนุญาตให้นำไปใช้ประโยชน์ด้านการค้า ไม่ว่าจะกรณีใดๆ ทั้งสิ้น อีกทั้งห้ามมิให้ดัดแปลงเนื้อหา และต้องอ้างอิงถึงเจ้าของเอกสารทุกครั้งที่มีการนำไปใช้

amplification effect) [25] กล่าวคือ ยางผสมสูตรที่มีเส้นใยเสริมในปริมาณมาก ซึ่งจะทำให้มีปริมาณยางที่สามารถยืดตัวลดน้อยลง เมื่อเกิดการดึงยืด เส้นใยเสริมที่เป็นอนุภาคของแข็งไม่สามารถเกิดการยืดตัวได้ ทำให้ยางได้รับความเครียด (Strain) มากกว่ายางผสมสูตรที่มีเส้นใยเสริมปริมาณน้อย ส่งผลให้มีเปอร์เซ็นต์การดึงยืด ณ จุดขาดลดน้อยลง

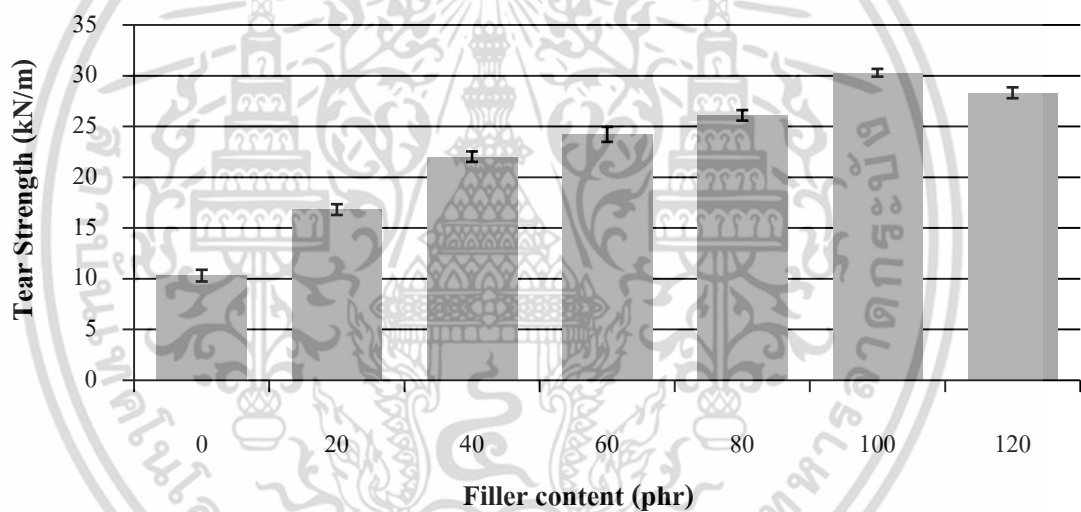
จากรูปที่ 4.30 และ 4.31 เป็นการศึกษามอดูลัสของยางที่ 100 เปอร์เซ็นต์การดึงยืดและความแข็ง-กดของยางผสมสูตรที่มีเส้นใยเสริมเป็นสารตัวเติมปริมาณต่างๆ พบว่าปริมาณเส้นใยเสริมเพิ่มขึ้น ทำให้วัสดุมีความแข็งเพิ่มขึ้น ซึ่งเป็นแนวโน้มเดียวกับกฎของของผสม (Rule of mixture) กล่าวคือ สมบัติของของผสมรวม ขึ้นกับสมบัติและปริมาณของแต่ละองค์ประกอบย่อยในวัสดุ [17] ดังนั้น การเพิ่มปริมาณเส้นใยเสริมที่มีความแข็งมากกว่ายาง จึงทำให้ของผสมมีความแข็งสูงขึ้นตามปริมาณเส้นใยเสริมที่เพิ่มขึ้น



รูปที่ 4.27 ผลของปริมาณเส้นใยเสริมที่มีต่อค่าความแข็งแรงดึงของยางผสมสูตร โดยมี BRHA-G, P+S เป็นสารตัวเติมในปริมาณต่างๆ

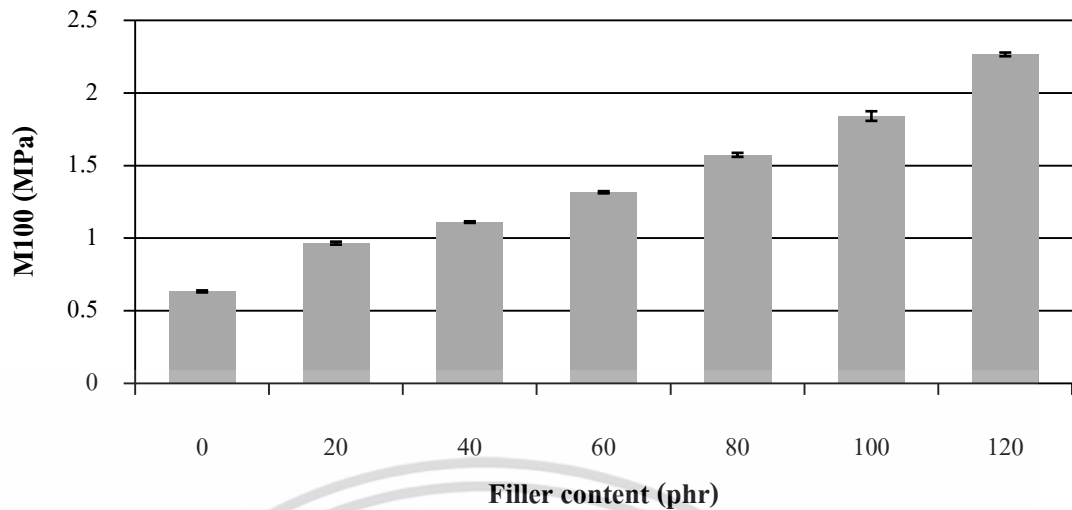


รูปที่ 4.28 ผลของปริมาณแก้วเคลือบดำที่มีต่อค่าเปอร์เซ็นต์การดึงยืด ณ จุดขาดของยางผสมสูตร โดยมี BRHA-G, P+S เป็นสารตัวเติมในปริมาณต่างๆ

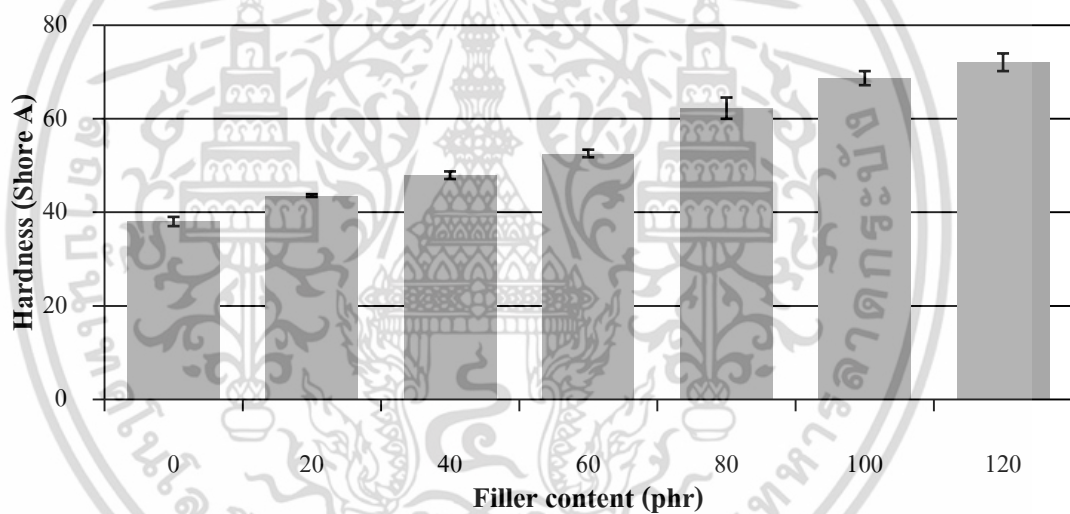


รูปที่ 4.29 ผลของปริมาณแก้วเคลือบดำที่มีต่อค่าความแข็งแรงฉีกขาดของยางผสมสูตร โดยมี BRHA-G, P+S เป็นสารตัวเติมในปริมาณต่างๆ

เอกสารนี้เป็นเอกสารที่สงวนไว้สำหรับการใช้งานเพื่อการศึกษาเท่านั้น ไม่อนุญาตให้นำไปใช้ประโยชน์ด้านการค้า ไม่ว่าจะกรณีใดๆ ทั้งสิ้น อีกทั้งห้ามมิให้ดัดแปลงเนื้อหา และต้องอ้างอิงถึงเจ้าของเอกสารทุกครั้งที่มีการนำไปใช้

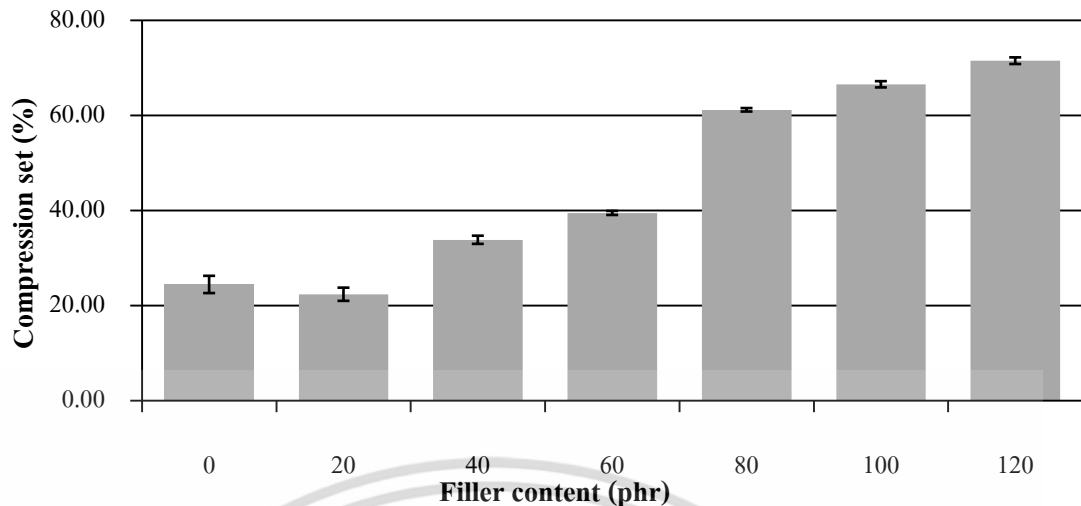


รูปที่ 4.30 ผลของปริมาณแก้วเคลือบดำที่มีต่อค่าความมอดุลัสของยางที่ 100เปอร์เซ็นต์ดิ่งยึดของยางผสมสูตรโดยมี BRHA-G, P+S เป็นสารตัวเติมในปริมาณต่างๆ



รูปที่ 4.31 ผลของปริมาณแก้วเคลือบดำที่มีต่อค่าความแข็งกด (Shore A) ของยางผสมสูตรโดยมี BRHA-G, P+S เป็นสารตัวเติมในปริมาณต่างๆ

เอกสารนี้เป็นเอกสารที่สงวนไว้สำหรับการใช้งานเพื่อการศึกษาเท่านั้น ไม่อนุญาตให้นำไปใช้ประโยชน์ด้านการค้า ไม่ว่าจะกรณีใดๆ ทั้งสิ้น อีกทั้งห้ามมิให้ดัดแปลงเนื้อหา และต้องอ้างอิงถึงเจ้าของเอกสารทุกครั้งที่มีการนำไปใช้



รูปที่ 4.32 ผลของปริมาณเถ้าเคลือบดำที่มีต่อค่าการเสียรูปถาวรหลังการกดอัดเป็นเวลา 22 ชั่วโมงที่อุณหภูมิ 70°C ของยางผสมสูตรโดยมี BRHA-G, P+S เป็นสารตัวเติมในปริมาณต่างๆ

จากรูปที่ 4.32เป็นการศึกษาค่าการเสียรูปถาวรหลังการกดอัดของผสมสูตรโดยมีเถ้าเคลือบดำ (BRHA-G, P+S) เป็นสารตัวเติมในปริมาณต่างๆ ทำการทดสอบที่อุณหภูมิ 70 °C เป็นเวลา 22 ชั่วโมง พบว่ายางไนไตรล์มีพฤติกรรมการคืนตัวกลับน้อยลงเมื่อได้รับแรงกดอัดเมื่อมีเถ้าเคลือบดำปริมาณมากขึ้น ซึ่งเป็นที่ทราบทั่วกันว่าเมื่อปริมาณของสารตัวเติมมากขึ้น ส่งผลให้การเสียรูปถาวรหลังการกดอัดมากขึ้นด้วย [34]เนื่องจากการเติมเถ้าเคลือบดำในปริมาณที่มากขึ้นทำให้เกิดอันตรกิริยาระหว่างยางกับสารตัวเติมมากขึ้นด้วย ส่งผลให้ยางได้รับแรงกระทำเพิ่มขึ้นจากการต้านทานการถูกแรงกดอัด ทำให้เกิดการเปลี่ยนตำแหน่งหรือเกิดการแตกหักของพันธะเชื่อมโยงมากขึ้น [34]นอกจากนี้ เนื่องจากพื้นฐานวิทยาของเถ้าเคลือบดำที่มีลักษณะเป็นรูพรุน เมื่อมีปริมาณเถ้าเคลือบดำมากขึ้น ทำให้ยางเข้าไปแทรกในเข้าไปอยู่ในรูพรุนหลังจากได้รับแรงกดอัดได้มากขึ้น ส่งผลให้เมื่อปล่อยแรงกดอัดของผสมสูตรจึงสามารถคืนกลับตัวได้น้อยลง กล่าวคือมีเปอร์เซ็นต์การเสียรูปถาวรหลังการกดอัดมากขึ้น

4.5 ผลของการใช้เถ้าแกลบดำเป็นสารตัวเติมในยางไนไตรล์เทียบกับสารตัวเติมชนิดอื่น

ปัจจุบันในอุตสาหกรรมยางมีการใช้สารตัวเติมกันอย่างแพร่หลาย โดยสารตัวเติมที่ใช้มีทั้งชนิดเสริมแรงและไม่เสริมแรง เพื่อปรับปรุงสมบัติต่างๆ ของยางผสมสูตรและลดต้นทุนในการผลิต ปริมาณของสารตัวเติมที่นิยมใช้อยู่ในช่วง 50-100 phr ซึ่งปริมาณการใช้สารตัวเติมนั้นขึ้นอยู่กับความต้องการที่จะปรับปรุงสมบัติต่างๆ ของยางผสมสูตร โดยที่การใช้สารตัวเติมในปริมาณมาก ส่งผลให้ยางมีความหนืดสูง ทำให้เกิดปัญหาในกระบวนการผลิต และยังทำให้เกิดการเกาะกลุ่มกันของสารตัวเติมเพราะสารตัวเติมบางชนิดมีปัญหาการกระจายตัว เช่น เหม่าดำ [8, 25] ในงานวิจัยนี้จึงได้นำสารตัวเติมทางการค้าที่นิยมใช้ในอุตสาหกรรมยางทั้งหมด 3 ชนิด คือ เหม่าดำ (N330) ซิลิกา (Tokusil[®] 255) และแคลเซียมคาร์บอเนต (GCC) มาใช้เป็นสารตัวเติมในยางไนไตรล์ ซึ่งสารตัวเติมชนิดต่างๆ มีลักษณะทางกายภาพที่แตกต่างกัน ดังแสดงในตารางที่ 4.9 โดยจากผลการทดลองข้างต้น พบว่าเถ้าแกลบดำให้สมบัติโดยรวมที่ดีที่สุด เมื่อใช้เถ้าแกลบดำบดละเอียดที่ปรับปรุงด้วย PEG และสารคู่ควบไซเลน Si-69 (BRHA-G, P+S) ซึ่งจากผลการวิเคราะห์เถ้าแกลบดำนั้น พบซิลิกาในปริมาณมาก แสดงถึงการเป็นสารตัวเติมกลุ่มซิลิกาในการทดลองนี้จึงทำการปรับปรุงสารตัวเติมกลุ่มซิลิกาอื่นๆ ด้วย PEG และสารคู่ควบไซเลน Si-69 ในปริมาณ 5 และ 3 % โดยน้ำหนักของสารตัวเติมตามลำดับ แล้วทำการควบคุมปริมาณสารตัวเติมทุกชนิดในปริมาณ 60 phr ในการศึกษาเชิงเปรียบเทียบของการใช้ BRHA-G, P+S เทียบกับสารตัวเติมทางการค้า เพื่อให้ทราบถึงศักยภาพของการนำเถ้าแกลบดำมาใช้เป็นสารตัวเติมในยางไนไตรล์ อย่างไรก็ตาม การเปรียบเทียบกับสารตัวเติมทางการค้าอาจไม่สามารถเปรียบเทียบได้อย่าง แม่นยำ ทั้งนี้เนื่องจากสารตัวเติมแต่ละชนิดมีความหนาแน่นที่แตกต่างกัน ทำให้ปริมาตรของสารตัวเติมในยางผสมสูตร (Volume fraction) มีปริมาณไม่เท่ากัน นอกจากนี้สารตัวเติมแต่ละชนิดอาจส่งผลให้การเชื่อมโยงของสารเคมียางไม่เท่ากันรวมทั้งความสามารถในการกระจายตัว

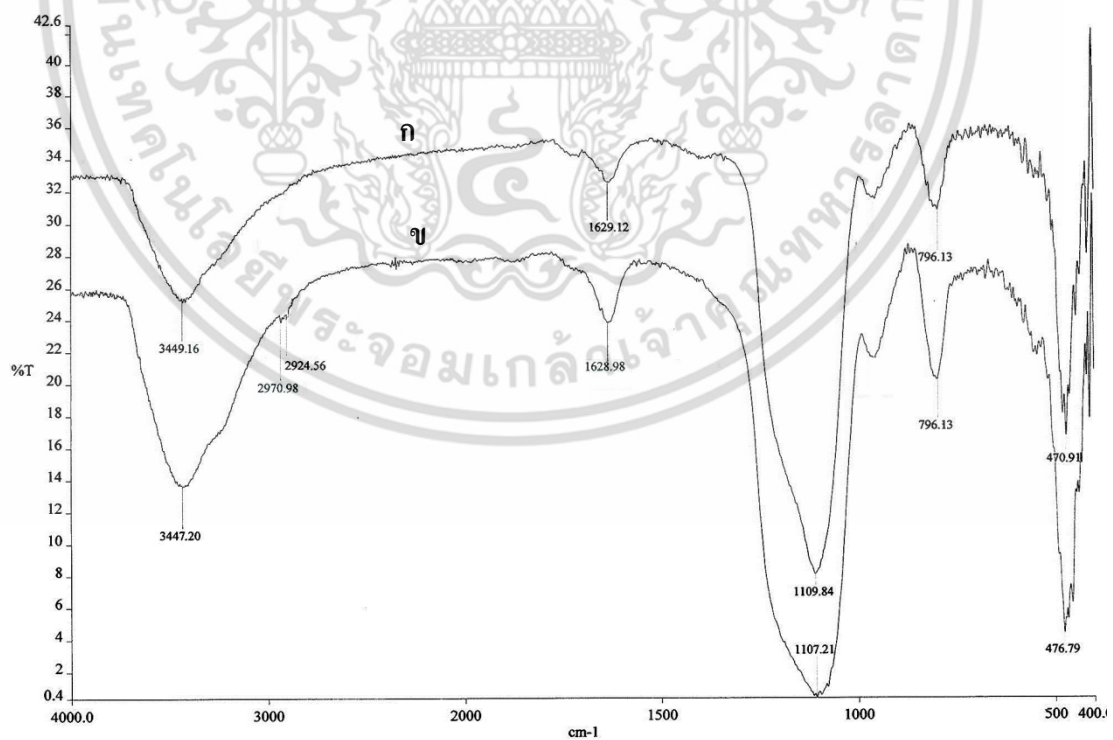
ตารางที่ 4.9 ขนาดอนุภาคเฉลี่ย พื้นที่ผิวจำเพาะและความหนาแน่นรวมของสารตัวเติมชนิดต่างๆ

สารตัวเติม	ขนาดอนุภาคเฉลี่ย (μm)	พื้นที่ผิวจำเพาะ BET (m^2/g)	ความหนาแน่น (g/cm^3)	ความแข็ง
BRHA-G	6.10	17.3	1.7-1.8*	n/a
Calcium carbonate	2.00	9.0	2.7	2.8-3.0
Precipitated silica	0.018	165.0	2.2	6.5-7.0
Carbon black	0.02-0.03	71.0-85.0	1.8	2.0-2.9

หมายเหตุ: สารตัวเติม Calcium carbonate Precipitate silica และ Carbon black เป็นข้อมูลจากบริษัทผู้ผลิต

* หมายถึง ข้อมูลจากงานวิจัยที่เกี่ยวข้อง [24, 29]

4.5.1 การปรับปรุงซิลิกาชนิดตกตะกอนด้วยสารคู่ควบไซเลน Si-69



รูปที่ 4.33 สเปกตรัม FT-IR ของ ก) ซิลิกาชนิดตกตะกอนไม่ได้ปรับปรุงพื้นผิว และ ข) ซิลิกาชนิด

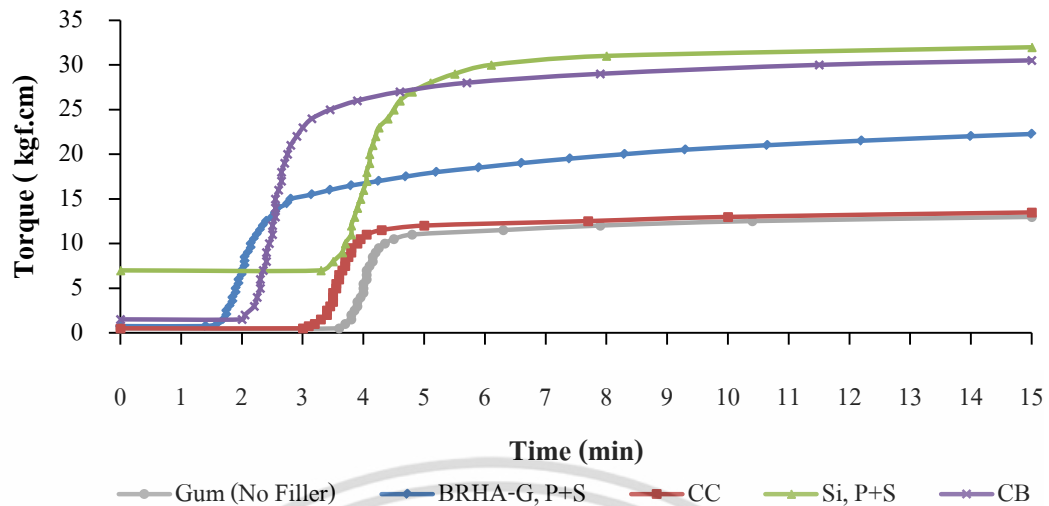
ตกตะกอนที่ปรับปรุงพื้นผิวด้วยสารคู่ควบไซเลน Si-69

เอกสารนี้เป็นเอกสารที่สงวนไว้สำหรับการใช้งานเพื่อการศึกษาเท่านั้น ไม่อนุญาตให้นำไปใช้ประโยชน์ด้านการค้า ไม่ว่าจะกรณีใดๆ ทั้งสิ้น อีกทั้งห้ามมิให้ดัดแปลงเนื้อหา และต้องอ้างอิงถึงเจ้าของเอกสารทุกครั้งที่มีการนำไปใช้

รูปที่ 4.33 แสดงแถบดูดกลืนจากเทคนิค FT-IR ของซิลิกาชนิดตกตะกอนที่ไม่ได้ปรับปรุง และปรับปรุงพื้นผิวด้วยสารคู่ควบไซเลน Si-69 พบว่าเมื่อปรับปรุงซิลิกาชนิดตกตะกอนด้วยสารคู่ควบไซเลน Si-69 ปรากฏแถบการดูดกลืนที่ประมาณ $2924-2982\text{ cm}^{-1}$ ซึ่งแสดงถึงการสั่นแบบยืดของหมู่ฟังก์ชัน CH_2 ในโมเลกุลของสารคู่ควบไซเลน Si-69 และพบว่ามีแถบดูดกลืนที่ประมาณ 1100 cm^{-1} กว้างมากขึ้น แสดงถึงการเพิ่มขึ้นของหมู่ไซลอกเซน เนื่องจากหมู่อัลคอกซี (Alkoxy) ของสารคู่ควบไซเลน Si-69 นั้นทำปฏิกิริยากับหมู่ไซลอลที่อยู่บนพื้นผิวของซิลิกาเช่นเดียวกับการปรับปรุงแล้วเคลือบด้วยสารคู่ควบไซเลนดังที่กล่าวไว้ในหัวข้อ 4.2.1

4.5.2 พฤติกรรมการเชื่อมโยงของยางผสมสูตร

พฤติกรรมการเชื่อมโยงของยางผสมสูตรที่ผสมสารตัวเติมชนิดต่างๆ ดังแสดงรูปที่ 4.34 และตารางที่ 4.10 พบว่ายางผสมสูตรที่มีสารตัวเติมทำให้เวลาเริ่มเชื่อมโยงและเวลาเชื่อมโยงลดลง รวมถึงดัชนีการเชื่อมโยงมีค่าเพิ่มขึ้นเมื่อเปรียบเทียบกับยางผสมสูตรที่ไม่มีสารตัวเติม เนื่องจากเมตริกซ์ยางมีความเป็นฉนวนความร้อน ในขณะที่สารตัวเติมแล้วเคลือบด้วยสารตัวเติมทางการค้าต่างๆ มีความสามารถในการนำความร้อนดีกว่าเมื่อเทียบกับยาง เมื่อใส่สารตัวเติมในยางผสมสูตรทำให้ยางผสมสูตรสามารถนำความร้อนได้ดีขึ้นส่งผลให้เกิดการเชื่อมโยงเร็วขึ้น เมื่อเปรียบเทียบระหว่างการใช้แล้วเคลือบด้วยสารตัวเติมทางการค้าชนิดต่างๆ พบว่ามีเวลาเริ่มเชื่อมโยงและเวลาเชื่อมโยงน้อยกว่า และมีค่าดัชนีการเชื่อมโยงมากกว่าสารตัวเติมทางการค้าทุกชนิดเนื่องจากการวิเคราะห์แล้วเคลือบด้วยเทคนิค XRF พบว่าแล้วเคลือบมีองค์ประกอบของโลหะออกไซด์ เช่น แมกนีเซียมออกไซด์ เป็นต้น ซึ่งทำหน้าที่เป็นสารกระตุ้นปฏิกิริยาเชื่อมโยงเหมือนซิงค์ออกไซด์ ทำให้ช่วยเร่งปฏิกิริยาเชื่อมโยงได้มากขึ้นนอกจากนี้การใช้แล้วเคลือบส่งผลให้มีค่าแรงบิดสูงสุดและค่าความหนืดมูนนี้มากกว่าการใช้สารตัวเติมทางการค้าเคลือบคาร์บอน เนื่องจากแล้วเคลือบมีพื้นที่ผิวจำเพาะที่มากกว่าจึงสามารถเกิดอันตรกิริยากับเมตริกซ์ยางได้ดีกว่าเคลือบคาร์บอน อย่างไรก็ตามการใช้สารตัวเติมทางการค้าซิลิกาและเขม่าดำ พบว่ามีค่าแรงบิดสูงสุดและค่าความหนืดมูนนี้มากกว่าแล้วเคลือบเนื่องจากมีพื้นที่ผิวจำเพาะในการเกิดอันตรกิริยากับเมตริกซ์ยางมากกว่าแล้วเคลือบเช่นกัน



รูปที่ 4.34 ผลของการเปรียบเทียบค่าแกลบดำกับสารตัวเติมชนิดอื่นๆ ที่มีต่อพฤติกรรมการเชื่อมโยงของยางผสมสูตร โดยมีสารตัวเติมปริมาณ 60 phr

ตารางที่ 4.10 ผลของการเปรียบเทียบค่าแกลบดำกับสารตัวเติมชนิดอื่นๆ ที่มีต่อพฤติกรรมการเชื่อมโยงและความหนืดมูนนี้ของยางผสมสูตร โดยมีสารตัวเติมปริมาณ 60 phr

Rubber formula	Mooney viscosity (ML1+4 (100°C))	M_L (kgf.cm)	M_H (kgf.cm)	t_{s2} (min)	t_{c90} (min)	CRI (min ⁻¹)
Gum (No Filler)	21.9	0.5	10.5	3.8	4.6	125.0
BRHA-G, P+S	29.4	0.7	16.0	1.3	1.9	171.4
CC	25.1	0.5	11.5	3.3	3.9	166.6
Si, P+S	115.7	7.0	31.0	3.7	4.4	162.5
CB	49.7	1.5	26.0	2.2	2.8	166.7

4.5.3 สมบัติเชิงกลของยางผสมสูตร

ค่าความแข็งแรงดึง ค่ามอดูลัสของยางที่ 100 เปอร์เซ็นต์ดึงยืด ค่าเปอร์เซ็นต์การดึงยืด ณ จุดขาด ค่าความแข็งแรงฉีกขาดและค่าความแข็งแรงกดของยางผสมสูตรดังตารางที่ 4.11 เมื่อเปรียบเทียบยางผสมสูตรที่ใช้แกลบดำเป็นสารตัวเติมกับสารตัวเติมชนิดอื่นๆ พบว่าการใช้แกลบดำสามารถเสริมแรงได้ดีกว่าแคลเซียมคาร์บอเนต เนื่องจากแกลบดำมีองค์ประกอบของซิลิกาในปริมาณมาก และมีหมู่ฟังก์ชันไฮดรอกซิลบริเวณพื้นผิวของแกลบดำ เมื่อทำการปรับปรุงแกลบดำด้วยสารกลุ่มควาไซเลน Si-69 จึงสามารถเกิดอันตรกิริยากับเมตริกซ์ยางได้ดีกว่า

แคลเซียมคาร์บอเนต ส่งผลให้รอยต่อระหว่างวัฏภาคของเมตริกซ์ยางกับสารตัวเติมแกลบดำมีเอกสารนี้เป็นเอกสารที่สงวนไว้สำหรับการใช้งานเพื่อการศึกษาเท่านั้น เมื่ออนุญาตให้นำไปใช้ประโยชน์ด้านการค้าไม่ว่ากรณีใดๆ ทั้งสิ้น อีกทั้งห้ามมิให้ดัดแปลงเนื้อหา และต้องอ้างอิงถึงเจ้าของเอกสารทุกครั้งที่มีการนำไปใช้

ความแข็งแรง กว่าแคลเซียมคาร์บอเนต แต่อย่างไรก็ตามสารตัวเติมซิลิกาและเขม่าดำสามารถเสริมแรงได้ดีกว่าถ้าแคลบดำ ทั้งนี้เนื่องจากถ้าแคลบดำมีขนาดอนุภาคที่ใหญ่ และพื้นที่ผิวจำเพาะน้อยกว่าซิลิกากับเขม่าดำ (ตารางที่ 4.9) ถึงแม้ว่าถ้าแคลบดำมีองค์ประกอบ และหมู่ฟังก์ชันไฮดรอกซิลเหมือนสารตัวเติมซิลิกาแต่ก็มีในปริมาณน้อยกว่า จึงสามารถเกิดอันตรกิริยากับเมทริกซ์ยางได้ไม่ดีเท่าซิลิกา ซึ่งสอดคล้องกับงานวิจัยของ Arayaprane W. et.al [30]และรติมา จันทร์จำปา [6] พบว่า ถ้าแคลบดำไม่สามารถเสริมแรงได้เหมือนกับซิลิกา และเขม่าดำเนื่องจากถ้าแคลบดำมีขนาดอนุภาคที่ใหญ่ และมีพื้นที่ผิวจำเพาะน้อยกว่าซิลิกา และเขม่าดำและ Sombatsompop N. et.al.[27] ศึกษาการใช้ถ้ำลอย ซึ่งองค์ประกอบส่วนใหญ่เป็นซิลิกา มาใช้เป็นสารตัวเติมในยางไนไตรล์ พบว่าไม่สามารถเสริมแรงได้เหมือนการใช้สารตัวเติมซิลิกาเนื่องจากความแตกต่างของอนุภาคที่มีขนาดใหญ่ และจำนวนหมู่ฟังก์ชันไฮดรอกซิลที่มีปริมาณน้อย

ตารางที่ 4.11 ความแข็งแรงดึงเปอร์เซ็นต์การดึงยืด ณ จุดขาดและมอดุลัสของยางที่เปอร์เซ็นต์ดึงยืดความแข็งแรงฉีกขาดและค่าความแข็งกดของยางผสมสูตร

ยางผสมสูตร	Gum (No Filler)	BRHA-G, P+S	CC	Si, P+S	CB
ความแข็งแรงดึง (MPa)	2.2	4.1	2.9	21.1	22.2
เปอร์เซ็นต์การดึงยืด ณ จุดขาด	804	750	791	1560	1104
มอดุลัสของยางที่ 100 เปอร์เซ็นต์ ดึงยืด (MPa)	0.63	1.31	0.77	1.58	1.79
ความแข็งแรงฉีกขาด (kN/m)	10.3	24.2	11.2	98.1	71.2
ความแข็งกด (Shore A)	38	52	43	67	63
การเสีयरูปถาวรหลัง การกดอัด (%)	24	39	41	42	38
ปริมาตรสูญเสี (mm ³)	25	335	186	92	32

เอกสารนี้เป็นเอกสารที่สงวนไว้สำหรับการใช้งานเพื่อการศึกษาเท่านั้น ไม่อนุญาตให้นำไปใช้ประโยชน์ด้านการค้าไม่ว่ากรณีใดๆ ทั้งสิ้น อีกทั้งห้ามมิให้ดัดแปลงเนื้อหา และต้องอ้างอิงถึงเจ้าของเอกสารทุกครั้งที่มีการนำไปใช้

ค่าการเสีรูปถาวรหลังการกดอัดยางผสมสูตรที่ใช้สารตัวเติมชนิดต่างๆ ทำการทดสอบที่อุณหภูมิ 70°C เป็นเวลา 22 ชั่วโมงแสดงดังตารางที่ 4.11 พบว่ายางผสมสูตรที่ไม่มีสารตัวเติมเกิดการเสีรูปถาวรหลังการกดอัดน้อยที่สุด เนื่องจากไม่มีอนุภาคของแข็งเข้าไปแทรกในเนื้อยางเลย จึงมีการกลับคืนสู่รูปร่างเดิมได้มากที่สุด และมีพฤติกรรมการคืนตัวกลับเมื่อได้รับแรงกดอัดน้อยลงเมื่อทำการใส่สารตัวเติมชนิดต่างๆ ลงในยางผสมสูตรในปริมาณ 60 phr เนื่องจากการใส่สารตัวเติมในปริมาณมาก จึงมีปริมาณของยางน้อยลง ทำให้ยางผสมสูตรที่มีสารตัวเติมได้รับแรงกระทำมากกว่ายางผสมสูตรที่ไม่มีสารตัวเติม ส่งผลให้เมื่อปล่อยแรงกดอัดยางผสมสูตรจึงสามารถคืนกลับตัวได้น้อยลง กล่าวคือมีเปอร์เซ็นต์การเสีรูปถาวรหลังการกดอัดมากขึ้น

การสึกหรอของยางผสมสูตรที่ใช้สารตัวเติมชนิดต่างๆ ในปริมาณ 60 phr แสดงดังตารางที่ 4.11 พบว่ายางผสมสูตรที่ไม่มีสารตัวเติมมีค่าการสึกหรอน้อยที่สุดเมื่อเปรียบเทียบกับยางผสมสูตรอื่นๆ เพราะยางผสมสูตรที่มีสารตัวเติมมีโอกาสเกิดช่องว่างระหว่างรอยต่อวัฏภาค ส่งผลให้เกิดการเสีสภาพจากการสึกหรอมากกว่าเมื่อเปรียบเทียบการใช้เส้นใยเส้นใยเป็นสารตัวเติมกับสารตัวเติมทางการค้าชนิดต่างๆ พบว่าเส้นใยเส้นใยมีค่าการสึกหรอมากที่สุดเมื่อเปรียบเทียบกับสารตัวเติมชนิดอื่น เนื่องจากเส้นใยเส้นใยมีอนุภาคขนาดใหญ่ที่สุดเมื่อเปรียบเทียบกับสารตัวเติมทางการค้าชนิดอื่นๆ เมื่อเกิดการหลุดออกของอนุภาคขนาดใหญ่จะทำให้สูญเสียปริมาตรมากกว่าอนุภาคขนาดเล็ก จึงส่งผลให้มีค่าการสึกหรอมากกว่าเคลือบคาร์บอนเนตถึงแม้ว่าเส้นใยจะมีองค์ประกอบของซิลิกาที่ใช้ให้เกิดอันตรกิริยากับยางที่ดีกว่าเคลือบคาร์บอนเนตและเมื่อเปรียบเทียบเส้นใยและซิลิกา พบมีค่าการสึกหรอน้อยกว่าเส้นใยเนื่องจากเส้นใยและซิลิกามีรอยต่อระหว่างวัฏภาคของยางกับสารตัวเติมที่แข็งแรงกว่าเส้นใยเส้นใยดังที่กล่าวไว้ข้างต้น

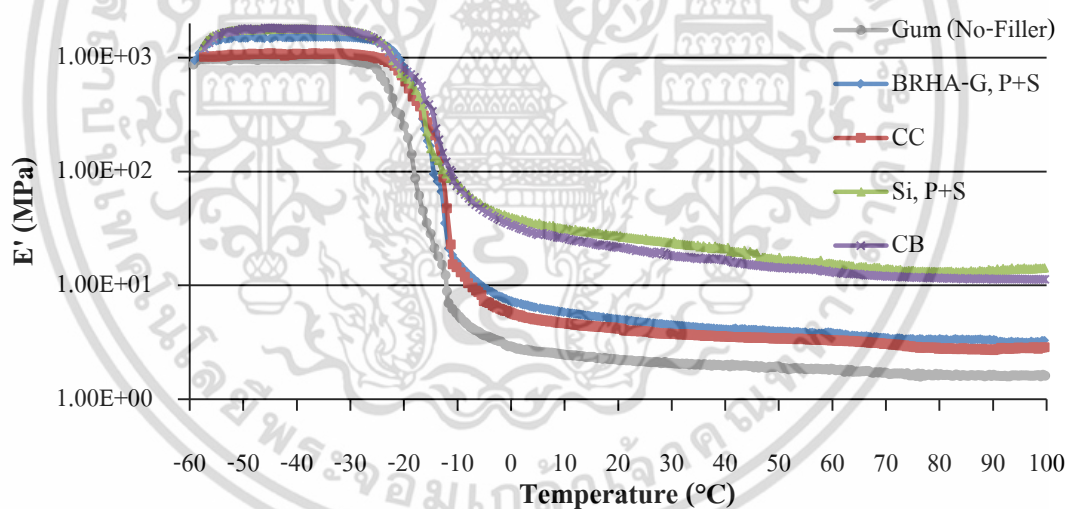
4.5.4 สมบัติความร้อนเชิงกลพลวัตของยางผสมสูตร

การทดสอบสมบัติทางความร้อนเชิงกลพลวัต ของยางผสมสูตรต่างๆ แสดงในรูปที่ 4.35 และ 4.36 พบว่ายางผสมสูตรที่ไม่มีสารตัวเติม มีค่ามอดูลัสสะสมน้อยและค่า $\tan \delta$ มากที่สุด แล้วเมื่อทำการใส่สารตัวเติมชนิดต่างๆ พบว่า เมื่อใช้เส้นใยเส้นใยเป็นสารตัวเติมในยางผสมสูตร ทำให้ค่ามอดูลัสสะสมมากกว่าการใช้เคลือบคาร์บอนเนตเป็นสารตัวเติม ทั้งนี้เนื่องจากผลการวิเคราะห์ข้างต้น เส้นใยเส้นใยสามารถเกิดอันตรกิริยากับยางได้ดีทำให้รอยต่อระหว่างวัฏภาคมีความแข็งแรง ยางผสมสูตรที่ใช้เส้นใยเส้นใยเป็นสารตัวเติมจึงสามารถเก็บพลังงานเพื่อคืนตัวกลับได้ดีกว่าการใช้เคลือบคาร์บอนเนตทำให้ยางผสมสูตรเส้นใยเส้นใยมีค่า $\tan \delta$ ต่ำกว่ายางผสมสูตรเคลือบคาร์บอนเนต

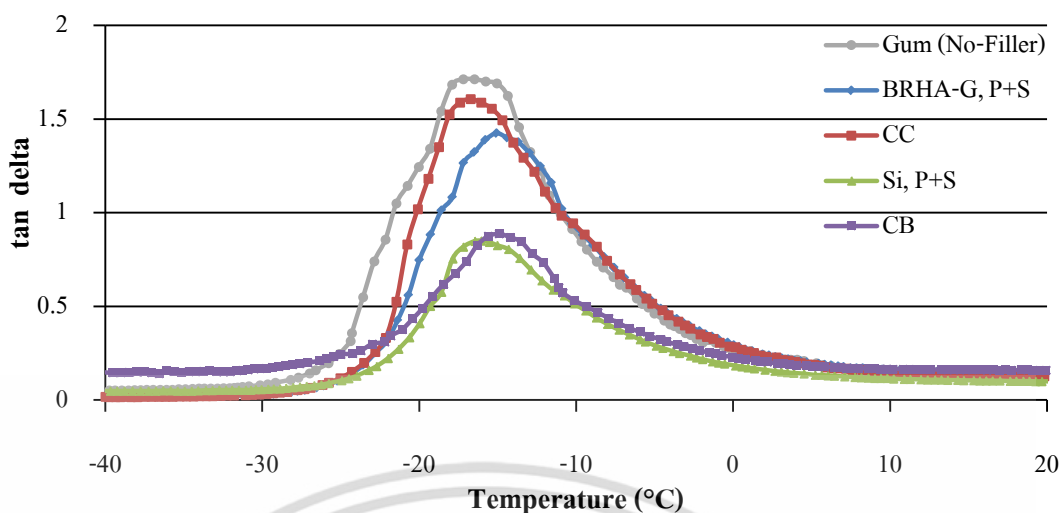
เอกสารนี้เป็นเอกสารที่สงวนไว้สำหรับการใช้งานเพื่อการศึกษาเท่านั้น ไม่อนุญาตให้นำไปใช้ประโยชน์ด้านการค้าไม่ว่ากรณีใดๆ ทั้งสิ้น อีกทั้งห้ามมิให้ดัดแปลงเนื้อหา และต้องอ้างอิงถึงเจ้าของเอกสารทุกครั้งที่มีการนำไปใช้

นอกจากนี้ยังส่งผลให้อุณหภูมิในการเปลี่ยนสถานะคล้ายแก้วของยางผสมสูตรเพิ่มขึ้นดังที่แสดงในตารางที่ 4.12 เนื่องจากแก้วกลบคำเกิดอันตรกิริยากับเมตริกซ์ยางได้ดีทำให้สายโซ่โมเลกุลยางถูกจำกัดอิสระ จึงต้องใช้พลังงานความร้อนในการทำให้สายโซ่โมเลกุลยางเคลื่อนที่มากกว่ายางผสมสูตรที่ใช้แคลเซียมคาร์บอเนต [34]

เมื่อทำการเปรียบเทียบสารตัวเติมแก้วกลบคำกับซิลิกา และเขม่าดำพบว่ายางผสมสูตรที่ใช้แก้วกลบคำมีค่ามอดุลัสต่ำสมน้อยกว่า และ $\tan \delta$ มากกว่าการใช้ซิลิกา และเขม่าดำเนื่องจากสารตัวเติมซิลิกามีองค์ประกอบของซิลิกาอยู่ในปริมาณมาก และมีอนุภาคขนาดเล็ก และพื้นที่ผิวจำเพาะมาก จึงส่งผลทำให้มีปริมาณหมู่ฟังก์ชันไฮดรอกซิลบนพื้นผิวของอนุภาคมาก [46]ซึ่งสามารถเกิดอันตรกิริยากับยางได้ดีกว่าแก้วกลบคำ ทำให้มีรอยต่อระหว่างวัฏภาคที่แข็งแรงกว่าและสารตัวเติมเขม่าดำที่มีโครงสร้างปฐมภูมิในปริมาณมากสามารถเกิดขางบาวด์ได้ ทำให้มีรอยต่อระหว่างวัฏภาคที่แข็งแรงกว่าแก้วกลบคำ นอกจากนี้การใช้สารตัวเติมซิลิกากับเขม่าดำในยางผสมสูตรยังส่งผลให้อุณหภูมิในการเปลี่ยนสถานะคล้ายแก้วของยางผสมสูตรเพิ่มขึ้นเล็กน้อยดังที่แสดงในตารางที่ 4.12



รูปที่ 4.35 ค่ามอดุลัสต่ำสมของยางผสมสูตรเมื่อใช้สารตัวเติมชนิดต่างๆ ในปริมาณ 60 phr



รูปที่ 4.36 ค่า $\tan \delta$ ของยางผสมสูตรเมื่อใช้สารตัวเติมชนิดต่างๆ ในปริมาณ 60 phr

ตารางที่ 4.12 อุณหภูมิเปลี่ยนสถานะคล้ายแก้วของยางผสมสูตรเมื่อใช้สารตัวเติมชนิดต่างๆ ในปริมาณ 60 phr

ยางผสมสูตร	อุณหภูมิเปลี่ยนสถานะคล้ายแก้ว (°C)
Gum (No Filler)	-17.9
BRHA-G, P+S	-15.0
CC	-16.7
Si, P+S	-14.0
CB	-14.3

4.5.5 การวิเคราะห์ต้นทุน และสมบัติของยางผสมสูตร

ในการวิเคราะห์ต้นทุนการผลิต โดยการเปรียบเทียบราคาค่าต้นทุนของยางผสมสูตรที่ไม่ใช้สารตัวเติม และยางผสมสูตรที่ใช้สารตัวเติม คือ เถ้าแกลบค้ำบดละเอียด แคลเซียมคาร์บอเนต ซิลิกา และเขม่าดำ ที่ปริมาณ 60 phr ซึ่งวิเคราะห์ต้นทุนการผลิตยางผสมสูตรที่มีน้ำหนัก 1 kg และ 1 m³ แสดงดังตารางที่ 4.13

ตารางที่ 4.13 ราคาวัตถุดิบรวมที่ใช้ในการผลิตยางผสมสูตร

ราคาวัตถุดิบ*	Gum	BRHA-G, P+S	CC	Si, P+S	CB
ราคาสารตัวเติม (บาท/kg)	-	0.40	5.60	25.00	50.00
ราคาวัตถุดิบต่อน้ำหนัก (บาท/kg)	80.49	56.01	57.00	63.53	70.93
ราคาวัตถุดิบต่อปริมาตร (บาท/m ³)	84,672.45	67,579.48	74,161.10	79,631.24	85,795.32

หมายเหตุ: * กำหนดจากราคา โดยประมาณ ณ เดือน ธันวาคม 2557 และราคานี้ไม่รวมต้นทุนของเครื่องจักรการผลิต ค่าแรง ค่าไฟฟ้า และค่าเสื่อมของเครื่องจักร

นอกจากนี้ยังทำการเปรียบเทียบสมบัติระหว่างยางผสมสูตรที่ไม่ใช่สารตัวเติมกับยางผสมสูตรที่ใช้สารตัวเติมต่างๆ ที่ปริมาณ 60 phr ซึ่งแสดงในตารางที่ 4.14 พบว่าจากการเปรียบเทียบสมบัติของยางผสมสูตร เมื่อใช้ถั่วแกลบดำบดละเอียดเทียบกับสูตรที่ไม่มีสารตัวเติม พบว่าสามารถปรับปรุงสมบัติบางประการได้ เช่น เวลาเชื่อมโยง ความแข็งแรงดึง (+90%) โมดูลัสของยางที่ 100 เปอร์เซ็นต์ดึงยืด (+107%) ความแข็งแรงฉีกขาด (+135%) ความแข็งกด (+38%) เป็นต้น และสามารถลดราคาต้นทุนการผลิตต่อ 1 kg และ 1 m³ (-30 และ -20% ตามลำดับ) อย่างไรก็ตามสมบัติบางประการที่ยังต้องการ การปรับปรุงเช่น การสึกหรอ (+1,228%) ซึ่งกล่าวได้ว่า จากผลของงานวิจัยนี้การใช้ถั่วแกลบดำเพื่อเป็นสารตัวเติมในยางไนโตรลีน สามารถนำถั่วแกลบดำมาใช้เพื่อลดต้นทุนได้คล้ายแคลเซียมคาร์บอเนต แต่ถั่วแกลบดำยังสามารถปรับปรุงสมบัติต่างๆ ได้ดีกว่าแคลเซียมคาร์บอเนต

ตารางที่ 4.14 สมบัติต่างๆ และราคาของยางผสมสูตรที่มีสารตัวเติมเทียบกับยางผสมสูตรที่ไม่มีสารตัวเติม

สมบัติของยางผสมสูตร	ผลต่าง (%)			
	BRHA-G, P+S	CC	Si, P+S	CB
เวลาเริ่มเชื่อมโยง	-65	-13	-2	-42
เวลาเชื่อมโยง	-58	-15	-4	-39
ดัชนีอัตราการเชื่อมโยง	+36	+33	+30	+33
ความหนืดมูนนี่	+34	+14	+428	+126
ความแข็งแรงดึง	+90	+33	+890	+908
เปอร์เซ็นต์การดึงยึด ณ จุดขาด	-6	-1	+94	+37
มอดูลัสของยางที่ 100 เปอร์เซ็นต์ดึงยึด	+107	+22	+150	+184
ความแข็งแรงฉีกขาด	+135	+9	+852	+591
ความแข็งกด	+38	+15	+77	+67
การเสียรูปถาวรหลังการกดอัด	+61	+69	+74	+58
การสึกหรอ	+1,228	+636	+267	+28
ราคาวัตถุดิบต่อน้ำหนัก	-30	-29	-21	-11
ราคาวัตถุดิบต่อปริมาตร	-20	-12	-5	+1

จากผลการทดลองจะเห็นได้ว่า ยางผสมเส้นใยแก้วดำมีสมบัติบางประการที่เหนือกว่า ยางผสมเคลือบคาร์บอนเนตที่เป็นสารตัวเติมหลักในอุตสาหกรรมที่ลดต้นทุน (Non reinforcing filler) เช่น ความแข็งแรงดึงและความแข็งแรงฉีกขาด เป็นต้น อย่างไรก็ตามการใช้เส้นใยแก้วดำเป็นสารตัวเติมในยางผสมสูตรยังมีประสิทธิภาพในการเสริมแรงที่ต่ำกว่าสารตัวเติมทางการค้า ได้แก่ เชมดำและซิลิกา อีกทั้งยังมีสมบัติบางประการที่ยังต้องทำการปรับปรุงคือ การสึกหรอ ทั้งนี้อาจเนื่องมาจากเส้นใยแก้วดำยังมีอนุภาคขนาดใหญ่ ทำให้มีประสิทธิภาพในการเสริมแรงต่ำกว่าสารตัวเติมทางการค้า ดังนั้นจึงสามารถสรุปได้ว่า เส้นใยแก้วดำมีศักยภาพในการทำหน้าที่เป็นสารตัวเติมกึ่งเสริมแรง (Semi-reinforcing filler) กล่าวคือสามารถใช้ลดต้นทุนและสามารถเสริมแรง ในยางไนไตรล์ได้

เอกสารนี้เป็นเอกสารที่สงวนไว้สำหรับการใช้งานเพื่อการศึกษาเท่านั้น ไม่อนุญาตให้นำไปใช้ประโยชน์ด้านการค้าไม่ว่ากรณีใดๆ ทั้งสิ้น อีกทั้งห้ามมิให้ดัดแปลงเนื้อหา และต้องอ้างอิงถึงเจ้าของเอกสารทุกครั้งที่มีการนำไปใช้

บทที่ 5

สรุปผลการวิจัยและข้อเสนอแนะ

5.1 สรุปผลการวิจัย

งานวิจัยนี้เป็นการศึกษาการใช้เส้นใยแก้วเคลือบดำ (BRHA) เป็นสารตัวเติมในยางไนไตรล์ (NBR) โดยทำการวิเคราะห์เส้นใยแก้วเคลือบดำ และศึกษาปัจจัยต่างๆ เพื่อให้สามารถเสริมแรงในยางไนไตรล์ได้ ได้แก่ ผลของการปรับปรุงเส้นใยแก้วเคลือบดำด้วย PEG และสารกลุ่มควาไซเลน Si-69 ผลของขนาดอนุภาคเส้นใยแก้วเคลือบดำ และผลของปริมาณเส้นใยแก้วเคลือบดำ นอกจากนี้ยังศึกษาสมบัติต่างๆ ของยางผสมสูตรที่ใช้เส้นใยแก้วเคลือบดำเป็นสารตัวเติมเพื่อเปรียบเทียบกับสารตัวเติมทางการค้า เขม่าดำ ซิลิกา และแคลเซียมคาร์บอเนต จากการทดสอบสามารถสรุปผลการวิจัยได้ดังนี้

จากการวิเคราะห์เส้นใยแก้วเคลือบดำด้วยเทคนิคต่างๆ พบว่าองค์ประกอบทางเคมีของเส้นใยแก้วเคลือบดำมีซิลิกอนไดออกไซด์ หรือซิลิกาเป็นองค์ประกอบประมาณ 74% และจากการศึกษาลักษณะทางสัณฐานวิทยาของเส้นใยแก้วเคลือบดำ พบว่าเส้นใยแก้วเคลือบดำมีรูปร่างที่หลากหลาย เช่น แท่ง แผ่น เหลี่ยม เป็นต้น และมีรูพรุน แต่เมื่อทำการบดละเอียดเส้นใยแก้วเคลือบดำทำให้เกิดการแตกออกของอนุภาคเส้นใยแก้วเคลือบดำ ส่งผลให้เส้นใยแก้วเคลือบดำมีขนาดอนุภาคเล็กลง และมีพื้นที่ผิวสัมผัสมากขึ้น ซึ่งเส้นใยแก้วเคลือบดำขนาดต่างๆ มีขนาดอนุภาคเฉลี่ย 6.1–128.9 μm และมีพื้นที่ผิวจำเพาะ 6.1–17.3 m^2/g

การศึกษาค่าความหนืดของยางที่ปรับปรุงผิวเส้นใยแก้วเคลือบดำด้วย PEG และสารกลุ่มควาไซเลน Si-69 พบว่าการปรับปรุงผิวเส้นใยแก้วเคลือบดำด้วย PEG ทำให้เวลาเริ่มเชื่อมโยงและเวลาเชื่อมโยงลดลง และสารกลุ่มควาไซเลน Si-69 ทำให้เวลาเริ่มเชื่อมโยงและเวลาเชื่อมโยงลดลงเล็กน้อย แต่ไม่ส่งผลต่อค่าความหนืดมูนนี้ ในด้านสมบัติเชิงกลการปรับปรุงผิวเส้นใยแก้วเคลือบดำด้วย PEG หรือ สารกลุ่มควาไซเลน Si-69 ส่งผลให้มีค่าความแข็งแรงดึงค่ามอดูลัสของยางที่ 100เปอร์เซ็นต์ดึงยืด ค่าความแข็งแรงดึงขาดสูง และค่าการเสียรูปถาวรหลังการกดอัดต่ำกว่าเส้นใยแก้วเคลือบดำที่ไม่ได้ปรับปรุงผิว การปรับปรุงผิวเส้นใยแก้วเคลือบดำด้วย PEG และสารกลุ่มควาไซเลน Si-69 ให้สมบัติเชิงกลต่างๆ ดีที่สุด ซึ่งสอดคล้องกับสมบัติทางความร้อนเชิงกลพบว่าเมื่อปรับปรุงผิวเส้นใยแก้วเคลือบดำด้วย PEG และสารกลุ่มควาไซเลน Si-69 ทำให้ยางผสมสูตรมีค่ามอดูลัสสะสมมากและมีค่าแอมพิจูดของ $\tan \delta$ ต่ำที่สุด จึงสามารถสรุปได้ว่าการใช้เส้นใยแก้วเคลือบดำเป็นสารตัวเติมในยางไนไตรล์จำเป็นต้องปรับปรุงผิวเส้นใยแก้วเคลือบดำด้วย PEG และสารกลุ่มควาไซเลน Si-69 เพื่อปรับปรุงให้สมบัติโดยรวมดีขึ้น

เอกสารนี้เป็นเอกสารที่สงวนไว้สำหรับการใช้งานเพื่อการศึกษาเท่านั้น ไม่อนุญาตให้นำไปใช้ประโยชน์ด้านการค้า ไม่ว่าจะกรณีใดๆ ทั้งสิ้น อีกทั้งห้ามมิให้ดัดแปลงเนื้อหา และต้องอ้างอิงถึงเจ้าของเอกสารทุกครั้งที่มีการนำไปใช้

การศึกษาผลของขนาดเส้นผ่าศูนย์กลาง (BRHA(#1), BRHA(#2), BRHA(#3), BRHA(#4) และ BRHA-G)พบว่ายางผสมสูตรที่ใช้เส้นผ่าศูนย์กลางบดละเอียดทำให้เวลาเริ่มเชื่อมโยง และเวลาเชื่อมโยงลดลงเล็กน้อยเมื่อเทียบกับยางผสมสูตรที่ใช้เส้นผ่าศูนย์กลางขนาดอื่นๆ อาจเนื่องจากสัณฐานวิทยาของเส้นผ่าศูนย์กลางที่เปลี่ยนไปของเส้นผ่าศูนย์กลางเมื่อทำการบดละเอียด และการใช้เส้นผ่าศูนย์กลางขนาดต่างๆ ไม่ส่งผลต่อความหนืดมูนนี้ไม่แตกต่างกันอย่างมีนัยสำคัญ แต่เส้นผ่าศูนย์กลางบดละเอียดและการใช้เส้นผ่าศูนย์กลางที่มีขนาดอนุภาคเล็กทำให้ค่าความแข็งแรงดึง ค่ามอดูลัสยางที่ 100 เปอร์เซนต์ดึงยืด เปอร์เซนต์การดึงยืด ณ จุดขาดและค่าความแข็งแรงดึงขาดมีแนวโน้มเพิ่มขึ้น และค่าการเสีรูปถาวรหลังการกดอัดมีแนวโน้มลดลง

การศึกษาผลของปริมาณเส้นผ่าศูนย์กลาง (0-120 phr) พบว่าเมื่อปริมาณเส้นผ่าศูนย์กลางเพิ่มมากขึ้น ไม่ส่งผลต่อเวลาเริ่มเชื่อมโยงและเวลาเชื่อมโยงอย่างมีนัยสำคัญ แต่ส่งผลค่าพอร์คสูงสุด ความหนืดมูนนี้และเกิดการเสีรูปถาวรแบบเชื่อมโยง มีแนวโน้มเพิ่มมากขึ้น ในด้านสมบัติเชิงกลพบว่าการใช้เส้นผ่าศูนย์กลางเป็นสารตัวเติมในปริมาณ 100 phr มีค่าความแข็งแรงดึงและค่าความแข็งแรงดึงขาดสูงสุดที่ 6.07 MPa และ 30.28 kN/m ตามลำดับ และเมื่อเส้นผ่าศูนย์กลางมีปริมาณมากขึ้นทำให้ค่ามอดูลัสยางที่ 100 เปอร์เซนต์ดึงยืด ค่าความแข็งแรงดึงและค่าการเสีรูปถาวรหลังการกดอัดมีแนวโน้มเพิ่มสูงขึ้นแต่ค่าเปอร์เซนต์การดึงยืด ณ จุดขาดมีแนวโน้มลดลง

การศึกษาผลการใช้เส้นผ่าศูนย์กลางเพื่อเปรียบเทียบกับสารตัวเติมทางการค้าอื่นๆ พบว่า การใช้เส้นผ่าศูนย์กลางบดละเอียดที่ปรับปรุงด้วย PEG และสารคู่ควบไซเลน Si-69 เป็นสารตัวเติมในยางไนไตรล์ ส่งผลให้เวลาเริ่มเชื่อมโยงและเวลาเชื่อมโยงน้อยที่สุด ในด้านสมบัติเชิงกลต่างๆ และสมบัติทางความร้อนเชิงกลพลวัตนั้น แสดงให้เห็นว่าการใช้เส้นผ่าศูนย์กลางเป็นสารตัวเติม สามารถลดต้นทุน และสามารถปรับปรุงสมบัติบางประการของยางไนไตรล์อย่างไรก็ดียังต้องการปรับปรุงสมบัติการต้านทานการสึกหรอ จึงสามารถสรุปได้ว่าเส้นผ่าศูนย์กลางบดละเอียดที่ปรับปรุงด้วย PEG และสารคู่ควบไซเลน Si-69 มีศักยภาพเป็นสารตัวเติมชนิดกึ่งเสริมแรงในยางไนไตรล์

5.2 ข้อเสนอแนะ

1. ทำการบดเส้นผ่าศูนย์กลางให้มีขนาดเล็กมากกว่านี้ เพื่อเพิ่มประสิทธิภาพการเสริมแรง
2. เนื่องจากเส้นผ่าศูนย์กลางบดละเอียดมีช่วงการกระจายตัวของอนุภาคมาก จึงควรแยกขนาดเส้นผ่าศูนย์กลางบดละเอียดโดยผ่านตระแกรงร้อนเพื่อให้มีการกระจายของขนาดอนุภาคน้อยลง เพื่อลดจุดบกพร่องที่เกิดขึ้นจากอนุภาคขนาดใหญ่ในชิ้นงาน

เอกสารนี้เป็นเอกสารที่สงวนไว้สำหรับการใช้งานเพื่อการศึกษาเท่านั้น ไม่อนุญาตให้นำไปใช้ประโยชน์ด้านการค้าไม่ว่ากรณีใดๆ ทั้งสิ้น อีกทั้งห้ามมิให้ดัดแปลงเนื้อหา และต้องอ้างอิงถึงเจ้าของเอกสารทุกครั้งที่มีการนำไปใช้

3. ศึกษาการนำเถาวัลย์มาใช้แทนแคลเซียมคาร์บอเนตโดยนำไปขึ้นรูปเป็นผลิตภัณฑ์ต่างๆ ที่ใช้งานจริงในปัจจุบัน
4. ศึกษาแนวทางในการนำเถาวัลย์มาใช้เป็นสารตัวเติมร่วมกับสารตัวเติมชนิดเสริมแรงอื่นๆ เพื่อเป็นการลดต้นทุนของการผลิตและปรับปรุงสมบัติต่างๆ ให้ดีขึ้น
5. ศึกษาการใช้เถาวัลย์เป็นสารตัวเติมในยางมีขั้วชนิดอื่นเช่น ยางคลอโรพรีน เพื่อเป็นแนวทางในการนำเถาวัลย์ไปใช้เป็นสารตัวเติมต่อไป



เอกสารนี้เป็นเอกสารที่สงวนไว้สำหรับการใช้งานเพื่อการศึกษาเท่านั้น ไม่อนุญาตให้นำไปใช้ประโยชน์ด้านการค้า ไม่ว่าจะกรณีใดๆ ทั้งสิ้น อีกทั้งห้ามมิให้ดัดแปลงเนื้อหา และต้องอ้างอิงถึงเจ้าของเอกสารทุกครั้งที่มีการนำไปใช้

เอกสารอ้างอิง

- [1] สมาคมผู้ส่งออกข้าวไทย. “ผลผลิตข้าวโลก.”[Online].
Available :<http://www.thairiceexporters.or.th/production.htm>. 2557.
- [2] กรมพัฒนาพลังงานทดแทน. “ศักยภาพชีวมวลในประเทศไทย.”[Online].
Available :http://www.dede.go.th/dede/index.php?option=com_content&view=article&id=130%3A2010-05-07-08-10-57. 2552.
- [3] บุญรักษา กาญจนวรรณิชย์. “เถ้าแกลบของเหลือสารพัดประโยชน์.”[Online].
Available :http://www.mtec.or.th/index.php?option=com_content&task=view&id=865&Itemid=36. 2555.
- [4] Ismail H., Nasaruddin M.N. and Ishiaku U.S. “White rice husk ash filled natural rubber compounds: the effect of multifunctional additive and silane coupling agents.” **Polymer Testing**, vol. 18, 1999. pp. 287-298
- [5] Pattamaprom C., Bandidchutikun K., Sotananan S. and Phrommedetch S. “The Effect of Rubber Modification on Physical Properties of Rice Husk Ash Composites” **Thammasat International Journal of Science and Technology**, vol. 13, 2008. pp. 36-43
- [6] รสิมา จันทร์จำปา. “การศึกษาเถ้าแกลบดำเพื่อใช้เป็นสารตัวเติมในยางธรรมชาติ.”วิทยานิพนธ์ วิทยาศาสตร์มหาบัณฑิต. สาขาเทคโนโลยีพอลิเมอร์,สถาบันเทคโนโลยีพระจอมเกล้าเจ้าคุณทหารลาดกระบัง. 2555.
- [7] ศูนย์สารสนเทศการเกษตร, สำนักเศรษฐกิจการเกษตร. “สถิติยางไทย.”[Online].
Available :http://www.rubberthai.com/statistic/stat_index.htm. 2557.
- [8] พงษ์ธร แซ่อูย. สารเคมียาง. กรุงเทพฯ : ศูนย์เทคโนโลยีโลหะและวัสดุแห่งชาติ (เอ็มเทค). 2548.
- [9] Ansarifara A., Azharb A., Ibrahima N., Shiah S.F. and Lawton J.M. “The use of a silanised silica filler to reinforce and crosslink natural rubber.”**International Journal of Adhesion & Adhesives**, vol. 25, 2005. pp. 77-86.

เอกสารนี้เป็นเอกสารที่สงวนไว้สำหรับการใช้งานเพื่อการศึกษาเท่านั้น ไม่อนุญาตให้นำไปใช้ประโยชน์ด้านการค้า ไม่ว่ากรณีใดๆ ทั้งสิ้น อีกทั้งห้ามมิให้ดัดแปลงเนื้อหา และต้องอ้างอิงถึงเจ้าของเอกสารทุกครั้งที่มีการนำไปใช้

- [10] Costa H.M., Abrantes T.A.S., Nunes R.C.R., Visconte L.L.Y. and Furtado C.R.G. “Design and analysis of experiments in silica filled natural rubber compounds-effect of castor oil.” **Polymer Testing**., vol. 22, 2003. pp. 769–777
- [11] PongprayoonT., YooprasertN., Suwanmalap. and Hemvichian. K. “Rubber products prepared from silica modified by radiation-induced Admicellar polymerization.” **Radiation Physics and Chemistry**., vol. 81, 2012. pp. 541–546
- [12] พรพรรณ นิธิอุทัย . ยางและเทคโนโลยีการออกสูตรยาง .: คณะวิทยาศาสตร์และเทคโนโลยี มหาวิทยาลัยสงขลานครินทร์วิทยาเขตปัตตานี . 2540.
- [13] วราภรณ์ ขจรไชยกูล . เทคโนโลยียางสังเคราะห์ .กรุงเทพฯ : เอกสารประกอบการฝึกอบรมหลักสูตรเทคโนโลยียางธรรมชาติ สถาบันวิจัยยางกรมวิชาการเกษตร . 2542.
- [14] Robert K. C. **Handbook of SPECIALTY ELASTOMERS**. Boca Raton: Taylor & Francis Group, LLC. 2008.
- [15] พงษ์ธร แซ่ฮ้อย . ยางชนิดสมบัติและการใช้งาน . กรุงเทพฯ: ศูนย์เทคโนโลยีโลหะและวัสดุแห่งชาติ (MTEC), 2550.
- [16] HI-TECHPOLYMER “NBR Rubber Products” [Online].
Available : <http://www.hi-techpolymer.com/nbr-rubber-products.htm>. 2014
- [17] Morton M. **Rubber Technology, 3rd ed.** New York : Van Norstrand Reinhold. 1987
- [18] พรพรรณ นิธิอุทัย. สารเคมีสำหรับยาง. :คณะวิทยาศาสตร์และเทคโนโลยี มหาวิทยาลัยสงขลานครินทร์วิทยาเขตปัตตานี. 2528.
- [19] Luh B.S. and Liu Y. K. “Rice : Production and Utilization.” Wesport. Connecticut.
: AVI Publishing Co., Inc. USA. 1980.
- [20] สำนักพัฒนาผลิตภัณฑ์ข้าว. “เผยแพร่สู่นักวิจัยข้าวกล้องงอกขึ้นโต๊ะเสวย.” [Online].
Available : <http://erawan.loei.doe.go.th/story/ricekor.pdf>. 2555.
- [21] กรมควบคุมมลพิษ. “แกลบวัสดุเหลือใช้ที่ไม่ไร้ประโยชน์.” [Online].
Available : <http://wqm.pcd.go.th/km/images/stories/agriculture/chaff.pdf>. 2555.
- [22] IshakZ A. M. and Bakar A. A. “An investigation on the potential of rice husk ash as fillers forepoxidized natural rubber (ENR)” **Polymer**., vol 31, 1995. pp 259-269

เอกสารนี้เป็นเอกสารที่สงวนไว้สำหรับการใช้งานเพื่อการศึกษาเท่านั้น ไม่อนุญาตให้นำไปใช้ประโยชน์ด้านการค้าไม่ว่ากรณีใดๆ ทั้งสิ้น อีกทั้งห้ามมิให้ตัดแปลงเนื้อหา และต้องอ้างอิงถึงเจ้าของเอกสารทุกครั้งที่มีการนำไปใช้

- [23] Scientific Psychic. “**Carbohydrates - Chemical Structure.**”[Online].
Available :<http://www.scientificpsychic.com/fitness/carbohydrates2.html>. 2012.
- [24] อนุชิต กิจสวัสดิ์ “ประโยชน์จากแกลบและเถ้าแกลบ ” วิทยาศาสตร์สำหรับประชาชน , ฉบับที่ 411,2529.
- [25] อธิพิศ แจ่มชัด. เอกสารประกอบการสอนวิชาวิทยาศาสตร์และเทคโนโลยียาง . กรุงเทพฯ : ภาควิชาเคมี คณะวิทยาศาสตร์ สถาบันเทคโนโลยีพระจอมเกล้าเจ้าคุณทหารลาดกระบัง . 2553.
- [26] พงษ์ธร แซ่ฮ้อย. “การใช้ซิลิกาเป็นสารตัวเติมในยาง.”[online].
Available :<http://www.rubbercenter.org/rubbertech/Silica.pdf>. 2552.
- [27] Sombatsompop N., Wimolmala E. and Sirisinha C. “Fly Ash Particles and Precipitated Silica as Fillers in Rubbers. III. Cure Characteristics and Mechanical and Oil-Resistance Properties of Acrylonitrile–Butadiene Rubber” **Journal of Applied Polymer Science.**, vol. 110, 2008. pp. 2877-2883
- [28] Nanopotat. “**Carbon black.**”[Online].
Available :<http://nanopotat.gc.ca/default.asp?lang=En&n=64893C1E-1>. 2012.
- [29] Sae-Oui P., Rakdee C. and Thanmathorn C. “Use of Rice Husk Ash as Filler in Natural Rubber Vulcanizates: In Comparison with Other Commercial Fillers” **Journal of Applied Polymer Science.**, vol. 83, 2002. pp. 2485–2493
- [30] Arayapranee W., Na-Ranong N. and Rempel G. L. “Application of Rice Husk Ash as Fillers in the Natural Rubber Industry” **Journal of Applied Polymer Science.**, vol. 98, 2004. pp. 34–41
- [31] เอกชัย วิมลมาลา , ชีระศักดิ์ หมากริน และ ณรงค์ฤทธิ์ สมบัติสมภพ . “การศึกษาวัสดุเชิงประกอบระหว่างยางเอสปีอาร์ที่มีเถ้าลอยเป็นสารเติมแต่ง โดยใช้สารกลุ่มควาไซเลนชนิด Si69 สำหรับปรับปรุงผิวเถ้าลอย” วารสารวิจัยและพัฒนามหาวิทยาลัยเทคโนโลยีพระจอมเกล้าธนบุรี., ปีที่29, ฉบับที่ 3, 2549. หน้า353-373
- [32] ชุติพันธ์ พันธุ์เยี่ยม. “สมบัติทางกลและการทนน้ำมันของยางผสมผงเขม่าดำ/ยางเอ็นบีอาร์/ยางเอชเอ็นบีอาร์ ที่เติมด้วยผงซิลิกาเกรดการค้าและผงเถ้าลอย” วิศวกรรมศาสตร มหาบัณฑิต .

เอกสารนี้เป็นเอกสารที่สงวนไว้สำหรับการใช้งานเพื่อการศึกษาเท่านั้น ไม่อนุญาตให้นำไปใช้ประโยชน์ด้านการค้าไม่ว่ากรณีใดๆ ทั้งสิ้น อีกทั้งห้ามมิให้ดัดแปลงเนื้อหา และต้องอ้างอิงถึงเจ้าของเอกสารทุกครั้งที่มีการนำไปใช้

สาขาวิชาเทคโนโลยีวัสดุ, คณะพลังงานสิ่งแวดล้อมและวัสดุ, มหาวิทยาลัย เทคโนโลยีพระจอมเกล้าธนบุรี. 2552.

[33]วีรยารักษ์, ณรงค์ฤทธิ์สมบัติสมภพ, เอกชัยวิมลมาลาและศิรินทรทองแสง.“การ เสริมแรงของสารประกอบยางธรรมชาติด้วยซิลิกาผสมระหว่างแก้วลอยและพีซีพีเทค

ซิลิกา” วารสารวิทยาศาสตร์และเทคโนโลยีมหาวิทยาลัยอุบลราชธานี .ปีที่ 12, ฉบับที่ 4, 2553. หน้า 9-20

[34]ปิยะภรณ์นิลทุ้ย, ศิริชัยก้านกิ่ง, ณรงค์ฤทธิ์สมบัติสมภพและเอกชัยวิมลมาลา . “การศึกษาเชิงกลพลวัตและพฤติกรรมการคืนกลับตัวทางออสติกของยางเอ็นบีอาร์ที่มีผงเขม่าดำ เป็นสารเสริมแรงร่วมกับสารตัวเติมกลุ่มซิลิกาสำหรับการใช้งานในระบบไฮดรอลิก”

วารสารวิจัยและพัฒนามหาวิทยาลัยเทคโนโลยีพระจอมเกล้าธนบุรี ., ปีที่ 35, ฉบับที่ 2, 2555. หน้า 143-156

[35] Wang L. L., Zhang L. Q. and Tian M. “Mechanical and tribological properties of acrylonitrile–butadiene rubber filled with graphite and carbon black.” **Materials and Design**,vol. 39, 2012. pp. 450–457

[36]นฤมล ศิริประจันทร์, กุศลภัศร แพงพันธ์และคุณัญญา จันทน์ฉาย. “การใช้เถ้าปาล์มดำเป็น สารตัวเติมในยางธรรมชาติ”โครงการพิเศษวิทยาศาสตร์บัณฑิต.สาขาเคมีอุตสาหกรรม, แขนงเทคโนโลยีพอลิเมอร์, สถาบันเทคโนโลยีพระจอมเกล้าเจ้าคุณทหารลาดกระบัง. 2554.

[37] American Society for Testing and Materials. “ASTM D1646 :Standard Test Methods for Rubber—Viscosity, Stress Relaxation, and Pre-Vulcanization Characteristics (Mooney Viscometer)”**In Annual Book of ASTM Standards, Philadelphia, USA, 1993.**

[38] American Society for Testing and Materials. “ASTM D2084-11 :Standard Test Method for Rubber Property-Vulcanization Using Oscillating Disk Cure Meter” **In Annual Book of ASTM Standards, Philadelphia, USA, 1993.**

[39] American Society for Testing and Materials.“ASTM D395-89 :Standard Test Methods for Rubber Property – Compression Set”**In Annual Book of ASTM Standards, Philadelphia, USA, 1993.**

เอกสารนี้เป็นเอกสารที่สงวนไว้สำหรับการใช้งานเพื่อการศึกษาเท่านั้น ไม่อนุญาตให้นำไปใช้ประโยชน์ด้านการค้า ไม่ว่าจะกรณีใดๆ ทั้งสิ้น อีกทั้งห้ามมิให้ดัดแปลงเนื้อหา และต้องอ้างอิงถึงเจ้าของเอกสารทุกครั้งที่มีการนำไปใช้

- [40] American Society for Testing and Materials. “ASTM D412 :Standard Test Methods for Vulcanized Rubber and Thermoplastic Elastomers—Tension” ” **In Annual Book of ASTM Standards, Philadelphia, USA, 1993.**
- [41] American Society for Testing and Materials. “ASTM D624 :Standard Test Method Tear Strength” **In Annual Book of ASTM Standards, Philadelphia, USA, 1993.**
- [42] American Society for Testing and Materials. “ASTM D2240 :Standard Test Method for Rubber Property - Durometer Hardness” ” **In Annual Book of ASTM Standards, Philadelphia, USA, 1993.**
- [43] Cao Z. Q., Wang D. G., Cong C. B., Wang Y. F. and Zhou Q. “Dependence of abrasion behavior on cross-linked heterogeneity in unfilled nitrile rubber” **Tribology International.**, vol. 69, 2014, pp. 141-149
- [44] ชวชาญพันธ์เพ็ญพิศัญญ์ , สรัญญาพลอยประดับและปิยะพงศ์เทพภักดิ์ . “ผลของยางธรรมชาติเหลวตัดแปรในยางคอมพาวด์ที่เติมเถ้าเคลบข้าวดำ ” **NU Science Journal.**, ปีที่ 5, ฉบับที่ 1 2551. หน้า 92-107
- [45] เซาว์ ศรีเพชรดี . “การศึกษาการใช้ซิลิกาเจลขนาดนาโนชนิดมีรูพรุน ที่สังเคราะห์จากเถ้าเคลบเพื่อเสริมแรงในยางธรรมชาติ โดยกระบวนการโซเจล ”วิทยานิพนธ์วิศวกรรมศาสตรมหาบัณฑิต . สาขาวิชาวิทยาการและวิศวกรรมพอลิเมอร์ , ภาควิชาวิทยาการและวิศวกรรมวัสดุ , บัณฑิตวิทยาลัย, มหาวิทยาลัยศิลปากร. 2553.
- [46] Thongsang S., Sombatsompop N. and Ansarifar A. “Effect of Fly Ash Silica and Precipitated Silica Fillers on the Viscosity, Cure and Viscoelastic Properties of Natural Rubber” **Polymers for Advanced Technologies.**, vol. 19, No. 9, 2008. pp. 1296-1304



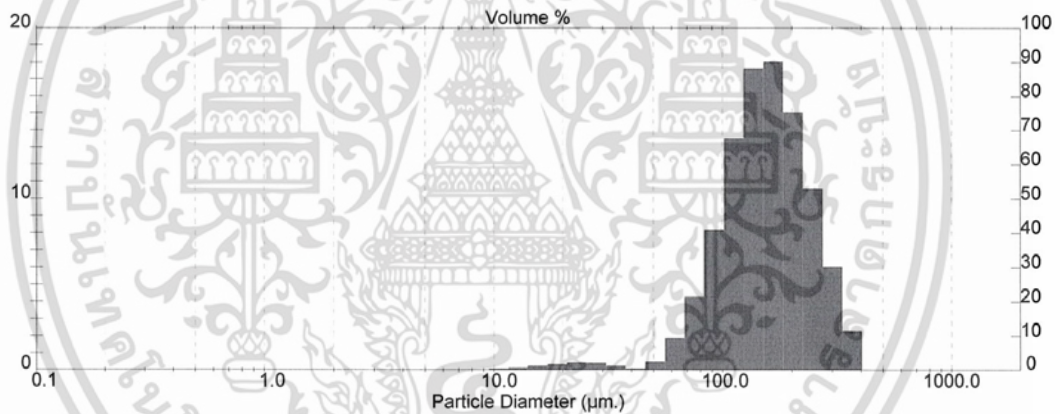
เอกสารนี้เป็นเอกสารที่สงวนไว้สำหรับการใช้งานเพื่อการศึกษาเท่านั้น ไม่อนุญาตให้นำไปใช้ประโยชน์ด้านการค้า
ไม่ว่ากรณีใดๆ ทั้งสิ้น อีกทั้งห้ามมิให้ดัดแปลงเนื้อหา และต้องอ้างอิงถึงเจ้าของเอกสารทุกครั้งที่มีการนำไปใช้

ภาคผนวก ก

ขนาดอนุภาคโดยเฉลี่ยเข้าแกลบด้า

Presentation: (2OHD) 1.330, 1.530 + i 0.10000 Polydisperse model Residual = 0.939 % d (0.5) = 153.82 µm D [4, 3] = 164.92 µm Sauter Mean (D[3,2]) = 127.70 µm Specific Surface Area = 0.0470 sq. m. / gm	Volume Result Concentration = 0.400 % d (0.1) = 86.53 µm Span = 1.14	Focus = 300 mm. Obscuration = 20.27 % d (0.9) = 261.60 µm Mode = 154.81 µm Density = 1.00 gm. / c.c.
--	---	--

Size (Lo) µm	Result In %	Size (Hi) µm	Result Below %	Size (Lo) µm	Result In %	Size (Hi) µm	Result Below %
0.50	0.00	1.32	0.00	25.46	0.43	31.01	1.67
1.32	0.00	1.60	0.00	31.01	0.24	37.79	1.91
1.60	0.00	1.95	0.00	37.79	0.09	46.03	1.99
1.95	0.00	2.38	0.00	46.03	0.52	56.09	2.51
2.38	0.00	2.90	0.00	56.09	1.87	68.33	4.38
2.90	0.00	3.53	0.00	68.33	4.31	83.26	8.69
3.53	0.00	4.30	0.00	83.26	8.18	101.44	16.86
4.30	0.00	5.24	0.00	101.44	13.53	123.59	30.39
5.24	0.00	6.39	0.00	123.59	17.62	150.57	48.01
6.39	0.00	7.78	0.00	150.57	18.03	183.44	66.04
7.78	0.00	9.48	0.00	183.44	15.04	223.51	81.08
9.48	0.07	11.55	0.07	223.51	10.58	272.31	91.65
11.55	0.13	14.08	0.21	272.31	6.06	331.77	97.71
14.08	0.24	17.15	0.44	331.77	2.28	404.21	99.99
17.15	0.35	20.90	0.79	404.21	0.01	492.47	100.00
20.90	0.44	25.46	1.24	492.47	0.00	600.00	100.00



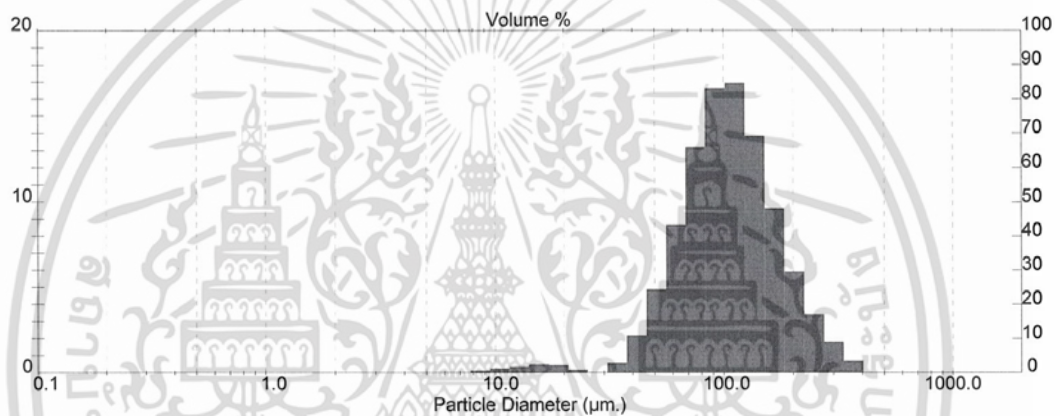
รูปที่ ก-1 ขนาดอนุภาคโดยเฉลี่ยของ BRHA(#1)

เอกสารนี้เป็นเอกสารที่สงวนไว้สำหรับการใช้งานเพื่อการศึกษาเท่านั้น ไม่อนุญาตให้นำไปใช้ประโยชน์ด้านการค้า ไม่ว่าจะกรณีใดๆ ทั้งสิ้น อีกทั้งห้ามมิให้ดัดแปลงเนื้อหา และต้องอ้างอิงถึงเจ้าของเอกสารทุกครั้งที่มีการนำไปใช้

Presentation: (2OHD) 1.330, 1.530 + i 0.10000 Polydisperse model Residual = 0.696 % d (0.5) = 103.97 μm D [4, 3] = 116.46 μm Sauter Mean (D[3,2]) = 86.91 μm Specific Surface Area = 0.0690 sq. m. / gm	Volume Result Concentration = 0.293 % d (0.1) = 56.97 μm Span = 1.31	Focus = 300 mm. Obscuration = 21.69 % d (0.9) = 192.65 μm Mode = 104.09 μm Density = 1.00 gm. / c.c.
--	--	--

Size (Lo) μm	Result In %	Size (Hi) μm	Result Below %
0.50	0.00	1.32	0.00
1.32	0.00	1.60	0.00
1.60	0.00	1.95	0.00
1.95	0.00	2.38	0.00
2.38	0.00	2.90	0.00
2.90	0.00	3.53	0.00
3.53	0.00	4.30	0.00
4.30	0.00	5.24	0.00
5.24	0.00	6.39	0.00
6.39	0.02	7.78	0.02
7.78	0.12	9.48	0.13
9.48	0.25	11.55	0.38
11.55	0.38	14.08	0.76
14.08	0.48	17.15	1.24
17.15	0.44	20.90	1.68
20.90	0.17	25.46	1.84

Size (Lo) μm	Result In %	Size (Hi) μm	Result Below %
25.46	0.01	31.01	1.85
31.01	0.56	37.79	2.41
37.79	2.18	46.03	4.59
46.03	4.86	56.09	9.45
56.09	8.66	68.33	18.11
68.33	13.15	83.26	31.26
83.26	16.58	101.44	47.84
101.44	16.92	123.59	64.77
123.59	13.82	150.57	78.58
150.57	9.63	183.44	88.21
183.44	5.89	223.51	94.10
223.51	3.37	272.31	97.48
272.31	1.82	331.77	99.30
331.77	0.70	404.21	100.00
404.21	0.00	492.47	100.00
492.47	0.00	600.00	100.00



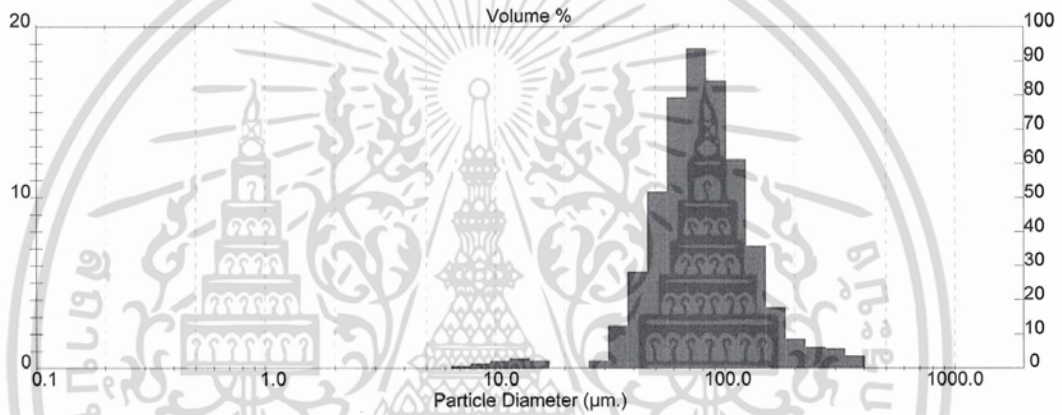
รูปที่ ก-2 ขนาดอนุภาคโดยเฉลี่ยของ BRHA(#2)

เอกสารนี้เป็นเอกสารที่สงวนไว้สำหรับการใช้งานเพื่อการศึกษาเท่านั้น ไม่อนุญาตให้นำไปใช้ประโยชน์ด้านการค้า ไม่ว่าจะกรณีใดๆ ทั้งสิ้น อีกทั้งห้ามมิให้ดัดแปลงเนื้อหา และต้องอ้างอิงถึงเจ้าของเอกสารทุกครั้งที่มีการนำไปใช้

Presentation: (2OHD) 1.330, 1.530 + i 0.10000		Volume Result		Focus = 300 mm.	
Polydisperse model					
Residual = 0.607 %		Concentration = 0.176 %		Obscuration = 17.33 %	
d (0.5) = 78.66 µm		d (0.1) = 45.38 µm		d (0.9) = 142.76 µm	
D [4, 3] = 90.24 µm		Span = 1.24			
Sauter Mean (D[3,2]) = 67.22 µm				Mode = 76.47 µm	
Specific Surface Area = 0.0893 sq. m. / gm				Density = 1.00 gm. / c.c.	

Size (Lo) µm	Result In %	Size (Hi) µm	Result Below %
0.50	0.00	1.32	0.00
1.32	0.00	1.60	0.00
1.60	0.00	1.95	0.00
1.95	0.00	2.38	0.00
2.38	0.00	2.90	0.00
2.90	0.00	3.53	0.00
3.53	0.00	4.30	0.00
4.30	0.00	5.24	0.00
5.24	0.00	6.39	0.00
6.39	0.14	7.78	0.14
7.78	0.29	9.48	0.43
9.48	0.46	11.55	0.89
11.55	0.57	14.08	1.45
14.08	0.44	17.15	1.90
17.15	0.01	20.90	1.91
20.90	0.00	25.46	1.91

Size (Lo) µm	Result In %	Size (Hi) µm	Result Below %
25.46	0.45	31.01	2.36
31.01	2.48	37.79	4.84
37.79	5.67	46.03	10.51
46.03	10.31	56.09	20.82
56.09	15.84	68.33	36.66
68.33	18.71	83.26	55.37
83.26	16.83	101.44	72.20
101.44	12.23	123.59	84.43
123.59	7.17	150.57	91.60
150.57	3.56	183.44	95.16
183.44	1.71	223.51	96.87
223.51	1.24	272.31	98.12
272.31	1.16	331.77	99.28
331.77	0.72	404.21	100.00
404.21	0.00	492.47	100.00
492.47	0.00	600.00	100.00



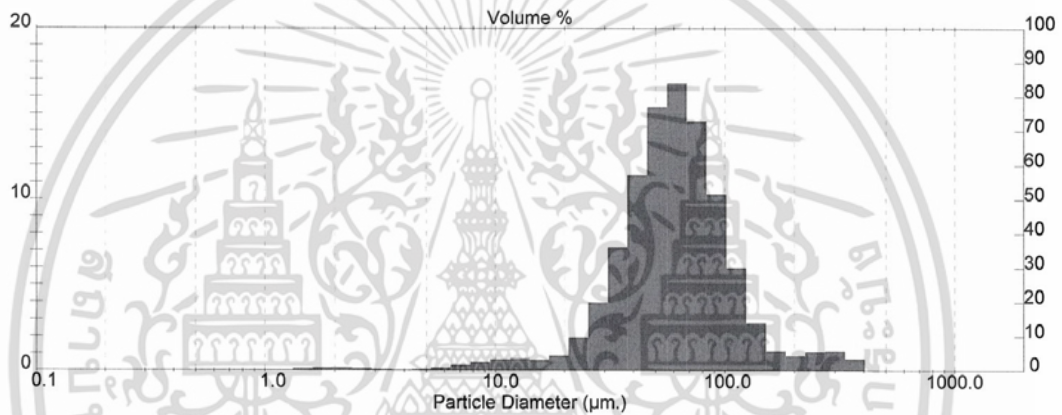
รูปที่ ก-3 ขนาดอนุภาคโดยเฉลี่ยของ BRHA(#3)

เอกสารนี้เป็นเอกสารที่สงวนไว้สำหรับการใช้งานเพื่อการศึกษาเท่านั้น ไม่อนุญาตให้นำไปใช้ประโยชน์ด้านการค้า ไม่ว่าจะกรณีใดๆ ทั้งสิ้น อีกทั้งห้ามมิให้ดัดแปลงเนื้อหา และต้องอ้างอิงถึงเจ้าของเอกสารทุกครั้งที่มีการนำไปใช้

Presentation: (2OHD) 1.330, 1.530 + i 0.10000 Polydisperse model		Volume Result	Focus = 300 mm.
Residual = 0.470 %		Concentration = 0.102 %	Obscuration = 16.82 %
d (0.5) = 59.77 μm		d (0.1) = 30.34 μm	d (0.9) = 113.68 μm
D [4, 3] = 70.95 μm		Span = 1.39	
Sauter Mean (D[3,2]) = 41.28 μm			Mode = 60.65 μm
Specific Surface Area = 0.1453 sq. m. / gm			Density = 1.00 gm. / c.c.

Size (Lo) μm	Result In %	Size (Hi) μm	Result Below %
0.50	0.04	1.32	0.04
1.32	0.11	1.60	0.15
1.60	0.16	1.95	0.31
1.95	0.16	2.38	0.47
2.38	0.13	2.90	0.60
2.90	0.09	3.53	0.69
3.53	0.06	4.30	0.75
4.30	0.09	5.24	0.84
5.24	0.18	6.39	1.02
6.39	0.33	7.78	1.35
7.78	0.51	9.48	1.86
9.48	0.65	11.55	2.51
11.55	0.69	14.08	3.20
14.08	0.64	17.15	3.84
17.15	0.87	20.90	4.71
20.90	1.91	25.46	6.62

Size (Lo) μm	Result In %	Size (Hi) μm	Result Below %
25.46	3.98	31.01	10.60
31.01	7.18	37.79	17.78
37.79	11.41	46.03	29.20
46.03	15.38	56.09	44.58
56.09	16.76	68.33	61.34
68.33	14.55	83.26	75.88
83.26	10.31	101.44	86.19
101.44	6.01	123.59	92.20
123.59	2.78	150.57	94.99
150.57	1.17	183.44	96.16
183.44	0.87	223.51	97.02
223.51	1.12	272.31	98.15
272.31	1.17	331.77	99.31
331.77	0.68	404.21	100.00
404.21	0.00	492.47	100.00
492.47	0.00	600.00	100.00



รูปที่ ก-4 ขนาดอนุภาคโดยเฉลี่ยของ BRHA(#4)

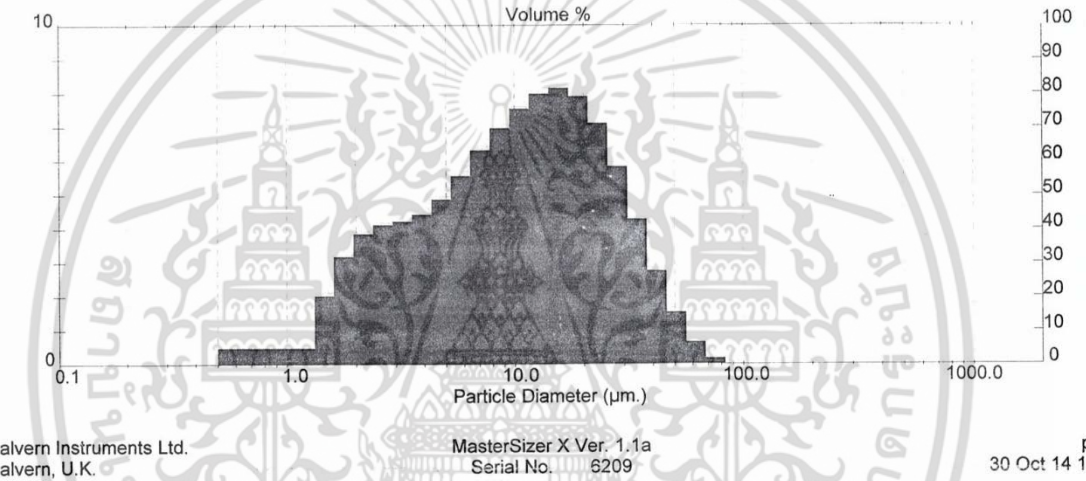
เอกสารนี้เป็นเอกสารที่สงวนไว้สำหรับการใช้งานเพื่อการศึกษาเท่านั้น ไม่อนุญาตให้นำไปใช้ประโยชน์ด้านการค้า ไม่ว่าจะกรณีใดๆ ทั้งสิ้น อีกทั้งห้ามมิให้ดัดแปลงเนื้อหา และต้องอ้างอิงถึงเจ้าของเอกสารทุกครั้งที่มีการนำไปใช้

Presentation: (2OHD) 1.330, 1.530 + i 0.10000
 Polydisperse model
 Residual = 1.005 %
 d (0.5) = 10.53 µm
 D [4, 3] = 13.98 µm
 Sauter Mean (D[3,2]) = 6.12 µm
 Specific Surface Area = 0.9809 sq. m. / gm

Volume Result
 Concentration = 0.020 %
 d (0.1) = 2.43 µm
 Span = 2.65

Focus = 300 mm.
 Obscuration = 23.06 %
 d (0.9) = 30.32 µm
 Mode = 15.53 µm
 Density = 1.00 gm. / c.c.

Size (Lo) µm	Result In %	Size (Hi) µm	Result Below %	Size (Lo) µm	Result In %	Size (Hi) µm	Result Below %
0.50	0.49	1.32	0.49	25.46	5.83	31.01	90.59
1.32	2.03	1.60	2.52	31.01	4.28	37.79	94.67
1.60	3.18	1.95	5.70	37.79	2.75	46.03	97.62
1.95	3.85	2.38	9.56	46.03	1.53	56.09	99.15
2.38	4.12	2.90	13.68	56.09	0.66	68.33	99.81
2.90	4.23	3.53	17.90	68.33	0.18	83.26	99.99
3.53	4.43	4.30	22.33	83.26	0.01	101.44	100.00
4.30	4.87	5.24	27.20	101.44	0.00	123.59	100.00
5.24	5.56	6.39	32.76	123.59	0.00	150.57	100.00
6.39	6.32	7.78	39.08	150.57	0.00	183.44	100.00
7.78	6.97	9.48	46.05	183.44	0.00	223.51	100.00
9.48	7.55	11.55	53.60	223.51	0.00	272.31	100.00
11.55	7.99	14.08	61.58	272.31	0.00	331.77	100.00
14.08	8.16	17.15	69.74	331.77	0.00	404.21	100.00
17.15	7.91	20.90	77.65	404.21	0.00	492.47	100.00
20.90	7.10	25.46	84.75	492.47	0.00	600.00	100.00



รูปที่ ๓-5 ขนาดอนุภาค โดยเฉลี่ยของ BRHA-G

เอกสารนี้เป็นเอกสารที่สงวนไว้สำหรับการใช้งานเพื่อการศึกษาเท่านั้น ไม่อนุญาตให้นำไปใช้ประโยชน์ด้านการค้า
 ไม่ว่าจะกรณีใดๆ ทั้งสิ้น อีกทั้งห้ามมิให้ดัดแปลงเนื้อหา และต้องอ้างอิงถึงเจ้าของเอกสารทุกครั้งที่มีการนำไปใช้

ภาคผนวก ข

การทดสอบสมบัติเชิงกล

ตารางที่ ข-1 ความแข็งแรงดึง (Tensile strength) เปอร์เซ็นต์การดึงยืด ณ จุดขาด (%Elongation at break) และมอดุลัสของยางที่ 100 เปอร์เซ็นต์การดึงยืด (M100)

สูตร	ความแข็งแรงดึง (MPa)	เปอร์เซ็นต์การดึงยืด ณ จุดขาด	มอดุลัสของยางที่ 100 เปอร์เซ็นต์การดึงยืด (MPa)	ความแข็งแรงฉีกขาด (kN/m)
ผลของการปรับปรุงแก้วเคลือบด้วย PEG และสารก่อกวนโซลีน Si-69				
BRHA(#4)	1.9±0.1	712±37	0.69±0.01	10.9±0.3
BRHA(#4), S	2.2±0.1	722±34	0.85±0.01	14.3±0.2
BRHA(#4), P	2.2±0.2	699±46	0.76±0.02	11.5±0.2
BRHA(#4), P+S	2.5±0.1	707±34	0.90±0.00	14.9±0.2
ผลของขนาดอนุภาคแก้วเคลือบ				
BRHA-G	2.2±0.1	819±15	0.77±0.01	11.5±0.4
BRHA(#1), P+S	1.9±0.1	615±26	0.82±0.03	12.4±0.13
BRHA(#2), P+S	2.1±0.1	669±62	0.84±0.02	13.3±0.2
BRHA(#3), P+S	2.3±0.1	709±51	0.87±0.01	14.2±0.2
BRHA(#4), P+S	2.5±0.0	707±34	0.90±0.00	14.9±0.2
BRHA-G, P+S	3.1±0.0	825±18	0.96±0.01	16.8±0.5
ผลของปริมาณแก้วเคลือบ				
20 phr	3.1±0.0	825±15	0.965±0.01	16.8±0.5
40 phr	3.5±0.1	769±9	1.11±0.00	22.0±0.5
60 phr	4.2±0.1	750±10	1.31±0.00	24.2±0.7
80 phr	4.9±0.1	771±18	1.57±0.01	26.1±0.5
100 phr	6.1±0.1	755±1	1.84±0.03	30.2±0.4
120 phr	4.6±0.1	702±11	2.26±0.01	28.3±0.5

เอกสารนี้เป็นเอกสารที่สงวนไว้สำหรับใช้ภายในเพื่อการศึกษาเท่านั้น ไม่อนุญาตให้เผยแพร่ไปยังบุคคลอื่นใด
ไม่ว่ากรณีใดๆ ทั้งสิ้น อีกทั้งห้ามมิให้ดัดแปลงเนื้อหา และต้องอ้างอิงถึงเจ้าของเอกสารทุกครั้งที่มีการนำไปใช้

ตารางที่ ข-1 (ต่อ)

สูตร	ความแข็งแรงดึง (MPa)	เปอร์เซ็นต์การดึง ยืด ณ จุดขาด	มอดูลัสของยางที่ 100 เปอร์เซ็นต์ ดึงยืด (MPa)	ความแข็งแรง ฉีกขาด (kN/m)
ผลของการเปรียบเทียบเข้าแก่ลบค่ากับสารตัวเติมชนิดอื่นๆ				
Gum (No Filler)	2.2±0.1	804±13	0.63±0.00	10.3±0.6
BRHA-G, P+S	4.1±0.1	750±10	1.31±0.00	24.2±0.7
Calcium Carbonate	2.9±0.1	791±29	0.77±0.00	11.2±0.2
Silica, P+S	21.1±0.4	1560±7	1.58±0.01	98.1±1.9
Carbon Black	22.2±0.2	1104±18	1.79±0.02	71.2±0.8

ตารางที่ ข-2 ความแข็งกด และการเสียรูปถาวรหลังการกดอัด

สูตร	ความแข็งกด (Shore A)	การเสียรูปถาวรหลังการกดอัด (%)
ผลของการปรับปรุงเข้าแก่ลบค่าด้วย PEG และสารคู่ควบไซเลน Si-69		
BRHA(#4)	41±0	28±2
BRHA(#4), S	41±1	25±1
BRHA(#4), P	41±1	25±1
BRHA(#4), P+S	43±1	22±2
ผลของขนาดอนุภาคเข้าแก่ลบค่า		
BRHA(#1), P+S	43±0	34±1
BRHA(#2), P+S	44±1	29±0
BRHA(#3), P+S	43±0	29±1
BRHA(#4), P+S	43±1	22±2
BRHA-G, P+S	43±0	22±3

เอกสารนี้เป็นเอกสารที่สงวนไว้สำหรับการใช้งานเพื่อการศึกษาเท่านั้น ไม่อนุญาตให้นำไปใช้ประโยชน์ด้านการค้า ไม่ว่าจะกรณีใดๆ ทั้งสิ้น อีกทั้งห้ามมิให้ดัดแปลงเนื้อหา และต้องอ้างอิงถึงเจ้าของเอกสารทุกครั้งที่มีการนำไปใช้

ตารางที่ ข-2 (ต่อ)

สูตร	ความแข็งกด (Shore A)	การเสียรูปถาวรหลังการกดอัด (%)
ผลของปริมาณเส้นใยแก้ว		
20 phr	43±0	22±2
40 phr	47±1	33±1
60 phr	52±1	39±1
80 phr	62±2	61±1
100 phr	68±2	66±1
120 phr	72±2	71±1
ผลของการเปรียบเทียบเส้นใยแก้วกับสารตัวเติมชนิดอื่นๆ		
Gum (No Filler)	38±1	24±4
BRHA-G, P+S	52±1	39±1
Calcium Carbonate	43±1	41±2
Silica, P+S	67±1	42±2
Carbon Black	63±1	38±3

ตารางที่ ข-3 ค่าการสึกหรอ

สูตร	ปริมาตรสูญเสีย (mm ³)
Gum (No Filler)	25±4
BRHA-G, P+S	335±0
Calcium Carbonate	186±0
Silica, P+S	92±1
Carbon Black	32±6

เอกสารนี้เป็นเอกสารที่สงวนไว้สำหรับการใช้งานเพื่อการศึกษาเท่านั้น ไม่อนุญาตให้นำไปใช้ประโยชน์ด้านการค้า
ไม่ว่ากรณีใดๆ ทั้งสิ้น อีกทั้งห้ามมิให้ดัดแปลงเนื้อหา และต้องอ้างอิงถึงเจ้าของเอกสารทุกครั้งที่มีการนำไปใช้

ภาคผนวก ค

การทดสอบการบวมตัว

วิธีการคำนวณการบวมตัวของยางผสมสูตรในตัวทำละลายไคคลอโรมีเทน (Solvent swelling method)

เปอร์เซ็นต์การบวมตัวสามารถคำนวณได้จากสูตร

$$S = \frac{W_i - W_0}{W_0} \times 100$$

เมื่อ S = เปอร์เซ็นต์การบวมตัวของยางผสมสูตร
 W_0 = น้ำหนักของยางผสมสูตรก่อนแช่ในตัวทำละลาย
 W_i = น้ำหนักของยางผสมสูตรหลังแช่ในตัวทำละลาย

ตัวอย่างการคำนวณ

- สูตรที่ 1 BRHA(#4) ชั้นที่ 1

จากการทดลองจะได้

น้ำหนักของยางผสมสูตรก่อนแช่ในตัวทำละลาย เท่ากับ 0.9569 กรัม

น้ำหนักของยางผสมสูตรหลังแช่ในตัวทำละลาย เท่ากับ 3.2754 กรัม

$$S = \frac{3.2754 - 0.9569}{0.9569} \times 100 = 242.29 \%$$

ผลการทดลองอื่นๆแสดงในตารางที่ ข -1

ตารางที่ ค-1 แสดงน้ำหนักก่อนและหลังแช่ตัวทำละลายไคคลอโรมีเทน เป็นเวลา 3 วัน และ

เปอร์เซ็นต์การบวมตัวของยางผสมสูตร

สูตร	ชั้น	น้ำหนักก่อนแช่ ตัวทำละลาย (g)	น้ำหนักหลังแช่ ตัวทำละลาย (g)	การบวมตัว (%)
BRHA(#4)	1	0.9569	3.2421	238
	2	0.9509	3.2152	238
	3	0.9079	3.0603	237
	4	0.9332	3.1520	237

เอกสารนี้เป็นเอกสารที่สงวนไว้สำหรับการใช้งานเพื่อการศึกษาเท่านั้น ไม่อนุญาตให้นำไปใช้ประโยชน์ด้านการค้า
ไม่ว่ากรณีใดๆ ทั้งสิ้น อีกทั้งห้ามมิให้ดัดแปลงเนื้อหา และต้องอ้างอิงถึงเจ้าของเอกสารทุกครั้งที่มีการนำไปใช้

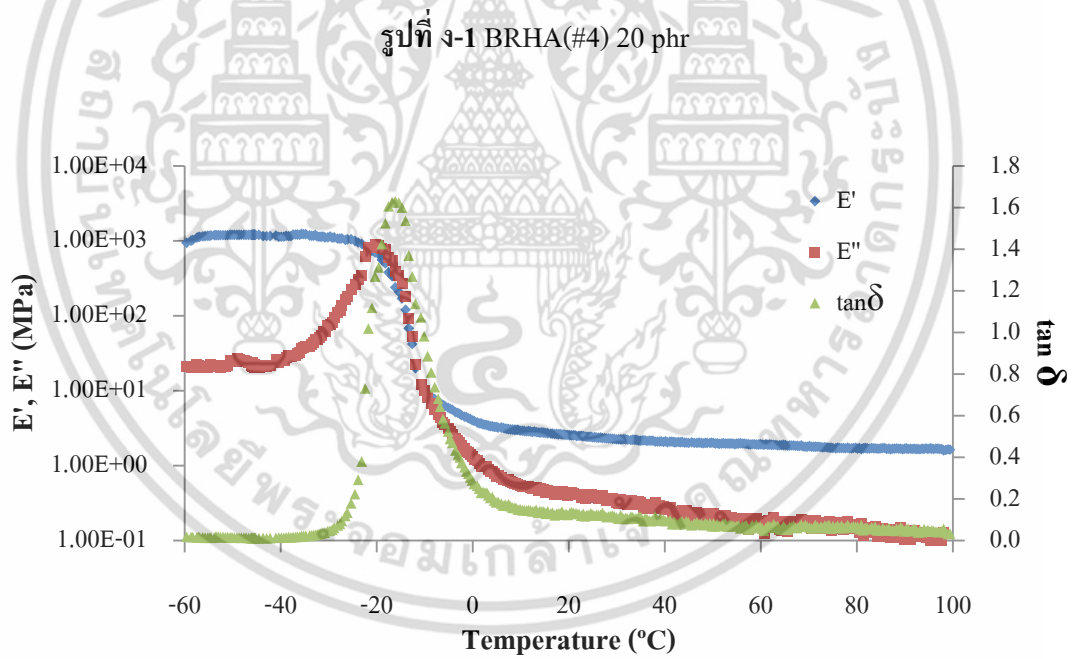
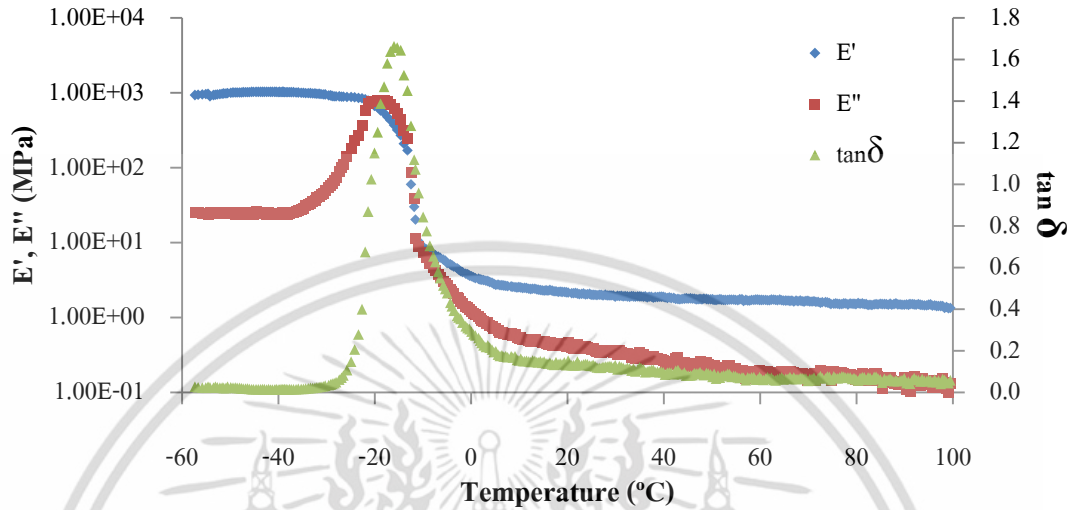
ตารางที่ ค-1 (ต่อ)

สูตร	ชั้น	น้ำหนักก่อนแช่ ตัวทำละลาย (g)	น้ำหนักหลังแช่ ตัวทำละลาย (g)	การบวมตัว (%)
BRHA(#4)	5	0.9153	3.0960	238
BRHA(#4), S	1	0.9364	3.0051	220
	2	0.9490	3.0479	221
	3	0.9105	2.9316	221
	4	0.9253	2.9612	220
	5	0.9239	2.9820	222
BRHA(#4), P	1	0.9212	3.0193	227
	2	0.9372	3.0652	227
	3	0.9690	3.1732	227
	4	0.9347	3.0525	226
	5	0.9451	3.0993	227
BRHA(#4), P+S	1	0.9270	2.8961	212
	2	0.9326	2.9353	214
	3	0.9518	2.9857	213
	4	0.9244	2.9101	214
	5	0.9381	2.9102	210

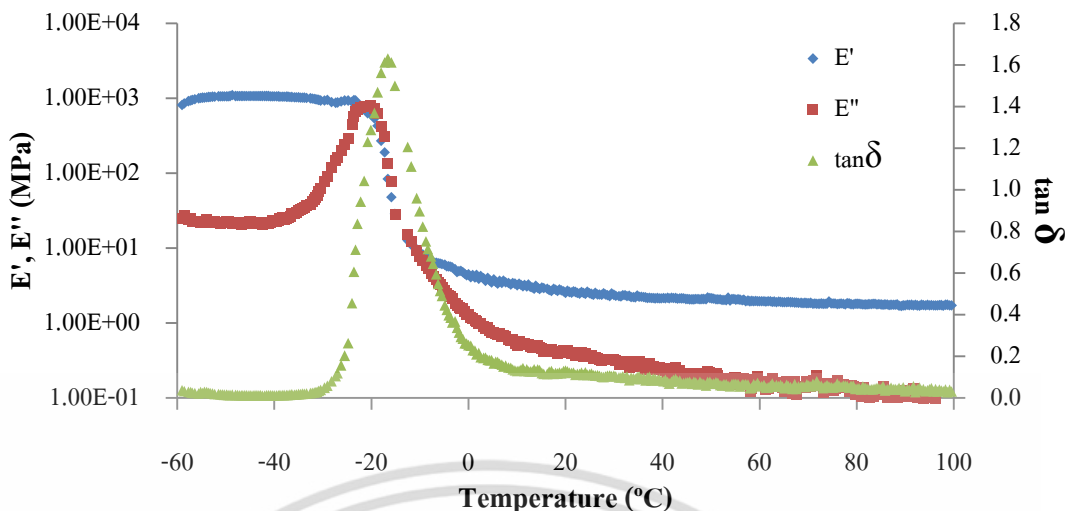
เอกสารนี้เป็นเอกสารที่สงวนไว้สำหรับการใช้งานเพื่อการศึกษาเท่านั้น ไม่อนุญาตให้นำไปใช้ประโยชน์ด้านการค้า
ไม่ว่ากรณีใดๆ ทั้งสิ้น อีกทั้งห้ามมิให้ดัดแปลงเนื้อหา และต้องอ้างอิงถึงเจ้าของเอกสารทุกครั้งที่มีการนำไปใช้

ภาคผนวก ง

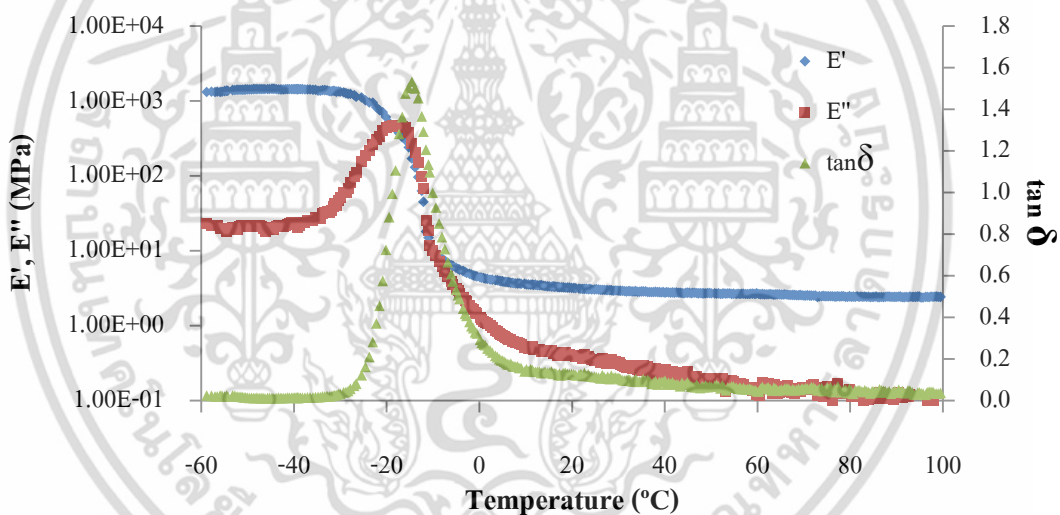
การทดสอบสมบัติทางความร้อนเชิงกลพลวัต



เอกสารนี้เป็นเอกสารที่สงวนไว้สำหรับการใช้งานเพื่อการศึกษาเท่านั้น ไม่อนุญาตให้นำไปใช้ประโยชน์ด้านการค้า
ไม่ว่ากรณีใดๆ ทั้งสิ้น อีกทั้งห้ามมิให้ดัดแปลงเนื้อหา และต้องอ้างอิงถึงเจ้าของเอกสารทุกครั้งที่มีการนำไปใช้

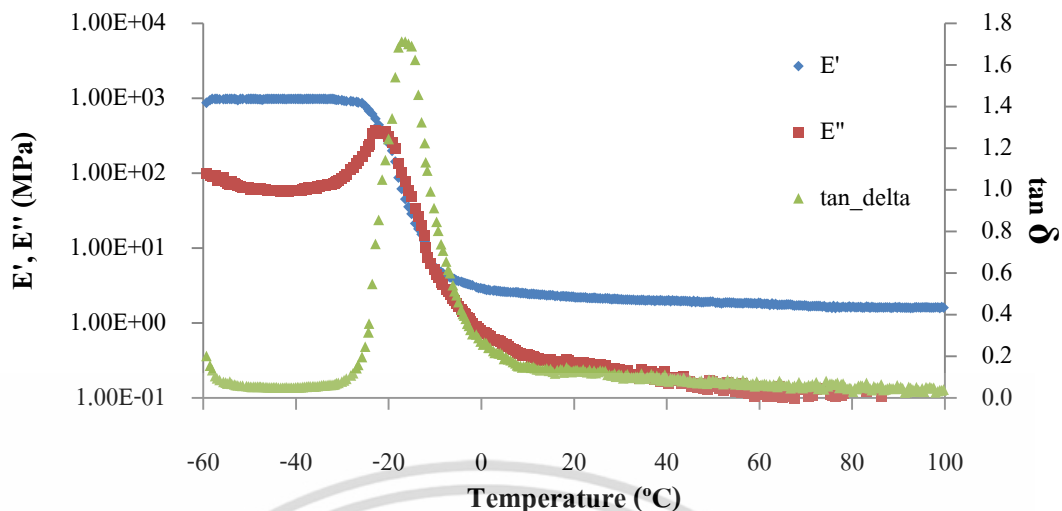


รูปที่ ง-3 BRHA(#4), P 20 phr

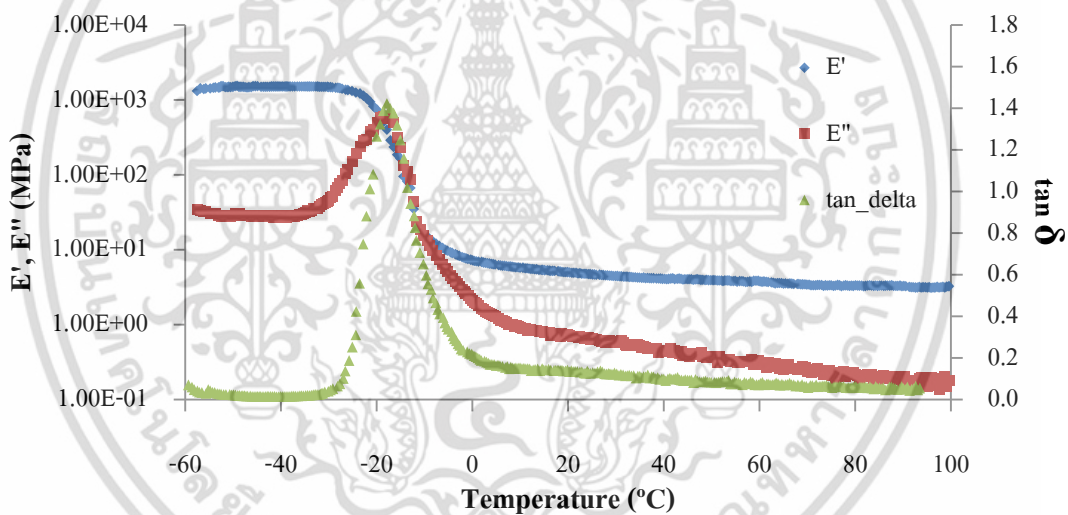


รูปที่ ง-4 BRHA(#4), P+S 20 phr

เอกสารนี้เป็นเอกสารที่สงวนไว้สำหรับการใช้งานเพื่อการศึกษาเท่านั้น ไม่อนุญาตให้นำไปใช้ประโยชน์ด้านการค้า ไม่ว่าจะกรณีใดๆ ทั้งสิ้น อีกทั้งห้ามมิให้ดัดแปลงเนื้อหา และต้องอ้างอิงถึงเจ้าของเอกสารทุกครั้งที่มีการนำไปใช้

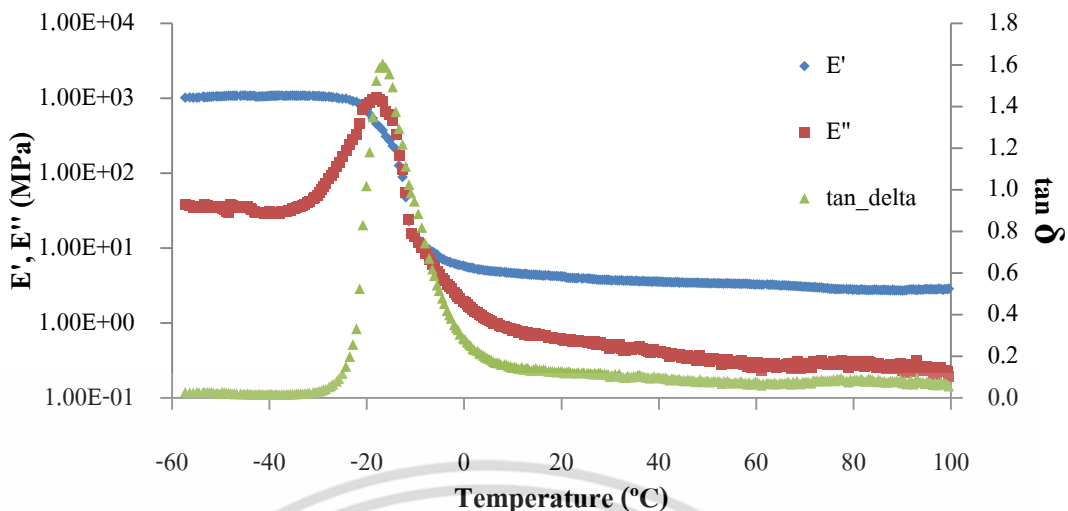


รูปที่ 3-5 Gum (No filler)

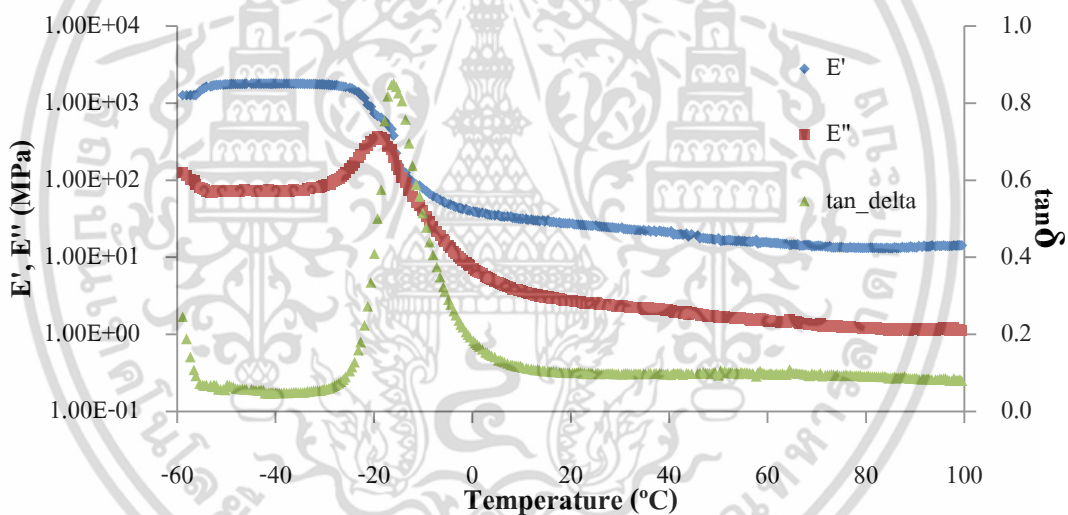


รูปที่ 3-6 BRHA-G, P+S 60 phr

เอกสารนี้เป็นเอกสารที่สงวนไว้สำหรับการใช้งานเพื่อการศึกษาเท่านั้น ไม่อนุญาตให้นำไปใช้ประโยชน์ด้านการค้า ไม่ว่าจะกรณีใดๆ ทั้งสิ้น อีกทั้งห้ามมิให้ดัดแปลงเนื้อหา และต้องอ้างอิงถึงเจ้าของเอกสารทุกครั้งที่มีการนำไปใช้

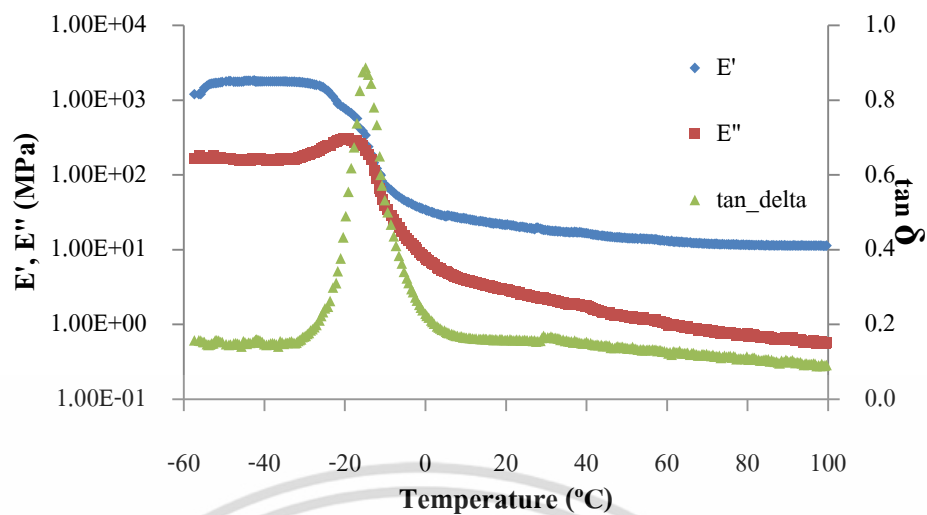


รูปที่ 3-7 CC 60 phr

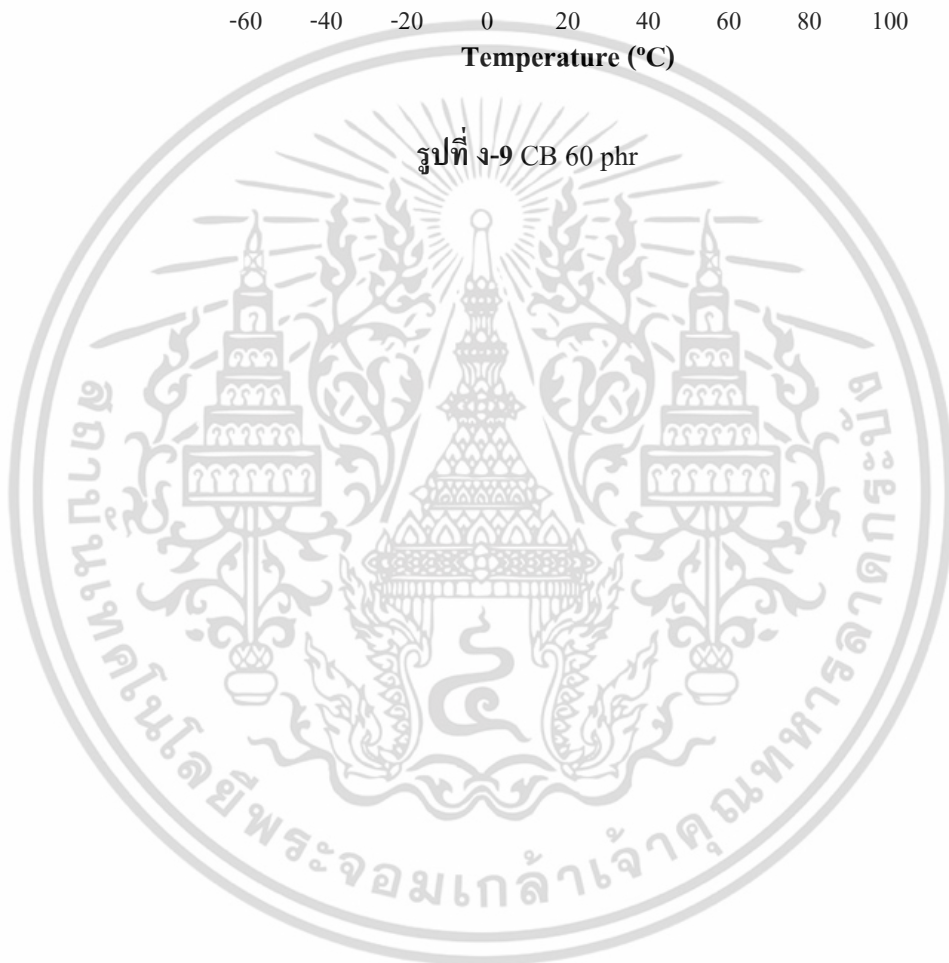


รูปที่ 3-8 Si, P+S 60 phr

เอกสารนี้เป็นเอกสารที่สงวนไว้สำหรับการใช้งานเพื่อการศึกษาเท่านั้น ไม่อนุญาตให้นำไปใช้ประโยชน์ด้านการค้า
ไม่ว่ากรณีใดๆ ทั้งสิ้น อีกทั้งห้ามมิให้ดัดแปลงเนื้อหา และต้องอ้างอิงถึงเจ้าของเอกสารทุกครั้งที่มีการนำไปใช้



รูปที่ 9-9 CB 60 phr



เอกสารนี้เป็นเอกสารที่สงวนไว้สำหรับการใช้งานเพื่อการศึกษาเท่านั้น ไม่อนุญาตให้นำไปใช้ประโยชน์ด้านการค้า ไม่ว่าจะกรณีใดๆ ทั้งสิ้น อีกทั้งห้ามมิให้ดัดแปลงเนื้อหา และต้องอ้างอิงถึงเจ้าของเอกสารทุกครั้งที่มีการนำไปใช้

ภาคผนวก จ

การคำนวณราคาต้นทุนวัตถุดิบ

ตารางที่ จ-1ราคาวัตถุดิบต่อน้ำหนักยางผสมสูตร 1 kg

สารเคมี	ราคาต่อ หน่วย* (บาท/kg)	Gum		BRHA-G, P+S		CC		Si, P+S		CB	
		ปริมาณ ที่ใช้ (g)	เป็นเงิน (บาท)	ปริมาณ ที่ใช้ (g)	เป็นเงิน (บาท)	ปริมาณ ที่ใช้ (g)	เป็นเงิน (บาท)	ปริมาณ ที่ใช้ (g)	เป็นเงิน (บาท)	ปริมาณ ที่ใช้ (g)	เป็นเงิน (บาท)
NBR	85	761.61	64.74	509.94	43.35	522.74	44.43	509.94	43.35	522.74	44.43
TMQ	90	7.62	0.69	5.10	0.46	5.23	0.47	5.10	0.46	5.23	0.47
Parlenox W	68	152.32	10.36	101.99	6.94	104.55	7.11	101.99	6.94	104.55	7.11
BRHA-G	0.4	-	-	305.97	0.12	-	-	-	-	-	-
calcium carbonate	5.6	-	-	-	-	313.64	1.76	-	-	-	-
PrecipitatedSilica	25	-	-	-	-	-	-	305.97	7.65	-	-
Carbon black	50	-	-	-	-	-	-	-	-	313.64	15.68
Si-69	105.00	-	-	9.18	0.96	-	-	9.18	0.96	-	-

หมายเหตุ:* คำนวณจากราคา โดยประมาณ ณ เดือน ธันวาคม 2557 และราคานี้ไม่รวมต้นทุนของเครื่องจักรการผลิต ค่าแรง ค่าไฟฟ้า และค่าเสื่อมของ เครื่องจักร

ตารางที่ จ-1(ต่อ)

สารเคมี	ราคาต่อหน่วย* (บาท/kg)	Gum		BRHA-G, P+S		CC		Si, P+S		CB	
		ปริมาณที่ใช้ (g)	เป็นเงิน (บาท)	ปริมาณที่ใช้ (g)	เป็นเงิน (บาท)	ปริมาณที่ใช้ (g)	เป็นเงิน (บาท)	ปริมาณที่ใช้ (g)	เป็นเงิน (บาท)	ปริมาณที่ใช้ (g)	เป็นเงิน (บาท)
PEG	67.00	-	-	15.30	1.02	-	-	15.30	1.02	-	-
Zinc Oxide	35.00	38.08	1.33	25.50	0.89	26.14	0.91	25.50	0.89	26.14	0.91
Sulfur	16.00	7.62	0.12	5.10	0.08	5.23	0.08	5.10	0.08	5.23	0.08
CBS	150.00	7.62	1.14	5.10	0.76	5.23	0.78	5.10	0.76	5.23	0.78
MTBS	170.00	7.62	1.29	5.10	0.87	5.23	0.89	5.10	0.87	5.23	0.89
TMTD	126.00	2.28	0.29	1.53	0.19	1.57	0.20	1.53	0.19	1.57	0.20
ราคาวัตถุดิบต่อ 1 กิโลกรัม (บาท)		รวม เป็นเงิน	80.49	รวม เป็นเงิน	56.01	รวม เป็นเงิน	57.00	รวม เป็นเงิน	63.53	รวม เป็นเงิน	70.93

หมายเหตุ: * คำนวณจากราคา โดยประมาณ ณ เดือน ธันวาคม 2557 และราคานี้ไม่รวมต้นทุนของเครื่องจักรการผลิต ค่าแรง ค่าไฟฟ้า และค่าเสื่อมของ เครื่องจักร

ตารางที่ ๑-2ราคาวัตถุดิบต่อน้ำหนักยางผสมสูตร 1 m³

สารเคมี	ความหนาแน่น (g/cm ³)	ราคาต่อหน่วย* (บาท/kg)	Gum		BRHA-G, P+S		CC		Si, P+S		CB	
			ปริมาณที่ใช้ (kg)	เป็นเงิน (บาท)	ปริมาณที่ใช้ (kg)	เป็นเงิน (บาท)	ปริมาณที่ใช้ (kg)	เป็นเงิน (บาท)	ปริมาณที่ใช้ (kg)	เป็นเงิน (บาท)	ปริมาณที่ใช้ (kg)	เป็นเงิน (บาท)
NBR	0.99	85	801.15	68,098.16	615.32	52,302.29	680.08	57,806.59	639.16	54,328.31	632.30	53,745.37
TMQ	1.05	90	8.01	721.04	6.15	553.79	6.80	612.07	6.39	575.24	6.32	569.07
Parlenox W	1.15	68	160.23	10,895.71	123.06	8,368.37	136.02	9,249.06	127.83	8,692.53	126.46	8,599.26
BRHA-G	1.80	0.4	-	-	369.19	147.68	-	-	-	-	-	-
calcium carbonate	2.70	5.6	-	-	-	-	408.05	2,285.06	-	-	-	-
PrecipitatedSilica	2.20	25	-	-	-	-	-	-	383.49	9,587.35	-	-
Carbon black	1.80	50	-	-	-	-	-	-	-	-	379.38	18,968.95
Si-69	1.10	105.00	-	-	11.08	1,162.96	-	-	11.50	1,208.01	-	-
Zinc Oxide	5.60	35.00	40.06	1,402.02	30.77	1,076.81	34.00	1,190.14	31.96	1,118.52	31.61	1,106.52
Stearic acid	0.85	35.00	16.02	560.81	12.31	430.72	13.60	476.05	12.78	447.41	12.65	442.61

หมายเหตุ: * คำนวณจากราคา โดยประมาณ ณ เดือน ธันวาคม 2557 และราคานี้ไม่รวมต้นทุนของเครื่องจักรการผลิต ค่าแรง ค่าไฟฟ้า และค่าเสื่อมของ เครื่องจักร

ตารางที่ จ-2(ต่อ)

สารเคมี	ความหนาแน่น (g/cm ³)	ราคาต่อหน่วย* (บาท/kg)	Gum		BRHA-G, P+S		CC		Si, P+S		CB	
			ปริมาณ ที่ใช้ (kg)	เป็นเงิน (บาท)	ปริมาณ ที่ใช้ (kg)	เป็นเงิน (บาท)	ปริมาณ ที่ใช้ (kg)	เป็นเงิน (บาท)	ปริมาณ ที่ใช้ (kg)	เป็นเงิน (บาท)	ปริมาณ ที่ใช้ (kg)	เป็นเงิน (บาท)
Sulfur	2.10	16.00	8.01	128.18	6.15	98.45	6.80	108.81	6.39	102.27	6.32	101.17
CBS	1.34	150.00	8.01	1,201.73	6.15	922.98	6.80	1,020.12	6.39	958.73	6.32	948.45
MTBS	1.27	170.00	8.01	1,361.96	6.15	1,046.05	6.80	1,156.13	6.39	1,086.57	6.32	1,074.91
TMTD	1.43	126.00	2.40	302.84	1.85	232.59	2.04	257.07	1.92	241.60	1.90	239.01
ราคาวัตถุดิบต่อ 1 ลูกบาศก์เมตร(บาท)			รวม เป็นเงิน	84,672.45	รวม เป็นเงิน	67,579.48	รวม เป็นเงิน	74,161.10	รวม เป็นเงิน	79,631.24	รวม เป็นเงิน	85,795.32

หมายเหตุ:* จำนวนจากราคา โดยประมาณ ณ เดือน ธันวาคม 2557 และราคานี้ไม่รวมต้นทุนของเครื่องจักรการผลิต ค่าแรง ค่าไฟฟ้า และค่าเสื่อมของ เครื่องจักร

ภาคผนวก ฉ
ขนาดตะแกรงร่อน

ตารางที่ ฉ-1 ขนาดช่องเปิดของตะแกรงร่อน

Mesh number	ขนาดช่องเปิด (Opening)		
	mm	μm	in
60	0.25	250	0.0098
65	0.21	210	0.0083
80	0.177	177	0.007
100	0.149	149	0.0059
115	0.125	125	0.0049
150	0.105	105	0.0041
170	0.088	88	0.0035
200	0.074	74	0.0029
250	0.063	63	0.0025
270	0.053	53	0.0021
325	0.044	44	0.0017
400	0.037	37	0.0015

เอกสารนี้เป็นเอกสารที่สงวนไว้สำหรับการใช้งานเพื่อการศึกษาเท่านั้น ไม่อนุญาตให้นำไปใช้ประโยชน์ด้านการค้า
ไม่ว่ากรณีใดๆ ทั้งสิ้น อีกทั้งห้ามมิให้ดัดแปลงเนื้อหา และต้องอ้างอิงถึงเจ้าของเอกสารทุกครั้งที่มีการนำไปใช้

ประวัติผู้เขียน

ชื่อ-สกุล นาย เดชาธร ฉันทักษ์

วัน เดือน ปีเกิด 3 มกราคม 2532

ที่อยู่ 67/254 หมู่ 3 ตำบล หลักหก อำเภอ เมืองปทุมธานี

จังหวัด ปทุมธานี 12000

ประวัติการศึกษา

พ.ศ. 2554 วิทยาศาสตร์บัณฑิต

สาขาเคมีอุตสาหกรรม ภาควิชาเคมี คณะวิทยาศาสตร์

สถาบันเทคโนโลยีพระจอมเกล้าเจ้าคุณทหารลาดกระบัง

ผลงานวิจัย

พ.ศ. 2557 การศึกษาเถ้าแกลบดำเพื่อใช้เป็นสารตัวเติมในยางไนไตรล์

Study of Black Rice Husk Ash (BRHA) as filler in Nitrile rubber

นำเสนอผลงานในงานการประชุมทางวิชาการ วิทยาศาสตร์วิจัย ครั้งที่ 6

ระหว่างวันที่ 20-21 มีนาคม 2557 ณ คณะวิทยาศาสตร์ มหาวิทยาลัยบูรพา

เอกสารนี้เป็นเอกสารที่สงวนไว้สำหรับการใช้งานเพื่อการศึกษาเท่านั้น ไม่อนุญาตให้นำไปใช้ประโยชน์ด้านการค้า
ไม่ว่ากรณีใดๆ ทั้งสิ้น อีกทั้งห้ามมิให้ตัดแปลงเนื้อหา และต้องอ้างอิงถึงเจ้าของเอกสารทุกครั้งที่มีการนำไปใช้